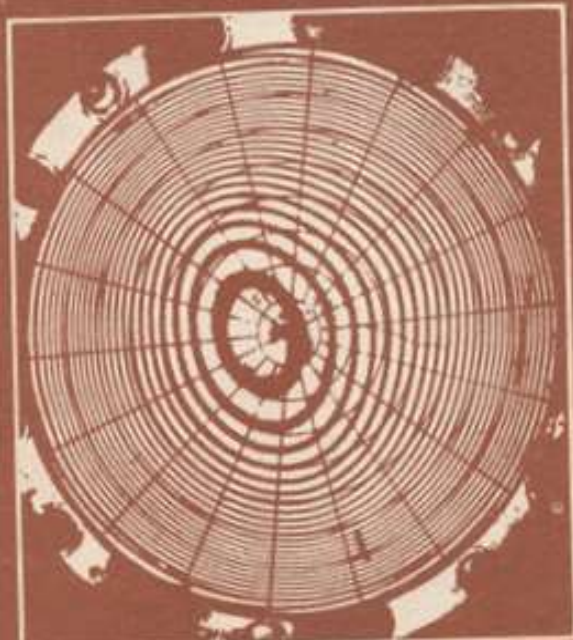


А. Г. Козачок

**Голографические
методы исследования
в экспериментальной
механике**



А. Г. Козачок

**Голографические
методы исследования
в экспериментальной
механике**



МОСКВА «МАШИНОСТРОЕНИЕ» 1984

ББК 22.343.4
К 59
УДК 621.378.9-778.4

Рецензент д-р физ.-мат. наук М. М. Бутусов

Козяк А. Г.

Голографические методы исследования в экспериментальной механике. — М.: Машиностроение, 1984. — 176 с., ил.
2 р.

Изложены вопросы разработки и применения голографических измерительных систем для определения механических величин. Основное внимание уделено созданию универсальных голографических интерферометров, анализу метрологических характеристик, автоматизации обработки и расшифровки интерферограмм, широкому использованию голографических систем и их практическому использованию.

Предназначена для научных и инженерно-технических работников, занимающихся как решением задач механики, так и разработкой и применением голографических методов.

К 170-4050000-257
038 (01)-84 Свод. из. полисп. изд. 1984

ББК 22.343.4
535

© Издательство "Машиностроение", 1984 г.

ПРЕДИСЛОВИЕ

В последние годы много внимания уделяется методам голографической интерферометрии. Использование лазеров и голографического принципа записи дало возможность запоминать световую волну любой сложности и восстанавливать ее в любой момент времени. При решении задач экспериментальной механики нас интересует не сама волна, а исследуемый объект, через который волна проходит или от которого она отражается. На голограмме регистрируется информация об объекте или изменениях, происходящих с ним. Свойства объекта, сложность его формы перестали играть существенную роль. Стала возможной интерференция между волнами, реально существовавшими в различное время.

Методы голографической интерферометрии обладают такими преимуществами, как бесконтактное и одновременное получение информации о смещении точек на всей поверхности объекта; низкий порог чувствительности, определяемый долиами длины световой волны; возможность исследования диффузно рассеивающих объектов; использование в качестве меры длины световой волны; возможность решения как статических, так и динамических задач. Совокупностью перечисленных качеств не обладает ни один из известных методов исследования.

Отсюда понятен тот глубокий интерес к этим методам, который возник у специалистов в области экспериментальной механики. Это естественно, поскольку результаты экспериментов, как правило, служат и служат основой при создании различных теорий механики. Более того, с возрастанием сложности конструкций, со стремлением к их максимальной мощности и минимальной массе экспериментальным исследованием придается все большее значение.

Практическое применение методов голографической интерферометрии, как и многих других новых методов, связано с решением ряда задач. Голографическая интерферограмма содержит полную информацию об изменениях, произошедших с объектом. В некоторых случаях уже сам характер интерференционной картины позволяет делать важные выводы о дефектах структуры, резонансных частотах и формах колебаний объектов, сравнивать исследуемые объекты с этalonными и решать другие, так называемые качественные задачи.

Однако в большинстве экспериментальных исследований необходимо получение количественной информации об объекте или процессе, что требует расшифровки голографических интерферограмм. В зависимости от сложности решаемой задачи расшифровка может осуществляться как сравнительно простыми средствами, так и довольно сложными системами, обес-

печижающими автоматический ввод интерферограмм в ЭВМ и представление результатов в удобном для экспериментатора виде. В последнем случае требуется по существу создание нового класса информационно-измерительных систем — голограмических измерительных систем (ГИС). Такие системы в настоящее время разрабатывают и начинают использовать. При их создании возникают следующие задачи:

- разработка и совершенствование источников когерентного излучения для записи и восстановления голограммических интерферограмм;
- создание универсальных голограммических установок, позволяющих реализовать различные методы голограммической интерферометрии;
- разработка и совершенствование методов получения и расшифровки голограммических интерферограмм, обеспечивающих возможность автоматизации голограммического эксперимента;
- разработка программного обеспечения и специального периферийного оборудования ЭВМ;
- анализ метрологических характеристик голограммических измерительных систем и их элементов.

Предлагаемая книга посвящена решению этих вопросов. Она начинается с рассмотрения некоторых задач механического эксперимента и тех величин, измерение которых необходимо для их решения. На основе анализа механических параметров и требований к методам их измерения определяются возможности использования голограммической интерферометрии в экспериментальной механике.

Далее, проанализированы методы получения и расшифровки голограммических интерферограмм при исследовании напряженно-деформированного состояния объектов и определении рельефа их поверхности. Серьезное внимание уделено метрологическим характеристикам интерферометров, анализу систематических и случайных погрешностей, возникающих при измерении.

Рассмотрено шпартаурное обеспечение голограммических измерительных систем.

Заканчивается книга описанием конкретных экспериментов, иллюстрирующих возможности и перспективы применения голограммических методов исследования в экспериментальной механике.

Работа подытоживает более чем десятилетний опыт исследований по созданию голограммических измерительных систем и их применению в экспериментальной механике. Она содержит в основном оригинальные результаты, полученные в лаборатории голограммических методов измерений Новосибирского электротехнического института под руководством и при непосредственном участии автора.

Считаю своим долгом выразить искреннюю признательность сотрудникам лаборатории Л. П. Гурьеву, С. Т. Де, В. Ф. Киму, А. В. Логинову, Ю. Н. Солонину, В. А. Хандогину, совместная работа с которыми способствовала написанию этой книги.

Все замечания и пожелания просьба направлять по адресу: 107076, Москва, Б-76, Строгановский пер., 4, издательство "Машиностроение".

ГЛАВА I.

ИЗМЕРЕНИЕ МЕХАНИЧЕСКИХ ВЕЛИЧИН И ГОЛОГРАФИЧЕСКИЕ МЕТОДЫ

I. МЕХАНИЧЕСКИЕ ВЕЛИЧИНЫ И ТРЕБОВАНИЯ К МЕТОДАМ ИХ ИЗМЕРЕНИЯ

Известно, что правильная постановка измерительного эксперимента требует прежде всего четко сформулированной цели. Затем необходимо определение круга параметров, измерение которых приводит к достижению поставленной цели. При этом предполагается выявление не только самих измеряемых величин, но и диапазонов их изменений, максимальных значений, допустимых погрешностей измерения, динамических характеристик, необходимого пространственного разрешения и т.д. Все это позволяет обосновать требования к методам измерений, их метрологическим характеристикам и определить возможность использования того или иного метода для решения поставленной задачи.

С этой точки зрения рассмотрим некоторые задачи экспериментальной механики.

Одной из главных целей механического эксперимента является выяснение причин поломок конструкций. Упрощая ситуацию, можно выделить три основные причины поломок: недостаточная прочность, потеря несущей способности и возникновение всевозможных резонансных явлений. Соответственно этому существуют и три группы инженерных задач: расчет на прочность, в результате которого определяется время работы до разрушения при заданном уровне внешних воздействий или предельно допустимая разрушающая нагрузка; расчет несущей способности, состоящий в определении критической нагрузки, при которой либо сжатые элементы конструкции выпучиваются и теряют устойчивость первоначальной формы, либо наступает общее пластическое течение; расчет вибробустойчивости, когда интерес представляют собственные формы и частоты колебаний всей конструкции и ее отдельных элементов. При этом общая тенденция развития современных конструкций состоит в максимальном увеличении уровня рабочих напряжений с сохранением высокой надежности при эксплуатации, что, в свою очередь, приводит к необходимости точного учета инцизионных особенностей конструкции в инженерных расчетах и накладывает жесткие требования на методы экспериментальной проверки получаемых результатов.

Разрушение конструкций обычно связывают с высоким уровнем механических напряжений. В этом случае определение полей напряжений и деформаций, выявление максимальных их значений и сравнение с предельно допустимыми для данной конструкции позволяет решить проницющую задачу. Поэтому для прогнозирования механического поведения конструкций необходимо знать напряженно-деформированное состояние во всех ее точках в достаточно длительном интервале времени. При известной связи меж-

ду напряжениями и деформациями можно ограничиться определением только поле деформаций. И зависимости от условий это может быть или распределение деформаций при статическом нагружении упругих тел, или распределение скоростей деформаций при установившемся течении упруговязких и упругопластических тел или неустановившееся поле скоростей деформаций в заданном интервале времени при нестационарном течении и при динамическом нагружении.

Таким образом, основная задача экспериментальных исследований заключается в определении деформаций или их скоростей:

При нагружении полное приращение деформации de складывается из упругой de^u , пластической de^p и вязкой de^v составляющих:

$$de = de^u + de^p + de^v.$$

На практике решение вопроса о том, какие из трех составляющих имеют доминирующее значение, зависит не только от свойств материала исследуемого объекта, но и от условий его нагружения. Например, при исследовании многократных, достаточно кратковременных нагрузжений $de \approx de^u$, а $de^p = de^v = 0$. При длительных статических нагрузжениях накопление вязких деформаций может быть значительно, поэтому $de \approx de^v$, $de^u = de^p = 0$. Наконец, при исследовании остаточных напряжений в сплавах или нагружений в условиях концентрации напряжений $de = de^u + de^p$, а $de^v = 0$. Измерение этих величин должно осуществляться в реальном времени, поэтому необходимо, чтобы измерительные устройства имели достаточное быстродействие. Это особенно важно при исследовании ударных нагрузжений. По данным разных авторов, длительность ударов составляет от нескольких десятков микросекунд (жесткие системы) до нескольких сотен миллисекунд (амортизированные системы). Следовательно, быстродействие измерительного устройства должно быть не менее нескольких десятков измерений в секунду.

Характер нагрузки приобретает решающее значение, если объект подвергается периодическим воздействиям. Значение действующих сил в этом случае играет второстепенную роль, и все обусловлено совпадением частоты нагрузки с одной из резонансных частот объекта. Получение набора картин узловых линий или форм колебаний является главной задачей вибрационных исследований. Особенно актуальна эта задача при испытаниях вращающихся объектов: валов, дисков и лопаток компрессоров авиационных двигателей, турбо- и гидрогенераторов. Информация о резонансных частотах позволяет выбирать безопасные режимы работы. Исследование форм колебаний, конечно, не освобождает от необходимости определения поля вибросмещений точек поверхности и динамических напряжений, возникающих в объекте.

В предыдущих рассуждениях предполагалось, что деформации определены в каждой точке объекта. На самом деле любые методы измерений не позволяют детализировать поле деформаций подробнее, чем это допускается разрешающей способностью средств измерений. Поэтому при определении деформации всегда получается усредненное значение по элементу разрешения. Для экспериментальной механики это важный фактор. Как известно, деформации условно разделяются на три рода, в зависимости от

беса их измерения. Деформации I рода измеряются на макроскопическом уровне и производят усреднение по большому числу элементов микроструктуры. Именно эти деформации определяют поведение объектов и представляют наибольший интерес в экспериментальной механике. Деформации II и III рода характеризуют микрофлуктуации поля деформаций, вызванные микроструктурой материалов. Они определяются по отдельным элементам микроструктуры или их частям. Эти деформации играют важную роль при оценке длительной прочности. Для их измерения необходимы методы с разрешающей способностью десятки микрометров и менее.

Таким образом, даже столь схематическое рассмотрение задач экспериментальной механики позволяет заключить, что непосредственно измеряемыми параметрами в большинстве случаев являются смещения, деформации и их скорости.

Многочисленные эксперименты показывают, что в реальных конструкциях упругие деформации лежат в диапазоне $\sim (10^{-2} \div 10^{-3})$, а пластические и вязкие — в диапазоне $\sim (10^{-3} \div 10^{-1})$. При этом разрешающая способность методов измерения должна быть не менее ~ 1 мм для деформаций I рода и не менее $\sim (10^{-1} \div 10^{-2})$ мм для деформаций II и III рода.

Важным является вопрос оценки достоверности получаемой при измерениях информации. В простых ситуациях экспериментальные данные можно сравнить с теоретическими расчетами. Однако такое сравнение позволяет обнаружить только грубые ошибки. В то же время большое число факторов, связанных с "индивидуальными" особенностями объекта (микроструктурой, формой, шероховатостью поверхности), влияет на измеряемые величины и приводит к их случайному разбросу. При этом не всегда целесообразно повышать точность измерений. Наоборот, для получения значений измеряемых параметров, описываемых состоянием однотипных объектов, имеет смысл "загрузить" измерения. Обычно погрешность 5 % считается приемлемой, и "индивидуальными" особенностями объектов в этом случае можно пренебречь. Погрешность 1 % является достаточно малой для того, чтобы некоторые особенности объектов отразились на результатах измерений.

В дальнейшем основное внимание будет удалено измерению полей смещений и деформаций методами голограммической интерферометрии. Поэтому рассмотрим понятия смещений и деформаций более подробно.

Если некоторая материальная точка A в начальный момент времени t_0 имеет координаты $x(A, t_0)$, а в момент следующего измерения t_1 — координаты $x(A, t_1)$, вектор перемещения и точки A, заданный своими начальными координатами $x(A, t_0)$, определяется так:

$$u(A, t_0, t_1) \equiv u(x) = x(A, t_1) - x(A, t_0).$$

Поле смещений $u(x)$ является дифференцируемой функцией своего аргумента всегда, пока твердое тело не течет и не разрушается. Поэтому в окрестности некоторой точки x^0 поле смещений можно разложить в степенной ряд:

$$u_0(x) = u_0(x^0) + (x_c - x_0^0) \partial_x u_0(x^0) + \frac{1}{2} u_{00}(x - x^0)^2.$$

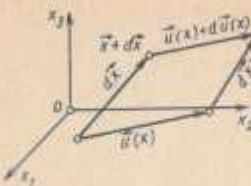
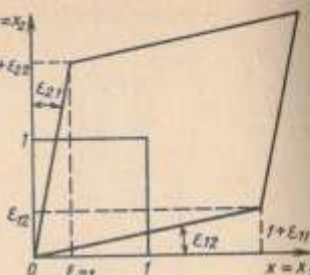


Рис. 1. К определению деформаций в точке

Рис. 2. Деформация единичного квадрата



Градиент вектора перемещений $\partial_\alpha u_\alpha = u_{\alpha,\beta}$ является тензором второго ранга. Его принято представлять в виде суммы симметрического $\epsilon_{ab} = \epsilon_{ba}$ и антисимметрического $\omega_{ab} = -\omega_{ba}$ тензоров второго ранга:

$$\begin{aligned} u_{\alpha,\beta}(x) &= \epsilon_{ab}(x) + \omega_{ab}(x); \\ \epsilon_{ab}(x) &\equiv \frac{1}{2}(u_{\alpha,\beta}(x) + u_{\beta,\alpha}(x)); \\ \omega_{ab}(x) &\equiv \frac{1}{2}(u_{\alpha,\beta}(x) - u_{\beta,\alpha}(x)). \end{aligned} \quad (1)$$

Анализируя изменения длины и направлений отрезков, можно выяснить геометрический смысл тензоров $\epsilon_{ab}(x)$ и $\omega_{ab}(x)$. До деформации расстояние между близкими точками $ds = |dx|$ (рис. 1). После деформации длина элемента ds' изменяется:

$$\begin{aligned} ds' &= |dx'| = [(dx_a + u_{\alpha,\beta}dx_\beta) \times \\ &\times (dx_a + u_{\alpha,\beta}dx_\beta)]^{1/2} = ds + u_{\alpha,\beta}dx_a dx_\beta + O(u_{\alpha,\lambda} u_{\lambda,\beta} dx_a dx_\beta). \end{aligned} \quad (2)$$

В реальных инженерных конструкциях, как правило, $|u_{\alpha,\beta}| < 10^{-2}$, поэтому значениями высших порядков малости в выражении (2) обычно пренебрегают.

На основании выражений (1) и (2) можно заключить, что изменение длины элемента $ds' - ds$ связано только с тензором ϵ_{ab} , поскольку $\omega_{ab}dx_a dx_b = 0$. Отсюда следует, что симметричная часть градиента вектора смещений ϵ_{ab} задает деформации окрестности точки x и называется тензором деформаций (линейным), а его антисимметрическая часть ω_{ab} определяет малый жесткий поворот.

Выбирая в выражении (2) начальные элементы dx параллельными координатными осями, можно показать, что диагональные компоненты тензора деформаций являются удлинениями в направлениях соответствующих осей, а недиагональные – изменениями углов между ними. Поэтому они и называются соответственно нормальными и касательными (сдвиговыми) деформациями. На рис. 2 показано изменение формы и размеров плоского единичного квадрата, определяемое тензором деформаций.

Обычно в экспериментах определяются деформации в некоторой системе координат, выбранной из соображений простоты и удобства измерения. Для объектов сложной формы приходится вычислять компоненты через ϵ_{ab} в другой системе координат, связанных с поверхностью объекта.

Нашей вид преобразования компонент тензора деформаций выглядит следующим образом:

$$U = U(\psi)$$

где U – матрица поворота системы координат, задаваемая направляющими косинусами новых координатных осей. Например, при повороте вокруг оси Oz на угол ψ получим:

$$\begin{aligned} \epsilon_{11}' &= \epsilon_{11} \cos^2 \psi + \epsilon_{12} \sin 2\psi + \epsilon_{22} \sin^2 \psi; \\ \epsilon_{22}' &= \epsilon_{11} \sin^2 \psi - \epsilon_{12} \sin 2\psi + \epsilon_{22} \cos^2 \psi; \\ \epsilon_{12}' &= (\epsilon_{11} - \epsilon_{11}) \sin \psi \cos \psi + \epsilon_{12} \cos^2 \psi; \\ \epsilon_{13}' &= \epsilon_{13} \cos \psi + \epsilon_{12} \sin \psi; \\ \epsilon_{23}' &= -\epsilon_{13} \sin \psi + \epsilon_{23} \cos \psi; \\ \epsilon_{33}' &= \epsilon_{33}. \end{aligned} \quad (3)$$

Подобные соотношения позволяют вычислять компоненты поверхностных деформаций, если известны направления нормалей к поверхности объекта. Получить такую информацию, как будет ясно из дальнейшего, можно с помощью голограммической интерферометрии.

Формулы (3) показывают, что при вращениях вокруг оси Oz тензор деформаций ϵ_{ab} разбивается на двумерный тензор, двумерный вектор и скаляр следующим образом:

$$\epsilon = \begin{pmatrix} \epsilon_{11} & \epsilon_{12} & | & \epsilon_{13} \\ \epsilon_{21} & \epsilon_{22} & | & \epsilon_{23} \\ \hline & & & \\ \epsilon_{31} & \epsilon_{32} & | & \epsilon_{33} \end{pmatrix}$$

Такое разбиение тензора деформаций свидетельствует о том, что на практике возможно независимое исследование трех частных видов деформированного состояния, которые возникают при достаточной симметричности объекта и внешней нагрузки [48].

Если хотя бы в одной системе координат отличны от нуля только компоненты ϵ_{11} , ϵ_{12} , ϵ_{22} , то соответствующее деформированное состояние называется плоским. Оно реализуется в достаточно толстых пластинках, нагружение которых осуществляется равномерно по толщине. Если в тензоре деформаций отличны от нуля лишь сдвиги ϵ_{13} , ϵ_{23} , то говорят об антиплоской деформации, или кручении. Наконец, если хотя бы в одной системе координат все деформации, кроме ϵ_{33} , нулевые, то состояние называется одиночным растяжением (сжатием). Оно реализуется при растяжении или сжатии прямолинейных стержней.

Кроме перечисленных частных случаев напряженно-деформированного состояния представляют интерес еще два – обобщенное плоское напряженное состояние и поперечный изгиб.

Обобщенное плоское напряженное состояние реализуется при растяжении тонких пластин в своей плоскости. В пределах упругого поведения материала имеют место следующие связи между напряжениями, деформациями и смещениями [48]:

$$\epsilon_{11} = \frac{\partial u}{\partial x}; \quad \epsilon_{22} = \frac{\partial v}{\partial y};$$

$$\epsilon_{12} = \frac{1}{2} \left(\frac{\partial u}{\partial y} + \frac{\partial v}{\partial x} \right); \quad \epsilon_{13} = \epsilon_{23} = 0;$$

$$\epsilon_{33} = -\frac{\nu}{1-\nu} (\epsilon_{11} + \epsilon_{22});$$

$$\sigma_{11} = \frac{E}{1-\nu^2} (\epsilon_{11} + \nu \epsilon_{22}); \quad \sigma_{12} = \frac{E}{1+\nu} \epsilon_{12};$$

$$\sigma_{22} = \frac{E}{1-\nu^2} (\epsilon_{22} + \nu \epsilon_{11}); \quad \sigma_{13} = \sigma_{23} = \sigma_{33} = 0;$$

$$w(x, y, \pm h/2) = w_0(x, y) \pm \frac{1}{2} [w(x, y)];$$

$$[w(x, y)] = w(x, y, h/2) - \\ - w(x, y, -h/2) = -\frac{\mu h}{1-\nu} (\epsilon_{11} + \epsilon_{22});$$

$$2w_0(x, y) = w(x, y, h/2) + w(x, y, -h/2);$$

$$x = (x, y, z); \quad u = (u_1, u_2, u_3) = (u, v, w),$$

где E – модуль Юнга; ν – коэффициент Пуассона; σ_{ab} – напряжения; h – толщина пластины; $[w(x, y)]$ – сужение нагруженной пластины; $w_0(x, y)$ – прогиб пластины.

Прогиб не может быть определен по формулам обобщенного шлюзового напряженного состояния. В тех случаях, когда нагрузка прикладывается симметрично относительно срединной поверхности, прогиб $w_0(x, y) = 0$ и полную информацию о напряженно-деформированном состоянии доставляют любые две компоненты вектора смещения на боковой поверхности. Однако даже малые изгибные напряжения могут существенно по сравнению с сужением изогнуть пластину. Известно, что жесткость пластины при изгибе пропорциональна h^3 [74], поэтому относительно тонкие пластины сравнительно легко поддаются изгибу. Для них нецелесообразно измерять $[w]$ при оценке плоского напряженного состояния. Толстые пластины имеют достаточно большую жесткость на изгиб, поэтому изгибными деформациями в этом случае можно пренебречь и определить сужение по нормальной компоненте вектора смещений.

Поперечный изгиб возникает в тех случаях, когда внешняя нагрузка антисимметрична относительно срединной плоскости пластины или имеет отличную от нуля поперечную составляющую. Наиболее распространенной теорией изгиба является техническая теория четвертого порядка [74], в которой напряжения определяются следующим образом:

$$\sigma_{11} = \frac{1}{1-\nu^2} M_{11} = -\frac{Ez}{1-\nu^2} \left(\frac{\partial^2 w_0}{\partial x^2} + \nu \frac{\partial^2 w_0}{\partial y^2} \right);$$

$$\sigma_{22} = \frac{1}{1-\nu^2} M_{22} = -\frac{Ez}{1-\nu^2} \left(\frac{\partial^2 w_0}{\partial y^2} + \nu \frac{\partial^2 w_0}{\partial x^2} \right);$$

$$\sigma_{12} = \frac{1}{1-\nu^2} M_{12} = -\frac{Ez}{1-\nu^2} \frac{\partial^2 w_0}{\partial x \partial y};$$

$$\sigma_{13} = -\frac{E}{h^3} \left(\frac{h^2}{4} - z^2 \right) Q_1 = -\frac{E}{2(1-\nu^2)} \left(\frac{h^2}{4} - z^2 \right) \frac{\partial}{\partial x} \Delta w_0;$$

$$\sigma_{23} = -\frac{E}{h^3} \left(\frac{h^2}{4} - z^2 \right) Q_2 = -\frac{E}{2(1-\nu^2)} \left(\frac{h^2}{4} - z^2 \right) \frac{\partial}{\partial y} \Delta w_0;$$

$$Q_1 = -z \frac{\partial w_0}{\partial x}; \quad Q_2 = -z \frac{\partial w_0}{\partial y}; \quad \sigma_{33} = 0,$$

где M_{ab} – моменты напряжений σ_{ab} ; Q_1 и Q_2 – перерезывающие силы (результатирующие по высоте векторы напряжений σ_{13} и σ_{23}); Δ – оператор Ньютона.

Соотношения предполагают выполнение условий малости деформаций, кривизны и углов наклона касательных плоскостей к поверхности изогнутой пластины. Иначе необходимо применять нелинейную теорию изгиба гибких пластин. Эти же соотношения показывают, что все напряжения, а значит, и все деформации определяются во единственной функции $w_0(x, y)$ – прогибу срединной поверхности пластины. Причем если отсутствуют растягивающие силы, приводящие к сужению в соответствии с формулами плоской задачи, тогда прогиб срединной поверхности с достаточно высокой степенью точности совпадает с z -компонентой вектора смещений на боковой поверхности.

Рассмотренные виды напряженно-деформированного состояния – плоская деформация, кручение, одностороннее растяжение, плоское напряженное состояние и поперечный изгиб – допускают естественные обобщения как на динамические нагружения, так и на неупругие материалы. Однако в этих случаях интерес представляют уже не сами деформации, а их скорости и прращения.

Произведенное обсуждение задач экспериментальной механики и требований к методам измерения механических величин позволит в дальнейшем оценить возможности и области применения голографических методов исследований, которым посвящена книга.

2. ОСНОВЫ ГОЛОГРАФИЧЕСКОГО ЭКСПЕРИМЕНТА

Способ записи и восстановления световых волн, предложенный Дьюном Габором в 1948 г. и названный им голографией, через 15 лет благодаря появлению лазеров пережил второе рождение. Дальнейшее развитие голографических идей оказалось настолько бурным, а приложения настолько существенными, что Габор за изобретение голографии в 1971 г. получил Нобелевскую премию.

Основная мысль, приведшая Габора к идеи голограммии, заключалась в том, что волна, рассеянная объектом, имеющая сложное распределение амплитуд и фаз, в любом сечении содержит полную информацию об изображении объекта. И оптическая система по сути дела расшифровывает эту информацию, преобразуя световую волну в изображение на некоторой плоскости. Но в принципе можно обойтись без оптической системы (не случайно голограмму иногда называют беллинзовой фотографией), если найти способ записи и восстановления световой волны. Габор понял, что это можно сделать, используя известные явления интерференции и дифракции световых волн.

Физический смысл самой идеи заключается в следующем. Волны, рассеянная объектом, и опорная волна (рис. 3, а) образуют в области наложения интерференционную картину, которая фиксируется обычным фотографическим способом, например на фотопластинке. Если на полученную таким образом голограмму Γ падает затем опорная волна, то она дифрагирует на интерференционной структуре. В результате дифракции восстанавливается волна, которая при записи от объекта (рис. 3, б). Через голограмму, как через окно, мы видим изображение, ничем не отличающееся от реального объекта. При этом в пределах голограммы можно наблюдать объект с разных ракурсов, ощущая его объемистость.

Другое удивительное свойство голограммы в отличие от фотографии заключается в том, что каждая ее часть несет информацию обо всем объекте. Только вся голограмма – это большое окно, а ее часть – малое отверстие. Видно хуже, но все целиком.

Голограмму можно получить в любом месте пространства, где есть интерференция объектной и опорной волн. На рис. 4 в поле интерференции сферической и плоской волн показаны голограммы в четырех характерных положениях, определяющих четыре различных типа голограмм. В положении 1 предъявляются минимальные требования к когерентности источника и разрешающей способности регистрирующей среды, так как разность хода световых волн до голограммы минимальна, а шаг интерференционных полос максимальен¹⁾. Не случайно именно в этом положении Габором были получены первые голограммы. В качестве источника он использовал ртутную лампу. Такие голограммы получили название осевых, или габоровых. Главный их недостаток – все порядки дифракции совпадают по направлению, что приводит к низкому качеству восстановленного изображения.

Получение голограмм в других положениях оказалось возможным только после появления лазеров. Первые внеосевые голограммы были получены в 1962 г. Э. Лейтом и Ю. Унгениексом. Теперь при восстановлении с голограммы (положение 2) дифрагированные волны разделены в пространстве, и качество изображения существенно улучшается. Внеосевые голограммы получили наибольшее распространение при решении технических задач.

¹⁾ Полагаем, что такие важные понятия, как когерентность, монохроматичность, интерференция, дифракция и другие, известны читателю.



Рис. 3. Формула голограммических изображений:
а – запись; б – восстановление

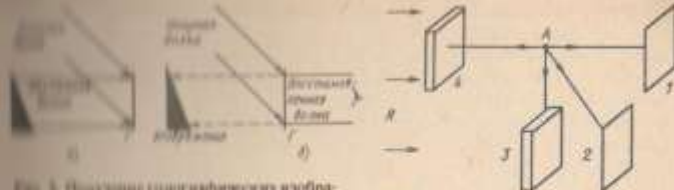


Рис. 4. Типы голограмм

Дальнейшее увеличение угла между опорной и объектной волнами приводит к уменьшению шага полос в соответствии с равенством

$$\delta = \frac{\lambda}{2 \sin \theta / 2}$$

где λ – длина световой волны; θ – угол между интерферирующими волнами; δ – шаг полос.

В положении 3 $\theta = \pi/2$, а в положении 4 $\theta = \pi$. Шаг полос уменьшается до $\lambda/2$, а разность хода световых волн возрастает до удвоенного расстояния от объекта до голограммы. В этом случае толщина эмульсии фотопластинки, равной 10–15 мкм, оказывается достаточно, чтобы зарегистрировать объемную интерференционную картину. Голограммы 3 и 4 в отличие от плоских голограмм 1 и 2 получили название объемных. Голограмма 3 первые описаны П. Ван Хирденом в 1963 г. и получила название брэгговской, так как дифракция на такой голограмме подчиняется закону Брэгга. Голограмма 4 была исследована Ю. Н. Денисюком в 1962 г. и называется обычно голограммой на встречных пучках.

Значительным свойством объемных голограмм является их способность восстанавливать изображение в белом свете. Объемная интерференционная структура представляет собой узкополосный фильтр, вырезающий из непрерывного спектра ту длину волны, на которой была записана голограмма.

Каждая из четырех типов голограмм может быть либо амплитудной, либо фазовой. В первом случае коэффициент потери голограммы изменяется в соответствии с распределением поля яркости, во втором изменяется коэффициент пропадания или рельеф поверхности голограммы.

Фазовые голограммы имеют существенно большую дифракционную эффективность, под которой понимается отношение

$$D = \frac{I_u}{I} - 100 \%$$

где I_u и I – соответственно интенсивность восстановленной и восстанавливающей световых волн. Для плоских фазовых голограмм $D_{\max} = 33,9 \%$, а для объемных $D_{\max} = 100 \%$. Плоские амплитудные голограммы имеют теоретически $D = 6,25 \%$, и объемные примерно такую же.

В то же время фазовые голограммы ввиду наличия дефектов, шарашин,

неоднородностей дают больший уровень шумов в изображении по сравнению с амплитудными голограммами, для которых указанные причины не имеют значения. В зависимости от того, что важно обеспечить – высокую дифракционную эффективность или низкий уровень шумов, выбирается фазовая или амплитудная голограмма.

Понятие дифракционной эффективности имеет более глубокий смысл, нежели просто характеристика яркости воссозданного изображения. Можно считать, что каждая точка изображения восстанавливается со своей дифракционной эффективностью и само изображение, состоящее из точек разной яркости, возникает за счет изменения дифракционной эффективности. Поэтому для неискаженной передачи изображения важно обеспечить линейность зависимости [44]

$$\sqrt{D} = SE_0 V,$$

где S – фотографическая чувствительность регистрирующего материала; E_0 – экспозиция; V – контраст интерференционных полос. Корень означает, что распределение амплитуд световой волны должно быть записано линейно.

Рассмотрим характерные зависимости $\sqrt{D} = f(V)$ при различных экспозициях E_0 (рис. 5). Зависимость 1 соответствует малой экспозиции, когда материал недозаписан. Кривая 2 получена при экспозиции, которая дает максимальный линейный участок, а кривая 3 – при экспозиции, обеспечивающей максимальную дифракционную эффективность. Зависимость 4 характерна для перезаписанного материала. Оптимальная экспозиция является компромиссом между вторым и третьим случаями и устанавливается обычно экспериментально.

Пока мы считали и даже подчеркивали тот факт, что волна, восстановленная с голограммы, ничем не отличается от волны, рассеянной реальным объектом. Это справедливо, конечно, только в идеальном случае. В реальных ситуациях вследствие нелинейности записи и отличий воссоздаваемой волны от опорной изображение искажается. В голограмическом измерительном эксперименте важно количественно оценить возможные искажения. Для этого необходимо разобраться в свойствах изображений, воссоздаваемых с голограммы.

На рис. 6, а в плоскости (x, y) изображена голограмма, на которую записана картина интерференций двух сферических волн от точечных рассеивателей $A(x_A, y_A, z_A)$ и $R(x_R, y_R, z_R)$.

Воссоздаваемая волна (рис. 6, б) исходит из точки $R_B(x_B, y_B, z_B)$, причем длины волн при записи и воспроизведении также отличаются. Возможные изменения масштаба голограммы, играющие большую роль в неоптической голограмме, учитывать не будем. Требуется найти координаты

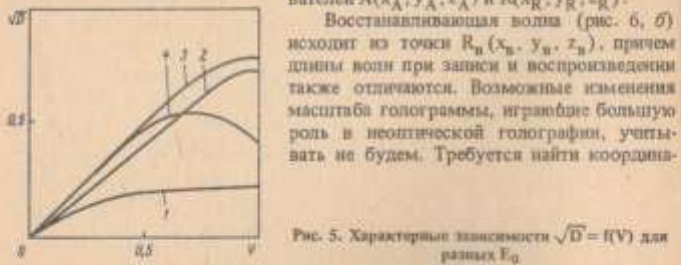


Рис. 5. Характерные зависимости $\sqrt{D} = f(V)$ для разных E_0 .

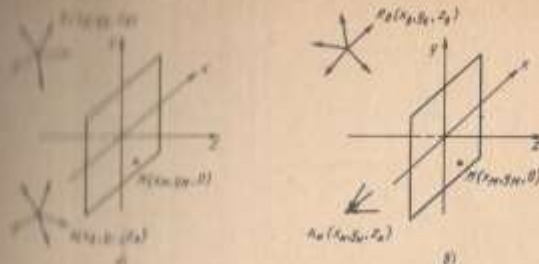


Рис. 6. Регистрация голограммы точечного объекта:
а – запись; б – восстановление

точки $A_B(x_B, y_B, z_B)$, являющейся восстановленным изображением точки A .

Чтобы в аналитическом виде записать распределение яркости на голограмме, выясним, с какой фазой приходит сферическая волна в произвольную точку голограммы $M(x_M, y_M, 0)$ [44]. Пусть в начале координат волна приходит с нулевой фазой. Тогда фаза в точке M

$$\varphi_M = \frac{2\pi}{\lambda_1} (AM - AO) = \frac{2\pi}{\lambda_1} \left\{ [(x_M - x_A)^2 + (y_M - y_A)^2 + z_A^2]^{1/2} - (x_A^2 + y_A^2 + z_A^2)^{1/2} \right\}.$$

Используя разложение в степенной ряд и предполагая, что $z_A^2 \gg x_A^2 + y_A^2$, получаем в первом приближении

$$\varphi_M = \frac{\pi}{\lambda_1} \frac{1}{z_A} (x_M^2 + y_M^2 - 2x_M x_A - 2y_M y_A).$$

По аналогии

$$\varphi_R = \frac{\pi}{\lambda_2} \frac{1}{z_R} (x_M^2 + y_M^2 - 2x_M x_R - 2y_M y_R).$$

Разность фаз $\varphi_M - \varphi_R$ для множества M определяет интерференционную картину. Если волны A и R имеют единичную амплитуду, то распределение яркости, записываемое голограммой,

$$I = |e^{j\varphi_A} + e^{j\varphi_R}|^2 = 2 + e^{j(\varphi_A - \varphi_R)} + e^{j(\varphi_R - \varphi_A)}. \quad (4)$$

Считая запись линейной, получим пропускание T голограммы в каждой точке пропорциональным выражению (4).

Теперь воссоздаем изображение с голограммы волной R_B , длина которой λ_2 , а амплитуда по-прежнему равна единице. Фаза, с которой волна R_B приходит на голограмму, определится выражением

$$\varphi_B = \frac{\pi}{\lambda_2} \frac{1}{z_B} (x_M^2 + y_M^2 - 2x_M x_B - 2y_M y_B).$$



Рис. 7. Восстановление изображений с голограммами:
а - минимое; б - действительного.

Следовательно, распределение амплитуды световой волны за голограммой будет

$$R_B T = 2e^{j\varphi_B} + e^{j(\varphi_B - \varphi_R + \varphi_A)} + e^{j(\varphi_B + \varphi_R - \varphi_A)}$$

Первое слагаемое является копией опорной волны и нас не интересует. Второе и третье слагаемые несут информацию об объектной волне А, причем, когда $\varphi_B = \varphi_R$, второе слагаемое совпадает с объектной волной и мы видим искаженное минимое изображение, как это показано на рис. 7, а. Третье слагаемое показывает, что при этом формируется искаженное изображение объекта, но если $\varphi_B = -\varphi_R$ (восстанавливающий пучок повернули на 180°), то волна будет отличаться от объектной только знаком фазы. Эта ситуация изображена на рис. 7, б. Формируется действительное искаженное изображение, которое наблюдается висящим перед голограммой. Очевидно, что это изображение будет псевдоскопическим по отношению к минимому, так как наблюдение происходит с другой стороны и выпуклости в одном случае видится как вдавлены в другом.

Наша цель — оценить искажения восстановленного с голограммы изображения, когда $\varphi_B \neq \varphi_R$.

Можно утверждать, что если дифрагированная волна сходится в точке А_н (x_A , y_A , z_A), то распределение фазы этой волны в плоскости голограммы должно быть аналогичным ранее записанным выражением для точек А и Р:

$$\varphi_n = \frac{\pi}{\lambda_2} \frac{1}{z_n} (x_M^2 + y_M^2 - 2x_M x_n - 2y_M y_n). \quad (5)$$

Сопоставляя с (5) фазы восстановленных с голограммы световых волн $\varphi_{n1} = \varphi_B - \varphi_R + \varphi_A$ и $\varphi_{n2} = \varphi_B + \varphi_R - \varphi_A$ и вводя обозначение $\mu = \lambda_2/\lambda_1$, получим соответственно для минимого и действительного изображений:

$$\left. \begin{aligned} z_{n1} &= \left(\frac{1}{z_B} - \mu \frac{1}{z_R} + \mu \frac{1}{z_A} \right)^{-1}; \\ x_{n1} &= z_{n1} \left(\frac{x_B}{z_B} - \mu \frac{x_R}{z_R} + \mu \frac{x_A}{z_A} \right); \\ y_{n1} &= z_{n1} \left(\frac{y_B}{z_B} - \mu \frac{y_R}{z_R} + \mu \frac{y_A}{z_A} \right); \end{aligned} \right\} \quad (6)$$

$$\left. \begin{aligned} z_{n2} &= \left(\frac{1}{z_B} + \mu \frac{1}{z_R} - \mu \frac{1}{z_A} \right)^{-1}; \\ x_{n2} &= z_{n2} \left(\frac{x_B}{z_B} + \mu \frac{x_R}{z_R} - \mu \frac{x_A}{z_A} \right); \\ y_{n2} &= z_{n2} \left(\frac{y_B}{z_B} + \mu \frac{y_R}{z_R} - \mu \frac{y_A}{z_A} \right); \end{aligned} \right\} \quad (7)$$

Выражения (6) и (7) дают в первом приближении информацию об искажениях изображения при изменении характеристик восстанавливающей волны. Для определения aberrаций более высоких порядков необходимо учесть дополнительные члены разложения в ряд функции фазы в плоскости голограммы.

Из выражений (6) и (7) легко получить продольное и поперечное уравнения голограммического изображения:

$$M_x = \frac{\partial x_n}{\partial z_A}; M_y = \frac{\partial y_n}{\partial z_A} = \frac{\partial y_n}{\partial x_A}.$$

Рассмотрим важный для практики случай — голограмму с наклонной опорной волной. Если восстанавливающая волна также плоская, а $z_B = z_R = 0$, то для минимого изображения из выражений (6) имеем

$$\begin{aligned} x_{n1} &= \frac{x_A}{\mu}; x_{n1} = x_A; \\ y_{n1} &= y_A + z_A \left(\frac{\operatorname{tg}\theta_B}{\mu} - \operatorname{tg}\theta_R \right), \end{aligned}$$

$$\text{так } \operatorname{tg}\theta_B = y_B/z_B; \operatorname{tg}\theta_R = y_R/z_R.$$

Очевидно, что условиями искаженной записи являются $\mu = 1$ и $\operatorname{tg}\theta_B = \operatorname{tg}\theta_R$. Но если $\operatorname{tg}\theta_B/\mu = \operatorname{tg}\theta_R$, то в μ раз изменяются только z -координаты. На этом основан метод двух длин волн получения топографических карт поверхности объектов, подробно рассмотренный в гл. 3. Сейчас же очевидно, какова допустимая неточность установки угла падения фронта волны, восстанавливающей изображение, если $\mu = 1$.

Абсолютная погрешность восстановления z -координаты, равная

$$\Delta y = z_A (\operatorname{tg}\theta_B - \operatorname{tg}\theta_R),$$

пропорциональна (неизъять только забывать, что в первом приближении) z -координате. Так как всегда $\Delta y \ll z_A$, то угловое разрешение

$$\delta\theta = \Delta y / z_A \approx \theta_B - \theta_R.$$

Например, известно, что предельное разрешение глаза человека составляет $1' - 2'$. Следовательно, и неточность в установке угла, если изображение воспринимается человеком, должна быть не более $1' - 2'$.

Рассмотрим еще один интересный случай, когда $\mu = 1$, $x_R = y_R = x_B = y_B = 0$, $z_R = z_B = z_A$. Эта безлиповая голограмма Фурье, получившая свое название благодаря тому, что распределение амплитуды световой волны в плоскости голограммы соответствует спектру Фурье исходной

объектной волны. Из выражений (6) и (7) следует, что при восстановлении изображения с голограммы Фурье имеем $x_{ii} = x_A$, $y_{ii} = y_A$, $z_{ii} = z_A$ и $x_{i2} = -x_A$, $y_{i2} = -y_A$, $z_{i2} = z_A$. Это означает, что получаются два мнимых или два действительных неискаженных изображения, расположенных симметрично относительно оси z .

Наибольшее распространение голограммы Фурье получили при создании голографических запоминающих устройств, так как они обеспечивают максимальную плотность записи информации. Однако такие свойства голограмм Фурье, как нечувствительность к перемещению голограммы, возможность получения высокого разрешения, являются важными при использовании голографических методов в экспериментальной механике. Эти свойства объясняются тем, что пространственная частота интерференционных полос по всей площади голограммы практически однозначна.

Голографическое изображение, как и всякое другое, полученное с ограниченной апертурой, имеет конечное разрешение, определяемое дифракционным пределом. Если голограмма круглая, то по критерию Рэлея

$$\delta\theta = 1.22\lambda/d,$$

где d – диаметр голограммы.

Предельное разрешение квадратной голограммы со стороной L

$$\delta\theta = \lambda/L.$$

Во всех предыдущих рассуждениях мы считали, что интерференционная картина записывается на голограмму линейно, т.е. пропускание регистрирующего материала Т пропорционально экспозиции Е. Реальная Т – Е-характеристика нелинейна, поэтому возникают искажения изображения. Обычно стремится к тому, чтобы динамический диапазон изменения яркости на голограмме не выходил за пределы линейной части Т – Е-характеристики. Для этого яркость опорной волны выбирают в 5 – 7 раз больше объектной. Но это приводит к уменьшению контраста интерференционных полос, значит, и к снижению дифракционной эффективности. Следовательно, соотношение яркостей опорной и объектной волн имеет оптимальное значение, когда при достаточно высоком контрасте полос искажения от нелинейности не превышают допустимых.

Учет нелинейности Т – Е-характеристики довольно громоздок. Функция Т – Е обычно аппроксимируется полиномом второй или третьей степени

$$T = a_0 + a_1 E + a_2 E^2 + a_3 E^3.$$

Однако в голографической интерферометрии, когда сравниваются два восстановленных изображения между собой, одинаковые искажения того и другого не приводят к существенным изменениям результирующей разностной картины. Поэтому, как правило, нет необходимости прибегать к расчетам, а достаточно визуальный контроль. О наличии или отсутствии существенных нелинейных искажений можно судить по хорошо различимому ореолу вокруг восстановленного изображения.

Рассмотренные выше искажения голографических изображений могут привести к появлению систематических погрешностей голографических методов измерений. Кроме этого, голографическому изображению присущи

также искажения, обусловленные шумами. Это относится, главным образом, к диффузно рассеивающим объектам.

Изображения таких объектов в лазерном свете имеют пятнистую резко-контрастную структуру, получившую название спекл-структур изображения. Ее возникновение связано с тем, что на площадце разрешения, обусловленной дифракционным пределом зрачка, объектива или голограммы, когерентным образом складываются волны со случайными фазами от большого числа точечных рассеивателей.

Спекл-структуру изображения необходимо учитывать при оценке метрологических характеристик голографических методов измерений, как один из источников погрешностей. Но спекл-структура несет и полезную информацию о параметрах шероховатости поверхности. Она лежит в основе спекл-интерферометрии, представляющей интерес для экспериментальной механики.

Отметим, что к настоящему времени процесс записи и восстановления голографических изображений исследован достаточно полно и читатель при необходимости может обратиться к книгам [11, 16, 22, 29, 44, 45, 57–59, 71, 78].

Остановимся на некоторых ограничениях при использовании голографических методов. Эти ограничения в первую очередь связаны с источниками излучения – лазерами, которые применяются в голографическом эксперименте.

Идеальный лазер для голографии должен излучать строго одну линию волны. Тогда световые волны в любых точках пространства когерентны между собой и, будучи наложеными друг на друга, дают четкую интерференционную картину. Реальный лазер имеет ограниченный объем когерентности, а это в свою очередь, налагивает ограничения на размеры голографируемых объектов. Поэтому необходимо разобраться, как определяется объем когерентности лазера.

Различают временную и пространственную когерентности. Временная когерентность требует, чтобы разность фаз в двух фиксированных точках ядра направления светового пучка была постоянна. Пространственная когерентность определяется аналогичным образом, только требование постоянства разности фаз относится к точкам в плоскости, перпендикулярной к направлению пучка.

Линии лазерного излучения, их ширина, количество, пространственное расположение, другими словами, характеристики модовой структуры ограничивают расстояния между точками, для которых выполняются условия когерентности. Максимальные значения этих расстояний получили соответствующие названия длины когерентности и пространственной когерентности.

Можно считать, что продольные моды ответственны за длину когерентности лазера, а поперечные методы определяют пространственную когерентность.

Вычислим длину когерентности. Пусть лазер генерирует только две частоты: ν_1 и $\nu_1 + \Delta\nu$. Тогда при прохождении одного и того же расстояния L они дадут исходы из равенства $\varphi = 2\pi\nu/\lambda$ неодинаковую разность фаз. Определим, при каком L разность фаз составит π . Нетрудно получить, что

$$L = c/2\Delta\nu.$$

Это означает, что при разности хода интерферирующих пучков L волны с частотой ν_1 проходит в фазе, а с частотой $\nu_1 + \Delta\nu$ — в противофазе. Контраст интерференционной картины падает до нуля. Это соотношение определяет длину когерентности.

Даже в случае одиночнотонной генерации полоса спектра $\Delta\nu_1$ отлична от нуля. Правда, при разности хода L определенный контраст интерференционной картины сохраняется за счет линий, разделенных расстоянием, меньшим $\Delta\nu_1$. Этого контракта оказывается еще достаточно для записи голограмм. Поэтому в режиме генерации одной продольной моды длину когерентности определяют как $2L = c/\Delta\nu_1$. Теоретическая $\Delta\nu_1$ может иметь значения $10^5 - 10^6$ Гц, и длина когерентности достигает астрономических величин $3 \cdot 10^6 - 3 \cdot 10^9$ м. Практически $\Delta\nu_1$ гораздо больше. Например, тепловое изменение длины резонатора на 0,01 мкм при $L = 1$ м приводит для гелий-неонового лазера к $\Delta\nu_1 \approx 0,5 \cdot 10^9$ Гц, и длина когерентности падает до 60 м. А реально гелий-неоновый лазер генерирует 5–10 продольных мод. Расстояние между ними для $L = 1$ м равно $\Delta\nu = 0,5 \cdot 10^9$ Гц, в ширину спектра, следовательно, $(0,75 + 1,5) \times 10^9$ Гц. Тогда длина когерентности составляет 20–10 см. Конечно, есть различные методы стабилизации частоты лазера, но все они связаны со значительными потерями мощности излучения.

Для обеспечения пространственной когерентности необходимо иметь одну поперечную моду. Это достигается довольно просто — с помощью диафрагмы выделяется наиболее мощная центральная поперечная мода.

Как ясно из предыдущего, критерием когерентности является контраст интерференционной картины, поэтому нетрудно параметры когерентности определить экспериментально. Собрав интерферометр по схеме, изображенной на рис. 8, а, и увеличивая разность хода лучей, равную $L = a + b - c$, по падению контраста интерференционных полос можно судить о длине когерентности $L_{\text{ coh}}$. Аналогичным образом, расширив лазерный луч и получая интерференцию между отдельными участками фронта волны (рис. 8, б), находим значение пространственной когерентности $d_{\text{ coh}}$. Тогда объем когерентности примерно равен $d_{\text{ coh}}^2 L_{\text{ coh}}$, и размеры голограммируемого объекта не должны выходить за пределы этого объема.

Ограничение размеров исследуемых объектов связано не только с объемом когерентности, но и с мощностью излучения. На первый взгляд может показаться, что мощность не имеет значения. Все решает энергия, а ее можно увеличить за счет времени экспозиции. Однако практически время экспозиции не может быть выбрано достаточно большим из-за механических нестабильностей, тепловых потоков и других причин. Обычно оно не превышает десятков секунд. В этой ситуации возможности голограммического эксперимента зависят от мощности лазера и чувствительности регистрирующей среды.

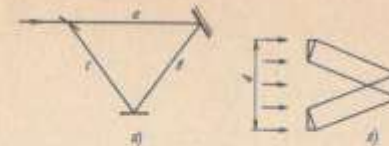
Экспозиция, представляющая собой плотность энергии на голограмме,

$$E = \frac{K P t_2}{S_t},$$

где K — коэффициент передачи энергии от лазера к голограмме; P — мощность излучения; t_2 — время экспозиции; S_t — площадь голограммы.

Коэффициент K для диффузно рассеивающих объектов составляет едини-

Рис. 8. Определение когерентности лазера:
а — временной; б — пространственной



ицы процентов. Его нетрудно определить для каждой конкретной схемы голограммирования. Пусть $K = 5\%$, $P = 50$ мВт (мощность гелий-неонового лазера ЛГ-38), $t_2 = 10$ с, $S_t = 100$ см² (стандартная пластинка 9×12 см²). Тогда $E = 2,5$ Дж/м².

Если в качестве регистрирующего материала используется галоидсеребряная эмульсия (все другие среди имеют пока существенно меньшую чувствительность), то оптимальная экспозиция E_0 лежит в пределах 0,1–10 Дж/м². Сравнивая E и E_0 , приходим к выводу, что высокоразрешающие эмульсии, имеющие низкую чувствительность ($E_0 > 2,5$ Дж/м²), не пригодны для записи голограмм в рассматриваемом случае. Более чувствительные эмульсии могут быть использованы, если окажется достаточной их разрешающая способность. Таким образом, можно высчитать пригодность лазера и материала для регистрации голограммы, если известен объект исследования.

Довольно жесткие требования предъявляются к вибрационным характеристикам голографической установки. Для получения голограмм используется большое число механических подставок с регулировками, осуществляющими повороты и перемещения различных оптических элементов. За время экспонирования голограммы относительное смещение элементов схемы голограммирования не должно приводить к существенному изменению интерференционной картины, записываемой на голограмму. Ширина интерференционных полос может составлять в пределе $\lambda/2$, а допустимый их сдвиг при этом — не более $\lambda/16$. Это означает, что изменение разности хода опорной и объектной волн не должно превышать значений порядка 0,01 мкм.

Уровень вибраций в обычных городских условиях существенно превосходит эту величину. Микросейсмические колебания характеризуются виброскоростями $\sim 10^{-2}$ мм/с и имеют спектр частот от единиц до сотен герц. Собственные же частоты механических элементов составляют в лучшем случае единицы килогерц. Относительные смещения, как нетрудно убедиться, даже при малом времени экспозиции (0,01–0,1) с могут превышать допустимые значения. Поэтому голографические установки нуждаются в виброзащите.

Схема голограммирования собирается на амортизированной плате. Очень часто используют разметочные плиты с пазами и отверстиями для крепления механических подставок. Упругими элементами в разных ситуациях служат пружины, автомобильные камеры, поролоновые маты и т.п. Виброзащитные свойства определяются собственной частотой

$$f_0 = [1/(2\pi)] \sqrt{k/m},$$

где K — упругость амортизатора; m — масса платы.

Относительные смещения уменьшаются в f/f_0 раз, где f – частота вибраций. Однако возможности уменьшения f_0 ограничены прогибом, возникающим под действием силы тяжести. При $f_0 = 1$ Гц прогиб составляет 25 см, т.е. получение такой собственной частоты практически нереально. Обычно $f_0 = 3 \div 5$ Гц.

Если голографическая установка имеет виброзащиту, то можно не предъявлять жестких требований к месту ее расположения. Тем не менее желательно, чтобы поблизости не было работающих компрессоров, двигателей, генераторов.

Необходимость проведения голографического эксперимента на массивной амортизированной плате ограничивает возможности использования голографических методов в производственных условиях. Объект голографирования в процессе экспозиции должен оставаться практически неподвижным. Однако столь категоричное утверждение справедливо, если для получения голограмм используются лазеры непрерывного действия. При голографировании в свете импульсных лазеров, имеющих достаточную энергию, чтобы за время длительности импульса зарегистрировать голограмму, требования к механической жесткости и виброзащите существенно уменьшаются.

Длительности световых импульсов могут составлять $10^{-7} \div 10^{-9}$ с и менее. За такие короткие отрезки времени даже смещения движущихся объектов не успевают превысить допустимых значений порядка 0,01 мкм. Например, при длительности импульса $\tau_i = 10^{-9}$ с и допустимом смещении 0,01 мкм можно голографировать объекты, движущиеся со скоростью менее 10 м/с. С помощью импульсных лазеров удается получать голограммы быстро протекающих процессов.

Применение импульсных лазеров в экспериментальной механике позволяет исследовать объекты при динамических нагрузках, в том числе при ударных воздействиях. Но в настоящее время импульсные лазеры существенно уступают непрерывным по когерентным свойствам и, что не менее существенно для экспериментальной механики, пока нет лазеров, позволяющих получить световые импульсы с малой и регулируемой в широких пределах скважностью. Ведь задача состоит не просто в том, чтобы получить голограмму объекта, надо зафиксировать его состояния, близкие друг другу, в различные моменты времени.

Рассмотренные ограничения приходится учитывать, планируя голографический эксперимент. В то же время следует иметь в виду, что с техническим прогрессом эти ограничения будут постоянно ослабевать.

ГЛАВА 2. ГОЛОГРАФИЧЕСКИЕ ИНТЕРФЕРОМЕТРЫ ДЛЯ ИЗМЕРЕНИЯ СМЕЩЕНИЙ И ДЕФОРМАЦИЙ

1. МЕТОДЫ ПОЛУЧЕНИЯ ГОЛОГРАФИЧЕСКИХ ИНТЕРФЕРОГРАММ

Интерференционные методы исследования обладают уникальными возможностями, однако до изобретения лазеров и голографии их применение было весьма ограничено. Интерферометрия, смысл которой заключается

в сравнении мало отличающихся друг от друга волновых фронтов, предполагает, кроме исследуемого, наличие эталонного фронта. В качестве эталонного фронта практически может быть использована либо плоская, либо сферическая волна. Отсюда и исследуемые объекты должны быть оптически совершенными – зеркала, линзы, пластины. Размеры этих объектов обычно не превышают нескольких сантиметров в связи с малым объемом когерентности источников света.

После изобретения лазеров и голографии в интерферометрии произошел качественный скачок. Использование голографического принципа записи дало возможность запоминать световую волну любой сложности и восстанавливать ее в любой момент времени. Характеристики объекта, сложность его формы перестали играть существенную роль. Размеры могли быть значительно большими. Надобность в эталонном фронте отпала. Стала возможной интерференция между волнами, реально существовавшими в различное время. Если к этому присовокупить бесконтактность и высокие метрологические характеристики, то станет понятно, почему голографическая интерферометрия привлекла внимание широкого круга специалистов, особенно в области механизмов и прочности.

Рассмотрим, как образуется интерференционная картина при смещении точек поверхности диффузно рассеивающего объекта.

Пусть точка А, перемещающаяся со скоростью v , голографируется с направления r_o в освещение когерентной волной с направления r_i (рис. 9). Так как смещения и чайного меньше расстояния от точек освещения и наблюдения, то считаем, что направления r_i и r_o не меняются при перемещении точки А. Тогда разность хода световых волн в направлении r_i составит, как видно на рис. 9,

$$l_o + l_i = (r_o + r_i)/vdt. \quad (8)$$

Обозначая

$$(v/v)(r_o + r_i) = k,$$

где $v = |v|$, а k – коэффициент, определяемый геометрией схемы и характеризующий ее чувствительность, можем записать волну, рассеянную движущейся точкой, в виде

$$a \cos[2\pi/\lambda]k/vdt],$$

где a – амплитуда волны.

Если такая волна записывается на голограмму и время экспозиции равно τ_s , то в результате будет зафиксировано среднее значение амплитуды:

$$\bar{a} = \frac{1}{\tau_s} \int_0^{\tau_s} a \cos(\frac{2\pi}{\lambda} k/vdt) dt. \quad (9)$$

Очевидно, что при $v = 0$ $\bar{a} = a$.

Рассмотрим некоторые характерные движения точек.

Если скорость постоянна, то из выражения (9) следует, что

$$\bar{a} = a \frac{\sin(2\pi/\lambda)kv\tau_s}{(2\pi/\lambda)kv\tau_s}.$$

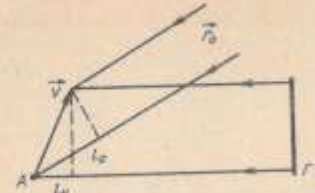


Рис. 9. Голографирование смещающейся точки

Рис. 10. Изменение яркости голографического изображения

Отношение яркости восстановленного с голограммы изображения $\bar{I} = \bar{z}^2$ к записываемой на голограмму яркости $I = z^2$ описывается функцией вида $\sin^2 x/x^2$, изображенной на рис. 10 (кривая 1).

Как интерпретировать этот результат?

Неводнижимые точки ($v = 0$) восстанавливаются с голограммы с максимальной яркостью. Если смещения точек за время экспозиции таковы, что $(2/\lambda)kvT_0 = n$, где n — целые числа, то $\bar{I} = 0$. Изображения таких точек не восстанавливаются с голограммы. В целом образуется интерференционная картина, при этом точки, приводящие линиям равной яркости, имеют одинаковые скорости перемещения. Отметим, что контраст интерференционных полос резко падает с увеличением скорости.

В случае гармонических колебаний $v = v_0 \sin \omega t$ при подстановке этого выражения в уравнение (9) получим

$$\bar{z} = \frac{1}{\tau_0} \int_0^{\tau_0} z \cos\left(\frac{2\pi}{\lambda} kv_0 \cos \omega t\right) dt,$$

где $v_0 = v_0/\omega$ — амплитуда вибросмещения.

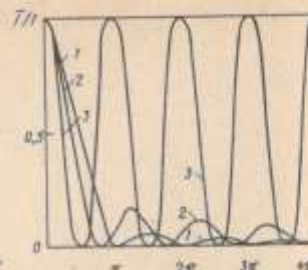
Если $\tau_0 \gg T = 2\pi/\omega$, то

$$\bar{z} = aJ_0\left[\left(2\pi/\lambda\right)kv_0\right],$$

где J_0 — бесселева функция первого рода нулевого порядка (см. рис. 10, кривая 2). Линии равной яркости на интерференционной картине отображают точки, имеющие равные амплитуды вибросмещений. Узловые линии, объединяющие неводнижимые точки, получаются максимально яркими. С увеличением амплитуды колебаний контраст полос падает, однако он выше, чем в первом случае.

Оба рассмотренных случаев являются типичными примерами получения голографических интерферограмм методом усреднения [106]. Этот метод используется обычно для исследования периодических колебаний. Необходимым условием является обеспечение времени экспозиции существенно большего, чем период колебаний.

При исследовании статических деформаций наибольшее распространение получил метод двух экспозиций. Его суть заключается в том, что на голограмму записывается начальное положение точки A (первая экспози-



ция), а затем — конечное положение, например, после присложения нагрузки (вторая экспозиция). Промежуточные положения, в отличие от метода усреднения, не фиксируются голограммой. Восстановленное с голограммы изображение есть результат интерференции двух волн, рассеянных объектом до и после деформации. Яркость каждой точки при этом определяется выражением

$$I = 2a^2 \left(1 + \cos \frac{2\pi}{\lambda} ku\right),$$

где u — смещение точки в результате деформаций. Зависимость нормированного значения яркости от смещения точки в этом случае изображена на рис. 10 (кривая 3). Контраст интерференционных полос высок и одинаков по всей исследуемой поверхности.

Метод двух экспозиций реализуется также при голографировании с помощью импульсного лазера. Одна экспозиция определяется длительностью первого светового импульса, другая — длительностью второго светового импульса, а интерференционная картина несет информацию о смещении объекта за промежуток времени между двумя импульсами. Импульсы должны быть достаточно короткими, чтобы можно было пренебречь смещением объекта за время их длительности.

Импульсное освещение эффективно используется при исследовании периодических колебаний. Такие методы получения интерферограмм были названы стробоголографическими [59]. Их смысл заключается в том, что выбирающий объект при голографировании освещается только в определенные моменты времени, например, соответствующие амплитудным значениям колебаний. Интерференционная картина в этом случае точно такая же, какая была бы при статических деформациях со смещениями точек, равными размаху колебаний.

По сравнению с методом усреднения контраст полос существенно возрастает, расширяются пределы измерения, однако эксперимент усложняется: требуется оптический модулятор, синхронизация с источником исследуемых колебаний. Кроме того, необходим компромисс при выборе длительности световых импульсов. Если импульсы очень коротки, то может стать неприемлемым время экспозиции. При возрастании же длительности импульсов падает контраст интерференционных полос.

Методы голографической интерферометрии позволяют проводить исследования не только статических деформаций или периодических колебаний, но и более сложных движений, в том числе ударных импульсов. Для этого используется метод получения интерферограмм в реальном времени, который часто называют методом "живых" полос [58]. Суть метода заключается в том, что на голограмму записывается волна, рассеянная объектом в некотором начальном состоянии. Голограмма должна быть обработана на месте экспонирования, так как ее смещения в процессе эксперимента недопустимы. Затем объект подвергается воздействию. С голограммы постоянно восстанавливается начальное изображение объекта, и эта волна интерферирует с волной, рассеянной реальным объектом, подвергнувшимся воздействию. Через голограмму наблюдается интерференционная картина, причем она меняется в соответствии с изменениями, происходящими с объектом. По объекту бегут интерференционные полосы, что и дало основание наз-

вать их "живыми". Через голограмму можно производить киносъемку этих полос.

Во всех предыдущих рассуждениях считалось само собой разумеющимся, что фаза опорной волны при голографировании остается постоянной. Это было необходимым условием, поскольку иначе неясно, как интерпретировать интерференционную картину. Голограмма фиксирует разность фаз опорной и объектной волн, а какая из них при этом меняется, не имеет значения.

Однако целенаправленное изменение фазы опорной волны в процессе голографирования в ряде случаев имеет смысл, и методы голографической интерферометрии с фазовой модуляцией опорной волны получили распространение [58].

Например, при исследовании полей вибраций с очень малой амплитудой (меньше 0,1 мкм) методом усреднения, изменения яркости составляют меньше одной полосы, и приходится определять градации яркости на фоне освещенного объекта, что приводит к большим погрешностям измерения. Если же при голографировании объекта зеркало, отражающее опорную волну, вибрирует с амплитудой 0,191 λ , что соответствует первому нулю функции Бесселя (см. рис. 10), то неподвижные точки объекта не записываются на голограмму. Поэтому небольшие изменения яркости, связанные с вибрациями объекта, происходят на черном фоне и могут быть измерены значительно точнее. Это известное преимущество метода компенсации, широко используемого в измерительной технике.

Интересным методом является использование фазовой модуляции опорной волны при исследовании резонансов навесных элементов на печатных платах. Зеркало, отражающее опорную волну, как и печатная плата, жестко крепится на столе вибростендса. Если нет относительных смещений зеркала и объекта, то восстановленное с голограммы изображение получается без полос. Это все равно, что голографировать неподвижный объект. Если же какие-то элементы начинают резонировать, то они на восстановленном изображении покрываются интерференционными полосами.

Важную роль при решении задач экспериментальной механики может играть сочетание различных методов голографической интерферометрии. В качестве иллюстрации приведем задачу исследования форм колебаний и амплитуд вибраций объектов с распределенными упругостью и массой. Требуется в заданном частотном диапазоне найти резонансные частоты, зафиксировать картину узловых линий стоячей волны и определить амплитуды вибраций в характерных точках поверхности.

Решая задачу, сначала получают голограмму неподвижного объекта, как в методе интерферометрии в реальном времени. Затем объект поворачивают на некоторый угол, и тогда через голограмму наблюдается интерференционная картина, которая есть результат наложения волны, восстановленной с голограммы, и волны, рассеянной объектом после поворота. Если теперь объект начинает вибрать, то возникает бегущая волна, и интерференционная картина размыается. В том случае, если частота оказывается резонансной, полосы исчезают только в пучностях, а в узлах стоячей волны полосы и их контраст сохраняются. Таким образом, в виде интерференционных штрихов через голограмму наблюдается картина узловых линий, кото-

рая может быть зафиксирована фотоаппаратом. Для определения амплитуд вибраций на резонансных частотах получают голограммы методом усреднения. В дальнейшем эксперимент по определению форм колебаний и амплитуд вибраций будет описан более подробно.

Рассмотренные методы голографической интерферометрии позволяют решать как статические, так и динамические задачи экспериментальной механики. Они хорошо дополняют друг друга, и выбор конкретного метода или их сочетания зависит от условий и цели эксперимента.

2. МЕТОДЫ РАСШИФРОВКИ ГОЛОГРАФИЧЕСКИХ ИНТЕРФЕРОГРАММ

Интерферограмма, представляющая собой двумерный сигнал в виде распределения интенсивности световой волны, содержит большой объем информации об исследуемом объекте. Эту информацию необходимо извлечь путем обработки и расшифровки интерферограмм. Методы расшифровки и возможность их автоматизации имеют важное значение и зачастую определяют целесообразность использования голографических методов исследования. Естественно, что расшифровке уделяется серьезное внимание в многочисленных работах по голографической интерферометрии [1, 8–10, 12–14, 18, 21, 38, 46, 52, 62–64, 67, 70, 80, 82, 83, 85–91, 95, 97, 99, 101–108, 112–117, 119, 120].

Вернемся к выражению (8), определяющему разность хода световых волн, рассеянных движущейся точкой поверхности. Исходя из него разность фаз этих волн для двух положений точки, разделенных смещением u , составит

$$\varphi = \frac{2\pi}{\lambda} (r_o + r_n)u. \quad (10)$$

В то же время яркость точки является периодической функцией разности фаз φ и может быть выражена через число интерференционных полос N следующим образом:

$$\varphi = 2\pi N. \quad (11)$$

Одной полосой считается период изменения яркости.

Приравнивая (10) и (11), получим

$$u(r_o + r_n) = N\lambda. \quad (12)$$

Уравнение (12) является исходным при расшифровке интерферограмм. Очевидно, что оно позволяет определить проекцию вектора смещения u на бисектрису угла между направлениями освещения r_o и наблюдения r_n . Поэтому при расшифровке важную роль играют априорные данные о характере смещений или деформаций объекта.

Самым простым является случай, когда смещение u совпадает по направлению с r_o и r_n . Тогда из (12) следует, что

$$u = (\lambda/2)N.$$

Подчеркнем, что N – это число полос, пробежавших через точку при ее смещении по величине u . Практически, если исключить интерферометрию

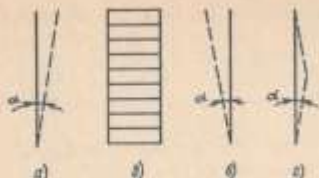


Рис. 11. "Чистый" поворот объекта

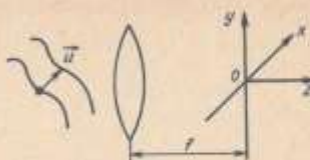


Рис. 12. Параллельное смещение объекта

в реальном времени, имеется неподвижная интерференционная картина и судить о числе полос N можно только косвенным образом. Если известны на объекте неподвижные точки или так называемая кульевая полоса, то N можно определить, считая число полос между неподвижной точкой и сместившейся. Естественно, что N может быть и числом дробным.

Довольно простым случаем является "чистый" поворот объекта (рис. 11, а). Так как угол поворота α мал, то $u = \alpha r$, где r – расстояние от оси вращения до точки, в которой определяется смещение. Тогда

$$a = (\lambda/2)(N/r).$$

Интерференционные полосы при этом параллельны осям поворота, имеют одинаковую пространственную частоту N/r линий на один миллиметр и поклонены на поверхности объекта (рис. 11, б).

Нетрудно увидеть, что точно такая же картина интерференционных полос получится, если объект повернется в противоположную сторону (рис. 11, в) или деформируется, как показано на рис. 11, г. Это является следствием того, что проекция вектора смещения определяется с точностью до знака. Поэтому при получении количественной информации по интерферограмме возникает проблема однозначности расшифровки. Ее решение будет уделено внимание несколько позже, при рассмотрении задачи расшифровки в общем виде.

Интересным является случай параллельного смещения объекта (рис. 12). Все точки поверхности смещаются одновременно, поэтому на восстановленном с голограммами изображении они будут иметь одну и ту же яркость, меньшую или большую в зависимости от разности фаз двух волн. На объекте полос нет, однако на бесконечности или (что то же самое) в фокальной плоскости линзы образуется интерференционная картина. Для этих полос, локализованных на бесконечности, найдено [38] аналитическое выражение, позволяющее определить вектор смещения объекта:

$$\begin{aligned} u(\cos\phi_0 - \frac{x}{\sqrt{r^2 + x^2 + y^2}}) + v(\cos\phi_0 - \frac{y}{\sqrt{r^2 + x^2 + y^2}}) + \\ + w(\cos\gamma_0 - \frac{r}{\sqrt{r^2 + x^2 + y^2}}) = N\lambda, \end{aligned}$$

где u, v, w – компоненты вектора смещения и в прямоугольной системе координат; $\cos\phi_0, \cos\phi_0, \cos\gamma_0$ – направляющие косинусы вектора освещения r_0 ; r – фокусное расстояние линзы (см. рис. 12). Число полос N подчи-

няется от начала координат до точки с координатами (x, y) . Для нахождения u, v, w составляется система из трех линейно независимых уравнений.

Общее решение задачи расшифровки

Чистый поворот и параллельное смещение являются крайними случаями. В общем виде исследуемую поверхность можно представить в виде совокупности элементарных участков, каждый из которых не испытывает деформаций. Положение такого участка характеризуется тремя проекциями вектора смещения его центра и тремя углами Эйлера, описывающими поворот вокруг осей прямоугольной системы координат. Метод определения шести указанных параметров по голограммической интерферограмме был предложен в работе [99].

Авторам удалось найти взаимосвязь этих параметров с шагом интерференционных полос и расстоянием от объекта до места их локализации. Уравнения оказалось весьма громоздкими, и такой метод расшифровки практически не получил распространения. Это объясняется следующими причинами.

В-первых, возникают трудности определения размеров элементарного участка. При деформациях сложных по форме объектов, когда использование методов голограммической интерферометрии наиболее эффективно, размеры элементарных участков очень малы, а число их соответственно велико.

В-вторых, сложно определить с достаточной точностью расстояние до места локализации интерференционных полос. Вследствие этого возникает большая погрешность измерения.

В-третьих, расшифровка по этому методу оказывается трудоемкой и физически мало наглядной, а ее автоматизация – практически невозможной.

Гораздо более плодотворным оказался другой подход, когда поверхность исследуемого объекта представляется в виде совокупности точек и расшифровка интерферограмм сводится к нахождению трех компонентов вектора смещения каждой из них. Именно такой подход привел к уравнению (12), из которого может быть определена одна проекция вектора смещения.

Для нахождения всех трех компонентов вектора необходимо получить три линейно независимых уравнения вида (12). Это можно сделать, изменяя или направление наблюдения r_n , или направление освещения r_0 либо поворачивая объект, что приводит к изменению обоих направлений.

Наиболее распространение получили метод, основанный на изменении направления наблюдения. Он был описан в работе [1]. Нахождение вектора смещения осуществляется следующим образом.

Выбирается первоначальное направление наблюдения r_{n1} (рис. 13), для которого в соответствии с выражением (8) имеем

$$\varphi_1 = \frac{2\pi}{\lambda} u(r_0 + r_{n1}).$$

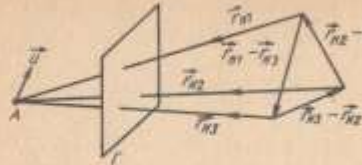


Рис. 13. Определение вектора смещения на основе изменения направления наблюдения

Затем определяется число N_{12} периодов изменения яркости исследуемой точки в процессе изменения направления на-

блодения с r_{n1} на r_{n2} . Очевидно, что

$$\varphi_2 = \frac{2\pi}{\lambda} u(r_0 + r_{n3}),$$

а разность фаз $\varphi_2 - \varphi_1$ равняется

$$u(r_{n2} - r_{n1}) = N_{12}\lambda. \quad (13 \text{ a})$$

Как и уравнение (12), полученное равенство определяет проекцию вектора смещения с точностью до знака. Однако теперь это проекция не на биссектрису угла между направлениями освещения и наблюдения, а на разностный вектор $r_{n2} - r_{n1}$. Это весьма существенно, поскольку интерферометр в зависимости от того, как подсчитываются интерференционные полосы, оказывается наиболее чувствительным к различным составляющим вектора смещения.

Изменяя направление наблюдения с r_{n2} на r_{n3} и возвращаясь с r_{n3} на r_{n1} , получаем аналогичным образом два других уравнения:

$$u(r_{n3} - r_{n2}) = N_{23}\lambda; \quad (13 \text{ b})$$

$$u(r_{n1} - r_{n3}) = N_{31}\lambda. \quad (13 \text{ c})$$

Чтобы уравнения (13) были линейно независимы, направления наблюдения не должны лежать в одной плоскости.

Система трех уравнений вида (13), первые части которых определены только по модулю, является недопредeterminedной. Она дает четыре пары решений: $\pm u_1, \pm u_2, \pm u_3, \pm u_4$. Чтобы узнать, какая из этих пар векторов содержит достоверный результат, необходимо четвертое уравнение, например

$$u(r_{n4} - r_{n3}) = N_{34}\lambda. \quad (13 \text{ d})$$

Подставляя решения $\pm u_i$ в это уравнение, находим такое решение, при котором оно обращается в тождество. В итоге получаем решение, достоверное по модулю, но неопределенное по знаку. При исследовании вибраций это не имеет никакого значения, так как нас интересует именно модуль вибросмещения. В случае статической деформации знак смещения обычно нетрудно определить из условий эксперимента.

Таким образом, метод расшифровки, предложенный в работе [1], позволяет по одной голограмме, четырежды меняя направление наблюдения, определить векторы смещений точек поверхности объекта. Метод нагляден, математическая обработка исходных данных достаточно проста и связана с решением системы линейных алгебраических уравнений. Для расшифровки интерферограммы не требуется знание направления освещения.

Это особенно существенно, когда исследуются большие объекты, освещаемые сферической волной. Кроме того, отсутствует необходимость в задании полосы нулевого порядка, так как подсчитываются только полосы, проходящие через исследуемую точку.

Перечисленные преимущества метода позволили ему стать одним из основных методов расшифровки интерферограмм, практически применяемых экспериментаторами.

Однако при одноголограммном методе расшифровки возможность изменения направления наблюдения ограничена размерами голограммы. Это приводит к тому, что во многих случаях регистрируемое изменение интенсивности при изменении направления наблюдения незначительно и составляет малые доли интерференционной полосы. Возможности измерения при этом ограничены шумами голографического изображения.

Другим недостатком одноголограммного метода является необходимость малой апертуры наблюдения для выделения одного направления, что приводит к значительной потере интенсивности изображения.

Указанные недостатки во многом устраняются при голографировании во встречных пучках [9] и многоголограммном методе расшифровки интерферограмм [91, 114]. По своему физическому смыслу он не отличается от одноголограммного метода. Несколько голограмм, которые располагаются под разными углами по отношению к исследуемому объекту, можно представить как составные части одной большой голограммы. Но так как в данном случае нет возможности непрерывного изменять направление наблюдения, то на каждой интерферограмме необходимо иметь начало отсчета — неподвижную точку, через которую проходит полоса нулевого порядка. В результате получаем систему уравнений вида (12):

$$u(r_0 + r_{ni}) = N_i\lambda, \quad (14)$$

где $i = 1, 2, 3, 4$; N_i — число интерференционных полос от полосы нулевого порядка до исследуемой точки на каждой из полученных интерферограмм.

Четвертое уравнение, как и в предыдущем методе, является дополнительным.

Возможность изменения направления наблюдения теперь не ограничена размерами голограммы, и r_{ni} существенно отличаются друг от друга. Другим преимуществом многоголограммного метода является то, что расшифровку можно производить по фотографиям интерференционных картин. Это важно, если используется устройство ввода интерферограмм в ЭВМ.

К недостаткам многоголограммного метода следует отнести необходимость задания полосы нулевого порядка, сложность оптической схемы записи голограмм. Кроме того, при записи голограмм с разных направлений форма и размеры голографических изображений объекта отличаются друг от друга. Поэтому при определении смещений в заданных точках нужна идентификация точек на разных интерферограммах.

Методы расшифровки, основанные на изменении направления наблюдения, получили наибольшее распространение. Что касается двух других возможных методов — изменения направления освещения и поворота объекта [63], то они используются в настоящее время гораздо реже. Тем не менее в ряде случаев применение этих методов может быть весьма эффективным.

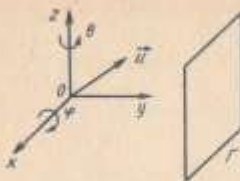


Рис. 14. Определение вектора смещения на основе поворота объекта

При изменении направления освещения можно получить три голограммы на одной фотопластинке, при этом упрощается идентификация точек. Однако оптическая схема усложняется, так как надо не только изменять направление освещения, но и иметь три различных опорных пучка, каждый из которых восстанавливает свою голографическую интерферограмму. Если использовать три фотопластинки, то можно обойтись одним опорным пучком. Система уравнений, получаемых в этом случае, аналогична (14):

$$u(r_{01} + r_u) = N_1 \lambda,$$

и все, отмеченное ранее, остается для нее справедливым.

При повороте объекта все три голограммы также могут быть получены на одной фотопластинке, при этом требуется три различных опорных пучка, но схема голографирования существенно проще, чем при изменении направления освещения. Кроме того, интерференционная картина в 2 раза более чувствительна к повороту. Это объясняется тем, что при повороте объекта искомый вектор смещения поворачивается на тот же угол, что и объект. При таком повороте векторы r_0 или r_u направление биссектрисы угла изменяется только на половину угла поворота.

Направления вращения выбирают такими, чтобы система уравнений для определения вектора смещения была как можно проще. Если геометрия интерферометра такова, как изображена на рис. 14, то повороты вокруг оси Oz на угол θ и вокруг оси Ox на угол φ приводят к следующей системе уравнений [64]:

$$\begin{cases} u \cos \beta = N_1 \lambda; \\ u(\cos \theta \cos \varphi + \cos \theta \sin \varphi) = N_2 \lambda; \\ u(\cos \theta \cos \varphi + \cos \theta \sin \varphi) = N_3 \lambda; \\ \cos^2 \alpha + \cos^2 \beta + \cos^2 \gamma = 1. \end{cases}$$

где $\cos \alpha, \cos \beta, \cos \gamma$ — направляющие косинусы вектора смещения.

Решая эту систему, получим довольно простое выражение для определения модуля вектора смещения:

$$u = \lambda \left[N_1^2 + \frac{(N_2 - N_1 \cos \theta)^2}{\sin^2 \theta} + \frac{(N_3 - N_1 \cos \theta)^2}{\sin^2 \varphi} \right]^{1/2}.$$

В связи с неопределенностью знака числа полос N_i и в этом случае имеем четыре возможных значения модуля, а для выяснения, какое из них достоверное, нужна либо априорная информация, в каком октанте находится искомый вектор, либо дополнительное уравнение.

Метод поворота объекта является перспективным при измерении поля вибраций точек поверхности. При измерении статических смещений использование метода поворота, как и метода изменения направления освещения,

связано с трудностями механической регулировки, которая должна выполняться с высокой точностью. Во время первой экспозиции объект или освещдающий пучок трижды меняет свое положение. Затем действует нагрузка, вызывающая деформацию объекта. Во время второй экспозиции объект или освещдающий пучок должен последовательно занять те же самые положения, что и до деформации, так, чтобы не возникали интерференционные полосы от неточности установки.

Таким образом, методы расшифровки интерферограмм, основанные на представлении диффузной поверхности в виде совокупности точек, являются наиболее общими, и позволяют в каждой из этих точек определить вектор смещения.

Непосредственное определение деформаций по интерферограмме

В большинстве случаев при решении задач экспериментальной механики нас интересуют не собственно смещения, а то, какие деформации и напряжения они вызывают. Так как по голографической интерферограмме можно получить только двумерные функции $u(x, y)$, $v(x, y)$, $w(x, y)$, то полностью могут быть определены лишь компоненты поверхностной деформации ϵ_{xx} , ϵ_{yy} , $\epsilon_{xy} = \epsilon_{yx}$, которые вычисляются как производные от поля смещений. Поскольку при расшифровке интерферограммы поле смещений получается дискретным, необходимо аппроксимировать его непрерывными функциями. В простейшем случае используется линейная аппроксимация, при необходимости можно воспользоваться сплайн-функциями.

Прямое решение задачи, связанной с аппроксимацией и последующим дифференцированием, является трудоемким и приводит к значительным погрешностям определению деформаций [32, 39]. Поэтому понятно стремление к непосредственному определению деформаций по интерференционной картине. Авторы работы [89] для этой цели используют информацию о линиях полной локализации интерференционных полос, работ [108, 116] вводят понятие вектора-полосы. Нам представляется более рациональным для непосредственного определения деформаций по интерферограмме использовать тот факт, что деформация в точке связана с градиентом интенсивности в этой же точке.

Действительно, смещение двух точек поверхности относительно друг друга определяется числом интерференционных полос между ними. Поэтому, кстати, при определении поля деформаций в отличие от поля смещений совсем не обязательно знать нулевую точку или полосу. В качестве отсчетной можно выбрать любую удобную точку объекта. Устремляя к нулю расстояние между точками, приходим к тому, что деформация в точке определяется градиентом интенсивности. Следовательно, дифференцирование интерференционной картины, полученной в результате смещений точек поверхности, позволяет найти распределение интенсивности, характеризующее деформацию поверхности.

Покажем, каким образом вычисляются деформации.

Нормированное на единицу значение яркости восстановленной с голограммы интерференционной картины определяется выражением

$$I = \frac{1}{2} (1 + \cos \varphi),$$

где φ – фаза, которая обусловлена смещением и определяется выражением (10).

Дифференцируя функцию яркости по координатам x и y , считая при этом направления освещения и наблюдения постоянными, получим с точностью до знака:

$$\begin{aligned}\frac{\partial I}{\partial x} &= \frac{1}{2}(r_0 + r_u)(i \frac{\partial u}{\partial x} + j \frac{\partial v}{\partial x} + k \frac{\partial w}{\partial x}) \sin \varphi; \\ \frac{\partial I}{\partial y} &= \frac{1}{2}(r_0 + r_u)(i \frac{\partial u}{\partial y} + j \frac{\partial v}{\partial y} + k \frac{\partial w}{\partial y}) \sin \varphi.\end{aligned}\quad (15)$$

Уравнения (15) определяют взаимосвязь между производной от функции распределения интенсивности $I(x, y)$ и линейными деформациями. Из этих уравнений видно, что огибающая производной от интерференционной картины пропорциональна линейным деформациям.

Для определения компонент линейной деформации по аналогии с (13) или (14) составляют систему уравнений, только вместо чисел полос N_i здесь используют производные $\frac{\partial I}{\partial x}$ и $\frac{\partial I}{\partial y}$, полученные при разных направлениях наблюдения.

Таким образом, для определения деформаций поверхности исследуемого объекта сначала получают голографическую интерферограмму, характеризующую поле смещений точек поверхности, затем находят производную от расщепления яркости в исходной интерферограмме, далее выделяют огибающую полученного в результате дифференцирования расщепления яркости и по ней вычисляют деформации поверхности в заданных точках.

Изложенный способ определения деформаций [21] обладает важными преимуществами. Во-первых, устраняется необходимость нахождения поля смещений точек и его аппроксимации. Во-вторых, не требуется счета интерференционных полос. В-третьих, вычисляется деформация именно в точке, а не усредненная по некоторому участку поверхности.

При вычислении производных от поля $I(x, y)$ могут возникнуть определенные трудности. К ним относится неравномерность освещения объекта, что приводит к необходимости учитывать изменение яркости по поверхности объекта. Кроме того, интерференционная картина оказывается сильно зашумленной вследствие зернистости изображения диффузных объектов. Так как зернистая структура является высокочастотной, то это существенно скажется на значениях производной в точках поверхности.

В то же время есть возможность обойти эти трудности, если учесть, что деформации проявляются, по сути дела, в изменении частоты интерференционных полос. Выделяя середины полос и проводя через них спирусоиды по направлениям x и y , можно использовать полученные монопилюрованные по частоте гармоники в качестве $I(x, y)$. При этом амплитуда гармоник не имеет значения, поскольку коэффициенты нормируют по максимальному значению.

Использование эффекта муара интерференционных полос

При расшифровке голографических интерферограмм может быть успешно использован эффект муара, называемый еще механической интер-

ференцией. Применение эффекта муара не позволяет получать такую же подробную информацию о полях смещений и деформаций, как при использовании методики, изложенной выше. Однако простота реализации и наглядность результатов в ряде случаев компенсируют недостаточные точность и детализацию при определении деформаций.

Принципы получения муаровых картин достаточно хорошо изучены и успешно используются в экспериментальной механике [30, 73]. Муаровые полосы обычно получают при наложении эталонного и деформированного вместе с образцом растров. Полученные таким образом муаровые линии в свою очередь могут быть использованы как интерферирующие растры при наблюдении муара второго порядка.

Рассмотрим муаровые эффекты, возникающие при наложении разных картин интерференционных полос, восстановленных с интерферограмм. Это явление во многом похоже на муар второго порядка, но значительно проще реализуется на практике.

Пусть интенсивность картин полос, восстановленной с k -й интерферограммой, описывается функцией

$$I_k(x, y) = A_k(1 + V_k \cos \frac{2\pi}{\lambda} f_k(x, y)), \quad (16)$$

где A_k – коэффициент, зависящий в основном от мощности восстанавливавшего пучка и пропускания голограммы; $f_k(x, y)$ – некоторая функция, связанная с механическими характеристиками исследуемого объекта; V_k – контраст интерференционных полос, определенный как

$$V_k = \frac{\langle I_k \rangle_{\max} - \langle I_k \rangle_{\min}}{\langle I_k \rangle_{\max} + \langle I_k \rangle_{\min}},$$

где $\langle I_k \rangle_{\max}$ и $\langle I_k \rangle_{\min}$ – среднее значение интенсивности соответственно в окрестности яркой полосы и в окрестности темной полосы.

Спекл-шумы восстановленных изображений являются быстро осциллирующими случайными функциями и поэтому не алигнат на рассматриваемые ниже низкочастотные муаровые картины до тех пор, пока шаг интерференционных полос значительно больше размера спекла. В этом случае как исходные интерференционные, так и полученные на них муаровые картины полос будут наблюдаваться из фоне спекл-структур.

Механическая интерференция полос возникает как результат взаимодействия интенсивностей, описанных функцией (16). Осуществить этот процесс можно, например, путем последовательного экспонирования разных систем полос на одну и ту же фотопластинку, которую для краткости будем называть муарограммой. При этом в пределах линейного участка характеристики фотоматериала амплитудное пропускание, или покрасение пластины, пропорционально интенсивности экспонируемой картины и времени ее экспозиции t_k . Суммарное пропускание после экспонирования двух картин полос $I_1(x, y)$ и $I_2(x, y)$ пропорционально следующей функции:

$$t_1 I_1 + t_2 I_2 = (B_1 + B_2)(1 + V_m \cos \frac{2\pi}{\lambda} f_1 + V_{m2} \cos \frac{2\pi}{\lambda} f_2),$$

$$B_k = I_k A_k; V_{mk} = \frac{V_k B_k}{B_1 + B_2}, \quad k = 1, 2.$$

Пренебрегая деталями распределения исходных относительно высокочастотных картин полос, получаем

$$I_1 I_1 + I_2 I_2 \approx (B_1 + B_2) (1 + V_0 \cos \frac{\pi}{\lambda} (f_1 + f_2) \cos \frac{\pi}{\lambda} (f_2 - f_1 - \varphi));$$

$$\varphi = \frac{\lambda}{\pi} \arcsin \frac{V_{01} - V_{02}}{V_0}; V_0 = \sqrt{V_{01}^2 + V_{02}^2}.$$

Таким образом, исходные системы интерференционных полос модулируются по амплитуде относительно низкочастотной функцией

$$\cos \frac{\pi}{\lambda} [f_2(x, y) - f_1(x, y) - \varphi].$$

узловые линии которой и будут восприниматься как светлые муаровые полосы. Расшифровать эти полосы удобно, когда время экспозиций подобрано так, что $\varphi = 0$. В этом случае и множитель V_0 будет максимальным. Ясно, что видность (конtrast) муаровых полос будет наибольшей, если контраст исходных интерференционных полос равен единице: $V_1 = V_2 = 1$, поэтому $V_0 = 1$. Всюду в дальнейшем будем иметь в виду именно эту ситуацию.

На практике интерес представляет случай, когда функции $f_k(x, y)$ не произвольные, а лишь немного отличаются друг от друга. Муар дает возможность получить количественную оценку этого отличия и выявляет области, где функции $f_k(x, y)$ не совпадают.

Остановимся на дифференцировании с помощью муара картины интерференционных полос, необходимом, как было показано ранее, для непосредственного определения деформаций по интерферограмме. Отметим сразу, что такое дифференцирование не позволяет получить градиент интенсивности в точке, а дает информацию о градиенте числа интерференционных полос.

На пластиинку дважды экспонируется одна и та же система интерференционных полос, причем вторая экспозиция делается после сдвига пластиинки. Пусть сдвиг сделан вдоль оси Ox на достаточно малую величину x_0 . Суммарное амплитудное пропускание фотопластиники после двух экспозиций пропорционально функции, определяющей картину муаровых полос:

$$I_1(x, y) = 1 + \cos \left[\frac{2\pi}{\lambda} u(x, y, z) r(x, y, z) \right] \cos \left[\frac{\pi}{\lambda} \Delta u(x, y, z) r(x, y, z) \right], \quad (17)$$

где

$$\Delta u(x, y, z) r(x, y, z) \equiv u(x, y, z) r(x, y, z) - u(x - x_0, y, z) r(x - x_0, y, z).$$

Здесь координата $z = z(x, y)$ соответствует поверхности исследуемого объекта. Если расстояние от объекта до точек наблюдения и освещения намного больше его геометрических размеров и вектор $r(x, y, z)$ оказывается практически постоянным, муаровые полосы, как видно из выражения (17) непосредственно связаны с тензором дисторсий $\frac{\partial u}{\partial x_\beta}$, $\alpha, \beta = 1, 2, 3$. Действительно,

$$r u(x, y, z) - r \cdot u(x - x_0, y, z) = x_0 r \frac{\partial}{\partial x} u(x, y, z) + O(x_0^2); \quad (18)$$

$$I_1(x, y) \approx 1 + \cos \frac{2\pi}{\lambda} r \cdot u(x, y, z) \cos \frac{\pi x_0}{\lambda} r \frac{\partial}{\partial x} u(x, y, z),$$

и муаровые полосы являются линиями уровня величины $r \partial u / \partial x$. Точно так же можно получать муаровую картину при сдвиге фотопластинки вдоль оси Oy на y_0 . В этом случае амплитудное пропускание муарограммы пропорционально функции

$$I_2(x, y) \approx 1 + \cos \frac{2\pi}{\lambda} r u(x, y, z) \cos \frac{\pi y_0}{\lambda} r \frac{\partial}{\partial y} u(x, y, z).$$

Если такую же процедуру осуществить еще над двумя интерферограммами, для которых направления наблюдения и освещения отличны от предыдущей, то получается замкнутая система для определения шести из девяти компонентов тензора дисторсий $\frac{\partial u}{\partial x}$ и $\frac{\partial u}{\partial y}$:

$$\left. \begin{aligned} r_1 \frac{\partial u}{\partial x} &= \frac{\lambda}{x_0} N_{1x}; \quad r_2 \frac{\partial u}{\partial x} = \frac{\lambda}{x_0} N_{2x}; \quad r_3 \frac{\partial u}{\partial x} = \frac{\lambda}{x_0} N_{3x}; \\ r_1 \frac{\partial u}{\partial y} &= \frac{\lambda}{y_0} N_{1y}; \quad r_2 \frac{\partial u}{\partial y} = \frac{\lambda}{y_0} N_{2y}; \quad r_3 \frac{\partial u}{\partial y} = \frac{\lambda}{y_0} N_{3y}, \end{aligned} \right\} \quad (19)$$

где $r_k = r_{nk} + r_{ok}$, n и o — числа N со своими индексами указывают порядки муаровых полос на соответствующих картинах.

Полученные по уравнениям (19) компоненты тензора дисторсий позволяют подсчитать три плоские деформации на поверхности объекта:

$$\epsilon_{xx} = \frac{\partial u}{\partial x}; \quad \epsilon_{yy} = \frac{\partial v}{\partial y}; \quad \epsilon_{xy} = \epsilon_{yx} = \frac{1}{2} \left(\frac{\partial u}{\partial y} + \frac{\partial v}{\partial x} \right),$$

и угол ψ малого жесткого поворота вокруг оси Oz :

$$\psi = \frac{\partial u}{\partial y} - \frac{\partial v}{\partial x}.$$

Необходимо отметить, что в данном случае муаровые полосы есть линии уровня производных, взятых в точках объекта при первой экспозиции. Поэтому им присвоены начальные координаты (x, y, z) . Однако с таким же успехом их можно отнести и ко второму положению фотопластинки и присвоить им координаты $(x - x_0, y, z)$. В действительности полученным значениям производных надо присвоить некоторые средние координаты $(x - ox_0, y, z)$, где $0 < \alpha < 1$. Поэтому область покрытия муаровых полос оказывается размыта на величину сдвига между экспозициями. Это обстоятельство не вызывает затруднений при расшифровке, пока шаг муаровых полос больше сдвига x_0 . Иначе необходимо отказаться от интерпретации полос как линий уровня производных и считать их линиями уровня разностей:

$$r[u(x, y, z) - u(x - x_0, y, z)] = \lambda N;$$

$$N = 0; \pm 1; \pm 2 \dots$$

В этом случае с учетом изменения знака числа полос разностям можно присваивать как исходные (x, y, z) , так и сдвинутые координаты $(x - x_0, y, z)$.

Интерпретация муаровых полос как линий уровня первых производных нарушается еще в одном случае, когда разность (18) наблюдается в

окрестности стационарных точек поля смещений ($\partial u / \partial x = 0$). Тогда в (18) необходимо учесть квадратичную составляющую:

$$r[u(x, y, z) - u(x - x_0, y, z)] = \frac{x_0}{2} \frac{\partial^2 u}{\partial x^2} r + O(x_0^3).$$

Количество муаровых полос при механическом дифференцировании можно оценить следующим образом. Пусть для определенности муарограмма получена при свите вдоль оси Ox . Проведем вдоль направления Ox линию по всей ширине объекта от начала изображения ($x = 0$) до его конца ($x = b$) и сосчитаем все пересеченные ею муаровые полосы. Число это N_0 будет удовлетворять неравенству

$$N_0 > N_{\text{муар}} \left| \frac{b}{b} \right| \geq N_{\text{нит}} \left| \frac{b}{b - x_0} \right| - N_{\text{нит}} \left| \frac{a + x_0}{a} \right|,$$

где через $N_{\text{муар}}$ обозначен порядок муаровых полос, а через $N_{\text{нит}}$ — порядок исходных интерференционных полос, пересеченные проведенной прямой. Оценка будет более точной, если вдоль линии порядок муаровых полос изменяется монотонно.

Муар интерференционных полос может быть успешно использован также при решении задач о концентрации напряжений в окрестности некоторого дефекта.

Известно [48], что упругие смещения в этом случае можно представить в виде суммы

$$u(x, y, z) = u^0(x, y, z) + u^*(x, y, z),$$

где $u(x, y, z)$ — полное смещение точек объекта; $u^0(x, y, z)$ — смещение в отсутствие дефекта, но при тех же условиях нагружения и закрепления; $u^*(x, y, z)$ — возмущение смещений, вносимое дефектом. Относительно $|u^*|$ заметим, что при удалении от дефекта он достаточно быстро убывает [48]:

$$|u^*(x, y, z)| < U/R; R = \sqrt{(x - x_*)^2 + (y - y_*)^2 + (z - z_*)^2},$$

$$U = \text{const} < \infty,$$

где (x_*, y_*, z_*) — координаты центра тяжести дефекта. Видно, что на достаточном удалении от дефекта $u(x, y, z) = u^0(x, y, z)$.

Предположим, что методом двух экспозиций записаны интерферограммы двух разных образцов в идентичных условиях. Первый был без дефекта, а второй — с дефектом. Экспонируем обе картины интерференционных полос на одну фотопластинку, совместив контуры образцов. Суммарное амплитудное пропускание муарограммы в этом случае будет пропорционально следующей функции ($V_0 = 1$):

$$I(x, y) = I + \cos \frac{2\pi}{\lambda} (u^0 r) \cos \frac{\pi}{\lambda} (u^* r); r = r_0 + r_n.$$

Муаровые линии в этом случае являются линиями уровня величины $u^* r$. Причем эти линии либо замкнуты, либо выходят на поверхность дефекта потому, что $|u^*|$ убывает при удалении от дефекта. Это свойство муаровых полос позволяет локализовать дефекты.

Примеры приложения муарового эффекта к расшифровке интерферограмм приведены в гл. 5.

Подытожная сказанное, можно заключить, что в настоящее время известны основные принципы расшифровки голографических интерферограмм, разработаны методы, позволяющие по интерферограммам получать поля смещений и деформаций. Практическая реализация методов расшифровки будет рассмотрена в последующих главах.

3. МЕТРОЛОГИЧЕСКИЕ ХАРАКТЕРИСТИКИ ГОЛОГРАФИЧЕСКИХ ИНТЕРФЕРОМЕТРОВ

К метрологическим характеристикам обычно относят погрешность измерения, порог чувствительности, чувствительность и пределы измерения.

Рассмотрим вопросы оценки погрешности измерения.

Источники погрешности очевидны. Это неточность определения геометрических параметров схемы интерферометра и неточность отсчета числа интерференционных полос. В простейшем случае, когда известно направление вектора смещения и требуется достоверно определить его модуль, для измерения с максимальной точностью биссектриса угла между направлениями освещения и наблюдения должна совпадать с направлением смещения. Тогда по одной интерферограмме можно найти смещение с погрешностью [70]

$$\delta u = \frac{|\Delta u|}{|u|} = \left[\left(\frac{1}{2} \Delta \sigma \operatorname{ctg} \frac{\varphi}{2} \right)^2 + \left(\frac{\Delta N}{N} \right)^2 \right]^{1/2}, \quad (20)$$

где φ — угол между направлениями освещения и наблюдения; $\Delta \varphi$ и ΔN — абсолютные погрешности измерения соответствующих величин.

При несовпадающих направлениях смещения и биссектрисы выражение (20) дает погрешность определения проекции вектора смещения.

В общем случае для определения вектора и необходимо получить три его проекции. Из теории решения линейных алгебраических уравнений следует, что минимальная погрешность определения вектора имеет место, если направления биссектрис образуют ортогональную систему. Тогда погрешность определения вектора смещения составляет

$$\delta u = \left[\frac{u^2 (\delta u)^2 + v^2 (\delta v)^2 + w^2 (\delta w)^2}{u^2 + v^2 + w^2} \right]^{1/2}, \quad (21)$$

где δu , δv , δw — относительные погрешности измерения проекций u , v , w , определяемые равенством (20).

При выборе схемы интерферометра, определяющей базисную систему векторов, следует учитывать два обстоятельства:

физическая реализация голографического интерферометра должна быть по возможности простой;

чувствительность интерферометра по всем трем направлениям желательно иметь одинаковой.

Первое обстоятельство связано в основном с практическими трудностями освещения и наблюдения под малыми углами к его поверхности. При скользящем освещении шероховатые поверхности начинают вести себя как

зеркальные, поэтому интерферограмму можно получить только под углом отражения, равным углу падения. Следовательно, угол между освещением и наблюдением становится близким к π , а чувствительность интерферометра — очень малой. При прочих равных условиях предпочтение следует отдать такой базисной системе, при которой векторы составляют максимально возможный угол с плоскостью объекта. Это имеет место, когда розетка векторов симметрична относительно нормали к поверхности, и каждый вектор направлен под углом 35.3° к поверхности объекта.

Второе обстоятельство означает, что предпочтительной является ортогональная система, в которой проекции вектора смещения u , v , w примерно равны между собой. Тогда из (21) следует, что вектор смещения определяется с такой же погрешностью, как каждая из его проекций. Другими словами, базисные векторы должны составлять одинаковый угол со средним направлением векторов смещений. Если среднее направление совпадает с нормалью к поверхности, то ортогональная система с одинаковой чувствительностью по трем направлениям оказывается одновременно и наиболее просто реализуемой. Это имеет место, когда направления векторов смещений равномерно распределены в интервале $[0, \pi]$. В других случаях требуется компромиссное решение.

Практическая реализация ортогональных систем, даже тех, которые выше были определены как "наиболее простые", сложна, особенно если форма поверхности объектов существенно отличается от плоской. Поэтому приходится пользоваться косоугольной системой координат, и возникает важный вопрос, насколько погрешность определения векторов смещений будет больше, чем в ортогональной системе.

Рассмотрим направления биссектрис, заданные в прямоугольной системе координат, связанной с объектом (рис. 15). Ось z нормальна к поверхности объекта, так что компоненты u и v характеризуют смещения в его плоскости. Каждая из биссектрис составляет угол γ с осью z , и все они расположены равномерно вокруг оси z , т.е. углы между их проекциями на плоскость xy равны 120° . Угол между проекцией первого направления на плоскость xy и осью x , определяющий поворот розетки биссектрис вокруг оси z , обозначим через β . Такая система становится ортогональной, когда $\gamma = 54.7^\circ$. Нас интересует, как изменяется погрешность измерения при изменении угла γ . Можно предположить, что от угла β эта погрешность зависит не будет.

Если вектор смещения и представлен в прямоугольной системе координат в виде проекций u , v , w , то уравнения (14) можно записать в виде:



Рис. 15. Косоугольная система направлений биссектрис

Уравнения (22) записаны в предположении, что векторы наблюдения r_n и освещения r_o совпадают. Если угол между r_n и r_o не равен нулю, то это приводит лишь к некоторому уменьшению чувствительности интерферометра.

Для нашего случая уравнения (22) принимают следующий вид:

$$\begin{pmatrix} \cos\beta\sin\gamma & \sin\beta\sin\gamma & \cos\gamma \\ -\sin(\beta + 30^\circ)\sin\gamma & \cos(\beta + 30^\circ)\sin\gamma & \cos\gamma \\ \sin(\beta - 30^\circ)\sin\gamma & -\cos(\beta - 30^\circ)\sin\gamma & \cos\gamma \end{pmatrix} \begin{pmatrix} u \\ v \\ w \end{pmatrix} = \pm \frac{\lambda}{2} \begin{pmatrix} N_1 \\ N_2 \\ N_3 \end{pmatrix}.$$

Решая эту систему уравнений, находим компоненты вектора смещения:

$$\left. \begin{aligned} u &= \lambda \frac{\pm N_1 \cos\beta \mp N_2 \sin(\beta + 30^\circ) \pm N_3 \sin(\beta - 30^\circ)}{3\sin\gamma}, \\ v &= \lambda \frac{\pm N_1 \sin\beta \pm N_2 \cos(\beta + 30^\circ) \mp N_3 \cos(\beta - 30^\circ)}{3\sin\gamma}, \\ w &= \lambda \frac{\pm N_1 \pm N_2 \pm N_3}{6\cos\gamma}. \end{aligned} \right\} \quad (23)$$

Верхние знаки в равенствах (23) имеют место, когда все числа полос положительны. Различные сочетания знаков полос дают четыре пары решений:

$$\begin{aligned} \pm(u_1, v_1, w_1); & \pm(u_2, v_2, w_2); \\ \pm(u_3, v_3, w_3); & \pm(u_4, v_4, w_4); \end{aligned}$$

Для указания достоверного результата необходимо либо определять знаки чисел полос, либо иметь дополнительную информацию в виде четвертого уравнения.

Отметим, что выражения (23) в каждом конкретном случае позволяют легко определить погрешности измерения проекций вектора смещения в зависимости от неточности определения угловых параметров и чисел полос. Сделать же какие-либо общие выводы о характере изменения погрешности в косоугольном интерферометре на основании выражений (23) не представляется возможным. Анализ этих выражений приводит лишь к тривиальному выводу, который следует из простых геометрических соображений: при углах $\gamma \rightarrow 0$ хорошо определяется нормальная компонента w , а при углах $\gamma \rightarrow 90^\circ$ интерферометр наилучше чувствителен к тангенциальным составляющим u и v . Можно также утверждать, что погрешности определения компонент u , v , w , значительно превышающие погрешности, с которыми определены угловые параметры и числа полос, возникают как в силу неустойчивости решения системы уравнений (22), так и вследствие того, что числители в равенствах (23) могут представлять собой малые разности больших чисел.

Для более основательного анализа погрешности измерения смещения голографическим интерферометром [21] воспользуемся результатами хорошо разработанной теории решения линейных алгебраических уравнений.

ний. Эта теория дает соотношение между погрешностью нормы вектора-столбца искомых величин, возмущением угловой матрицы и неточностью определения коэффициентов в правой части уравнений (22). Оно может быть записано таким образом:

$$\delta|u| \leq \frac{\nu_A}{1 - \nu_A \delta A} (\delta A + \delta N), \quad (24)$$

где δA и δN – соответственно относительные погрешности определения нормы матрицы $\|A\|$ и модуля чисел полос; ν_A – число обусловленности, характеризующее устойчивость решения уравнений (22).

Выражение (24) определяет максимальную погрешность измерения модуля вектора смещения. Эта погрешность отличается от выражения (21). Она равняется

$$\delta|u| = \frac{u^2 \delta u + v^2 \delta v + w^2 \delta w}{u^2 + v^2 + w^2}. \quad (25)$$

Оценки (21) и (25) совпадают, когда $u = v = w$. Тогда $\delta u = \delta v = \delta w$ и $\delta u = \delta|u| = \delta u$. Выражение (25) дает достоверную оценку погрешности, когда $\delta u, \delta v, \delta w \ll 0,1$. Практически большие погрешности врядли имеет смысл рассматривать. Тогда очевидно, что

$$\delta u \leq \sqrt{0,18}|u|, \quad (26)$$

и максимальная погрешность модуля вектора смещения (24) одновременно позволяет оценить сверху погрешность вектора смещения (21).

Рассмотрим величины, входящие в выражение (24). По определению

$$\delta N = \frac{\Delta|N|}{N} \approx \frac{|N_1| + |N_2| + |N_3|}{N_1^2 + N_2^2 + N_3^2} \Delta N,$$

где ΔN – абсолютная погрешность определения числа полос, принятая одинаковой для всех трех значений N_1, N_2, N_3 .

Чтобы определить величины ν_A и δA , необходимо вычислить норму матрицы $\|A\|$. Для этого находим матрицу AA^T :

$$AA^T = \begin{pmatrix} 1 & k & k \\ k & 1 & k \\ k & k & 1 \end{pmatrix},$$

где A^T – транспонированная матрица, а $k = \cos^2 \gamma - \frac{1}{2} \sin^2 \gamma$, и составляем для нее характеристическое уравнение

$$\Lambda^3 - 3\Lambda^2 + 3(1 - k)^2\Lambda - (1 - 3k^2 + 2k^3) = 0.$$

Решая это уравнение, находим собственные значения матрицы A :

$$\lambda_1 = \sqrt{3} \cos \gamma; \lambda_{2,3} = \sqrt{3/2} \sin \gamma.$$

Следовательно,

$$\|A\| = \begin{cases} \sqrt{3} \cos \gamma & \text{при } \gamma \leq \arctg \sqrt{2}; \\ \sqrt{3/2} \sin \gamma & \text{при } \gamma \geq \arctg \sqrt{2}. \end{cases} \quad (27)$$

Погрешность определения нормы матрицы

$$\delta A = \|E\| / \|A\|, \quad (28)$$

где E – возмущение матрицы A , связанное с неточностью определения угла γ . Угол β , определяющий поворот розетки направлений вокруг оси, как и предполагалось, не влияет на погрешность определения $\|A\|$.

Матрицу E можно записать как

$$E = dA/d\gamma \Delta \gamma,$$

где $\Delta \gamma$ – погрешность определения угла γ . Тогда

$$\|E\| = \|dA/d\gamma\| \|\Delta \gamma\|.$$

Получив матрицу $dA/d\gamma$ и вычислив ее собственные значения, имеем

$$\lambda_{1,E} = \sqrt{3} \sin \gamma; \lambda_{2,3,E} = \sqrt{3/2} \cos \gamma.$$

Поэтому

$$\|dA/d\gamma\| = \begin{cases} \sqrt{3/2} \cos \gamma & \text{при } \gamma \leq \arctg 1/\sqrt{2}; \\ \sqrt{3} \sin \gamma & \text{при } \gamma \geq \arctg 1/\sqrt{2}. \end{cases}$$

Подставляя результаты в (28), получим

$$\delta A = \begin{cases} \frac{1}{\sqrt{2}} |\Delta \gamma| & \text{при } \gamma \leq \arctg \frac{1}{\sqrt{2}}; \\ \operatorname{tg} \gamma |\Delta \gamma| & \text{при } \arctg \frac{1}{\sqrt{2}} \leq \gamma \leq \arctg \sqrt{2}; \\ \sqrt{2} |\Delta \gamma| & \text{при } \gamma \geq \arctg \sqrt{2}. \end{cases} \quad (29)$$

В соответствии с (29) построена зависимость $\delta A / |\Delta \gamma|$ от γ (рис. 16). На рисунке видно, что погрешность δA мало отличается от погрешности $\Delta \gamma$, не более чем в 1,4 раза.

Кроме погрешностей δA и δN в выражение (24) входит число обусловленности ν_A . Это число определяется как

$$\nu_A = \|A\| \|A^{-1}\| = \frac{\lambda_{\max}}{\lambda_{\min}},$$

где λ_{\max} и λ_{\min} – соответственно максимальное и минимальное собственные значения матрицы A . Тогда имеем

$$\nu_A = \begin{cases} \sqrt{2} \operatorname{ctg} \gamma & \text{при } \gamma \leq \arctg \sqrt{2}; \\ \frac{1}{\sqrt{2}} \operatorname{tg} \gamma & \text{при } \gamma \geq \arctg \sqrt{2}. \end{cases}$$

Зависимость ν_A от γ важна (рис. 17), так как она показывает, во сколько раз погрешность определения модуля вектора смещения больше, чем погрешности определения коэффициентов в исходной системе уравнений. Если величина δA достаточно мала, можно считать

$$\delta|u| \leq \nu_A \delta N.$$

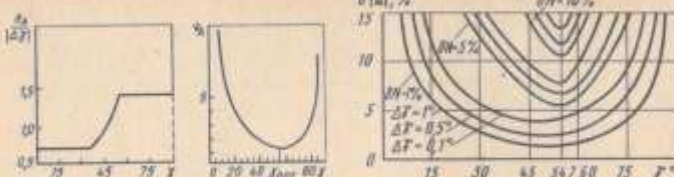


Рис. 16. Зависимость погрешности нормы матрицы от γ

Рис. 17. Изменение числа обусловленности

Рис. 18. Семейство зависимостей погрешности измерения модуля вектора смещения

Минимальное значение $v_A = 1$ имеет место при $\gamma = \arctg\sqrt{2} \approx 54,7^\circ$, т.е. в случае ортогональности собственных векторов матрицы. Если проекции вектора смещения на направления биссектрис обозначить u', v', w' , то для них получим выражения, аналогичные (23), но максимально простые:

$$u' = \pm \frac{\lambda}{2} N_1; \quad v' = \pm \frac{\lambda}{2} N_2;$$

$$w' = \pm \frac{\lambda}{2} N_3;$$

$$|u'| = \frac{\lambda}{2} \sqrt{N_1^2 + N_2^2 + N_3^2}.$$

Обратим внимание на то, что в ортогональной системе собственных векторов матрицы не только погрешность оказывается минимальной, но и модуль вектора смещения определяется однозначно с трех направлений. Во всех других случаях для однозначного определения модуля необходимо иметь, как было показано ранее, четыре направления.

На рис. 17 видно, что число обусловленности существенно зависит от γ , причем эта зависимость, как и следовало ожидать, становится более резкой по мере уменьшения или увеличения угла по сравнению с оптимальным. Так, $v_A < 2$ в диапазоне $35^\circ < \gamma < 70^\circ$. Если $20^\circ < \gamma < 80^\circ$, то $v_A \leq 4$.

При дальнейшем расширении диапазона кривая круго идет вверх. Однако даже при очень малых углах $\gamma \approx 8^\circ v_A \approx 10$. Поэтому практически можно считать, что устойчивость решения исследуемой системы уравнений в широком диапазоне углов у достаточно высокая.

Таким образом, определены все величины, входящие в неравенство (24), и могут быть получены зависимости относительной погрешности модуля вектора смещения $\delta|u|$ от угла γ . Семейство этих зависимостей для характерных значений $\Delta\gamma$ и δN приведено на рис. 18.

Из графиков следует, что область экстремума функции $\delta|u| = f(\gamma)$ при уменьшении значений $\Delta\gamma$ и δN становится более пологой.

Чем точнее отсчитывается угол и число полос, тем меньше меняется погрешность при изменении геометрии интерферометра. Так, при $\Delta\gamma = 0,1^\circ$ и $\delta N = 1\%$, погрешность измерения в диапазоне $30^\circ < \gamma < 75^\circ$ увеличивается на 1,5 – 2 % по сравнению с минимальной. При $\Delta\gamma = 1^\circ$ и $\delta N = 10\%$ аналогичное увеличение составляет 15 – 20 %. Следовательно, при больших погрешностях измерения коэффициентов исходных уравнений допустимы существенно меньшие отклонения геометрии схемы от оптимальной.

Другой вывод, который может быть сделан, исходя из рис. 18, заключается в том, что погрешность измерения мало зависит от неточности отсчета угла $\Delta\gamma$ и в основном определяется неточностью отсчета числа полос. Поэтому важной представляется обработка интерферограмм в целях увеличения точности отсчета числа полос. Точность отсчета числа полос должна быть такой, чтобы $\delta N \approx \Delta\gamma$. Например, при $\Delta\gamma = 1^\circ$ (0,017 рад) целесообразно иметь $\delta N \approx 1 \pm 2\%$. Какая при этом должна быть точность отсчета каждого числа полос ΔN , зависит от значений N_1, N_2, N_3 .

Напомним, что погрешность измерения вектора смещения, в соответствии с неравенством (26), может быть больше, чем погрешность определения модуля. Например, если $\delta|u| \leq 1\%$, то $\delta u \leq 3\%$.

Когда система уравнений (22) оказывается плохо обусловленной, а погрешность измерения – слишком большой, возникает необходимость уменьшения погрешности.

Если $v_A < 10$, а это, как видно из рис. 17, охватывает широкий диапазон угловых параметров интерферометра, то целесообразно использовать для уменьшения погрешности метод наименьших квадратов.

В этом случае составляется переопределенная система из уравнений вида (22):

$$\left\{ \begin{array}{l} a_{11}u + a_{12}v + a_{13}w = \lambda N_1; \\ a_{21}u + a_{22}v + a_{23}w = \lambda N_2; \\ \dots \\ a_{n1}u + a_{n2}v + a_{n3}w = \lambda N_n. \end{array} \right.$$

Обозначив остаточные погрешности как

$$\alpha_i = \lambda N_i - (a_{11}u + a_{12}v + a_{13}w),$$

где $i = 1, \dots, n$, из условия минимизации величины $\sum_{i=1}^n \alpha_i^2$ получаем:

$$\left. \begin{array}{l} \sum_{i=1}^n a_{11} [\lambda N_i - (a_{11}u + a_{12}v + a_{13}w)] = 0; \\ \sum_{i=1}^n a_{12} [\lambda N_i - (a_{11}u + a_{12}v + a_{13}w)] = 0; \\ \sum_{i=1}^n a_{13} [\lambda N_i - (a_{11}u + a_{12}v + a_{13}w)] = 0; \end{array} \right\} \quad (30)$$

В результате решения системы уравнений (30) находим значения проекций вектора смещений u, v, w . Естественно, что точность результатов

тем выше, чем большее число n . Вопрос о необходимом числе уравнений в неопределённой системе решается в зависимости от допустимой погрешности измерения. По существу он сводится к нахождению некоторого минимального числа направлений наблюдения, при котором разброс результатов находится в пределах допустимой погрешности измерения. Эта задача обычно решается в процессе расшифровки голограммических интерферограмм.

Остившимся из других метрологических характеристиках. Определим чувствительность голограммического интерферометра. Поскольку интерферометр является преобразователем поля смещений в число интерференционных полос, чувствительность $S = N/|\mu|$ и является постоянной величиной для заданной схемы интерферометра. Из выражения (12) следует, что

$$S = \frac{2}{\lambda} \cos \frac{\varphi}{2} \cos \psi,$$

где φ — угол между направлениями освещения и наблюдения, а ψ — угол между вектором смещения и его проекцией на биссектрису угла φ .

Если $\varphi \approx \pi/2$, то чувствительность близка к нулю, и даже большие смещения не вызывают появления интерференционных полос. Изменяя угол ψ , можно подбирать чувствительность, исходя из условий эксперимента. При этом решающую роль играет априорная информация о характере смещений. Угол φ по возможности стараются сделать близким к нулю, т.е. выбирают совпадающими направлениями освещения и наблюдения. Несопадение этих направлений, как уже отмечалось в начале параграфа, приводит к уменьшению чувствительности.

Порог чувствительности, характеризующий минимальное смещение, которое может быть измерено голограммическим интерферометром, определяется возможностью отсчета минимальной доли интерференционной полосы:

$$|\mathbf{u}|_{min} = S \Delta N.$$

Аналогичным образом можно получить и предел измерения, зависящий от того, какое максимальное число интерференционных полос может быть разрешено на изображении объекта:

$$|\mathbf{u}|_{max} = S N_{max}.$$

За внешней простотой приведенных выражений скрываются немалые трудности в определении величин ΔN и N_{max} . Это связано с необходимостью анализа статистических характеристик спектр-структуры голограммических интерферограмм.

4. ВЛИЯНИЕ НЕТОЧНОСТИ ОТСЧЕТА ИНТЕРФЕРЕНЦИОННЫХ ПОЛОС

Рассматривая в начале главы образование полос в голограммической интерферометрии, мы учитывали только распределение разности фаз между соответственными точками поверхности объекта до и после деформации. Однако вследствие шероховатости поверхности рассеянная объектом све-

товая волна имеет случайную составляющую фазы, и поэтому интерферирующие волны должны быть записаны как

$$\begin{aligned} a(\xi, \eta) &= e^{i\theta(\xi, \eta)}, \\ b(\xi, \eta) &= e^{i\varphi(\xi, \eta)} + i\psi(\xi, \eta), \end{aligned} \quad (31)$$

где θ и ψ — некоторые случайные функции.

Распределение яркости в интерференционной картине $I(x, y)$ с учетом импульсного отклика системы регистрации $K(x, y)$ определяется выражением

$$\begin{aligned} I(x, y) &= \iiint_{-\infty}^{\infty} (a_1 a_2^* + b_1 b_2^* + a_1 b_2^* + b_1 a_2^*) \\ K(x - \xi_1, y - \eta_1) K^*(x - \xi_2, y - \eta_2) d\xi_1 d\xi_2 d\eta_1 d\eta_2. \end{aligned} \quad (32)$$

Здесь $a_1 a_2^* + b_1 b_2^*$ — суммарный вклад в интенсивность от начального и конечного состояний объекта, $a_1 b_2^*$ и $b_1 a_2^*$ — интерференционные члены.

Подставив (31) в (32) и воспользовавшись преобразованием Эйлера, получим

$$\begin{aligned} I(x, y) &= \iiint_{-\infty}^{\infty} \left\{ e^{i(\theta_1 - \theta_2)} + e^{i(\varphi_1 - \varphi_2)} + i(\psi_1 - \psi_2) + 2\cos[\varphi_1 + \right. \\ &\quad \left. + (\psi_1 - \psi_2)] \right\} K_1 K_2^* d\xi_1 d\xi_2 d\eta_1 d\eta_2. \end{aligned} \quad (33)$$

Предположим, что θ и ψ — гауссовые случайные функции со средними значениями $\langle \theta \rangle = \langle \psi \rangle = 0$, дисперсиями $\sigma_\theta^2 = \langle \theta^2 \rangle - \langle \theta \rangle^2$, $\sigma_\psi^2 = \langle \psi^2 \rangle - \langle \psi \rangle^2$, корреляционными функциями $\langle \theta_1 \theta_2 \rangle = R_\theta$, $\langle \psi_1 \psi_2 \rangle = R_\psi$ и взаимной корреляционной функцией $\langle \theta \psi \rangle = R_{\theta \psi}$. Тогда средняя интенсивность поля изображения

$$\begin{aligned} \langle I(x, y) \rangle &= \iiint_{-\infty}^{\infty} \left\{ e^{-\sigma_\theta^2 + R_\theta} + e^{i(\varphi_1 - \varphi_2)} e^{-\sigma_\psi^2 \psi} + R_\psi + \right. \\ &\quad \left. - \frac{1}{2} (\sigma_\theta^2 + \sigma_\psi^2) e^{R_\theta \psi} \right\} K_1 K_2^* d\xi_1 d\xi_2 d\eta_1 d\eta_2. \end{aligned} \quad (34)$$

При идеальном разрешении (K — дельта-функция) имеем:

$$\begin{aligned} \langle I(x, y) \rangle &= 2 \left[1 + e^{-\frac{1}{2} (\sigma_\theta^2 + \sigma_\psi^2) + R_{\theta \psi}(0,0)} \right] \cos \varphi(x, y). \end{aligned}$$

В этом случае контраст интерференционных полос

$$V = e^{-\frac{1}{2} (\sigma_\theta^2 + \sigma_\psi^2) + R_{\theta \psi}},$$

т.е. соответствует множителю при $\cos \varphi$. Если статистические характеристики θ и ψ совпадают, то $V = 1$.

Уменьшение разрешения всегда ведет к падению контраста интерференционных полос.

Определим, как изменяется контраст вследствие конечного разрешения в отсутствие шумов. Ограничимся рассмотрением простого примера – чистого поворота объекта, когда

$$\varphi(\xi) = (2\pi/x_0)\xi, \quad (35)$$

где x_0 – шаг интерференционных полос.

Пусть импульсный отклик имеет также простейший вид:

$$K(x) = \begin{cases} 1 & \text{при } |x| \leq \Delta/2; \\ 0 & \text{при } |x| > \Delta/2, \end{cases} \quad (36)$$

где Δ – линейное разрешение системы.

Исходя из (35), (36) и усредняя по Δ , из выражения (34) получим

$$\langle I(x) \rangle = 1 + \left(\frac{x_0}{\pi\Delta} \right)^2 \sin^2 \frac{\pi\Delta}{x_0} + 2 \left(\frac{x_0}{\pi\Delta} \right) \sin \frac{\pi\Delta}{x_0} \cos \frac{2\pi}{x_0}. \quad (37)$$

Первое слагаемое – это интенсивность объектного поля до поворота объекта, второе – после поворота, а третье описывает собственно интерференционную картину. Из выражения (37) видно, что конечное разрешение голографической системы приводит, во-первых, к различию между интерферирующими изображениями, во-вторых, к потере контраста интерференционных полос, который равен

$$V = \frac{2(x_0/2\pi) \sin(\pi\Delta/x_0)}{1 + (x_0/\pi\Delta)^2 \sin^2(\pi\Delta/x_0)}.$$

И тем, и другим можно пренебречь, если выполняется условие

$$\Delta \ll x_0/\pi.$$

Тогда регистрируется идеальная интерферограмма:

$$I_0(x) \approx 1 + 1 + 2 \cos\left(\frac{2\pi}{x_0}x\right).$$

В голографическом эксперименте указанное условие обычно выполняется. Это позволяет упростить соотношение (34), считая, что первый и второй интегралы дают одинаковый вклад, а в третьем ψ не зависит от переменных интегрирования:

$$\begin{aligned} \langle I(x, y) \rangle &= 2 \iiint_{-\infty}^{\infty} e^{-\sigma_\theta^2 + R_\theta} K_1 K_2^* \times \\ &\times d\xi_1 d\xi_2 d\eta_1 d\eta_2 + 2 \cos \varphi \times \\ &\times \iiint_{-\infty}^{\infty} e^{-\frac{1}{2}(\sigma_\theta^2 + \sigma_\psi^2) + R_\theta} K_1 K_2^* d\xi_1 d\xi_2 d\eta_1 d\eta_2. \end{aligned} \quad (38)$$

Вместе с тем при идеальном разрешении

$$\langle I(x, y) \rangle = 2 \langle I_0 \rangle [1 + V \cos \varphi(x, y)],$$

где $\langle I_0 \rangle$ – средняя яркость изображения без полос, $V = \langle I_1 \rangle / \langle I_0 \rangle$.

$$\langle I_1 \rangle = 2 \iiint_{-\infty}^{\infty} e^{-\frac{1}{2}(\sigma_\theta^2 + \sigma_\psi^2) + R_\theta} K_1 K_2^* d\xi_1 d\xi_2 d\eta_1 d\eta_2; \quad (39)$$

$$\langle I_0 \rangle = 2 \iiint_{-\infty}^{\infty} e^{-\sigma_\theta^2 + R_\theta} K_1 K_2^* d\xi_1 d\xi_2 d\eta_1 d\eta_2.$$

Из определения контраста следует, что

$$\langle I_0 \rangle = \frac{\langle I \rangle_{\max} + \langle I \rangle_{\min}}{2}, \quad \langle I_1 \rangle = \frac{\langle I \rangle_{\max} - \langle I \rangle_{\min}}{2}.$$

Набег фазы из основания соотношения (38) определяется выражением:

$$\varphi = \arccos \frac{\langle I \rangle - \langle I_0 \rangle}{\langle I_1 \rangle},$$

и для строгого определения погрешности отсчета полос необходимо вычисление интегралов (39).

В то же время нетрудно определить верхнюю оценку погрешности. Обратимся к рис. 19. Очевидно, что максимальная погрешность, определяемая шумами, имеет место в области экстремальных значений изменения яркости. Кроме того, из этого же рисунка ясно, что неточность отсчета значения яркости можно считать примерно равной $\langle I \rangle_{\min}$.

Учитывая это, получаем

$$\Delta N = \pm \frac{1}{\pi} \arccos \left(2 - \frac{1}{V} \right).$$

Таким образом, максимальное значение ΔN определяется контрастом интерференционных полос (рис. 20).

Отметим, что при контрасте полос $V < 1/3$ имеем $\langle I \rangle_{\max} < 2 \langle I \rangle_{\min}$ и экстремумы оказываются неравличимыми. Погрешность в этом случае равна целой полосе, и измерения без обработки, увеличивающей отношение сигнал/шум, становятся невозможными.

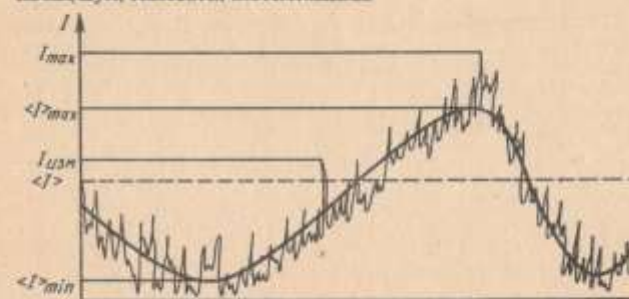


Рис. 19. Неточность отсчета значения яркости при зашумленном сигнале

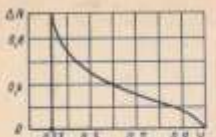


Рис. 20. Зависимость погрешности от контраста полос

Если возникает необходимость в более строгом анализе, приходится, исходя из параметров шероховатости исследуемого объекта и характеристик оптической системы, вычислять значения $\langle I_0 \rangle$ и $\langle I_1 \rangle$. Они зависят, естественно, от наших предположений о статистических свойствах рассеянных объектами полей, т.е. от величин σ_θ , R_θ , $R_{\theta\phi}$, $R_{\theta\psi}$ и от формы импульсного отклика оптической системы $K(x, y)$.

Если изображение объекта строят с помощью линзы диаметром a с фокусным расстоянием f , то импульсный отклик такой системы известен и имеет вид [44]

$$K(x, y) = \frac{2\pi a^2}{\lambda^2 f^2} \frac{J_1[2\pi a/(\lambda, f)] \sqrt{x^2 + y^2}}{[\pi a/(\lambda, f)] \sqrt{x^2 + y^2}}, \quad (40)$$

где J_1 — функция Бесселя первого рода.

Выражение (40) можно аппроксимировать функцией вида

$$K(x, y) = K_0 \exp\left(-\frac{x^2 + y^2}{\Delta^2}\right), \quad (41)$$

где $\Delta = 1.29 \lambda/(pa)$; $K_0 = 2\pi a^2/(\lambda^2 f^2)$.

Для автокорреляционной функции случайной фазы примем следующее выражение:

$$R_\theta = \sigma_\theta^2 \exp\left\{-\frac{(t_1 - t_2)^2 + (\eta_1 - \eta_2)^2}{l^2}\right\}, \quad (42)$$

где l — интервал корреляции высот неровностей исследуемой поверхности.

Выражения (41), (42) достаточно хорошо аппроксимируют характеристики реальных объектов и оптических систем. Подставляя их в (39), получаем

$$\begin{aligned} \langle I_0 \rangle &= K_0 \iiint_{-\infty}^{\infty} \exp[-\sigma_\theta^2 - \\ &- \frac{(x - \xi_1)^2 + (y - \eta_1)^2}{\Delta^2} - \frac{(x - \xi_2)^2 + (y - \eta_2)^2}{\Delta^2}] \times \\ &\times \exp[\sigma_\theta^2 e^{-\frac{(t_1 - t_2)^2 + (\eta_1 - \eta_2)^2}{l^2}}] d\xi_1 d\xi_2 d\eta_1 d\eta_2. \end{aligned}$$

После замены переменных

$$\begin{aligned} u_1 &= \frac{x - \xi_1}{\Delta}; u_2 = \frac{x - \xi_2}{\Delta}; \\ v_1 &= \frac{y - \eta_1}{\Delta}; v_2 = \frac{y - \eta_2}{\Delta}. \end{aligned}$$

и поворота в плоскостях (u_1, u_2) и (v_1, v_2) на $\pi/4$ соотношение можно переписать в виде

$$\begin{aligned} \langle I_0 \rangle &= (K_0 \Delta^2)^2 e^{-\sigma_\theta^2} \iint_{-\infty}^{\infty} d\omega_1 d\omega_2 dt_1 dt_2 \exp[-\omega_1^2 - \omega_2^2 - \\ &- t_1^2 - t_2^2 + \sigma_\theta^2 e^{-2M(\omega_1^2 + t_1^2)}] = \pi(K_0 \Delta^2)^2 e^{-\sigma_\theta^2} \iint_{-\infty}^{\infty} \exp[-\omega_1^2 - \\ &- t_1^2 + \sigma_\theta^2 e^{-2M(\omega_1^2 + t_1^2)}] d\omega_1 dt_1, \end{aligned}$$

$$\text{где } \omega_1 = \frac{1}{\sqrt{2}}(u_1 - u_2); t_1 = \frac{1}{\sqrt{2}}(v_1 + v_2);$$

$$\omega_2 = \frac{1}{\sqrt{2}}(u_1 + u_2); t_2 = \frac{1}{\sqrt{2}}(v_1 - v_2);$$

$$M = \Delta/l$$

Введя полярные координаты (ρ, φ) в плоскости (ω_1, t_1) и интегрируя по φ , получаем

$$\begin{aligned} \langle I_0 \rangle &= 2\pi^2 (K_0 \Delta^2)^2 e^{-\sigma_\theta^2} \int_0^\infty \rho \exp(-\rho^2 + \sigma_\theta^2 e^{-2M^2 \rho^2}) d\rho = \\ &= \pi^2 (K_0 \Delta^2)^2 e^{-\sigma_\theta^2} \int_0^\infty \exp(-z + \sigma_\theta^2 e^{-2M^2 z}) dz. \end{aligned} \quad (43)$$

Из выражения (43) видно, что основной вклад дает область вблизи $z = 0$. Оценка этого выражения, проведенная методом перевала, дает соотношение для средней яркости изображения без полос:

$$\langle I_0 \rangle \approx \frac{(\pi K_0 \Delta^2)^2}{1 + 2M^2 \sigma_\theta^2}. \quad (44)$$

Отметим, что величина M^2 имеет смысл эффективного числа рассеянавших центров на элементе разрешения.

Вычисление $\langle I_1 \rangle$ существенно сложнее, поскольку оно зависит от характера нагрузки и должно выполняться для каждого конкретного случая отдельно. Тем не менее, можно получить общее представление об $\langle I_1 \rangle$, если сделать предположение, что функция взаимной корреляции $R_{\theta\phi}$ имеет тот же вид, что и автокорреляционная функция R_θ (42), но с другими дисперсией σ_ϕ^2 и интервалом корреляции βl :

$$R_{\theta\phi} = (\sigma_\theta^2 \sigma_\phi^2) \exp\left[-\frac{(t_1 - t_2)^2 + (\eta_1 - \eta_2)^2}{(\beta l)^2}\right].$$

Тогда расчет $\langle I_1 \rangle$ подобен расчету $\langle I_0 \rangle$, и по аналогии с оценкой (44), можно записать (при условии $\sigma_\phi^2 = \sigma_\theta^2$)

$$\langle I_1 \rangle \approx \frac{(\pi K_0 \Delta^2)^2}{1 + 2(\sigma_\theta^2/\beta^2) M^2 \sigma_\theta^2}. \quad (45)$$

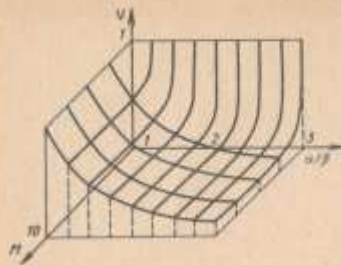


Рис. 21. Зависимость контраста полос от α/β и M

Используя выражения (44), (45), получаем контраст

$$V = \frac{1 + 2M^2\sigma_0^2}{1 + 2(\alpha^2/\beta^2)M^2\sigma_0^2}. \quad (46)$$

На рис. 21, где приведена зависимость контраста интерференционных полос от α/β и M , видно, что контраст (а вместе с ним и точность) падает как с увеличением M падает как с увеличением α/β , характеризующего степень десорбции полей, рассеянных объектом до и после нагружения.

Соотношения, связывающие погрешность отсчета дробных долей интерференционных полос с параметрами шероховатости исследуемой поверхности, разрешением оптической системы и десорбцией полей, рассеянных объектом до и после деформации, позволяют в каждом конкретном случае оценить погрешность и указать возможные пути ее снижения.

ГЛАВА 3

ГОЛОГРАФИЧЕСКИЕ ИНТЕРФЕРОМЕТРЫ ДЛЯ ОПРЕДЕЛЕНИЯ ПАРАМЕТРОВ РЕЛЬЕФА

1. МЕТОДЫ ПОЛУЧЕНИЯ ТОПОГРАФИЧЕСКИХ ИНТЕРФЕРОГРАММ

Общая идея, лежащая в основе топографических методов, давно используется в картографии и заключается в том, что рельеф трехмерного объекта представляется в виде плоского изображения, являющегося топографической картой (тогограммой) поверхности объекта. Линии на такой тогограмме, называемые линиями равного уровня, — это следы сечений поверхности объекта равноотстоящими друг от друга плоскостями.

Методы голограммической интерферометрии позволяют получать картину интерференционных полос, являющихся топографическими картами поверхности объектов. Известны три метода получения голограммических тогограмм: метод смещенного источника, иммерсионный и метод двух длин волн. Ниже рассмотрены эти методы и проведен их сравнительный анализ.

Метод смещенного источника

Метод впервые был описан в работе [96]. С помощью этого метода получают двухэкспозиционную голограмму исследуемого объекта, причем

перед второй экспозицией изменяют положение источника, освещавшего объект (рис. 22). Восстановленные с этой голограммы изображения интерферируют между собой вследствие наличия разности фаз для каждой точки поверхности объекта. Разность фаз описывается выражением

$$\Delta\Phi = (2\pi/\lambda)(r_{z1} - r_{z2}),$$

где r_{z1} и r_{z2} — расстояния от некоторой точки объекта до освещавшего источника при первой и второй экспозициях соответственно. При $\Delta\Phi = 2\pi N$, где N — число интерференционных полос, получаем

$$r_{z1} - r_{z2} = N\lambda. \quad (47)$$

Следовательно, полосы — это следы пересечения поверхности объекта секущими поверхностями (гиперболоидами вращения), описываемыми выражением (47).

Если освещавшие пучки плоские, то (47) принимает следующий вид:

$$z(\cos\theta_1 - \cos\theta_2) + x(\sin\theta_1 - \sin\theta_2) = N\lambda,$$

где θ_1 и θ_2 — углы между направлением освещавших пучков и осью z . В этом случае секущие поверхности — это плоскости, наклонные по отношению к плоскости голограммы. При $\theta_3 = \pi - \theta_1$ угол наклона равен нулю, и получаются "истинные" топографические сечения. Под "истинной" топографией понимается такая, при которой поверхность объекта сечется эквидистантными плоскостями, перпендикулярными к направлению наблюдения. В этом случае

$$2z\cos\theta_1 = N\lambda,$$

откуда расстояние между секущими плоскостями

$$\Delta h = \frac{\lambda}{2\cos\theta_1},$$

$$\text{или } \Delta h = \frac{\lambda}{2\sin\alpha/2},$$

где α — угол между направлениями освещавших пучков.

Изменяя угол α , можно менять Δh в широких пределах. Например, при $\alpha \approx 1^\circ$, $\Delta h \approx 2,5$ мм, а при $\alpha \approx 3,5^\circ$, $\Delta h \approx 10$ мкм.

При использовании метода смещенного источника из-за бокового освещения образуются тени, вследствие чего нельзя определить рельеф неосвещенных участков поверхности.

На приведенной тогограмме выпуклой сферы (рис. 23) наглядно видно, что из-за теневого эффекта

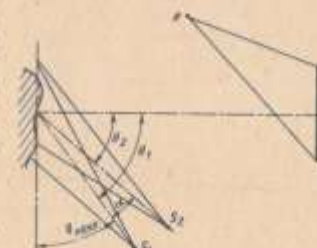


Рис. 22. Схема записи тогограмм методом смещенного источника



Рис. 23. Топограмма выпуклой сферы, полученная методом смещенного источника



Рис. 24. Топограмма выпуклой сферы с дополнительной подсветкой



Рис. 25. Топограмма образца минерала при наклонном освещении

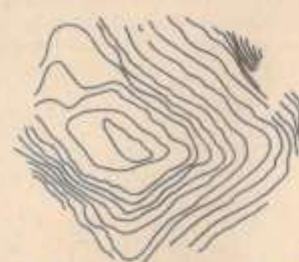


Рис. 26. "Истинная" топограмма образца минерала

на половине поверхности объекта нет полос. В работе [35] была предложена видоизмененная схема метода, с помощью которой в некоторых случаях удается избавиться от геневых эффектов. Это достигается следующим образом. Коллимированный пучок света, отразившись от поворотного зеркала, разделяется светоотделителем на два пучка, которые после отражения от зеркала освещают объект с противоположных сторон. Применение этой схемы позволяет получать замкнутые интерференционные полосы по всей поверхности выпуклого объекта, обращенной к голограмме. На топограмме выпуклой сферы (рис. 24), полученной по этой схеме, отсутствуют затененные участки. Однако для вогнутых или сложных поверхностей тепловой эффект устраниТЬ не удается. Усовершенствование метода, предложенные в работе [121], также устраниют тепловой эффект лишь в простых случаях, но это достигается ценой неоправданного усложнения самого эксперимента.

Другое решение проблемы состоит в освещении объекта под острым углом к линии наблюдения, что улучшает условия освещения и устраняет образование теней. Получаемые при этом контуры не являются истинной топографией, но могут быть преобразованы в линии равного уровня в результате обработки топографической картины [22]. На рис. 25 приведена фотография объекта сложной формы (образец минерала) с интерференционными полосами при наклонном освещении объекта. Расстояние между секущими плоскостями равно 2 мм. В результате обработки получена контурная карта этого образца (рис. 26) с $\Delta h = 2,8$ мм.

Анализ возможностей метода смещенного источника позволяет сделать следующие выводы:

оптические схемы получения топограмм сравнительно просты, а качество записываемых интерферограмм достаточно высокое;

возможна простая регулировка шага секущих плоскостей в широких пределах;

отсутствуют масштабные искажения, и полосы всегда локализованы на поверхности объекта; как следствие — максимальная видность полос и отсутствие затруднений при регистрации топограмм.

Однако применение метода ограничено следующими его свойствами:

"истинные" топограммы получаются только при среднем угле между направлениями освещения и наблюдения, равном 90° ;

можно проводить измерение рельефа только выпуклых поверхностей, имеющих один экстремум. При этом часть объекта оказывается неосвещенной, и топограмма этих участков не регистрируется. Введение зеркала для подсветки тепловых областей улучшает ситуацию только для простых выпуклых объектов;

практически невозможно получать топограммы участков поверхностей, расположенных под малыми углами (меньше 5°) относительно секущих плоскостей, так как в этом случае рассеяние света в направлении наблюдения весьма мало.

Иммерсионный метод

Иммерсионный метод, предложенный авторами работы [100], состоит в том, что исследуемый объект помещают в кювету с плоским основом, заполненным прозрачной жидкостью или газом с показателем преломления n_1 , и экспонируют голограмму. Затем изменяют показатель преломления до значения n_2 и вторично экспонируют голограмму. При восстановлении образуются два изображения, интерференция которых дает топографические полосы. Схемы записи и восстановления иммерсионных топограмм приведены на рис. 27 и рис. 28 соответственно. Разность фаз, регистрируемую в точке наблюдения, в этом случае можно записать:

$$\begin{aligned} \Delta\Phi = & k_0(r_{11} - r_{21}) + (k_1 r_{11} - k_2 r_{12}) + \\ & + (k_1 r_{12} - k_2 r_{22}) + k_0 n_{ct} [(D_1 B_1 - D_2 B_2) + \\ & + (C_1 E_1 - C_2 E_2)] - k_0(r_{11} - r_{21}) + k_0(r_{c1} - r_{c2}) - k_0(r_{b1} - r_{b2}), \end{aligned}$$

где $k_0 = 2\pi/\lambda$, $k_1 = 2m_1/\lambda$, $k_2 = 2m_2/\lambda$ — волновые числа. Другие обозначения ясны из рис. 27 и 28.

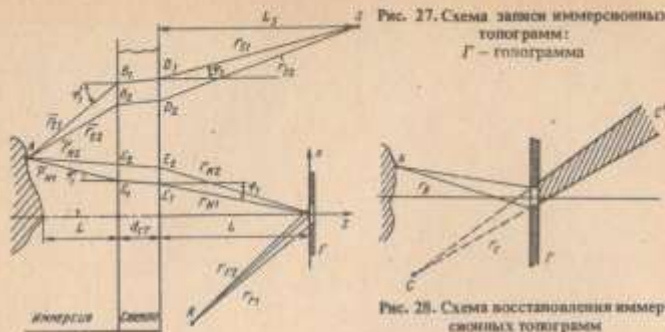


Рис. 27. Схема записи иммерсионных топограмм:
 Γ – голограмма

Рис. 28. Схема восстановления иммерсионных топограмм

Так как $r_{r1} = r_{r2}$; $r_{c1} = r_{c2}$; $r_{b1} = r_{b2}$; $D_1 B_1 = D_2 B_2$; $C_1 E_1 = C_2 E_2$, то
 $(k_1 r_{s1} - k_2 r_{s2}) + (k_1 r_{u1} - k_2 r_{u2}) + k_0(r_{v1} - r_{v2}) + k_0(r_{w1} - r_{w2}) = 2\pi N$.
(48)

Из выражения (48) следует, что в общем случае характер сечений определяется не только разностью показателей преломления ($n_2 - n_1$), но и геометрией схемы, в том числе положением источники освещения, точкой наблюдения, расстоянием окна иммерсионной кюветы от объекта, толщиной окна кюветы. Необходимо отметить, что секущие поверхности, описываемые выражением (48), являются криволинейными и только при определенных условиях их можно снять плоскостями. Так как требование плоскости секущих поверхностей является одним из основных в топографии, то рассмотрим подробнее случаи, когда оно выполняется.

Для плоских освещающих пучков

$$(k_1 r_{s1} - k_2 r_{s2}) + k_0(r_{v1} - r_{v2}) = k_0 z(n_1 \cos \psi_1 - n_2 \cos \psi_2). \quad (49)$$

Если наблюдение проводится в плоских пучках, что эквивалентно условию $L \gg x_d$, где L – расстояние от кюветы до голограммы, x_d – поперечный размер исследуемого объекта, то

$$(k_1 r_{u1} - k_2 r_{u2}) + k_0(r_{w1} - r_{w2}) = k_0 z(n_1 \cos \varphi_1 - n_2 \cos \varphi_2). \quad (50)$$

Подставляя (49) и (50) в (48), получим

$$k_0 z [n_1 (\cos \psi_1' + \cos \varphi_1') - n_2 (\cos \psi_2' + \cos \varphi_2')] = 2\pi N.$$

Это соотношение описывает семейство секущих плоскостей с шагом

$$\Delta h = \frac{\lambda}{n_1 \Delta \theta} = \frac{\sqrt{(n_1^2 - \sin^2 \psi)(n_1^2 - \sin^2 \varphi)}}{\sqrt{n_1^2 - \sin^2 \psi} \sqrt{n_1^2 - \sin^2 \varphi}} \quad (51)$$

При нормальном относительно окна кюветы освещении и наблюдении получаем

$$\Delta \Phi = k_0 z(n_2 - n_1);$$

$$\Delta h = \frac{\lambda}{2 \Delta \Phi}. \quad (52)$$

Схема, реализующая это условие (рис. 29), была описана в работе [122]. В этом случае, как следует из выражения (52), секущие поверхности являются плоскостями и ориентированы перпендикулярно к направлению наблюдения, а шаг между ними определяется только разностью показателей преломления.

Изменить показатель преломления можно тремя способами [57].

1. Заменить вещество, заполняющее кювету, с показателем преломления n_1 другим веществом с показателем преломления n_2 , при этом

$$\Delta n = |n_2 - n_1|.$$

2. Ввести в исходную среду с показателем преломления n_1 добавку с показателем преломления n_d . В этом случае показатель преломления смеси

$$n_2 = n_1 + C(n_d - n_1),$$

где C – концентрация добавки в смеси, откуда

$$\Delta n = |C(n_d - n_1)|.$$

3. Воздействовать на исходную среду с показателем преломления n_1 , изменяя ее температуру или давление.

Из этих трех способов целесообразно применять первый, так как он более оперативен и позволяет многократно использовать обе иммерсионные среды. При третьем способе могут возникать значительные погрешности в результатах измерений вследствие деформации объекта и окна кюветы под воздействием температурных перепадов или давления заполняющего газа. Этот способ применяют только для топографии с большим шагом.

Подбором пар иммерсионных сред можно получить Δh от единиц мик-

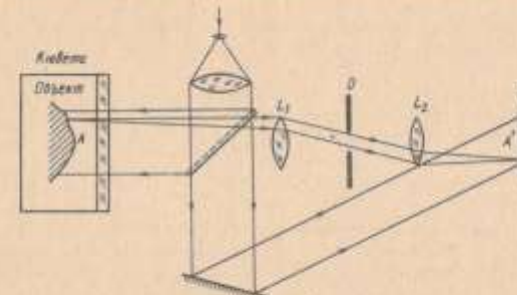


Рис. 29. Схема получения "истинной" топографии иммерсионным методом

рометров до нескольких миллиметров. Например, пара азот – углекислый газ обеспечивает $\Delta h = 2$ мм, пара вода – глицерин – $\Delta h = 2,32$ мкм. Минимальные значения Δh получают при использовании пары газ – жидкость. Так, пара азот – вода дает $\Delta h = 0,95$ мкм. Использование различных иммерсионных пар позволило получить топограммы объектов сложной формы с шагом секущих плоскостей от 10 мкм до нескольких миллиметров [57].

При подборе сред разность показателей преломления измеряют интерференционными рефрактометрами.

Применяя иммерсионный метод на практике, необходимо использовать дешевые нетоксичные иммерсионные среды. Для выбора нужного числа дискретных значений Δh в качестве иммерсионной среды целесообразно использовать смесь двух фракций с различными показателями преломления. Для этого пригодны только жидкости (разность показателей преломления газов недостаточна). В качестве пары иммерсионных жидкостей могут быть рекомендованы дистилированная вода и водный раствор поваренной соли.

Иммерсионная жидкость с требуемым показателем преломления приготавливается добавлением в дистилированную воду соляной раствора с измеренным показателем преломления n_d . Концентрация соляного раствора должна быть

$$C = \frac{n_d - n_1}{n_d - n_2}$$

Приведем значения Δh и соответствующие им разности показателей преломления Δn иммерсионных жидкостей [57].

| $\Delta h, \text{мкм}$ | 1000 | 750 | 500 | 250 | 100 | 75 | 50 | 25 | 10 |
|------------------------|--------|--------|--------|--------|-------|-------|-------|--------|-------|
| $\Delta n \cdot 10^3$ | 0,3164 | 0,4218 | 0,6328 | 1,2656 | 3,164 | 4,218 | 6,328 | 12,656 | 31,64 |

В целом иммерсионный метод можно охарактеризовать следующим образом:

метод достаточно хорошо отработан и может быть реализован на обычной голографической установке с применением серийного гелий-неонового лазера;

при использовании метода обеспечивается широкий диапазон значений шага интерференционных полос ($\Delta h = 10 \text{ мкм} + 10 \text{ мм}$), значение которого можно запавать с хорошей точностью;

этим методом можно исследовать объекты со сложной формой поверхности, так как отсутствуют генсевые эффекты.

К недостаткам метода следует отнести:

необходимость помещения исследуемого объекта в кювету с иммерсионной средой, что приводит к усложнению эксперимента и ограничению размеров объекта;

наличие пристеночных пузырей и различных неоднородностей иммерсионной среды ввиду образования у поверхности объекта пограничного слоя, что сильно искажает картину топографических полос. Эти явления трудно учесть. Особенно сильно они проявляются при получении топограмм с малыми Δh .

Метод двух длин волн

Впервые метод двух длин волн для получения топограмм был описан в работе [96]. Теоретический анализ, учитывающий различные аспекты этого метода, и его практическая экспериментальная проверка были описаны в работах [6, 28].

Суть метода двух длин волн заключается в том, что на одну фотопластинку записывают две голограммы одного и того же объекта, причем одну – при использовании длины волны λ_1 , а другую – λ_2 . Восстанавливая изображение источником с одной длиной волны (λ_1 или λ_2), получают два изображения, которые интерферируют, образуя топографическую картину поверхности объекта.

Для определения разности фаз восстановленных изображений в первом приближении имеем следующее выражение:

$$\Delta\Phi = (r_s + r_u)(k_1 - k_2) - (k_1 r_{s1} - k_2 r_{s2}), \quad (53)$$

где r_s – расстояние от объекта до источника освещения; r_u – расстояние от объекта до точки наблюдения; r_{s1} и r_{s2} – расстояния от голограммы до источников с длиной волны λ_1 и λ_2 соответственно. Из выражения (53) следует, что уравнение, описывающее интерференционные полосы, имеет вид

$$(k_1 - k_2)(r_s + r_u) - (k_1 r_{s1} - k_2 r_{s2}) = 2\pi N. \quad (54)$$

При практической реализации идеи получения топограмм методом двух длин волн возникли серьезные затруднения. Оказалось, что изображения объекта, записанные в двух длинах волн, а затем восстановленные в одной длине волны, имеют различный масштаб и смещены относительно друг друга. Это приводит по мере уменьшения Δh к размытию интерференционных полос, вплоть до полного их исчезновения. Практически полосы исчезают при $\Delta h = 0,5 + 0,8$ мкм. Для устранения этих явлений была использована [96] схема компенсации (рис. 30), которая сводилась к тому, что между экспозициями изменялись направление и расходимость опорного пучка. В результате выполнения компенсации удалось получить топограмму площадью 6 см^2 с $\Delta h = 23$ мкм. На приведенных на рис. 31 топограммах наглядно видно влияние компенсации. Анализируя выражение (54), нетрудно заметить, что условие компенсации опорного пучка можно записать как $k_1 r_{s1} = k_2 r_{s2}$.



Рис. 30. Схема получения топограммы методом двух длин волн

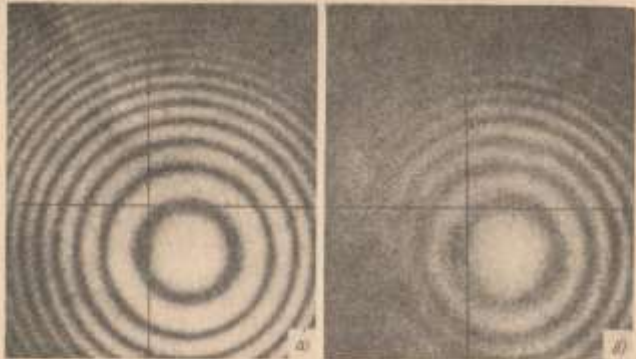


Рис. 31. Влияние компенсации углового положения опорного пучка при использовании метода двух длии волн:
а – топограмма, полученная с компенсацией; б – без компенсации

При выполнении компенсации уравнение для секущих поверхностей принимает вид

$$\Delta k(r_s + r_R) = 2\pi n. \quad (55)$$

Соотношение (55) описывает семейство эллипсоидов с фокусами, расположенным в точках наблюдения и освещения. При $(r_s - r_R) \ll A$, где A – расстояние от объекта до голограммы, секущие поверхности в первом приближении можно считать сферами, расстояние между которыми

$$\Delta h = \frac{\lambda_1 \lambda_2}{2(\lambda_1 - \lambda_2)}. \quad (56)$$

Автор работы [118] предложил схему с автоматической компенсацией углового положения опорного пучка. Компенсация достиглась применением голограммической решетки, отклоняющей опорные пучки на разные углы в зависимости от длины волн. Но остающееся несоответствие размеров изображений в двух длинах волн не позволило получать топограммы на большой площади. Так, для $\Delta h = 30$ мкм линейный размер участка, покрытого полосами, не превышает 30–35 мм при расстоянии от объекта до голограммы 200–250 мм. Можно существенно увеличить размер оконтуренной поверхности, уменьшая это расстояние, но на практике это трудно сделать меньше 100–150 мм.

В то же время для получения "истинных" топограмм необходимо, чтобы секущие поверхности были как можно меньшей кривизны, но для этого расстояние от объекта до голограммы должно быть как можно больше. Это противоречие устраивается в схеме, предложенной в работе [121] (рис. 32). Использование голограммы сфокусированных изображений позволило получить топограммы объектов с квазишаркими сечениями на большой поверх-

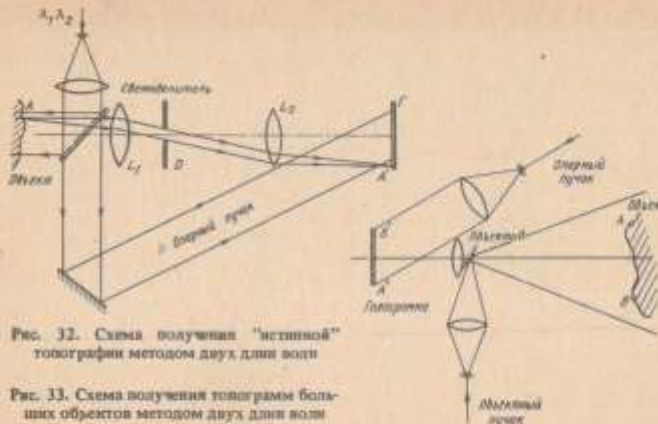
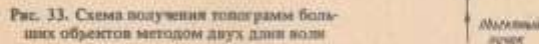


Рис. 32. Схема получения "истинной" топографии методом двух длии волн



ности (80 см^2 при $\Delta h = 9,25 \text{ мкм}$) без компенсации. Эта схема была усовершенствована (рис. 33), что позволило получать топограммы объектов значительно больших размеров [111]. В полученной схеме без светоделителя удалось совместить направления наблюдения и освещения. Использование светоделителя для этих целей в предыдущих схемах приводит к дополнительным переотражениям от его граней, в результате чего может сильно исказиться картина полос. Кроме того, в схеме со светоделителем требуются мощности лазерного излучения в 4 раза выше.

Очевидно, что практическая реализация метода в значительной степени определяется выбором источника излучения. Лазер, используемый в методе двух длии волн, должен генерировать как минимум две длины волн, отличающиеся между собой на $\Delta\lambda$. Чем шире диапазон значений $\Delta\lambda$ позволяет получить лазер, тем больше выбор величины Δh шага топографических сечений. На практике могут быть применены лазеры различных типов. С помощью двухчастотного гелий-неонового лазера [121] получены топограммы с $\Delta h = 9 \text{ мкм}$. Но малая выходная мощность и излучение только одной пары длии волн предопределили практическую нецелесообразность использования этого лазера. Применяя импульсный рубиновый лазер с внутргирезонаторным эталоном Фабри-Перо, можно получать несколько эквидистантных длии волн с разностью $\Delta\lambda = \lambda^2/(2dn)$, где d – толщина эталона, λ – показатель преломления материала эталона. Шаг сечений при этом равен оптической толщине эталона: $\Delta h = dn$.

Ввиду трудностей в изготовлении качественных эталонов с толщинами меньше 3–5 мм с помощью рубиновых лазеров можно получать только грубые топограммы с $\Delta h \geq 5 \text{ мм}$ [98].

Отметим, что применение импульсного лазера позволяет получать топо-

грамммы объектов в динамике. Это существенно расширяет возможности метода.

Наиболее подходящими лазерами для использования метода двух длин волн являются перестраиваемые по частоте лазеры на юнимических красителях и многочастотные ионные лазеры на инертных газах.

Лазеры на красителях с внутрирезонаторным эталоном позволяют получать излучение нескольких эквивалентных длин волн, как и в рубиновом лазере. В первых экспериментах для получения топограмм использовался импульсный лазер на красителях с пленкой накачкой и внутрирезонаторным эталоном Фабри-Перо толщиной $d = 6,35$ мм [110]. С помощью этого лазера были получены топограммы с $\Delta h = 9,5$ мм. В более поздней работе [111] авторы описали лазер на красителях непрерывного действия с пленкой от аргонового лазера и выходной мощностью 10–100 мВт. Используя различные эталоны, они получили топограммы объектов с $\Delta h = 1,5$ мм и 3,7 мм. Так как спектр излучения лазера на красителях с внутрирезонаторным эталоном содержит больше двух линий и с уменьшением $\Delta\lambda$ их число увеличивается, то при больших Δh вследствие эффекта многократной интерферометрии на топографической картике наблюдается сужение полос [110].

Результаты экспериментов различных авторов показывают, что применение лазеров на красителях целесообразно в грубой топографии с $\Delta h > 1,5 \div 2,0$ мм. Это вызвано тем, что для более мелких шагов с помощью эталона трудно получить необходимые значения $\Delta\lambda$, а установка λ перестройкой резонатора не обеспечивает приемлемой точности. Например, при $\Delta h = 500$ мкм и $\lambda = 500$ нм неточность установки λ в 0,05 нм приводит к погрешности в шаге сечений, равной 25 % тогда как точность установки длины волн у лучших моделей лазеров на красителях не превышает 0,2–0,5 нм.

В настоящее время наиболее подходящим для использования в топографии является ионный лазер, позволяющий получать дискретный набор частот. В табл. 1 приведены длины волн, шаг сечений и мощность излучения, полученные на ионном газовом лазере НЭТИ, работающем на аргоне или кryptonе. Подробно этот лазер описан в следующей главе.

Таблица 1

| λ_1 , нм | λ_2 , нм | $\Delta\lambda$, нм | Δh , мкм | P , мВт |
|------------------|------------------|----------------------|------------------|-----------|
| 530,865 | 528,690 | 2,175 | 64,50 | 300 |
| 528,690 | 520,831 | 7,859 | 17,51 | 200 |
| 520,831 | 514,579 | 6,252 | 21,43 | 200 |
| 514,579 | 488,003 | 26,576 | 4,72 | 2500 |
| 514,579 | 496,507 | 18,072 | 7,06 | 700 |
| 501,716 | 496,507 | 5,209 | 23,90 | 400 |
| 496,507 | 488,003 | 6,504 | 14,24 | 700 |
| 488,003 | 482,317 | 5,486 | 21,46 | 100 |
| 488,003 | 476,486 | 11,517 | 10,09 | 500 |
| 482,317 | 476,486 | 6,031 | 19,06 | 100 |
| 476,486 | 476,243 | 0,243 | 466,8 | 100 |
| 476,486 | 472,686 | 3,80 | 29,64 | 200 |
| 457,935 | 454,605 | 3,43 | 30,34 | 100 |

Метод двух длин волн для получения топограмм обладает рядом преимуществ:

большой диапазон шагов сечений – от нескольких микрометров до десятков миллиметров;

высокая точность задания шагов сечений, определяемая разностью длии волн;

отсутствие различных ограничений на исследуемый объект;

возможность получения топограмм движущихся объектов.

Тем не менее, метод не получил должного распространения. В частности, это связано с тем, что при его реализации выявляется ряд сложностей, а именно:

необходимость компенсации углового положения опорного пучка;

необходимость учета хроматических aberrаций и их устранение;

зависимость характера сечений от параметров оптической схемы;

проблема локализации полос.

Но эти трудности принципиально разрешимы и не являются решающими.

Сравнение трех методов

В целом каждый из рассмотренных методов получения топографических интерферограмм имеет определенные преимущества и недостатки, и выбор метода для решения конкретной задачи должен опираться на детальный анализ возможностей самого метода, с учетом имеющейся аппаратуры для проведения экспериментов. В табл. 2 сопоставлены по ряду основных параметров три метода получения топограмм. Знак (+) означает, что данная характеристика является хорошей, (–) – плохой, а (±) – средней.

Таблица 2

| Сравниваемые характеристики | Рельеф ($\Delta h > 0,5$ мм) | | Моделирельеф ($0,05 \text{ мм} < \Delta h < 0,5$ мм) | | Микрорельеф ($\Delta h < 0,05$ мм) | |
|---------------------------------|-------------------------------|--------------------|---|--------------------|-------------------------------------|----------------------|
| | Метод смешенного источника | Иммерсионный метод | Метод двух длин волн | Иммерсионный метод | Метод двух длин волн | Метод двух длин волн |
| Бесконтактность | + | – | + | – | + | + |
| Простота реализации метода | + | – | + | – | + | + |
| Простота изменения шага сечений | + | – | + | – | ± | + |
| Отсутствие теневых эффектов | – | + | + | + | + | + |
| Отсутствие масштабных искажений | + | ± | ± | ± | ± | – |
| Локализация полос | + | + | + | ± | ± | – |

Как видно из табл. 2, по совокупности параметров лучшие характеристики имеют метод двух длин волн и иммерсионный. Метод смещенного источника практически пригоден только при исследовании макрорельефа простых по форме объектов. Микрорельеф поверхностей можно исследовать только методом двух длин волн.

2. МЕТОДИЧЕСКИЕ ПОГРЕШНОСТИ ТОПОГРАФИЧЕСКИХ ИНТЕРФЕРОМЕТРОВ

В ряде случаев качественного анализа топографических картин оказывается достаточно для получения необходимого результата. Например, по искривлению линий можно судить о кривизне поверхности предмета. Сравнивая топограммы двух одиничных объектов, один из которых эталонный можно получить нужную информацию об исследуемом объекте.

Однако в большинстве задач требуется количественная информация о параметрах рельефа, для чего необходима расшифровка топограмм. Под расшифровкой топограмм понимается вычисление по топограмме высот или z -координат точек поверхности.

Информация о рельефе на топограмме представлена в виде двумерного распределения поля яркости $I(x, y)$. Изменение яркости вдоль x -координаты определится выражением

$$I(x) = \frac{I_{\max}}{2} [1 + V \cos \varphi(x)], \quad (57)$$

где $\varphi(x)$ – разность фаз в точке x ; I_{\max} – максимальное значение яркости. Для упрощения выкладок пока будем считать, что $V = 1$.

Таким образом, если известна зависимость $\varphi(x) = \pi z(x)$, то, измеряя непосредственно по топограмме $I(x)$, можно с помощью выражения (57) вычислить $z(x)$. Как уже отмечалось, в голографической топографии разность фаз зависит от профиля рельефа, причем эта зависимость может быть весьма сложной. Но для "истинной" топографии все существенно упрощается и разность фаз определяется соотношением

$$\varphi(x) = (2\pi/\Delta h) z(x). \quad (58)$$

Из (57) и (58) следует, что профиль поверхности описывается выражением

$$z(x) = \frac{\Delta h}{2} \left\{ N + \frac{1}{\pi} \arccos \left[(2 \frac{I(x)}{I_{\max}} - 1) (-1)^N \right] \right\}, \quad (59)$$

где N – число интерференционных полос. Второе слагаемое определяет дробную долю полосы.

Расшифровка топограмм сводится к подсчету числа полос и нахождению их координат вдоль направления искомого профиля.

Необходимо отметить, что по топографической интерферограмме z -координата определяется с точностью до знака.

В некоторых задачах, когда не требуется большой точности и для построения рельефа оказывается достаточным ограниченное число точек, можно воспользоваться упрощенной расшифровкой. В этом случае подсчитывают или только целое число полос, или лишь темные либо светлые полосы:

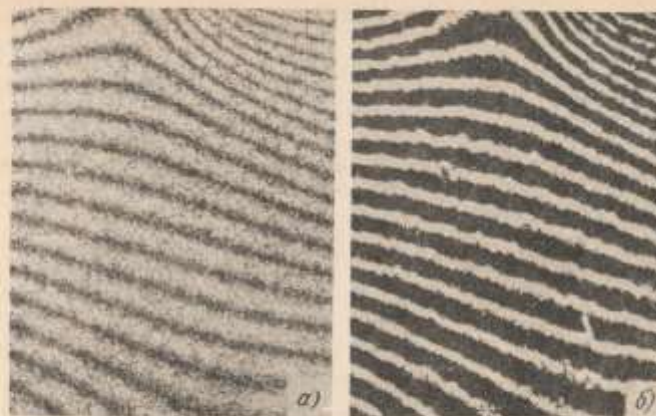


Рис. 34. Выделение середины полос фотографическим способом:
а – топограмма до обработки; б – после обработки

$$|z_1| = (\Delta h/2)N_1 \text{ или } |z_2| = \Delta h N_2.$$

При этом относительная погрешность определения z -координат аналогична погрешности квантования по уровню и равняется соответственно:

$$\delta_{z_1} = \frac{\Delta h}{4|z_1|} \text{ или } \delta_{z_2} = \frac{\Delta h}{2|z_2|}.$$

В этих двух наиболее простых случаях для расшифровки топограмм требуется определить координаты середин интерференционных полос. Середины полос могут быть определены визуально оператором с помощью несложного специального приспособления, представляющего собой упрощенную модель компаратора. Экспериментально установлено, что погрешность определения координат полос этим способом не превышает 5 % [22]. Но этот путь расшифровки топограмм достаточно трудоемок. Выделение середины полос фотографическим методом (рис. 34), можно существенно упростить расшифровку топограмм. Но наиболее эффективное решение этой задачи, как и в случае исследования напряженно-деформированного состояния объектов, заключается в автоматизации процесса обработки с использованием ЭВМ.

Ниже дана оценка погрешности, возникающей при количественной расшифровке топографических интерферограмм. Значение погрешности, с одной стороны, зависит от свойств самого метода и схемных решений, его реализующих. С другой стороны, погрешность измерения параметров рельефа обусловлена влиянием пространственных шумов голограммического изобра-

жения на точность отсчета числа интерференционных полос. Хотя природа этого вида погрешности та же самая, что и при других методах голографической интерферометрии, ее анализ для топографических интерферометров имеет ряд особенностей и будет рассмотрен в следующем параграфе.

Использование соотношения (59) для определения z -координат приводит к неточному результату, так как топограммы, полученные в реальных интерферометрах, отличаются от "истинных" топограмм. В зависимости от метода и реализующей его схемы, значение погрешности может быть самым различным. Оно определяется следующими основными факторами: неоднозначностью определения z -координат; кривизной секущих поверхностей; неточностью определения шага сечений.

Используя зависимость погрешности от перечисленных факторов, можно указать пути повышения точности в каждом конкретном случае. Кроме того, это позволит упростить как сам эксперимент, так и процесс расшифровки.

Определение знака z -координаты

Методы голографической топографии, как и все интерференционные методы, позволяют измерять параметры рельефа с точностью до знака, т.е. по топограмме невозможно отличить выпуклость от вогнутости объекта. Поэтому для определения знака или требуется априорная информация о рельефе исследуемого объекта, или необходимо принимать дополнительные меры. Одной из них может быть получение нескольких топограмм с различных направлений. Рассмотрим конкретный пример. На рис. 35 показан характерный рельеф, содержащий конус и конусообразную воронку. Топограмма этого объекта, приведенная на рис. 36, а, не позволяет отличить конус от воронки (см. рис. 35, а). На рис. 36, б приведена интерферограмма того же объекта, но с другого направления. При этом в соответствии с рис. 35, б частота полос на склонах с положительной производной увеличивается, а на склонах с отрицательной производной уменьшается. Таким образом можно определить знак z -координаты.

В общем случае для определения знака рельефа необходимо получать интерферограммы с трех направлений. Так как получение нескольких топограмм с различных направлений значительно усложняет схему голографического интерферометра, то для упрощения следует с одного направления снимать несколько топограмм, причем для каждой топограммы объект поворачивать на некоторый угол. Поворот объекта в данном случае эквивалентен изменению направления голографирования.

Описанный способ определения знака z -координаты легко реализуется при использовании метода двух длин волн. При иммерсионном методе применение этого способа затруднено, так как условие перпендикулярности направления наблюдения к окну кюветы не позволяет регистрировать топограммы с нескольких направлений, а необходимость поворота объекта в кювете на заданные углы приводит к сильному усложнению конструкции кюветы. При методе смешенного источника вследствие теневых эффектов использование этого способа для многих объектов может оказаться вообще неприемлемым.

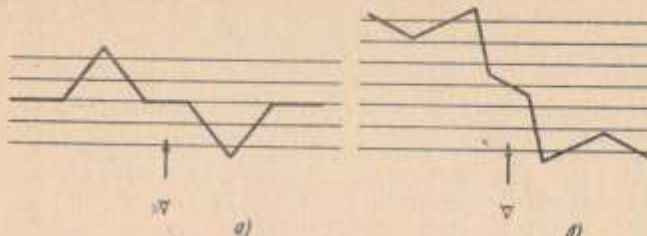


Рис. 35. Характер сечений на выпуклых и вогнутых участках рельефа:
а – при фронтальном наблюдении; б – при боковом

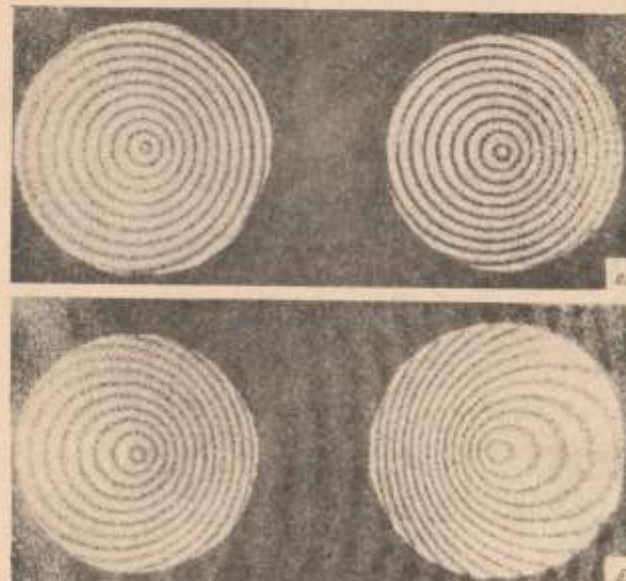


Рис. 36. Топограммы конуса и воронки, полученные с двух направлений:
а – при фронтальном наблюдении; б – при боковом

Оценка кривизны секущих поверхностей

Требование плоскости секущих поверхностей, являющееся одним из основных в топографии, в действительности удается выполнить с приемлемой точностью только при использовании метода смешенного источника. Это объясняется тем, что при данном методе выполнение этого требования целиком определяется степенью плоскости освещающих пучков, которую можно реализовать с хорошей точностью. Правда, при небольших поперечных размерах. При использовании двух других методов кривизна секущих поверхностей определяется геометрией схемы интерферометра и может быть весьма значительной. Остановимся более подробно на этом вопросе.

Как следует из соотношения (51), условие плоскости секущих поверхностей при использовании иммерсионного метода может быть реализовано, если пренебречь угловыми размерами исследуемого объекта. Но так как в действительности угловые размеры достигают $15-20^\circ$, то не учитывать их уже нельзя. Если пренебречь толщиной окна иммерсионной юбки и учесть угловые размеры объекта, то из формулы (48) после ряда алгебраических преобразований получим

$$k_0 z [\sqrt{n_1^2 - \sin^2 \psi} - \sqrt{n_2^2 - \sin^2 \psi}] + \\ + (n_1 - n_2) + \frac{n_1 - n_2}{2n_1 n_2 L^2} (x_p^2 + y_p^2) \approx 2\pi N, \quad (60)$$

где x_p, y_p – координаты точек семейства топографических полос.

Из выражения (60) видно, что, несмотря на ряд упрощающих предположений, сечения описываются сложными поверхностями третьего порядка. Так как выражение (60) имеет сложный вид и мало пригодно для практических оценок, то желательно вместо него использовать более простое соотношение, которое бы позволяло оценивать радиус кривизны секущих поверхностей. Для этого в качестве исследуемой поверхности возьмем плоскость $z = L_0$, и для упрощения выкладок положим $B = i$. В этом случае топограмма плоскости будет представлять собой концентрические кольца с разностью квадратов радиусов

$$\rho_N^2 + 1 - \rho_{N+1}^2 = 2 \frac{\Delta n_1 n_2}{\Delta n} - \frac{L^2}{L_0}.$$

Поскольку для сферических секущих поверхностей разность радиусов колец на плоскости

$$R_{\text{сф}} \approx \frac{\rho_N^2 + 1 - \rho_{N+1}^2}{2\Delta n},$$

получим приближенное значение радиуса кривизны секущих поверхностей для иммерсионного метода:

$$R_{\text{кр}} \approx R_{\text{сф}} \approx 2\pi^2 L^2 / L_0, \quad (61)$$

где L_0 – минимальное расстояние от объекта до окна юбки

Соотношение (61) дает возможность определять дополнительные тре-

бования к схеме интерферометра, выполнение которых практически полностью устраняет погрешности, обусловленные кривизной секущих поверхностей. Например, при $L \approx 300$ мм, $n \approx 1,3$, $L_0 \approx 25$ мм максимальное значение дополнительной погрешности определения высоты рельефа при попечном размере объекта 150 мм составляет $\pm 0,35$ мм. Если $z \approx 2,5$ мм, то значение этой погрешности не превышает $\pm 0,05$ мм.

При использовании метода двух длин волн секущие поверхности описываются соотношением (55) и представляют собой семейство эллипсоидов с фокусами в центре входного зрачка системы наблюдения и в точке расположения освещающего источника. Параметры схем, задающие положение этих точек, и определяют характер секущих поверхностей. Использование соотношения (55) для количественной расшифровки приводит к громоздким вычислениям. Поэтому целесообразно рассмотреть случаи, когда секущие поверхности можно представлять более простыми поверхностями, например, сферами.

Рассмотрим задачу аппроксимации секущих поверхностей для общего случая, когда направления наблюдения и освещения не совпадают (рис. 37).

В системе координат (x, y, z) уравнение (55) записывается в виде

$$\frac{(x - (d/2)\sin \theta_p)^2}{b^2} + \frac{y^2}{b^2} + \frac{(z + (d/2)\cos \theta_p)^2}{a^2} = 1,$$

где a и b – параметры эллипсоида, определяемые геометрией схемы.

Уравнение для аппроксимирующей сферы выглядит следующим образом:

$$(x - \rho \sin \theta_p)^2 + y^2 + (z + \rho \cos \theta_p - r_s)^2 = \rho^2.$$

Отклонения от плоскости $r_s = z_0$ для эллипсоида и сферы соответственно

$$\delta z_{\text{эл}} = r_s + \frac{d}{2} \cos \theta_p - z \sqrt{1 - \frac{y^2}{b^2} - \frac{(x - (d/2)\sin \theta_p)^2}{b^2}}; \quad (62)$$

$$\delta z_{\text{сф}} = \rho \cos \theta_p - \rho \sqrt{1 - \frac{y^2}{\rho^2} - \frac{(x - \rho \sin \theta_p)^2}{\rho^2}}.$$

Погрешность аппроксимации эллипсоидов сферами будет

$$\delta = \delta z_{\text{эл}} - \delta z_{\text{сф}}.$$

Задача определения δ существенно упрощается, если угловой размер исследуемых объектов не превышает $15-20^\circ$, а значение угла между направлением освещения и наблюдения меньше $10-15^\circ$. Второе условие легко реализуется, если для регистрации топограмм использовать действительно изображение (здесь играет роль малый размер голограмм). При этих ограничениях справедливы следующие неравенства:

$$\frac{y_{\text{ам}}^2}{b^2} \ll 1; \frac{(x_{\text{ам}} - (d/2)\sin \theta_p)^2}{b^2} \ll 1;$$

$$\frac{y_{\text{ам}}^2}{\rho^2} \ll 1; \frac{(x_{\text{ам}} - \rho \sin \theta_p)^2}{\rho^2} \ll 1,$$

где $x_{\text{ам}}$ и $y_{\text{ам}}$ – максимальные поперечные размеры исследуемого объекта.

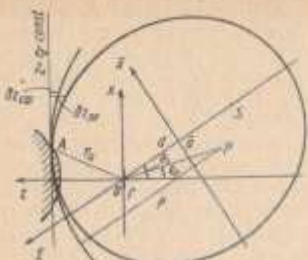


Рис. 37. Схема построения сечущих поверхностей и аппроксимирующих сфер: S – освещающий источник; Г – голограмма; d – расстояние от центра голограммы до освещающего источника; ρ – радиус аппроксимирующих сфер; P – широта этих сфер; r_a – расстояние от точки на объекте до голограммы

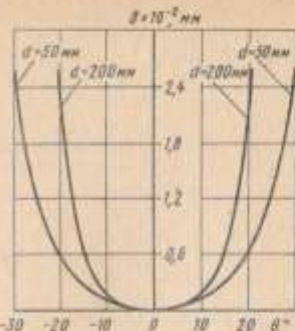


Рис. 38. Влияние углового размера объекта и положения освещающего источника на точность аппроксимации



Рис. 39. Топограммы эталонной плоскости, полученные при различных параметрах схемы записи

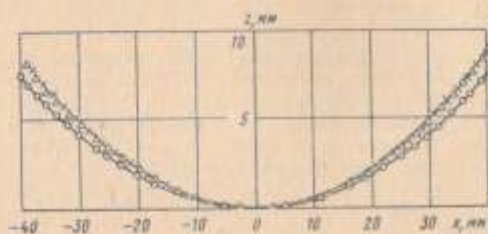


Рис. 40. Профили эталонной сферы:
—x— по данным механических измерений; —z— по результатам расшифровки топограммы без учета кривизны секущих поверхностей; —o— по результатам расшифровки с учетом кривизны секущих поверхностей

Введем коэффициент $q > 1$, чтобы

$$\sin \theta_p = q \sin \theta_s.$$

На основании изложенного выше получаем:

$$\begin{aligned} \delta = & \left\{ [\rho \cos \theta_p - \rho] - [(r_s + \frac{d}{2} \cos \theta_p) - a] \right\} + \\ & + \frac{1}{2} y_{am} \left(\frac{1}{\rho} - \frac{a}{b^2} \right) - \frac{a}{2b^2} (x_{am} - \\ & - \frac{d}{2} \sin \theta_s)^2 \pm \frac{1}{2\rho} (x_{am} - q\rho \sin \theta_s)^2. \end{aligned} \quad (63)$$

Анализируя (63), нетрудно заметить, что при $\rho = b^2/a$ и $q = d/2\rho$ значение δ минимально и не зависит от координат точек поверхности объекта. Таким образом, радиус аппроксимирующих сфер и положение их центра определяются следующими соотношениями:

$$\begin{aligned} \rho &= \frac{(r_s + r_a)^2 - d^2}{2(r_s + r_a)}, \\ \theta_p &= \arcsin \frac{d(r_s + r_a)}{(r_s + r_a)^2 - d^2}. \end{aligned} \quad (64)$$

Используя уравнения (64), можно получить точное значение δ . Угловые размеры реально исследуемых объектов обычно не превышают 10° , поэтому значения δ , как видно на рис. 38, достаточно малы, и секущие поверхности можно считать сферами.

Для проверки соотношений (64) были получены топограммы эталонной плоскости при различных параметрах r_s , r_a и d (рис. 39). В табл. 3 приведены результаты определения радиуса кривизны как расчетным путем по формулам (64), так и экспериментально. Совпадение можно считать достаточно хорошим.

Таблица 3

| Топограмма | r_s | r_a | d | $\rho_{\text{расч}}$ | $\rho_{\text{эксп}}$ |
|------------|-------|-------|-----|----------------------|----------------------|
| Рис. 39, а | 400 | 400 | 40 | 399 | 421 |
| Рис. 39, б | 400 | 800 | 404 | 533 | 538 |
| Рис. 39, в | 800 | 800 | 42 | 800 | 802 |

В реальных схемах $r_s \leq r_a \leq \infty$, тогда из уравнений (64) получаем $r_s \leq \rho \leq 2r_s$. Следовательно, радиус кривизны секущих поверхностей определяется в основном расстоянием r_s от объекта до голограммы. Кривизна приводит к существенной погрешности определения z-координаты. Например, при $r_s = 500$ мм, $r_a = 700$ мм, $d = 200$ мм и поперечном размере объекта 200 мм максимальная абсолютная погрешность составляет 5,5 мм. Однако эту погрешность легко учесть, вводя поправку

$$\Delta z(x, y) = \rho \cos \theta_p - \rho \sqrt{1 - \frac{y^2}{\rho^2}} - \frac{(x - \rho \sin \theta_p)^2}{\rho^2},$$

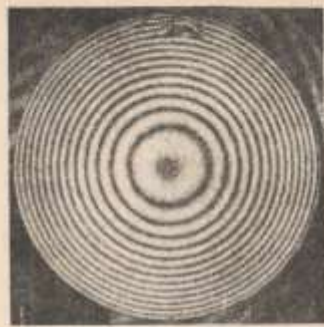


Рис. 41. Топограмма эталонной сферы

тогда

$$z(x, y) = (\Delta h/2)N - \Delta z(x, y).$$

Из рис. 40, на котором приведены профили сечения эталонной сферы, полученные по данным механических измерений и результатам расшифровки топограммы (рис. 41) без учета и с учетом кривизны секущих поверхностей, видно, что профили, полученные первым и третьим способом, совпадают.

Оценка неточности определения шага сечений

При методе смещенного источника, если освещающие пучки плоские, шаг сечений определяется только углом α . Относительная погрешность шага

$$\delta(\Delta h) = \operatorname{ctg} \frac{\pi}{2} \frac{\Delta \alpha}{2}. \quad (65)$$

При методе двух волн, как показывает анализ выражения (56), Δh сложным образом зависит от целого ряда параметров схемы. Поэтому имеет смысл провести оценку определения шага сечений для случаев, реализуемых в конкретных интерферометрах. Если принять, что угловые размеры объекта не превышают $15 - 20^\circ$, а его глубина l намного меньше расстояний r_1 и r_2 (рис. 42), то из (55) получим:

$$x(\cos \theta_1 + \cos \theta_2) + \frac{x^2}{2} \left(-\frac{\sin^2 \theta_1}{r_{10}} + \frac{\sin^2 \theta_2}{r_{20}} \right) + r_{10} + r_{20} = N \frac{\lambda_1 \lambda_2}{\lambda_2 - \lambda_1}. \quad (66)$$

Для соседних эквифазных поверхностей из (66) получаем соотношения

$$x_{N+1}(1 + \cos \theta_1) + \frac{x_{N+1}^2}{2} \frac{\sin^2 \theta_1}{r_{10}} + (r_{10} + r_{20}) = (N+1) \frac{\lambda_1 \lambda_2}{\lambda_2 - \lambda_1}; \quad (67)$$

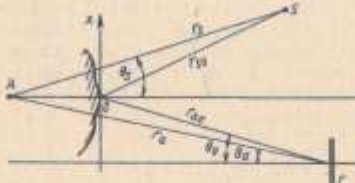


Рис. 42. Определение шага сечений: О – центральная точка объекта; А – произвольная точка объекта; r_{10} , r_{20} – средние расстояния до объекта от источника освещения и голограммы соответственно

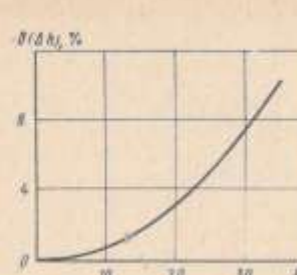


Рис. 43. Зависимость погрешности шага сечений от углового размера объекта в методе двух длин волн

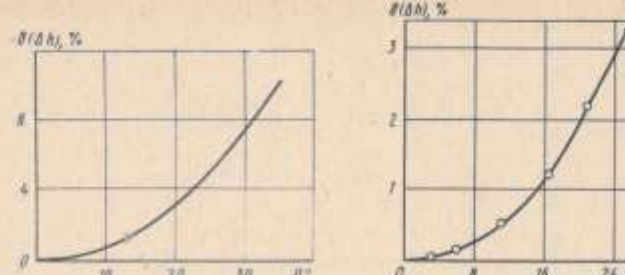


Рис. 44. Зависимость погрешности шага сечений от углового размера объекта в иммерсионном методе

$$x_N(1 + \cos \theta_1) + \frac{x_N^2}{2} \frac{\sin^2 \theta_1}{r_{10}} + (r_{10} + r_{20}) = N \frac{\lambda_1 \lambda_2}{\lambda_2 - \lambda_1}.$$

Так как $x_{N+1} - x_N = \Delta h_N$, то из (67) находим

$$\Delta h_N = \frac{\lambda_1 \lambda_2}{\lambda_2 - \lambda_1} \frac{1}{1 + \cos \theta_1 + \frac{x_{N+1} + x_N}{2} \frac{\sin^2 \theta_1}{r_{10}}}. \quad (68)$$

Как видно из уравнения (68), шаг сечений при использовании метода двух длин волн зависит не только от длины волн освещающих источников, но и от их углового положения. Кроме того, из (68) также следует, что шаг сечений неравномерен по глубине объекта. Простой расчет показывает, что в большинстве случаев этой неравномерностью можно пренебречь. Так, при глубине объекта, равной $(0,2 \div 0,3)$ В, где В – поперечный размер объекта, максимальная относительная погрешность $\delta(\Delta h) < 1\%$. Это дает возможность вместо уравнения (68) пользоваться выражением

$$\Delta h_N \approx \frac{\lambda_1 \lambda_2}{\lambda_2 - \lambda_1} \frac{1}{1 + \cos \theta_1}. \quad (69)$$

Сравнение выражений (69) и (56) показывает, что при $\theta_1 < 20^\circ$ различие в шагах полос не более 3 % (рис. 43).

Значительно сложнее обстоит дело с заданием шага сечений при использовании иммерсионного метода. Простое выражение для шага полос (52) справедливо, если направления наблюдения и освещения совпадают и перпендикулярны к окну кюветы ($\varphi = \psi = 0$). Это условие реализуется в схемах со светоделителем (см. рис. 29). Как уже отмечалось, такие схемы обладают серьезными недостатками, и применение их нежелательно. Кроме того, необходимо постоянства направления наблюдения для всех точек объекта накладывает ограничения на его размеры.

При несовпадении направлений освещения и наблюдения и угловых размерах объекта меньше 20° из выражения (60) получим

$$\Delta h = 1/l \sqrt{n_1^2 - \sin^2 \psi} - \sqrt{n_2^2 - \sin^2 \psi} + \\ + (n_1 - n_2) + \frac{n_1 - n_2}{2n_1 n_2 l} (x^2 + y^2). \quad (70)$$

Сравнивая (70) с шагом сечений, полученным из уравнения (51), не трудно заметить, что при $\psi = 0$ эти выражения отличаются только последним слагаемым в знаменателе. На рис. 44 видно, что погрешность, определяемая относительной разностью этих выражений не превышает 2% при угловых размерах не более 20° и резко возрастает с их увеличением.

3. ВЛИЯНИЕ ШУМОВ НА МЕТРОЛОГИЧЕСКИЕ ХАРАКТЕРИСТИКИ ТОПОГРАФИЧЕСКИХ ИНТЕРФЕРОМЕТРОВ

На первый взгляд может показаться, что не представляет труда достичь заданной точности в измерении высоты рельефа. Достаточно лишь уменьшить Δh до необходимого значения. В действительности по мере уменьшения Δh ухудшается видимость интерференционных полос, в результате чего затрудняется или даже делается невозможной регистрация топограмм [4]. Уменьшение видимости полос вызывается различными причинами, в том числе пространственными шумами голографического изображения.

Кроме уменьшения Δh есть еще один путь снижения погрешности измерения и увеличения чувствительности топографических интерферометров – это учет градиентов интенсивности в интерференционной картине. В этом случае отсчитывают доли полос, что без уменьшения шага сечений позволяет измерять рельеф с гораздо большей точностью, чем $\Delta h/2$. Теоретически, измеряя сколь угодно малые изменения яркости интерференционной картины, можно различать любые малые неровности рельефа. Но практически всегда имеются минимальные градации интенсивности, которые невозможно отсчитать. Они определяют порог чувствительности метода, зависящий также от пространственных шумов голографического изображения.

Характеристикой, определяющей погрешность измерения яркости и соответственно погрешность определения z -координаты, является дисперсия пространственных шумов $D(I)$. В общем случае пространственные шумы зависят от характеристик оптической схемы интерферометра, условий получения топограмм, а также от свойств исследуемой поверхности.

Рассмотрим, как связана погрешность измерения z -координаты с погрешностью измерения яркости. Функция яркости $I(x, y)$, как следует из сути метода, является гармонической с периодом, равным Δh . Из-за шумов при измерении $I(x, y)$ возникает погрешность. Как показано в п. 4 гл. 2, она зависит от значения яркости и максимальна в точках $I = 0$ и $I = I_{\max}$. Абсолютное значение погрешности в этом случае равно Δz_{\max} . Минимальная погрешность Δz_{\min} имеет место при $I = I_{\max}/2$. Величина Δz_{\min} может быть получена из выражения (59):

$$\Delta z_{\min} = \frac{\Delta h}{\pi} \frac{\Delta I}{I_{\max}}.$$

Для определения Δz_{\max} необходимо подставить в (59)

$$I = I_{\max} \left(1 - \frac{\Delta I}{I_{\max}}\right).$$

И в том, и в другом случае погрешность измерения z -координаты определяется относительной погрешностью измерения яркости

$$\delta_I = \frac{\Delta I}{I_{\max}} = \frac{\sqrt{D[I]}}{I_{\max}}.$$

Авторы работ [4, 109] экспериментально установили, что контраст топографических полос наиболее сильно зависит от шероховатости исследуемой поверхности. Поэтому начнем рассмотрим влияние свойств поверхности на точностные характеристики топографического интерферометра.

Представим исследуемый рельеф для произвольного направления в виде:

$$z(x) = z_1(x) + z_2(x),$$

где $z_1(x)$ – измеряемый макрорельеф, а $z_2(x)$ – шероховатость исследуемой поверхности. Если элементы шероховатости $z_2(x)$ разрешаются в голографическом изображении, то минимальное значение z -координаты, которое может быть измерено, определяется дисперсией яркости (здесь и далее аргумент x опускается):

$$D[1] = \frac{1}{4} N D[\cos \frac{2\pi}{\Delta h} (z_1 + z_2)]. \quad (71)$$

Из выражения (71) следует, что дисперсия яркости, определяющая порог чувствительности, зависит не только от шероховатости $z_2(x)$, но и от макрорельефа $z_1(x)$. Найдем эту зависимость. Выражение (71) можно переписать в виде:

$$D[1] = \frac{1}{4} \left\{ \cos^2 \left(\frac{2\pi}{\Delta h} z_1 \right) D[\cos \left(\frac{2\pi}{\Delta h} z_2 \right)] + \right. \\ \left. + \sin^2 \left(\frac{2\pi}{\Delta h} z_1 \right) D[\sin \left(\frac{2\pi}{\Delta h} z_2 \right)] \right\}. \quad (72)$$

Прямое определение дисперсий гармонических функций от случайной величины z_2 приводит к громоздким и неудобным для практического использования выражениям. Ограничимся случаем малых значений z_2 и представим гармонические функции в виде первых членов их разложения в степенной ряд. С погрешностью 10% можно считать, что для значений $z_2 < \Delta h/(2\pi)$

$$\cos \frac{2\pi}{\Delta h} z_2 \approx 1 - \frac{1}{2} \left(\frac{2\pi}{\Delta h} \right)^2 z_2^2;$$

$$\sin \frac{2\pi}{\Delta h} z_2 \approx \frac{2\pi}{\Delta h} z_2.$$

Тогда

$$\begin{aligned} D[\cos \frac{2\pi}{\Delta h} z_2] &\approx \frac{1}{4} \left(\frac{2\pi}{\Delta h}\right)^4 D[z_2^2], \\ D[\sin \frac{2\pi}{\Delta h} z_2] &\approx \left(\frac{2\pi}{\Delta h}\right)^2 D[z_2]. \end{aligned} \quad (73)$$

Во многих случаях можно считать $z_2(x)$ нормальным случайнм процессом. Тогда $D[z_2^2] = 2D^2[z_2]$ и уравнения (73) принимают вид

$$\begin{aligned} D[\cos \frac{2\pi}{\Delta h} z_2] &\approx \frac{1}{2} \left(\frac{2\pi}{\Delta h}\right)^4 D^2[z_2]; \\ D[\sin \frac{2\pi}{\Delta h} z_2] &\approx \left(\frac{2\pi}{\Delta h}\right)^2 D[z_2]. \end{aligned} \quad (74)$$

Подставляя (74) в (72), получаем

$$D[I] \approx \frac{l_{\max}^2}{4} \left\{ \cos^2\left(\frac{2\pi}{\Delta h} z_1\right) \frac{1}{2} \left(\frac{2\pi}{\Delta h}\right)^4 D^2[z_2] + \sin^2\left(\frac{2\pi}{\Delta h} z_1\right) \left(\frac{2\pi}{\Delta h}\right)^2 D[z_2] \right\}. \quad (75)$$

Рассмотрим зависимости относительного среднего квадратического отклонения яркости от высоты рельефа при различных дисперсиях шероховатости σ_z (рис. 45). Как и следовало ожидать, среднее квадратическое отклонение яркости максимально между полосами и спадает при приближении к яркой или темной полосе.

Перейдем теперь к определению порогового значения z -координаты. Примем за порог чувствительности значение Δz , определяемое средним квадратическим отклонением яркости $\sigma_I = \sqrt{D[I]}$:

$$\Delta z = |z_1 + \frac{\Delta h}{2\pi} \arccos \left[\frac{2(I_1 \pm \sigma_I)}{I_{\max}} \right]|. \quad (76)$$

Выражение (76) после подстановки (75) принимает достаточно сложный вид. Практически целесообразно характеризовать порог чувствительности максимальным значением величины Δz . Из выражений (76) и (75) получаем

$$\Delta z_{\max} = \frac{\Delta h}{2\pi} \arccos \left[1 - \frac{1}{\sqrt{2}} \left(\frac{2\pi}{\Delta h} \right)^2 D[z_2] \right]. \quad (77)$$



Рис. 45. Зависимость отклонения средней квадратической яркости от высоты рельефа



Рис. 46. Влияние шага топографических сечений на контраст интерференционных полос:
а) $\Delta h = 470$ мкм; б) $\Delta h = 64$ мкм; в) $\Delta h = 30$ мкм

При учете градаций яркости, как показано далее, порог чувствительности практически не зависит от шага Δh , а определяется только дисперсией шероховатости. Это связано с тем, что уменьшение цены полосы одновременно приводит к снижению контраста интерференционной картины и, как следствие, к уменьшению числа различимых градаций яркости. Порог чувствительности при этом практически не меняется. Установим взаимосвязь между порогом чувствительности, контрастом интерференционных полос и дисперсией шероховатости.

Контраст интерференционных картин определяется выражением

$$V = \frac{\langle I \rangle_{\max} - \langle I \rangle_{\min}}{\langle I \rangle_{\max} + \langle I \rangle_{\min}}. \quad (78)$$

Соответствующие значения средней интенсивности $\langle I \rangle_{\max}$ и $\langle I \rangle_{\min}$ можно записать следующим образом:

$$\langle I \rangle_{\max} \approx I_{\max} - \sigma_I|_{z=0}; \quad (79)$$

$$\langle I \rangle_{\min} \approx \sigma_I|_{z_1 = \Delta h/2}.$$

Подставляя (79) в (78) и учитывая (75), имеем для контраста интерференционных полос:

$$V \approx 1 - \frac{2\sigma_I|_{z_1=0}}{I_{\max}} = 1 - \frac{1}{\sqrt{2}} \left(\frac{2\pi}{\Delta h} \right)^2 D[z_2]. \quad (80)$$

Отсюда

$$\Delta h \approx \frac{2\pi\sigma_z}{\sqrt{1-V^2}}, \quad (81)$$

где $\sigma_z = \sqrt{D[z_2]}$.

Полученное соотношение при заданной шероховатости исследуемой поверхности определяет зависимость между контрастом и ценой интерференционных полос. Наглядно эта взаимосвязь иллюстрируется интерферограммами, приведенными на рис. 46.

Отметим, что выражение (81) может быть использовано для определе-

ния средней квадратической шероховатости поверхностей, что само по себе является важной задачей, особенно в машиностроении:

$$\sigma_z \approx \frac{\Delta h}{2\pi} \sqrt{1 - V^2}.$$

Отсюда легко, например, определить среднюю квадратическую шероховатость, приводящую к нулевому контрасту: $\sigma_z \approx \Delta h/6$.

Из выражения (81) непосредственно следует, что при учете только целого числа полос порог чувствительности

$$\Delta x = \frac{\pi \sigma_z}{\sqrt{1 - V^2}}. \quad (82)$$

Если различаются градации полос, то, подставив (80) и (81) в (77), получим

$$\Delta x_{\max} = \frac{\sigma_z}{\sqrt{1 - V^2}} \arccos V. \quad (83)$$

Отношение $\Delta x_{\max}/\sigma_z$ при изменении контраста практически не меняется и близко к единице. Это означает, что порог чувствительности не зависит от Δh и определяется дисперсией шероховатости.

При нахождении порога чувствительности предполагалось, что элементы шероховатости разрешаются в голограммическом изображении. Более реальным является случай, когда шероховатость, вследствие конечного разрешения используемой в интерферометре оптики и самой голограммы, приводит к образованию резко контрастной зернистой структуры голограммического изображения. Флуктуациям яркости в таком изображении можно поставить в соответствие эквивалентную шероховатость поверхности x_w , существенно отличающуюся от действительной шероховатости объекта:

$$x_w = \frac{\Delta h}{2\pi} \arccos \left\{ \left(2 \frac{I_c + I_w}{I_{\max}} - 1 \right) \left(2 \frac{I_c}{I_{\max}} - 1 \right) + \sqrt{\left[1 - \left(2 \frac{I_c + I_w}{I_{\max}} - 1 \right)^2 \right] \left[1 - \left(2 \frac{I_c}{I_{\max}} - 1 \right)^2 \right]} \right\}, \quad (84)$$

где I_w — шум голограммического изображения, а I_c — полезный сигнал, соответствующий измеряемому рельефу. Тогда

$$D[x_w] = \left(\frac{\Delta h}{2\pi} \right)^2 D \left[\left(2 \frac{I_c + I_w}{I_{\max}} - 1 \right) \times \right. \\ \times \left(2 \frac{I_c}{I_{\max}} - 1 \right) + \left. \left\{ \left[1 - \left(2 \frac{I_c + I_w}{I_{\max}} - 1 \right)^2 \right] \times \right. \right. \\ \times \left. \left. \left[1 - \left(2 \frac{I_c}{I_{\max}} - 1 \right)^2 \right] \right\}^{1/2} \right]. \quad (85)$$

В этом случае для определения погрешности измерения z -координаты необходимо знать характеристики шума в изображении.

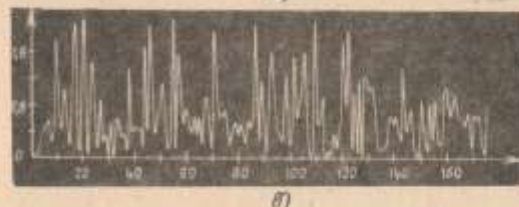
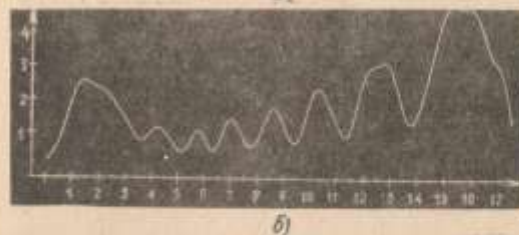
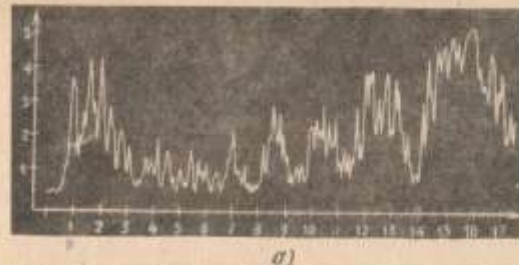


Рис. 47. Определение реального порога чувствительности с помощью ЭВМ:
а — смесь сигнала с шумом; б — полезный сигнал; в — эффективная шероховатость, характеризующая порог

Аналитическое определение дисперсии шероховатости является сложной задачей. Однако значение $D[x_w]$ можно вычислить, если экспериментально определены функции $I_c + I_w$ (рис. 47, а) и I_c (рис. 47, б); при этом I_c вычисляется обработкой. Полученное таким образом значение $D[x_w]$ (рис. 47, в) определяет порог чувствительности интерферометра, если обработка отсутствует. Очевидно, что обработка интерферограмм, направленная на уменьшение флуктуаций яркости, позволяет существенно снизить порог чувствительности, в том числе сделать его ниже среднего квадратического отклонения реальной шероховатости.

Абсолютная погрешность определения z -координаты тесно связана с пороговым значением и может быть принята равной $2\sqrt{D[x_w]}$.

Перейдем теперь к рассмотрению прецелов измерения.

Динамический диапазон топографического интерферометра определяется соотношением

$$k = z_{\max} / \Delta z_{\max}, \quad (86)$$

где z_{\max} — максимальная высота рельефа исследуемого объекта, которую можно измерить в данной схеме, а Δz_{\max} — определенное ранее пороговое значение.

Для получения интерференционных полос смещение по z -координате двух изображений исследуемого объекта должно быть не больше глубины резкости оптической схемы. Это налагает ограничение на допустимую высоту объекта:

$$z_{\max} = 8 \Delta h (f/a)^2, \quad (87)$$

где f — фокусное расстояние используемого объектива; a — его апертура.

Подставляя (81) и (87) в (86), получаем

$$K = \left(\frac{4f}{a} \right)^2 \frac{\pi}{\arccos \left[1 - \frac{1}{\sqrt{2}} \left(\frac{2\pi a}{\Delta h} \right)^2 \right]} \quad (88)$$

При $f = 200$ мм, $a = 25$ мм, $\Delta h = 0,01$ мм, $\sigma_z = 0,001$ К $\approx 10^4$.

Чтобы информация об отдельных участках объекта не пропадала в изображении, кроме условия (87), связанного с характеристиками оптической схемы, существует ограничение, налагаемое исследуемым рельефом:

$$|\operatorname{grad} z(x, y)| \leq \alpha_{\max}, \quad (89)$$

где α_{\max} — максимальный угол наклона исследуемого рельефа.

Это связано с тем, что при больших углах наклона рельефа интерференционные полосы в изображении становятся неразличимыми. Оценим максимально допустимый угол α_{\max} :

Поскольку расстояние между интерференционными полосами в плоскости изображения Δb определяется шагом Δh и углом наклона рельефа α , т.е. $\Delta b = \Delta h / \tan \alpha$, то $\tan \alpha_{\max} = \Delta h / \Delta b_{\min}$.

Минимальное расстояние Δb_{\min} , при котором интерференционные полосы различимы, определяется пространственным шумом голографического изображения и может быть принят равным размеру зерна пятилистной структуры.

Средний размер зерна в голографическом изображении соответствует ширине главного максимума автокорреляционной функции яркости. Более точно пространственная частота, соответствующая размеру, может быть определена по спектру мощности шума.

Основными характеристиками, влияющими на вид автокорреляционной функции, являются дифракционное разрешение, обеспечиваемое оптической схемой $\Delta f/a$, и размер сканирующей диафрагмы d , причем

$$\begin{array}{ll} \text{при } d \gg \lambda f/a & \Delta b_{\min} \approx d; \\ \text{при } d \gg \lambda f/a & \Delta b_{\min} \approx 2d; \\ \text{при } d < \lambda f/a & \Delta b_{\min} \approx \lambda f/a + 2d. \end{array} \quad (90)$$

Таблица 4

| d, мкм | Δb_{\min} , мкм, при $\lambda/f = 10$ | | Δb_{\min} , мкм, при $\lambda/f = 60$ | |
|--------|---|-----------|---|-----------|
| | экспериментальные | расчетные | экспериментальные | расчетные |
| 15 | 60 | 30 | 90 | 90 |
| 30 | 90 | 60 | 130 | 120 |
| 50 | 80 | 100 | 230 | 160 |
| 100 | 150 | 100 | 400 | 200 |

В табл. 4 приведены результаты вычисления ширин главного максимума автокорреляционной функции яркости. Для этого действительное изображение объекта, воссозданное с голограммы, сканировалось фотоприемником с различными диафрагмами.

Как видно из таблицы, оценка Δb_{\min} в общем соответствует экспериментальным результатам и имеет значение порядка сотен микрометров.

Ясно, что величина α_{\max} зависит от Δh . Так, для $0,01$ мкм $\leq \Delta h \leq 0,5$ мм, получаемых при использовании ионного газового лазера, $6^\circ \leq \alpha_{\max} \leq 80^\circ$.

Сравним топограммы ($\Delta h = 0,467$ мм) наклонных плоскостей, полученные при $\alpha_1 = 25^\circ$ и $\alpha_2 = 40^\circ$, что соответствует $\Delta b_1 = 1$ мм и $\Delta b_2 = 0,55$ мм (рис. 48). Разрешение оптической системы составляло 130 мкм, а $d = 100$ мкм. Учитывая условие (90), имеем $\Delta b_{\min} = 330$ мкм. Сравнение топограмм позволяет заключить, что Δb_2 близко к минимальному, т.е. угол α_2 близок к предельному при заданных параметрах.



Рис. 48. Топограммы наклонных плоскостей:
 $\alpha = \alpha_1 = 25^\circ$; $\Delta b_1 = 1,0$ мм; $\delta = \alpha_2 = 40^\circ$; $\Delta b_2 = 0,55$ мм

Глава 4.

АППАРАТУРНОЕ ОБЕСПЕЧЕНИЕ ГОЛОГРАФИЧЕСКИХ ИЗМЕРИТЕЛЬНЫХ СИСТЕМ

1. ЛАЗЕРЫ ДЛЯ ГОЛОГРАФИИ

Из предыдущих глав ясно, что обработка и расшифровка голографических интерферограмм сопряжена в общем случае с большим объемом вычислительных операций. Поэтому реализация голографического эксперимента, как было отмечено в предисловии, приводят к созданию голографических измерительных систем, содержащих лазер, голографическую установку, устройство ввода интерферограмм в ЭВМ, собственно ЭВМ с набором периферийных устройств и устройство представления результатов измерения в удобном для экспериментатора виде. В этой главе последовательно рассмотрена аппаратурная реализация перечисленных элементов голографических измерительных систем.

Возможности применения голографических методов во многом определяются лазерами. При использовании лазеров в измерительном эксперименте кроме обычных требований достаточной когерентности и мощности излучения предъявляются дополнительные требования, связанные с длительной и кратковременной стабильностью мощности и стабильностью направления излучения. Кратковременная стабильность мощности излучения определяется в основном характеристикаами источника питания, а длительная стабильность и угловой дрейф — параметрами резонатора.

Выбор лазеров, удовлетворяющих требованиям голографического эксперимента, весьма ограничен. Наиболее распространение в практических исследованиях получили гелий-неоновый лазер ЛГ-38, излучающий волну длиной $\lambda = 632,8$ нм. Мощность излучения составляет 50 мВт, длина когерентности 0,2 м. С помощью такого лазера можно исследовать небольшие по размерам объекты с хорошо отражающимися поверхностями.

Существенно большие возможности заложены в использовании ионных газовых лазеров. Однако серийный аргоновый лазер ЛГ-404А, генерирующий излучение мощностью в сумме линий 1 Вт, имеет длину когерентности при излучении одной линии всего 0,04–0,06 м.

В НЭТИ разработан ионный газовый лазер, обладающий высокой мощностью излучения, стабильностью, широким выбором длии волн во всем оптическом диапазоне, хорошей временной и пространственной когерентностью.

Типичные параметры ионных лазеров с выходной мощностью 1–10 Вт: давление 10–100 Па, плотность разрядного тока 10^3 – 10^5 А/см² при общей мощности дугового разряда до 25 кВА, напряженность магнитного поля до 1000 Э. При этом для генерации одной поперечной моды разрядный канал должен иметь диаметр 1,5–4 мм и длину 300–1000 мм.

Попытка обеспечить перечисленные параметры привела к созданию броневой прокачной металлокерамической конструкции активного элемента. Такой элемент имеет ряд преимуществ перед отпаянной конструкцией. Исчезают проблемы устранения перепадов давлений в различных

частях разрядного канала, которые приводят к нарушению оптимальных условий для генерации и способствуют развитию неустойчивости плазмы разряда. Кроме того, в прокачном лазере в отличие от отпаянного нет падения давления газа вследствие его жесткости, поэтому не надо вводить специальную подпитывающую пресцизионную систему.

В разрядном канале с прокачкой можно подбирать оптимальное давление рабочего газа, менять газовый состав без выключения лазера и работать на смеси газов. Прокачной лазер имеет разборную конструкцию активного элемента, что делает возможным оперативно заменять вышедшие из строя отдельные узлы.

Основные технические и эксплуатационные характеристики активного элемента ионного лазера определяются разрядным каналом и катодом. Наилучшим материалом для разрядного канала является бериллиевая керамика, которая обладает необходимыми термомеханическими свойствами и имеет высокую стойкость к ионной бомбардировке. Керамическая трубка через центрирующий анодный фланец с одной стороны и сильфон с другой стороны соединена с узлами анода и катода. Соединение осуществляется методом активной пайки титана и бериллиевой керамики. Этот сплав выдерживает температуру до 500–600°C и хорошо переносит переходные режимы, так как коэффициенты теплового расширения обоих материалов совпадают. Крепление трубки с помощью мембранны на анодном фланце и сильфона со стороны катода позволяет устранить механические напряжения, которые могут возникнуть при сборке и работе активного элемента и приводить к разрушению такого хрупкого материала, как бериллиевая керамика.

В активном элементе использован полый самоподогревной катод на основе тексасиборда лантана, который обеспечивает большой ток эмиссии в непрерывном режиме, обладает высокой стойкостью к ионной бомбардировке, не теряет свойств при разакуумировании, имеет большую механическую прочность и достаточно длительный срок службы (до 500 ч).

Анод представляет собой массивную медную трубку. На торцах активного элемента расположены окна Брюстера, заменить которые в случае необходимости можно, не вынимая активный элемент из резонатора.

Работу прокачного активного элемента обеспечивают системы охлаждения, подачи и дозировки рабочего газа, электропитания и вакуумная. Все они расположены в одном блоке.

Система охлаждения выполнена по двухконтурной схеме. Во внутреннем контуре, охлаждающем активный элемент, циркулирует с помощью центробежного насоса дистиллированная вода, которая, в свою очередь, охлаждается в теплообменнике проточной водопроводной водой.

Создание вакуума в разрядном канале осуществляется малогабаритным форвакуумным насосом, а система подачи и позиционки газов состоит из двух малопотражных металлических баллонов высокого давления, редукторов с манометрами и двух пресцизионных игольчатых натекателей. С помощью натекателей подбирается оптимальное давление для генерации различных длии волн, меняется газовый состав без выключения лазера и обеспечивается работа на смеси газов. В частности, для устойчивой работы лазера на криптоне с высокой выходной мощностью (2,5 Вт в линии 647,1 нм), в разрядный канал через натекатели подаются криптон и ионы и

подбирается оптимальное соотношение давлений. Использование в качестве рабочих газов аргона и криптона позволило получать генерацию белого света.

В системе электропитания ионного лазера главную роль играет источник питания дугового разряда. Чтобы нестабильность выходной мощности не превышала 5 %, нестабильность тока разряда не должна быть более 2 %. При этом для реализации всех возможных режимов генерации прокачиваемого лазера требуется плавная регулировка тока от 20 до 60 А, что соответствует изменению напряжения горения от 250 до 420 В.

С учетом перечисленных требований для стабилизации тока разряда ионного лазера были использованы тиристорные преобразователи напряжения [49]. В отличие от компенсированного стабилизатора с последовательным регулирующим транзистором, рассеиваемая мощность на котором достигает нескольких киловатт, а число транзисторов поэтому превышает сто, в стабилизаторе на тиристорах регулирующий элемент работает в ключевом режиме, что существенно снижает рассеиваемую на нем мощность. Другим преимуществом таких регуляторов является возможность изменения выходного напряжения в широких пределах без значительных потерь мощности. Возникающие на выходе преобразователя пульсации напряжения устраняются применением LC-фильтра. В качестве регулятора напряжения служит симметричный трехфазный мостовой преобразователь. Его выбор связан с тем, что он дает наибольшую среди схем с естественной коммутацией частоту основной гармоники пульсаций напряжения на выходе, это позволяет снизить габаритные размеры и массу фильтра.

Плавная регулировка тока обеспечивается в диапазоне от 20 А до 50 А. Среднее квадратическое отклонение тока при 20 А составляет 2 %, а при увеличении среднего тока абсолютная величина пульсаций снижается вследствие уменьшения угла регулировки. Наибольшие пульсации тока наблюдаются на частотах 50, 100 и 300 Гц. Системы показали устойчивую работу в широком диапазоне нагрузок. При изменении давления в разрядном канале лазера от 10 до 100 Па (изменение напряжения на нагрузке от 270 до 390 В), изменение тока разряда не превышает 1 %, а нестабильность тока за несколько часов работы составляет менее 1 %. Следует отметить, что использование такой схемы позволило на 30 % увеличить КПД ионного лазера по сравнению со схемами, использующими балластные сопротивления.

Активный элемент прокачиваемого ионного лазера помещен в резонатор, параметры которого, как было отмечено в начале параграфа, определяют долговременную стабильность мощности и направления излучения.

Для обеспечения необходимой механической и температурной стабильности несущая конструкция резонатора выполнена в виде цельного толстостенного Г-образного дикарбоминиевого профиля. В профиле имеются три отверстия для установки гермостабильных стержней, на торцы которых опираются юстируемые платформы с лазерными зеркалами. Угловое положение платформы с зеркалами задается микропинами. Стержни выполнены из нескольких последовательно расположенных кварцевых трубок, между которыми помещены термокомпенсирующие вставки. Суммарный коэффициент линейного расширения по всей длине не превышает 10^{-6} на 1°C .

Генерация отдельных линий обеспечивается внутрирезонаторным при-

менным селектором, который устанавливается на одну из юстируемых платформ. Перестройка линий осуществляется простым поворотом лимба микропинта.

Лазер работает в режиме генерации одной центральной поперечной моды TEM_{00q} . Для селекции продольных мод используется термостабилизированный этalon Фабри-Перо. Этalon закрепляется на юстируемой платформе, расположенной внутри резонатора. Он представляет собой кварцевую пластинку толщиной 20 мм с нанесенными по обеим сторонам покрытиями, коэффициент отражения которых составляет 10 – 20 %. Этalon помещен в термостат, поддерживающий температуру с точностью $0,01^{\circ}\text{C}$. Такая нестабильность температуры вызывает уход частоты излучения не более 300 МГц/ч. Коэффициент преобразования многомодовой мощности в одномодовую составляет 50 %. При использовании эталона длина когерентности составляла не менее 2 м.

В табл. 5 приведены основные длины волн, генерируемые лазером, и соответствующие им мощности излучения. Наиболее мощными линиями являются в криптоне 647,1 нм – 2,5 Вт, а в аргоне 488,0 нм – 4,9 Вт и 514,5 нм – 5,1 Вт. Максимальная суммарная мощность излучения в аргоне составляет 15 Вт.

Расходимость луча при длине волны 514,5 нм составляет 0,5 – 0,6 мрад. Изменение направленности излучения после 2 ч работы не более $1,5 \cdot 10^{-1}$ мрад. Нестабильность выходной мощности за 30 мин работы не превышает $\pm 1,5\%$, за 5 ч – $\pm 2,5\%$. Средние квадратические пульсации на длине волны 488 нм при выходной мощности 2 Вт не более $\pm 2\%$.

Срок службы ионного лазера определяется в основном длительностью работы катода и составляет около 500 ч. Замена вышедшего из строя катода осуществляется за 20 – 30 мин.

Максимальная потребляемая мощность – 25 кВА.

Резонатор с активным элементом имеет габаритные размеры 2500×2000×1500 mm^3 и массу 50 кг, а блок интегрированного излучения – соответственно 900×700×450 mm^3 и 90 кг.

Таким образом, рассмотренный прокачиваемый ионный газовый лазер, имея большую мощность излучения, широкий набор перестриваемых во всем оптическом диапазоне длии волн, хорошую временную и пространственную когерентность, высокую стабильность и надежность, длительный срок службы, полностью удовлетворяет тем требованиям, которые предъявляются к источнику излучения в голограмическом эксперименте.

Таблица 5

| Длина волны, нм | Мощность, Вт | | Длина волны, нм | Мощность, Вт | |
|-----------------|--------------|-------|-----------------|--------------|-------|
| | Криптон | Аргон | | Криптон | Аргон |
| 647,1 | 2,5 | – | 488,0 | – | 4,9 |
| 568,2 | 0,3 | – | 482,5 | 0,1 | – |
| 530,9 | 0,3 | – | 476,5 | – | 1,3 |
| 528,7 | – | 0,1 | 476,2 | 0,15 | – |
| 520,8 | 0,2 | – | 472,7 | – | 0,4 |
| 514,5 | – | 5,1 | 465,8 | – | 0,2 |
| 501,7 | – | 0,6 | 457,9 | – | 0,3 |
| 496,5 | – | 1,0 | 454,5 | – | 0,15 |

2. ГОЛОГРАФИЧЕСКИЕ УСТАНОВКИ

Голографическая установка представляет собой массивную виброзолированную плиту и набор оптических элементов, механических устройств и приспособлений, позволяющих реализовать практически все методы голографической интерферометрии.

Наибольший вклад в разработку универсальных голографических установок в нашей стране внес ВНИИ оптико-физических измерений. Здесь разработана серия установок типа УИГ, которые выпускаются промышленностью [22, 57].

Хорошим комплектом и широкими возможностями характеризуется установка СИН. В ее кроме гелий-неонового лазера входит зрительная труба, микроскоп, микрообъективы, диафрагмы, линзы, светоделительные пластины, зеркала, светофильтры, зеркальный фотоаппарат, различные держатели, оправы, столики, элементы крепления.

Аналогичные универсальные голографические установки выпускаются за рубежом, например, LT – 1000Н, R430МоГШ и им подобные [45, 58].

Опыт эксплуатации существующих голографических установок в составе измерительных систем показал необходимость совершенствовать известные элементы и конструировать новые, расширяющие возможности и упрощающие проведение голографических экспериментов. Ниже описан комплекс оборудования универсальной голографической установки, использованный нами в экспериментальных исследованиях.

При создании комплекта оборудования разработчики стремились к обеспечению возможности простой перестройки и коммюнике друг с другом отдельных механических элементов; максимальной унификации деталей и стандартизации посадочных мест, отверстий, резьбовых соединений; наличия достаточного числа юстировок, для удобства и простоты настройки оптических схем; механической жесткости и виброзащиты; технологичности изготовления деталей и узлов.

Основа установки выполнена в виде горизонтальной виброзолированной массивной плиты с размерами рабочей поверхности $2000 \times 1200 \text{ mm}^2$ (рис. 49). Плита установлена на четырех пневмоопорах. Собственная частота колебаний составляет 3 – 5 Гц.

Возможность перемещения и регулировки высоты позволяет при необходимости жестко скреплять несколько плит вместе, увеличивая тем самым рабочую поверхность стола до нужных размеров. На поверхности плиты сделана система параллельных Т-образных пазов и резьбовых отверстий, позволяющих устанавливать подставки для оптических элементов или другие приспособления в любой точке рабочей поверхности.

Рассмотрим основные приспособления и элементы, используемые для построения голографических интерферометров.

Малая юстируемая платформа, предназначенная для закрепления оптических элементов, в основном зеркал размерами до $80 \times 80 \text{ mm}^2$, позволяет выполнять поворот вокруг вертикальной оси, осуществлять регулировку по высоте. Кроме этого, имеет точную юстировку по вертикальному и горизонтальному углам в пределах $\pm 5^\circ$ с помощью микровинтов.

Универсальный юстируемый держатель с набором сменных платформ,

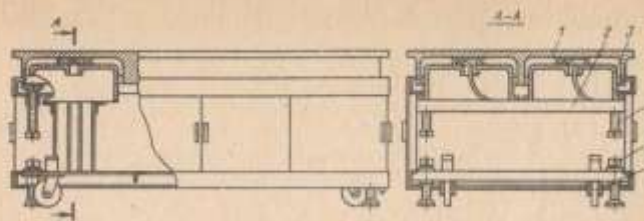


Рис. 49. Конструкция голографического стола:

1 – плита; 2 – рамы; 3 – пневмоопоры; 4 – домкраты для подъема и фиксации плиты; 5 – домкраты для установки высоты рабочей поверхности и обеспечения ее горизонтальности; 6 – колеса для перемещения установки

предназначенный для установки зеркал размерами до $140 \times 140 \text{ mm}^2$, объективов, оптических систем, приам и т.д., позволяет осуществлять поворот вокруг вертикальной оси, регулировку по высоте, горизонтальные смещения и точную юстировку вертикального и горизонтального углов микровинтами.

Узел микрообъектива с точечной диафрагмой, предназначенный для пространственной фильтрации и расширения лазерного пучка, укомплектован набором сменных диафрагм диаметрами 8 – 50 мкм.

Кювета для обработки голограмм на месте экспонирования с набором сменных кассет предназначена для получения голографических интерферограмм в реальном времени. Для устранения оптических потерь и переотражений окна кюветы сделаны из пластины с многослойным просветляющим покрытием. Кассеты с фотопластинками могут размещаться не только внутри кюветы, но и снаружи, что очень удобно при исследовании форм колебания объектов.

Устройство для записи матриц голограмм предназначено для записи на одну фотопластинку (максимальные размеры $80 \times 105 \text{ mm}^2$) серии голограмм разным 10×10 или $20 \times 20 \text{ mm}^2$. Размер голограмм задается специальной рамкой. Запись матрицы голограмм обеспечивается перемещением фотопластинки относительно неподвижной рамки с помощью двухкоординатного механизма с фиксацией по каждой координате через 10 мм. Устройство позволяет записывать до 40 голографических интерферограмм на пластинку размером $60 \times 90 \text{ mm}^2$. Светопроницаемая кассета и закрывающаяся шторка из рамки предохраняют фотопластинку от засвечивания при выключенном освещении.

Так как запись и обработка голограмм проводится в идентичных условиях, достигается высокая повторяемость результатов. Кроме того, существенно снижается трудоемкость голографического эксперимента. Устройство целесообразно использовать в тех случаях, когда анализируются действительные изображения, восстановленные с голограмм.

Устройство регулировки направления и уровня лазерного луча позволяет поднимать уровень луча на высоту до 450 мм по отношению к плоскости стола и поворачивать его в горизонтальной плоскости на угол $\pm 150^\circ$. По углу имеется точная юстировка.

Универсальный кронштейн имеет три независимых, жестко фиксируемых соединения, что позволяет быстро и надежно установить закрепленный элемент в нужное положение.

Устройство компенсации положения опорной световой волны предназначено для использования в двухдополноволновых голографических интерферометрах. Изменение углового положения опорного пучка задается пресцизным микрометрическим винтом, а значение угла определяется с помощью индикаторной головки большой точности. Устройство обеспечивает изменение углового положения пучка от 0 до 5° с точностью $2'$.

Столики крепежные входят в комплект установки ОСК-2. Для обеспечения требуемой жесткости были изменены некоторые детали крепления. Одни столик обеспечивает горизонтальное перемещение по 60 мм с точностью 0,01 мм и установку по высоте и углу, другие столики с крестообразным ходом позволяют перемещать рабочую поверхность по двум координатам в горизонтальной плоскости с точностью 0,01 мм и 0,1 мм. Столик поворотный дает возможность поворачивать платформу на $\pm 20^\circ$ с точностью $1'$.

Универсальный трехкулачковый зажим, предназначенный для крепления линз диаметром до 80 мм, позволяет перемещать линзу вдоль оптической оси и в поперечном направлении.

Важную роль в голографическом эксперименте играют устройства измерения и контроля: микроскопы, дающие возможность контролировать интерференционную картину в плоскости голограммы; люксметры, необходимые для правильного выбора соотношений опорного и объективного пучков; экспонометры, предназначенные для определения оптимальных экспозиций.

Существенно упрощает получение голограмм, обеспечивает повторяемость результатов и линейность записи *универсальное автоматическое устройство экспонирования голограмм* [54]. При его разработке учитывались следующие факторы: чувствительности используемых в голографии регистрирующих сред различаются на несколько порядков; освещенность в плоскости голограммы в зависимости от используемого оборудования, свойств объекта и схемы голографирования изменяется от 10^{-2} до 10^6 лк, что соответствует диапазону выдержек от 10^{-2} с до десятков минут; при длительных экспозициях освещенность в плоскости голограммы может значительно изменяться.

Прибор способен работать в трех режимах: люксметра, реле времени и интегратора светового потока. В режиме "люксметр" он представляет собой измерителя интенсивности светового потока и является по существу цифровым вольтметром, измеряющим ЭДС калиброванного фотопреобразователя. Диапазон измерения освещенности $10^{-1} - 10$ лк (без ослабляющих фильтров). В режиме "реле времени" прибор управляет работой электромагнитного затвора. Время экспозиции определяет экспериментатор и устанавливает требуемую экспозицию на приборе. Диапазон экспозиций от 10^{-2} до 10^4 с. В режиме "интегратор светового потока" прибор также управляет электромагнитным затвором и позволяет автоматизировать процесс экспонирования в условиях изменяющейся освещенности. С началом экспонирования открывается электромагнитный затвор и текущее значение

освещенности линейно преобразуется в число импульсов, поступающих в накапливающий счетчик. При совпадении показаний счетчика с набранным значением экспозиции электромагнитный затвор автоматически перекрывает световой поток. Таким образом, изменения освещенности объекта приводят к автоматической корректировке продолжительности времени экспонирования.

В заключение отметим, что в этом параграфе рассмотрены в основном механические устройства, входящие в комплект универсальной голографической установки, оптические же элементы — зеркала, линзы, объективы, светофильтры и т.д., которые использованы в установке, серийно выпускаются промышленностью.

3. УСТРОЙСТВА ВВОДА ГОЛОГРАФИЧЕСКИХ ИНТЕРФЕРОГРАММ В ЭВМ

Для обработки и расшифровки голографических интерферограмм необходимо автоматически вводить в ЭВМ значения распределения яркости интерференционной картины. В связи с этим устройства ввода играют важную роль в голографических и мерительных системах.

Природа позаботилась о создании весьма совершенных устройств восприятия и обработки оптической информации. Зрение человека характеризуется пределом различимости контраста, равным 0,5 %, пределом углового разрешения 1 — 2', временем экспозиции или накопления 0,1 — 0,2 с. Диапазон освещенности, в котором работает глаз, составляет 10^{11} [65]. Такие возможности глаза в совокупности с не менее уникальными способностями мозга обрабатывать информацию делают участие человека при расшифровке голограмм вполне оправданным и достаточным во многих практических случаях. Поэтому без настоятельной необходимости нецелесообразно полностью автоматизировать голографический измерительный эксперимент.

Необходимость автоматизации возникает тогда, когда недостаточными оказываются точность и быстродействие человека. Так, при исследовании вибрационных характеристик требуется быстродействие 10^6 измерений в секунду и выше, а точность определения координат точек изображения часто требуется порядка единиц микрометров.

"Электронное зрение" развивается давно в связи с созданием телевизионных систем, фототелеграфа, аппаратуры для обработки аэрокосмической информации. Однако голографический измерительный эксперимент имеет ряд специфических особенностей, которые необходимо учитывать при создании устройства ввода оптических изображений в ЭВМ. Диапазон яркостей голографического изображения составляет примерно 10^4 . Поэтому использование промежуточной фотoreгистрации приводит, как правило, к нелинейным искажениям. При обработке голографических изображений необходимо обеспечить высокое пространственное разрешение — до 10^2 линий/мм. Яркость голографических изображений вследствие невысокой дифракционной эффективности голограмм и недостаточной мощности излучения лазера может быть весьма малой, что предъявляет повышенные требования к чувствительности устройств ввода. Чувствительность должна быть стабильной во времени и не меняться по площади foto-

приемного элемента. Создание устройства ввода, отвечающего всем требованиям голографического эксперимента, является важной задачей.

Любое устройство ввода изображений в ЭВМ может быть представлено в виде следующих друг за другом преобразователей — оптического, осуществляющего перенос, увеличение или формирование изображения; сканатора, обеспечивающего пространственную развертку; фотодиэлектрического преобразователя, с выходами которого электрический сигнал поступает на аналог-цифровой преобразователь и далее через блок связи в ЭВМ.

В зависимости от конкретной реализации преобразователей устройства ввода могут существенно различаться как параметрами, так и областями применения. Однако возможно выделение характерных признаков, совокупность которых определяет принадлежность устройства к тому или иному классу. Прежде всего их делают по виду вводимых изображений — зарегистрированных на фотоснимателе или реальных изображений, например, непосредственно воссозданных с голограмм. Второй вид устройства более универсален, потому что изображение на фотоснимателе всегда может быть преобразовано в реальное.

Другой отличительной особенностью устройств ввода является тип сканатора — электромеханический или электронный. В устройствах с электромеханической разверткой изображений перемещение считывающей апертуры относительно изображения выполняют либо шаговые электродвигатели, либо аналоговые со следящим приводом. Электронная развертка изображений может осуществляться световым пятном, генерируемым на экране электронно-лучевой трубы и передаваемым на фотосниматель проекционным объективом. Возможна также развертка с использованием луча лазера, проходящего через дефлектор. В случае работы с реальными изображениями электронное сканирование осуществляется с помощью телевизионных передающих трубок, преобразующих распределение освещенности $I(x, y)$ на входном окне трубы в последовательность электрических сигналов $i(t)$.

Тип сканатора выбирают, исходя из конкретных условий работы и вида решаемых задач. Следует отметить, что электронная развертка имеет такие преимущества перед механической, как быстродействие, произвольное сканирование, осуществляемое ЭВМ, и возможность электронного управления размером считывающей апертуры. Вместе с тем она уступает электромеханической по числу элементов разложения изображения, возможностям применения считывающей апертуры производной формы, а также в простоте визуального контроля за положением сканирующего элемента. Существенным преимуществом электромеханических устройств является почти полное отсутствие геометрического искажения растра и неравномерности чувствительности по полю.

Важное отличие устройств ввода друг от друга, во многом определяющее их характеристики, заключено в принципе фотодиэлектрического преобразования, положенного в основу устройства.

Для осуществления фотодиэлектрического преобразования в устройствах ввода применяют различные электронные приборы: фотодиоды, фотодиэлектрические умножители (ФЭУ), вакуумные передающие телевизионные трубы, их твердотельные аналоги — матрицы приборов с зарядовой связью и т.п. Тот или иной прибор выбирают, исходя из конкретных

требований, предъявляемых к устройству ввода. Если ввод изображений происходит с фотоматериалов и при этом используется принцип сканирования бегущим лучом, чаще других применяют ФЭУ, так как они имеют малый уровень шума, высокую линейность преобразования и высокую чувствительность. Номенклатура разработанных и выпускаемых промышленностью ФЭУ достаточно широка, чтобы можно было выбрать прибор с необходимыми параметрами [40, 79].

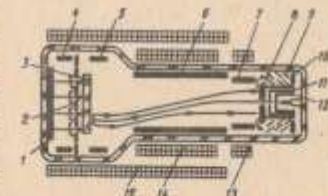
Существует широкий класс фотодиэлектрических преобразователей, которые одновременно с преобразованием осуществляют сканирование изображения. Это телевизионные передающие трубы. Наибольшее распространение в настоящее время получили трубы с накоплением заряда — суперортоники, вициконы, а также трубы мгновенного действия — диссекторы.

Суперортоник — передающая трубка с внешним фотоэффектом и накоплением заряда [24]. Он состоит из оптико-электронного преобразователя, секции переноса, мишени, секции коммутации, электронного прожектора и вторично-электронного усилителя (рис. 50).

Принцип работы суперортоника следующий. Изображение, спроектированное объективом на полупрозрачный фотокатод 1, преобразуется в электронный поток. Фотоэлектроны, ускоренные полем электрода 4, пролетают сквозь мелкоструктурную сетку 2 и бомбардируют стеклянную изолированную мишень 3, выбивая из нее вторичные электроны, собираемые сеткой 2. Вследствие потери выбитых электронов, элементы поверхности мишени приобретают некоторый положительный заряд, пропорциональный потерянным электронам, а следовательно, распределению освещенности фотокатода. Этот заряд создает на емкости сетки — мишени распределенный по мишени потенциальный рельеф. Благодаря малой толщине мишени (около 3—5 мкм) распределение зарядов и потенциала на противоположной стороне мишени будет таким же. Сканирующий поток электронов, эмиттируемый катодом 12, ускоренный и сфокусированный анодом 8, который имеет двупротиволежащее отверстие ~50 мкм, с помощью фокусирующего электрода 6 и магнитной фокусирующей системы 15, при подходе к мишени попадает в поле действия тормозящего электрода 5. Образовавшийся поток медленных электронов взаимодействует с зарядом, накопленным на мишени 3. При этом часть потока электронов расходуется на нейтрализацию положительного заряда мишени, а часть отражается от нее. Если первичный поток электронов постоянен во времени, то отраженный поток будет негативным отображением рельефа мишени, который пропорционален освещенности катода. Таким образом, отраженный поток оказывается

Рис. 50. Суперортоник:

- 1 — полупрозрачный фотокатод;
- 2 — сетка;
- 3 — мишень;
- 4 — ускоряющий электрод;
- 5 — тормозящий электрод;
- 6 — фокусирующий электрод;
- 7 — щиток для умножителя;
- 8 — анод;
- 9 — люстра;
- 10 — коллектор;
- 11 — модулятор;
- 12 — термо-катод;
- 13 — корректирующие катушки;
- 14 — поглощающая система;
- 15 — фокусирующая система.



промодулированным световым потоком, падающим на фотокатод суперортонкона. Отражаясь от мишени, электроны попадают в поле действия тормозящего электрода, которое для них является ускоряющим, и бомбардируют диск анода δ , выбивая из него вторичные электроны. Эти электроны увлекаются ускоряющим полем динодов ϑ вторично-электронного умножителя и собираются коллектором 10 , с которого снимается выходной сигнал. Развертка первичного сканирующего потока электронов по поверхности мишени приводит к тому, что отраженный поток изменяется во времени по закону, соответствующему распределению яркости по поверхности фотокатода, пронтегрированному за время накопления, равное периоду сканирования кадра.

Суперортонконы являются наиболее совершенной из современных передающих трубок по таким важнейшим параметрам, как чувствительность и разрешающая способность. Разработанные в настоящее время суперортонконы работают начиная с освещенности $5 \cdot 10^{-8}$ лк и имеют разрешающую способность 500–1000 строк. Однако достижение столь высоких показателей требует существенного усложнения конструкций устройств ввода и создает определенные трудности при эксплуатации.

Существенного упрощения устройства и снижения эксплуатационных требований можно достичь использованием другой передающей трубы с накоплением – видикона [15]. В отличие от суперортонкона в видиконе используется внутренний фотоэффект. На внутренней поверхности входного окна прибора (рис. 51) расположена мишень, представляющая собой прозрачную проводящую подложку – сигнальную пластину 1 с напесенным на нее слоем фотопроводника 2 . Вблизи мишени расположена мелкоструктурная сетка 3 . Электронный прожектор видикона содержит термокатод 7 , модулятор 6 и ускоряющий анод 5 с выходной диафрагмой. Для фокусировки луча в прибор введен второй анод 4 и на колбе размещена фокусирующая система 9 . Отклонение луча выполняет магнитная отклоняющая система 8 . Коррекцию луча электронного прожектора осуществляет система 8 .

В процессе работы электронный луч сканируя поверхность мишени, заряжает накопительные емкости, образованные сигнальной пластиной и правой стороной мишени. Точечный заряд с поверхности мишени будет стекать на сигнальную пластину с рассеянием по фотопроводящему слою, приблизительно равному его толщине, т.е. единицы микрометров. Поэтому мишень видикона можно представить в виде набора большого числа независимых конденсаторов. При сканировании поверхности мишени сфокусированным электронным лучом происходит заряд этих конденсаторов по мере движения луча по мишени до некоторого потенциала, зависящего от коэффициента вторичной эмиссии фотопроводящего слоя. Если теперь спроектировать изображение на мишень, скорость разряда этих конденсаторов будет зависеть от локальной освещенности мишени.

При последующем сканировании поверхности лучом происходит новый дозаряд этих конденсаторов, причем ток заряда пропорциональен степени разряда элемента мишени, т.е. интегральному действию света за время между двумя коммутациями данного элементарного участка. Характерной особенностью видиконов, которую необходимо учитывать при анализе их работы, является инерционность. Она может быть различной для разных

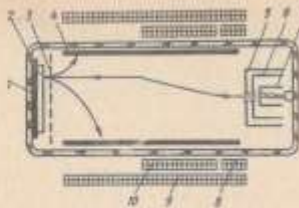


Рис. 51. Видикон:

1 – сигнальная пластина; 2 – фотопроводящий слой; 3 – сетка; 4 – второй анод; 5 – ускоряющий анод; 6 – модулятор; 7 – термокатод; 8 – корректирующая система; 9 – фокусирующая система; 10 – отклоняющая система.

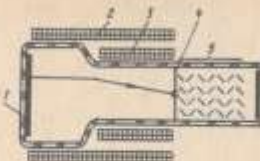


Рис. 52. Диссектор:

1 – фотокатод; 2 – фокусирующая система; 3 – отклоняющая система; 4 – ускоряющий электрод; 5 – электронный умножитель; 6 – коллектор

типов. Наименьшей инерционностью обладают кремниконы и пломбиконы [15].

Отношение сигнал/шум для видиконов можно считать в первом приближении пропорциональным квадратному корню из тока луча. Поскольку емкость мишени видикона на два порядка больше, чем в суперортонкона, то и ток луча может быть больше на два порядка. Следовательно, получается десятикратный выигрыш в отношении сигнал/шум. Однако видеосигнал, генерируемый видиконом при рабочих освещенностях, очень мал ($\sim 10^{-13}$ А), поэтому отношение сигнал/шум определяется в основном шумами усилителя и растет пропорционально току сигнала. В связи с этим видикон привычнее характеризовать величиной видеосигнала, а не отношением сигнал/шум, как в суперортонконах.

Высокую линейность световой характеристики в широком диапазоне освещенностей и почти полную безынерционность преобразования свет–ток имеют телевизионные трубы мгновенного действия – диссекторы (рис. 52). Диссектор состоит из фотокатода, ускоряющего электрода с диафрагмированым отверстием и вторичного электронного умножителя. Сфокусированное на фотокатоде 1 оптическое изображение за счет внешнего фотографического преобразуется в электронное, фокусируемое магнитной системой 2 и ускоряющим полем электрода 4 , в центре которого имеется отверстие. В зависимости от тока в отклоняющей системе 3 в это отверстие попадают фотозелотроны с того или иного участка фотокатода, т.е. происходит сканирование изображения. Прощедшие в отверстие электроны после усиления умножителем 5 собираются коллектором 6 , с которого снимается видеосигнал. Такой принцип работы позволяет осуществлять произвольный порядок сканирования реальных изображений, восстановленных с голограмм, максимально использовать преимущества непосредственной связи устройства сканирования с ЭВМ.

Дополнительное удобство при использовании диссектора в устройствах ввода обусловлено отсутствием зависимости видеосигнала от общей освещенности катода, в отличие от ранее рассмотренных трубок, а также

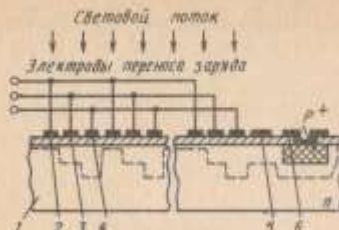


Рис. 53. Трехэлектродный фотодиодный преобразователь на ПЗС:
1 — кремниевая подложка; 2—4 — металлические электроды переноса заряда; 5 — затвор; 6 — выходной электрод.

передачей им абсолютного уровня черного, когда полностью затемненным элементам изображения соответствует нулевой видеосигнал. Однако по отношению сигнал/шум и порогу чувствительности он существенно уступает ранее рассмотренным трубкам, поскольку в нем отсутствует процесс накопления сигнала.

Вместе с продолжающимся совершенствованием рассмотренных вакуумных телевизионных трубок ведется поиск их твердотельных аналогов [31]. Существенный прогресс в этом направлении был достигнут с появлением приборов с зарядовой связью (ПЗС) [66]. ПЗС представляет собой регулярную систему простых МДП-структур (металл — диэлектрик — полупроводник), выполненных на общей кремниевой подложке. Промежутки между соседними МДП-структурами делаются достаточно малыми, что создает условия для зарядовой связи между ними. Наибольшее распространение получили трехэлектродные ПЗС, когда каждая ячейка формирователя состоит из трех МДП-структур (рис. 53).

Рассмотрим образование видеосигнала в ПЗС. При приложении к металлическому электроду 2 отрицательного напряжения под электродом у поверхности полупроводника образуется обедненная область, которая для неосновных носителей-дырок представляет собой потенциальную яму. Образующиеся в подложке 1 полупроводники под действием света неосновные носители локализуются в узком поверхностном слое под электродом, создавая потенциальную яму для них. Если под соседним электродом 3 создать более глубокую потенциальную яму, то положительный заряд переместится под этот электрод, а в следующем такте — под электрод 4. Далее заряд переходит в соседнюю ячейку и таким образом движется к затвору 5 и выходному электроду 6. Амплитуда выходных импульсов пропорциональна проинтегрированной за время накопления локальной освещенности ячеек матрицы, и огибающая этих импульсов представляет собой видеосигнал.

Из возможных способов организации матричных формирователей изображений наибольший интерес представляют строчно-кадровый и адресный [56]. В случае строчно-кадровой организации, при которой оптическая секция и секция хранения совмещены, столбы фотоприемной матрицы и матрицы хранения (зашитченные от света) чередуются друг с другом. Поэтому накопленный фотозаряд всего за один такт переноса сбрасывается в секцию хранения. Далее осуществляется построчный считывание информации в выходной регистр и последственный вывод видеосигнала. Существенный недостаток этих устройств заключается в том, что при выходе из строя всего лишь одной элементарной ячейки будет испорчена вся строка или даже кадр. Устра-

нить этот недостаток можно с помощью адресной организации матрицы приборов с зарядовой связью. Такие приборы содержат в каждом узле матрицы пару зарядово-связанных светочувствительных МОП-конденсаторов. Один конденсатор присоединен к горизонтальной шине, другой — к вертикальной. В режиме накопления на шине подается отрицательное напряжение. После накопления зарядов, пропорциональных локальной освещенности, считывание видеосигнала происходит в точках пересечения тех горизонтальных и вертикальных шин, в которых снимается напряжение. Преимуществом такой матрицы является возможность произвольного поиска сканирования.

Шумовые характеристики формирователей видеосигнала на ПЗС определяются наводками тактового питания, темновым током термогенерации и шумами, возникающими при передаче и детектировании неосновных носителей вследствие флукутаций заряда, захватываемого поверхностными и объемными ловушками. Минимальная освещенность, определяемая шумами, составляет $10^{-2} - 10^{-3}$ лк [60]. Основные трудности использования ПЗС возникают вследствие большого темнового тока и геометрического шума, обусловленного разным числом переносов зарядов с различных участков поверхности кристалла [26].

Большое число разных типов фотодиодических преобразователей позволяет выбирать наиболее подходящий в зависимости от требований эксперимента. В голограммических исследованиях динамических процессов наилучшими возможностями обладают ФЭУ (при наблюдении в точке) и дисекторы. Если необходимо реализовать максимальную чувствительность, следует использовать суперортоны. Несколько меньшую чувствительность имеют виброники, но зато они более надежны и удобны в эксплуатации. Вероятно, перспективными являются фотопреобразователи на ПЗС, в которых отсутствуют геометрические искажения раstra, нет высоковольтного питания и у которых существенно меньше масса, габаритные размеры и потребляемая мощность.

Таким образом, в зависимости от решаемой задачи разрабатываются различные устройства ввода изображений в ЭВМ [23, 72]. Рассмотрим наиболее характерные из них.

В Институте автоматики и электрометрии СО АН СССР разработана система "Ромб" промышленного ввода-вывода изображений для ЭВМ [61]. Система содержит два барабана. На одном укрепляется фотоаппарат с изображением, подлежащим вводу, а другой предназначен для вывода изображений. Вращение барабанов осуществляется синхронным двигателем со скоростью $1 - 4 \text{ с}^{-1}$. Максимальный размер изображений $13 \times 13 \text{ см}^2$. Шаг квантования по координате устанавливается 25, 50 или 100 мкм в зависимости от скорости вращения барабана. Перемещение считающей головки осуществляется шаговым двигателем с микроприводом. Погрешность позиционирования по координатам x и y составляет $\pm 2 \text{ мкм}$. Оптические системы каналов считывания и записи обеспечивают получение апертуры квадратной формы $25 \times 25, 50 \times 50, 100 \times 100 \text{ мкм}^2$.

Канал считывания имеет два диапазона измерения: 0 — 3 и 0 — 2 единицы оптической плотности. Сигнал с выхода ФЭУ поступает на логарифмирующий усилитель, преобразуя восьмимеридианными аналогово-цифровыми

преобразователями (АЦП) и по командам блока управления передается в ЭВМ. Перед сканированием каждой строки проводится калибровка аналого-вального тракта. Приведенная погрешность измерения оптической плотности по результатам экспериментов составляет $\pm 0,5\%$.

Для более точного фотометрирования изображения, зарегистрированного на фотоносителе, применяют устройства плоскостного сканирования. В таких устройствах оптические системы обычно расположены неподвижно, а каретка с закрепленным носителем изображения перемещается относительно этих систем в двух ортогональных направлениях. Благодаря отсутствию люфтов барабана и плоскому носителю изображения они могут обеспечить разрешение по координате $\sim 1 \text{ мкм}$. Примером такого ввода является автоматический микроденситометр с плоскостной разверткой, работающий с ЭВМ СМ-4, предназначенный для обработки черно-белых и цветных полутоновых изображений [3]. Сканирование изображения осуществляется оптико-механической разверткой на основе дискретного следящего привода. Блок фотометрирования построен по прямоточному методу с применением двухлучевой схемы и с фотодиодами в каждом канале. Микроденситометр имеет следующие характеристики: диапазон измеряемой оптической плотности изображений черно-белых 0–4, а цветных 0–2.5.

Точность измерения плотности 1 %, быстродействие до 10^4 измерений/с, площадь сканирующей апертуры 100 мкм^2 , размер обрабатываемых снимков $250 \times 250 \text{ мм}$, точность шага сканирования $\pm 2,5 \text{ мкм}$.

Повысить быстродействие автоматов, обрабатывающих изображения, можно объединением быстрого электронного сканирования малой площади с механическим перемещением фотоносителя. Такой принцип былложен в основу фотограмметрического автомата "Зенит-2", разработанного в Институте автоматики и электрометрии СО АН СССР и предназначенного для автоматического ввода в ЭВМ оптической информации, зарегистрированной на фотопластинке [2, 55].

Сканирующая система содержит электронно-лучевую трубку высокого разрешения, установленную неподвижно над кареткой с закрепленной фотопластинкой. Световое пятно по команде из ЭВМ может быть выведено в любую из 4096×4096 точек на экране ЭЛТ. Экран ЭЛТ с помощью объектива проецируется на фотопластинку. Свет, прошедший через изображение, попадает на ФЭУ, электрический сигнал с выхода которого после преобразования поступает в ЭВМ. Каретка перемещается электроприводом в горизонтальной плоскости по ортогональным направляющим. Латчиками положения каретки служат лазерные измерители перемещений с дискретностью отсчета $0,32 \text{ мкм}$. Основные технические характеристики системы "Зенит-2": максимальный размер изображения $420 \times 420 \text{ мм}$, точность позиционирования сканируемого пятна 2 мкм , его диаметр 6 мкм , диапазон измеряемой оптической плотности 0–2, время измерения в одной точке 1 мкс, число регистрируемых уровней плотности 256, отношение сигнал/шум 50.

Другим путем повышения быстродействия работы вводных устройств является организация сканирования и ввода по нескольким параллельным каналам. Фирма "Оптроникс" (Optronics, США) пополнила семейство вводно-выводных устройств "Фотомейши" (Photomation) системой П-1800 "Фотомейши Марк-III". В этой системе с вращающимся барабаном сканиро-

Рис. 54. Структурная схема устройства ввода из дисектора



вание и ввод изображения ведется восемью считающими головками, и информация передается по восьми параллельным каналам. Такое аппаратное решение позволяет поднять быстродействие до 240×100 точек/с. Для сканирования изображения размером $430 \times 560 \text{ мм}^2$ с разрешением 50 мкм требуется всего 7 мс. Для высокоточной обработки изображений эта же фирма выпускает систему С-3400 "Фотомейши Марк-IV". Это сканирующее-вспомогательная система с плоским столом, перемещающимся из воздушной подушки. Размер вводимого изображения $250 \times 250 \text{ мм}^2$. Шаг сканирования 1–100 мкм с точностью позиционирования $\pm 1 \text{ мкм}$ на 5 см. Диапазон измеряемой плотности 0–4. Число уровней квантования плотности 256. Скорость сканирования до 5000 отсчетов/с.

Для анализа изображений без промежуточного посредника фирма "Джойс Лэбл" (Joyce Loebel, Великобритания) выпустила систему "Мэдискан" (Magiscan), в которой устройство ввода выполнено на основе передней телевизионной камеры. В камере использована трубка хелионикон, обладающая линейностью преобразования, высоким разрешением и малым уровнем шума. Разложение изображения – 512×512 элементов с квантованием выходного сигнала на 64 уровня. Линейность разверток по строкам и кадру не менее 1 %.

Для ввода в ЭВМ изображений, получаемых в голограммическом эксперименте, в НЭТИ были разработаны электронное и электромеханическое устройство ввода. В электронном устройстве ввода [25] для оптоэлектронного преобразования и сканирования изображения использован дисектор ЛИ-605 (рис. 54). Такой выбор был сделан с учетом преимущества адресного принципа считывания информации и возможности решать динамические задачи методами голограммической интерферометрии в реальном времени.

Для уменьшения гистерезиса отклоняющей системы выполнена на магнитомягком пермаллоевом кольцевом сердечнике. Экспериментально определенное значение гистерезиса при возвращении системы в ноль из левого и правого крайних состояний не превышает 0,06 %. Для уменьшения захвата фокусирующего магнитного поля сердечник отклоняющей системы набран из отдельных колец с диамагнитными прокладками между ними. Регулируемый стабилизатор тока фокусирующей магнитной линзы обеспечивает стабильность не хуже 0,1 %. Все это позволило фокусировать электронное изображение с достаточной степенью точности. Системы отклонения и фокусировки спроектированы так, что рассеивают минимальную мощность и эффективно охлаждаются для снижения темновых токов фотокатода.

Видеосигнал выполнен на полевых транзисторах, имеет линейную амплитудную характеристику и может работать в трех диапазонах осве-

щенностей фотокатода при автоматическом выборе, осуществляющем ЭВМ.

Координатные токовые цифроаналоговые преобразователи (ЦАП) предназначены для преобразования кодов координат точки считывания яркости, которые выдаются ЭВМ, в токи, пытающие отклоняющую систему. ЦАП состоит из маломощного преобразователя код — ток и усилителя мощности, охваченного отрицательной обратной связью по току. Для уменьшения дрейфа во входном каскаде усилителя применена транзисторная пара. Оконечный каскад выполнен по схеме составного эмиттерного повторителя с динамической нагрузкой.

Для контроля порядка сканирования, а также наблюдения формы выходного сигнала имеется визуализатор. Применение специального светозащитного тубуса позволяет фотографировать изображения с экрана без общего затемнения помещения, в котором проводится эксперимент.

Блок сопряжения предназначен для обеспечения работы устройства ввода с ЭВМ СМ-4. Он состоит из дешифратора адреса, схемы записи данных и схемы выработки служебных сигналов и размещается в электронной стойке устройства ввода и в блоке расширения системы ЭВМ. Это позволяет избежать удлинения общей шины ЭВМ и по координатному кабелю передавать потенциальные сигналы пониженной частоты, что повышает помехозащищенность системы и создает дополнительные удобства при эксплуатации.

Устройство имеет следующие технические данные: размер рабочей поверхности фотокатода $18 \times 18 \text{ mm}^2$, размер вырезанной апертуры 50 мкм, число адресуемых точек считывания 256×256 , время вывода апертуры в координату не более 70 мкс, приведенная погрешность координаты считывания 3 %, рабочий диапазон освещенности фотокатода 0,1 — 100 лк, число уровней квантования видеосигнала 256.

Другое устройство ввода, разработанное для одной из систем, имеет плоскостную электромеханическую развертку и ФЗУ в качестве преобразователя [33]. Это позволило получить большое число элементов разложения, что весьма важно, например, при исследовании статистических характеристик голограммических изображений. Устройство обеспечивает возможность анализа полей яркости как зарегистрированных на фотопластиниках, так и непосредственно восстановленных с голограмм. Рассмотрим схему оптико-механической части этого устройства в режиме сканирования действительных изображений, восстановленных с голограмм (рис. 55).

Опорный пучок, расширенный коллиматором, состоящим из линз 1, 2, восстанавливает с голограммы 3 действительное изображение, которое поворотными зеркалами 4 и 8 проектируется в плоскость сканирования. Для наводки на резкость и визуального контроля режима сканирования зеркало 8 при повороте на 90° проектирует изображение на матовое стекло 9. На стекле нанесено перекрестие масштабных линеек с ценой делений 0,1 мм. Центр перекрестия optически совмещен с центром входной диафрагмы 7 ФЗУ 6. Зеркало 10 и окуляр 11 позволяют контролировать сканирование. Элементы 6—11 конструктивно объединены в узел 5, установленный на двухкоординатном столе 12. Перемещением узла 5 по координатам x' , y' шаговыми электродвигателями 13 с цифровым управлением достигается сканирование по координатам x , y .

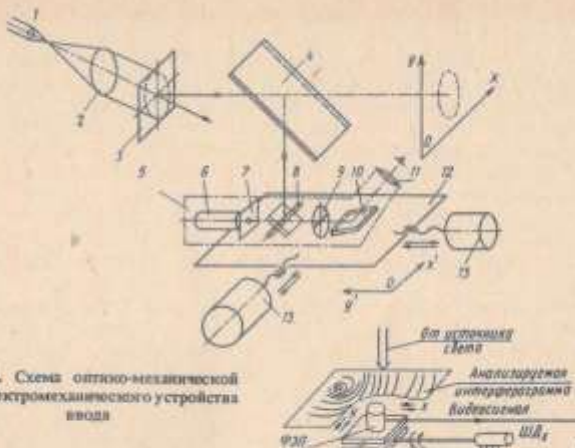
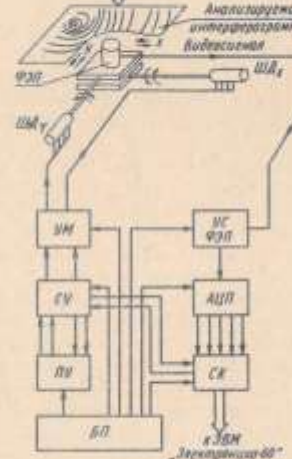


Рис. 55. Схема оптико-механической части электромеханического устройства ввода

Рис. 56. Структурная схема электронной части электромеханического устройства ввода:

ФЭП — фотозелектронный преобразователь; ШД_x, ШД_y — шаговые двигатели для осей x , y ; УМ — усилитель мощности; СУ — система управления; ПУ — путь управления; УС ФЭП — усилитель сигналов ФЭП; АЦП — аналогово-цифровой преобразователь; СК — соизмеряющий комплект; БЛ — блок питания



Управление электронной частью устройства ввода осуществляется от микроЭВМ "Электроника-60".

Электромеханическое устройство имеет следующие технические характеристики: размер сканируемого поля $62,5 \times 62,5 \text{ mm}^2$, максимальное число точек в строке 10^4 , максимальное число строк в кадре 10^4 , шаг сканирования по строке и кадру 6,25 мкм — 12,5 мм, размер сканирующей апертуры 10 — 500 мкм, быстродействие до 300 точек/с.

Опыт эксплуатации устройства ввода изображений в ЭВМ на основе дисектора и с электромеханическим сканированием показывает, что они могут быть успешно использованы в голограммическом измерительном эксперименте.

4. ЭВМ И ПЕРИФЕРИЙНОЕ ОБОРУДОВАНИЕ

ЭВМ, используемые в голографических измерительных системах (ГИС), должны иметь достаточно высокое быстродействие, развитую систему математического обеспечения, широкий набор периферийных устройств, возможность простого подключения нестандартных внешних устройств, малые габаритные размеры и сравнительно низкую стоимость.

Наиболее полно этим требованиям удовлетворяют мини-ЭВМ, которые в последние годы нашли широкое применение в самых разных областях науки и техники.

Благодаря модульному принципу построения мини-ЭВМ пользователь имеет возможность приобрести вычислительные средства нужной ему конфигурации и дополнять ее по мере необходимости, вместо того чтобы приобретать большую универсальную машину. Эти свойства мини-ЭВМ особенно важны для измерительных систем, так как экспериментальные исследования зачастую довольно разнообразны и для их выполнения требуются различные сочетания вычислительных модулей.

Мини-ЭВМ работают по принципу "прерываний", поэтому в них обеспечивается эффективное управление связью с внешними устройствами и вводом-выводом данных. Они имеют небольшие размеры и могут размещаться непосредственно у объекта исследования в лаборатории. Машинам подобного класса присуща в обслуживании и более надежны, чем большие машины.

В нашей стране широкое применение получила международная система малых ЭВМ (СМ ЭВМ), созданная как агрегатная система технических и программных средств вычислительной техники [50]. Она предназначена для построения вычислительных комплексов, используемых в системах управления технологическими процессами, в системах автоматизации научных исследований и проектирования, а также для выполнения научных и инженерных расчетов.

Два обстоятельства позволяют из ряда машин СМ ЭВМ выделить машину СМ-4 и отдать ей предпочтение при построении ГИС: во-первых, использование в ней принципа общей шины для объединения различных устройств в систему; во-вторых, широкое распространение микроЭВМ "Электроника-60", программно совместимой с СМ-4 и имеющей достаточно широкие функциональные возможности при малых габаритных размерах и низкой стоимости.

Особенностью этого типа мини-ЭВМ является использование интерфейса "магистрального типа" "Общая шина", который обеспечивает единый алгоритм связи между различными устройствами и позволяет подключать большое число устройств. Четыре аспекта особенно важны для понимания технических и математических возможностей системы.

1. Общая шина – единственная магистраль, которая связывает процессор, память и все внешние устройства. Алгоритм связи одинаков для каждого устройства на шине. Процессор использует тот же алгоритм для связи как с памятью, так и с внешними устройствами. Внешние устройства также используют этот алгоритм для связи с процессором, памятью или друг с другом. Все команды для ячеек памяти в равной степени могут быть приме-

нены и для регистров внешних устройств. Это свойство присуще только машинам с одношинной структурой, благодаря чему в системе команд ЭВМ отсутствуют команды ввода-вывода.

2. Большинство линий на шине являются двунаправленными. Это означает, что регистр внешнего устройства может быть использован как для физической ввода, так и вывода.

3. В любой операции общей шины участвуют два устройства, связанные между собой как задатчик и исполнитель. Приоритетная структура определяет, какое устройство получит управление шиной. Такая динамичная организация на шине позволяет осуществлять обмен информацией между двумя внешними устройствами, минуя процессор.

4. Связь по шине между устройствами построена по принципу "запрос – ответ". На каждый сигнал управления, посланный задатчиком, должен быть получен ответ от исполнителя. Такая организация обмена управляющими сигналами позволяет не налагивать жестких ограничений на физическую длину общей шины и гибкость сигналов.

Перечисленные особенности этого типа ЭВМ отвечают почти всем требованиям, предъявляемым к ЭВМ в голографических измерительных системах.

В последнее время при создании измерительных систем все чаще используются микроЭВМ на больших интегральных схемах. Выпускаемые микропроцессоры по своей производительности сравнимы с мини-ЭВМ, но выполнены отличаются от них по таким характеристикам, как надежность, потребляемая мощность, габаритные размеры и стоимость [7]. Большой интерес при построении ГИС представляет микроЭВМ "Электроника-60". Она, как и ЭВМ СМ-4, построена по модульному принципу с магистральной архитектурой. Все функциональные блоки ЭВМ выполнены в виде конструктивно законченных модулей, связь между которыми осуществляется через одну общую магистраль. Пользователю предоставляется возможность самому выбирать необходимую конфигурацию системы в зависимости от ее конкретного применения.

Процессор управляет общей шиной, внешними устройствами и выполняет арифметические и логические операции. Поскольку процессор ЭВМ "Электроника-60" имеет такой же основной набор команд, как и любая из ЭВМ: М-400, СМ-3, СМ-4, "Электроника-100/16" или "Электроника-100/25", то в распоряжении пользователя имеются широкие возможности для создания совместных систем обработки данных. При этом обеспечивается использование прикладных программ или даже законченных операционных систем в ГИС, основанных на разных ЭВМ. Таким образом, пользователь, работающий, например, с машиной М-400, может легко перейти к более дешевой машине "Электроника-60" без потери уже произведенных затрат на разработку программного обеспечения.

Находясь на нижнем уровне иерархии мини-ЭВМ и одновременно на вершине иерархии микроЭВМ, машины "Электроника-60" позволяют частично устранить разрыв между высокопроизводительными, но дорогими мини-ЭВМ и дешевыми, но малоизвестными микроЭВМ.

Возможности вычислительных комплексов в значительной степени определяются периферийным оборудованием. В функциональном отноше-

ни периферийное оборудование разделяется на четыре группы: средства ввода-вывода, устройства периферийной памяти, аппаратура для работы с линиями связи и специальное оборудование для сопряжения мини-ЭВМ с приборами или между собой.

В простых системах расшифровка интерферограмм в качестве носителя информации используется перфоленты. Работать с перфолентой можно при наличии в составе ЭВМ устройства ввода-вывода ленточного типа, например СМ-6204. В этом устройстве считыватель и перфоратор совмещены и обеспечивают ввод-вывод информации со скоростью 100 знаков/с. Более быстрое перфоленточное оборудование применять в минимашинках не имеет смысла — оно значительно дороже и сложнее в обслуживании, а заметного увеличения производительности, как правило, не обеспечивает. Примерно такими же характеристиками обладают фотосчитыватель FS-1501 и перфоратор ПЛ-150.

Повышение эффективности ввода-вывода в мини-ЭВМ можно достичь не увеличением скорости перфоленточных устройств, а заменой перфоленты более совершенным носителем — магнитной лентой, обеспечивающей в сотни раз большую плотность записи информации и соответственно большую скорость ввода-вывода, а также возможность стирания и многократного использования для новой записи. Таким устройством в номенклатуре СМ ЭВМ является устройство СМ-5208 на базе кассетного магнитофона РК 1/3. Типичная миникассета (например, МК-60) имеет емкость 100—200 кбайт, а время ее считывания-записи составляет около 10 мс. В небольших системах кассетные магнитофоны могут использоваться как периферийная память.

Другое значительное усовершенствование техники ввода-вывода в минимашинках связано с использованием дисплеев на основе ЭЛТ. Типичными представителями этих устройств являются алфавитно-цифровые терминалы VT-340, ВТА-2000, РИН-609, обеспечивающие одновременное отображение до 24 строк. В сочетании с клавиатурой эти дисплеи представляют собой эффективное средство общения человека с машиной. В этой роли дисплейные терминалы благодаря их беспружинности, быстродействию и удобству редактирования текста успешно конкурируют с телетайпами и пишущими машинками.

Наиболее существенным недостатком экранных дисплеев является то, что они не обеспечивают возможности получения печатной копии, которую предоставляет телетайп или пишущая машинка. Поэтому помимо дисплейного терминала в системе требуется наличие печатающего устройства. В противоположность большинству ЭВМ печатающие устройства минимашин малогабаритны, сравнительно дешевые и производят меньшие шума, имея вполне достаточную скорость печати. Типичными являются матричные устройства последовательной печати, такие, как DZM-180 или DARO-1156.

К следующей группе периферийных устройств относятся устройства внешней памяти. В отличие от основной внешней памяти не используется процессором непосредственно. Из нее вызываются в главную память необходимые в процессе работы программы и данные. От внешней памяти требуется не столько быстрота доступа к произвольно адресованному слову, сколько достаточно большая емкость.

Основным видом внешней памяти в минимашинках являются магнитные диски. Эти устройства дешевые, компактные и проще в обслуживании, чем аналогичные устройства для больших ЭВМ, но имеют, как правило, меньшую емкость.

Съемные диски с перемещаемыми головками записи-считывания — самые дешевые и обеспечивают наибольшую емкость из всех видов дисковой памяти. Типичным для минимашин является использование устройства СМ-5402 с накопителями из съемных магнитных дисках ИЗОТ-1370. Емкость одного накопителя составляет около 5 Мбайт, а время доступа 30—50 мс.

Распространенным устройством периферийной памяти в малых системах является накопитель на гибком магнитном диске, например устройство СМ-5603, содержащее два программируемых диска, емкость которых равна 0,5 Мбайт, а среднее время доступа около 300 мс.

Наряду с магнитными дисками в качестве внешней памяти используются также магнитная лента. Устройства памяти на магнитной ленте принципиально отличаются от устройств дисковой памяти. Доступ к информации на диске — произвольный, а на магнитной ленте — последовательный. В устройстве СМ-5300 время доступа может достигать нескольких минут. Такая память хороша либо для обработки записей в порядке их расположения на ленте, либо как архив для хранения информации, например копий программ, рабочие экземпляры которых находятся на дисках.

Все перечисленные основные стандартные периферийные устройства могут быть использованы при создании голограммической измерительной системы. Все они подключаются к ЭВМ с помощью машинного интерфейса. Нестандартные периферийные устройства, такие, как устройства ввода оптической информации в ЭВМ, описанные в предыдущем параграфе, и устройства вывода графической и полутоновой информации из ЭВМ, которым посвящен следующий параграф, могут быть подключены к ЭВМ с помощью специально разработанных блоков сопряжения в стандарте ЭВМ.

Использование в измерительно-вычислительных комплексах магистрально-модульной системы КАМАК приводит к значительному расширению возможностей создаваемых систем. В принятом стандарте (ГОСТ 26.201-80) на систему КАМАК сформулированы условия обеспечения информационной, энергетической и конструктивной совместимости. Они распространяются как на функциональные модули, размещенные в общем корпусе — крейте, который является основным конструктивным элементом КАМАК, так и на несколько взаимодействующих крейтов, образующих мультикрейтную систему. Обмен информацией в крейте организуется специальным управляющим модулем — контроллером. Обмен данными между крейтами, а также между ними и процессором организуется групповым устройством управления системой — драйвером ветви.

Аппаратура КАМАК содержит конструктивные элементы, такие, как шасси различных модулей, источник питания, крейт, стойку, вентиляционную панель и отражатель, и функциональные модули: контроллеры, модули связи с периферийными устройствами, системные модули, модули для обработки аналоговой информации, для связи с видеоконтрольными устройствами и т.п.

Устройством связи магистрально-модульной системы КАМАК с ЭВМ СМ-4 и "Электроника-60" является универсальный крейт-контроллер К-16.

Применение системы КАМАК при построении голографических измерительных систем позволяет использовать весь набор уже разработанных модулей, что дает возможность значительно сократить сроки подготовки системы к работе и одновременно обеспечить более широкие функциональные возможности.

5. УСТРОЙСТВА ВЫВОДА ИЗ ЭВМ РЕЗУЛЬТАТОВ ОБРАБОТКИ И РАСШИФРОВКИ

Выход информации из ЭВМ в удобном для экспериментатора виде является важным требованием при автоматизации эксперимента. Особенное значение ему придается при работе с большими массивами данных, в том числе при обработке и расшифровке голографических интерферограмм. В этом случае устройства вывода должны не только отображать конечную информацию, но и воспроизводить промежуточные результаты, поскольку невозможно процесс расшифровки полностью автоматизировать и исключить из него оператора. Использование полутоновых воспроизводящих устройств позволяет оперативно оценивать ход обработки и существенно повышает надежность результатов.

На конечном этапе часто бывает необходимо проводить документирование обработанной интерферограммы совместно с полученными алфавитно-цифровыми данными. Именно сочетание экспресс-контроля с конечной регистрацией результатов позволяет эффективно управлять процессом расшифровки интерферограмм и получать результаты в удобной для экспериментатора форме.

В настоящее время разработано много различных устройств отображения, которые могут быть применены в голографической измерительной системе. Однако нет ни одного, которое полностью бы соответствовало всем предъявляемым требованиям. Так, электромеханические устройства вывода изображений на фотоноситель имеют, как правило, очень высокую геометрическую точность в разрешающую способность при широком диапазоне плотности воспроизведенного изображения, однако они существенно уступают электронным в быстродействии и удобстве визуального контроля. Поэтому в голографических измерительных системах предпочтение следует отдать электронным устройствам вывода, так как при выводе результатов голографического эксперимента требуются не столько точность и высокое разрешение, сколько быстродействие и наглядность.

Широкими возможностями обладает универсальный микрофильмирующий автомат "Карат" с видеоконтрольным устройством, разработанный в СКБ научного приборостроения СО АН СССР [68]. Блок микрофильмирования выполнен на основе высокоразрешающей ЭЛТ с фокусирующим-отклоняющим комплексом, который управляет 12-разрядными ЦАП с усилителями мощности. Изображение, воспроизведенное на экране ЭЛТ, регистрируется на 35-миллиметровой пленке фотокамерой РФК-5, работающей в старт-стопном режиме. Устройство имеет генераторы векторов и символов и блок динамической подфокусировки, с помощью которого обеспечивает-

ся диаметр пятна не более 20 мкм по полю $60 \times 60 \text{ мм}^2$. Для построения широких линий диаметр пятна может программно изменяться до 160 мкм. Мощность оптического излучения, генерируемого экраном ЭЛТ, можно изменять от 0 до 3 мВт, а время экспозиции в точке — от 0,2 до 2 мкс. Устройство позволяет документировать алфавитно-цифровую, графическую и полутоновую информацию.

Видеоконтрольное устройство, выполненное на запоминающей ЭЛТ, имеет две градации яркости и позволяет оценивать выводимое на пленку изображение. Наличие видеоконтрольного блока в составе устройства значительно повышает удобство при эксплуатации и производительность, так как позволяет исключить кадры с машинным сбоем.

В устройстве восстановления полутоновых изображений "Визир", разработанном в ИЭТИ, выводимое на экран ЭЛТ для наблюдения и фотогравиации изображение имеет размеры $100 \times 100 \text{ мм}^2$ и 64 градации яркости [27]. Устройство может работать непосредственно с ЭВМ, а также восстанавливать изображения, закодированные на перфоленте. При работе с ЭВМ для упрощения программного обеспечения совместной работы с устройством ввода на дисекторе в устройстве "Визир" применена адресная организация поточечного построения изображения. "Визир" состоит из блока сопряжения с ЭВМ, блока управления фотосчитывателем, двух восьмиразрядных координатных ЦАП с усилителями мощности и генератора импульса подсветки. Особенность устройства является применение функционального ЦАП кода яркости, который осуществляет коррекцию нелинейной зависимости свечения экрана от напряжения модулятора, что позволяет получать линейную зависимость между кодом яркости и яркостью свечения экрана ЭЛТ без загрузки памяти машины значениями поправок.

Приведем основные технические характеристики устройства "Визир": размер изображения $100 \times 100 \text{ мм}^2$; число адресуемых точек 256×256 ; число градаций яркости 64; погрешность воспроизведения координат точек не более 1%; время перевода луча по диагонали не более 100 мкс; время подсветки точки от 1 до 150 мкс. Согregation устройства с ЭВМ осуществляется через интерфейс "Общая шина".

Наряду с устройствами поточечного построения выводимого изображения, к которым относятся рассмотренные выше "Карат" и "Визир", применяются также телевизионные (растровые) системы вывода изображений. Основным их преимуществом является использование обычных серийно выпускаемых телевизоров. Для согласования сравнительно медленной работы базовой ЭВМ с быстрым телевизионным растром и ее разгрузки эти системы имеют собственную оперативную память, которая определяет число элементов разложения и градации яркости изображения.

К устройствам такого типа относятся выпускаемые мелкими сериями черно-белые и цветные телевизионные дисплеи, выполненные в стандрте КАМАК [53]. Эти дисплеи позволяют строить изображения, состоящие из 256 строк по 384 точки в каждой строке. При использовании максимальной памяти (девять модулей по 96 К бит) обеспечивается вывод черно-белого изображения с 512 градациями яркости или цветного изображения с восемью градациями яркости на каждые из трех основных цветов. Входящий

в состав дисплеев генератор символов позволяет строить на экране 192 различных символа.

Существенно большую детализацию выводимого кадра обеспечивает устройство для хранения и отображения оцифрованных изображений. Оно принимает из ЭВМ, хранит в памяти и воспроизводит на экране черно-белого или цветного телевизора полутонаовые и цветные изображения, состоящие из 512×512 элементов с 256 градациями интенсивности или цвета и частотой 25 кадров/с [77]. Регенеративная память емкостью 2048 К бит выполнена на микросхемах K565 РУ3 и имеет произвольный доступ к любой ячейке. В устройстве предусмотрено преобразование восемиразрядного кода интенсивности в цветной код с помощью программируемого от ЭВМ постоянного запоминающего устройства. Такое преобразование дает возможность проводить препарирование изображения, что обеспечивает дополнительные удобства экспериментатору.

Из серийно выпускаемых устройства вывода наибольшее распространение получили экранные пульты, позволяющие в отличие от рассмотренных ранее устройств отображать не полутонаую, а только графическую информацию. Так, экранный графический пульт ЭПГ СМ работает совместно с ЭВМ СМ-4, используя ее оперативную память в режиме прямого доступа. Пульт состоит из графического индикатора, дисплейного процессора, буквенно-цифровой и функциональной клавиатуры и светового пера. Графический индикатор служит для отображения аналоговой информации, поступающей из дисплейного процессора. Дисплейный процессор обрабатывает команды графического языка, вырабатывает аналоговые сигналы для построения векторов и символов в соответствии с информацией, поступающей из памяти ЭВМ. С помощью буквенно-цифровой и функциональной клавиатуры в ЭВМ вводятся коды, отображаемые сигналов стандартного набора, а также команды управления работой ЭВМ.

Наличие светового пера, позволяющего оператору корректировать процесс обработки и расшифровки интерферограмм, является важной особенностью этого дисплея.

Выбор того или иного устройства вывода информации из ЭВМ, входящего в состав голографической измерительной системы, определяется классом задач, решаемых с помощью этой системы.

6. ПРИМЕРЫ ПОСТРОЕНИЯ ГОЛОГРАФИЧЕСКИХ ИЗМЕРИТЕЛЬНЫХ СИСТЕМ

Основываясь на аппаратуре, описанной в предыдущих параграфах, можно создавать различные по возможностям и назначению ГИС [17, 34, 41–43, 47, 69, 76].

В зависимости от сложности решаемой задачи и места проведения экспериментов были использованы два типа вычислительных комплексов – на базе микроЭВМ "Электроника-60" и на базе мини-ЭВМ СМ-4.

Ранее перечисленные архитектурные особенности микроЭВМ "Электроника-60" делают ее удобной для создания сравнительно простых ГИС [33, 47]. В состав измерительной системы для исследования статистических

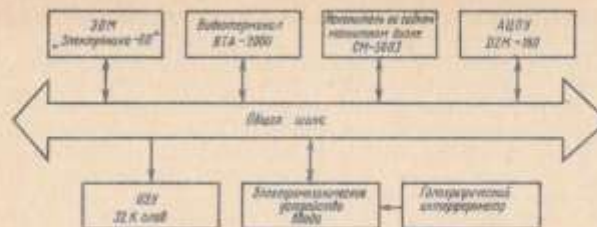


Рис. 57. Структурная схема ГИС на базе микроЭВМ "Электроника-60"

характеристик яркости голограммических изображений (рис. 57) включены описанные ранее оптический квантовый генератор, голограммическая установка, видеотерминал, алфавитно-цифровое печатающее устройство, устройство внешней памяти на гибких магнитных дисках и электромеханическое устройство ввода оптической информации, с объемом оперативной памяти (ОЗУ) ЭВМ расширен до 32К слов.

Видеотерминал необходим как средство общения экспериментатора с системой в режиме диалога. Алфавитно-цифровое печатающее устройство (АЦПУ) документирует результаты эксперимента, служит для получения листингов программ и т.д. Находится на магнитном диске выполняет две функции: обеспечивает работу дисковой операционной системы и является внешним ЗУ для хранения больших массивов экспериментальных данных. Перечисленная конфигурация технических средств достаточно для эффективной разработки проблемного обеспечения, реализующего основные функции системы. Основой для создания программного обеспечения является дисковая операционная система реального времени РАФОС, которая позволяет существенно облегчить задачи создания и отработки системных алгоритмов и программ. Она дает возможность пользователю легко и просто подготовлять исходные модули программ на различных языках, различно транслировать их и объединять в готовые к выполнению модули. Экспериментатор получает в распоряжение такие языковые средства, как Макроассемблер, ФОРТРАН, Бейсик, Паскаль. Макроассемблер позволяет использовать все архитектурные особенности системы. На нем пишутся программы работы с нестандартными внешними устройствами, в частности, с устройством ввода оптической информации и его визуализатором. Кроме того, на Макроассемблере реализуются алгоритмы, требующие специфических действий или максимального быстродействия, включаемые в прикладные программы в виде подпрограмм.

Прикладные программы написаны на языках высокого уровня, что значительно облегчает труд системных программистов. В системе преимущественно используются два языка высокого уровня, Бейсик и ФОРТРАН. Бейсик – интерпретатор, который позволяет быстро и эффективно отлаживать новые алгоритмы. В дальнейшем эти алгоритмы реализуются на ФОРТРАНЕ, что не повышает скорость их выполнения.

Электромеханическое устройство ввода оптической информации явля-

ется относительно автономной частью системы. ЭВМ обеспечивает только запуск и отслеживание процесса сканирования и прием вводимой информации. Устройству ввода автономно задается режим сканирования: число точек в строке, шаг между ними, число строк и шаг между строками. Вводимая информация накапливается в оперативной памяти или записывается на гибкий диск. Визуализатор выполнен на основе электронно-лучевого осциллографа с цифровым управлением от ЭВМ и позволяет оперативно оценивать качество и достоверность вводимой информации. Графическое изображение на экране состоит из 256×256 точек. Конструктивно вычислительный комплекс системы выполнен в стандартной стойке АСВТ-М. При низкой стоимости, малых габаритных размерах и простоте эксплуатации, система, тем не менее, пригодна для решения разнообразных задач по обработке и расшифровке голограммической информации.

Более универсальной является система на базе мини-ЭВМ СМ-4 [18, 34]. Она включает измерительный голограммический интерферометр с оптическим квантовым генератором, устройство ввода оптической информации на основе точечного диссектора, собственно ЭВМ с необходимым периферийным оборудованием и устройство "Карат" для вывода графической информации из ЭВМ (рис. 58).

Вычислительный комплекс, входящий в состав системы, состоит из процессора СМ-4П, ОЗУ ёмкостью 128 К слов, накопителя на магнитных дисках СМ-5402, накопителя на гибких магнитных дисках СМ-5603, алфавитно-цифрового видеотерминала ВТА-2000 и АЦПУ Д2М-180.

Важной составной частью комплекса является программное обеспечение, в частности операционная система, поддерживающая его работу. При выборе программного обеспечения для ГИС важны следующие факторы: минимальное время отклика; возможность обеспечения одновременности ввода оптического кадра с цифровой обработкой информации из ЭВМ; наличие широкого набора команд оператора для обеспечения управления системой; возможность использования разработанных пакетов стандартных программ; возможность разработки и отладки собственных алгоритмов.

Как и в системе на базе микроэВМ "Электроника-60", здесь используется операционная система РАФОС. Она обеспечивает работу с максималь-

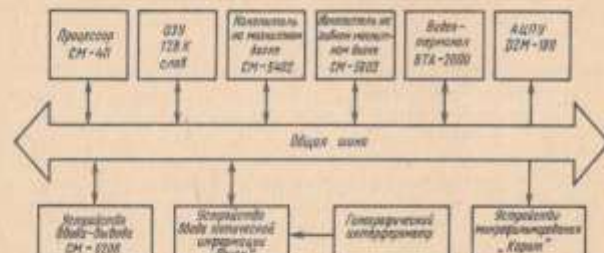


Рис. 58. Структурная схема ГИС на основе СМ-4

ным объемом памяти, что делает возможным при необходимости хранить в ОЗУ весь кадр изображения. Это значительно сокращает время его обработки. Для обслуживания устройства ввода-вывода оптической информации были разработаны и выпущены в систему драйверы этих устройств, что позволяет использовать их как стандартные устройства системы.

Экспериментатору доступны стандартные пакеты программ, облегчающие выполнение различных математических операций: пакет программ численного анализа, пакет программ обработки данных методами математической статистики, пакет программ обработки данных в системах автоматизации прочностных экспериментов.

Для выполнения операций, связанных с обработкой изображений, разработан пакет программ, в который входит программы ввода оптических изображений, их обработки и вывода результатов в удобной для экспериментатора форме.

Отметим, что системы на основе "Электроники-60" и СМ-4 связаны посредством накопителей на гибких магнитных дисках, так что информация, введенная в ЭВМ с помощью электромеханического устройства ввода, может обрабатываться как той, так и другой машиной.

Эксплуатация систем показала, что их структура, состав и программное обеспечение удовлетворяют основным требованиям эксперимента в области голограммической интерферометрии. С помощью системы на базе мини-ЭВМ СМ-4 решался ряд задач по исследованию напряженно-деформированного состояния объектов при статических и динамических нагрузках и по определению параметров рельефа сложных поверхностей. Система на базе микроэВМ "Электроника-60" использовалась для определения параметров шероховатости исследуемых поверхностей и для определения зависимости контраста интерференционных полос от параметров шероховатости и характера нагружения. Решение некоторых из этих задач рассмотрено в следующей главе. Отметим, что обработка и расшифровка информации проводилась в этих экспериментах построчно. Осуществление двумерного быстрого преобразования Фурье (БПФ) и других двумерных операций при обработке и расшифровке интерферограммы связано с большими затратами машинного времени.

В тех случаях, когда необходимо решать более сложные задачи экспериментальной механики, приходится использовать в составе ГИС более мощные вычислительные комплексы [76]. Рассмотрим систему, разработанную для решения таких задач (рис. 59).

Голограммический интерферометр, устройство ввода оптической информации в ЭВМ и устройство вывода информации из ЭВМ остались прежними. Существенные изменения произошли в вычислительном комплексе. Система организована на базе расширенного комплекса УВК СМ-4 и содержит системный крейт КАМАК и матричный процессор [51].

В системный крейт входит крейт-контроллер, процессор микропрограммного управления, процессор ввода, драйверы черно-белого и цветного телевизоров и КАМАК-управление I.

Матричный процессор состоит из следующих модулей: арифметического устройства, генератора тригонометрических функций, сверхоперативного запоминающего устройства (СОЗУ), юникского устройства СОЗУ, мат-

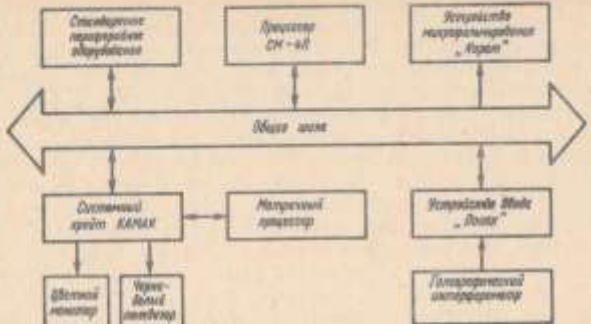


Рис. 59. Структурная схема системы на базе СМ-4 с использованием матричного процессора

матричного ОЗУ, индексного устройства матричного ОЗУ и КАМАК-управляемого ОЗУ, индексного устройства матричного ОЗУ и КАМАК-управления 2.

Система выполнена в стандарте КАМАК. Системный крейфт является стандартным КАМАК-крейфтом.

Крейфт-контроллер К-16 осуществляет связь системы с ЭВМ СМ-4. Он обеспечивает управление крейфтом КАМАК, содержащим до 23 смесевых блоков, выполняя следующие основные функции: прием из ЭВМ кодов команд и служебной информации для исполнения в контроллере или в регистрах КАМАК, передачу данных из регистров КАМАК в ЭВМ, предварительную обработку запросов, формирование сигнала "запрос передачи" и некоторые прерывания, однозначно соответствующие приходящим запросам, контрольные функции исполнения команд.

Процессор микропрограммного управления является управляющим устройством системы, работа системы определяется микропрограммами, записываемыми из ЭВМ в его память. Емкость микропрограммного ОЗУ – 1024 48-разрядных слова. Время выполнения одной микрокоманды – 1 мкс.

Процессор ввода предназначен для записи и хранения массивов данных, поступающих по магистрали КАМАК, а также для их предварительной обработки. Объем ОЗУ – 128 К байт. В процессоре ввода осуществляется предварительная обработка занесенного в память изображения (вычитание фона, вычисление математического ожидания и вычитание его из исходного изображения).

Драйвер черно-белого телевизора осуществляет вывод исходных и обработанных изображений на экран стандартного телевизора. Емкость ОЗУ – 64 К четырехразрядных слов, что обеспечивает 16 градаций яркости. Драйвер цветного телевизора обеспечивает вывод данных на экран цветного монитора. КАМАК-управления 1 и 2 траншируют данные и управляющие команды магистрали КАМАК в матричный процессор.

Матричный процессор предназначен для осуществления ускоренных вычислений над комплексными массивами (матрицами) чисел. Он подключен к ЭВМ через магистраль КАМАК и, следовательно, может функционировать в любой системе автоматизации эксперимента, построенной на базе КАМАК, как ее специализированный модуль. В состав матричного процессора входят три сверхоперативных ОЗУ, предназначенных для временного хранения данных, над которыми осуществляются основные операции в арифметическом устройстве (АУ). Объем одного модуля – 4 К 12-разрядных слов. Доступ к ячейкам памяти – произвольный, генерирование кода адреса и управляющих сигналов для модулей в режимах обмена данными осуществляется индексным устройством сверхоперативного ОЗУ.

Матричное ОЗУ предназначено для хранения исходных, промежуточных и конечных двумерных массивов данных. В состав матричного процессора входят два таких модуля, каждый емкостью 64 К 14-разрядных слов. Доступ к ячейкам памяти произвольный. Генерирование кода адреса и управляющих сигналов для модулей в режимах обмена данными осуществляется индексным устройством.

Модуль АУ входит в состав матричного процессора и предназначен для осуществления ускоренных логических и арифметических операций над комплексными числами с блочно-шаблонной запятой. Время выполнения любой операции над парой чисел или одним числом 1,9 мкс. Формат представления чисел – квазинормализованный (порядок общий для действительной и мнимой частей комплексного числа). Порядки положительные. Формат слова – четыре разряда порядка и по 12 разрядов действительной и мнимой частей мантиссы. Модуль осуществляет выполнение команд над массивами следующих типов: команды Фурье-арифметики, команды комплексной арифметики, команды нормализации и порядка, команды перезаписи.

АУ обеспечивает выполнение алгоритма быстрого преобразования Фурье над массивом 1 К чисел за 9 мс. Рассмотренный комплекс обеспечивает высокий уровень автоматизации всех этапов голографического измерительного эксперимента.

Разработанная система может быть использована также для решения задач анализа напряженно-деформированного состояния объектов численными методами. Комбинированное применение экспериментальных и численных методов анализа в единой измерительно-вычислительной системе позволит полнее использовать преимущества этих методов для решения задач механики.

Глава 5.

РЕШЕНИЕ НЕКОТОРЫХ ЗАДАЧ ЭКСПЕРИМЕНТАЛЬНОЙ МЕХАНИКИ ГОЛОГРАФИЧЕСКИМИ МЕТОДАМИ

1. ИССЛЕДОВАНИЕ ДЕФОРМАЦИЙ ПЛОСКИХ ОБРАЗЦОВ ПРИ РАСТЯЖЕНИИ

Исследование плоского напряженно-деформированного состояния представляет большой интерес для экспериментальной механики, поскольку оно реализуется во многих инженерных конструкциях. В этом параграфе

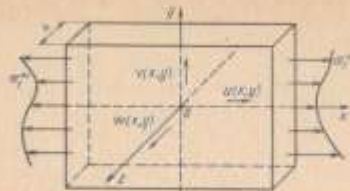
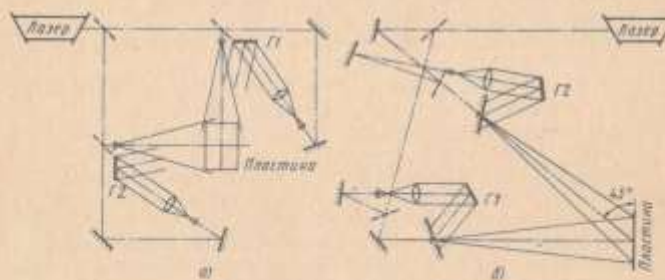


Рис. 60. Нагружение пластины в своей плоскости:
 \vec{d}_1 — приложенные внешние напряжения;
 $u(x, y)$, $v(x, y)$, $w(x, y)$ — ортогональные составляющие вектора смещения

Рис. 61. Практические схемы интерферометров для определения плоскостных компонент вектора смещения:
 a — двух; b — одной



рассмотрены наиболее типичные виды плоского нагружения. Все они хорошо изучены как теоретически, так и экспериментально. Поэтому их исследование методами голографической интерферометрии позволяет, с одной стороны, прочувствовать особенности применения этих методов, а с другой — убедиться в достоверности получаемых результатов. В связи с ограниченным объемом книги в этой главе изложены лишь результаты, полученные в Новосибирском электротехническом институте.

Особенности голографических интерферометров. При нагружении плоских тонких пластин в своей плоскости возникает обобщенное плоское напряженное состояние [48]. Напряжения в этом случае определяются как средние по толщине пластинки h и могут быть определены по результатам измерений полей смещений на боковой плоскости пластины (рис. 60).

Экспериментальное исследование плоского напряженного состояния методами голографической интерферометрии естественно проводить с помощью интерферометров, максимально чувствительных к плоскостным компонентам смещения. Для этого направления освещения и наблюдения, как следует из п. 2, гл. 2, надо максимально приблизить к плоскости пластины, что приводит к уменьшению угла, под которым наблюдается восстановленное изображение исследуемого образца. Это снижает интенсивность объектной волны, а значит, время экспозиции интерферограмм. Поэтому нецелесообразно выбирать угол наклона направлений освещения и наблюдения к плоскости пластины меньше $10 - 20^\circ$. Возможная схема такого интерферометра показана на рис. 61, а.

Часто всю полезную информацию о напряжено-деформированном состоянии пластины можно получить по одной плоскостной компоненте смещения. Это позволяет ослабить требования к интерферометру. На рис. 61, б показана схема интерферометра для измерения одной плоскостной компоненты смещений, лежащей в плоскости чертежа. Угол наклона боковых направлений наблюдения и освещения к плоскости пластины относительно большой и составляет 45° , поэтому здесь не возникают затруднения, связанные с малыми углами наклона. Запись нормальной компоненты на голограмму Γ_1 позволяет в необходимых случаях учитывать и изгибные деформации. При этом расшифровка получаемых картин интерференционных полос осуществляется обычным образом (см. п. 2 гл. 2). Начало системы координат всегда совмещается с центром образца (см. рис. 60). В этом случае орты направлений наблюдения \vec{r}_u и освещения \vec{r}_o имеют следующий вид для первой и второй голограмм соответственно:

$$\vec{r}_u = \vec{r}_o = \frac{x}{L} \vec{i} + \frac{y}{L} \vec{j} + k + O\left(\frac{x^2}{L^2}\right) + O\left(\frac{y^2}{L^2}\right); \quad (91)$$

$$\vec{r}_u = \vec{r}_o = \frac{1}{\sqrt{2}}(\vec{i} + \vec{k}) + \frac{x}{L} \vec{i} + O\left(\frac{x^2}{L^2}\right) + O\left(\frac{y^2}{L^2}\right),$$

где L — расстояние от образца до голограммы Γ_1 или Γ_2 , которое в экспериментах составляло 750 мм. Для определения смещений получают два уравнения:

$$w + \frac{x}{L} u + \frac{y}{L} v = \frac{\lambda}{2} N_1; \quad (92)$$

$$w + u + \sqrt{2} \frac{y}{L} v = \frac{\lambda}{\sqrt{2}} N_2,$$

где N_1, N_2 — числа интерференционных полос; λ — длина волны. Из уравнений (92) видно, что интерферометр практически нечувствителен к у-компоненте смещений $v(x, y)$, поскольку $(y/L) < 0,025$. Решения системы (92) имеют вид:

$$u \approx \frac{\lambda}{\sqrt{2}} N_2 \left(1 + \frac{x}{L}\right) \left(1 - \frac{\sqrt{2}}{2} \frac{N_1}{N_2}\right); \quad (93)$$

$$w \approx \frac{\lambda}{2} N_1 - \frac{\lambda}{\sqrt{2}} N_2 \frac{x}{L} \left(1 - \frac{\sqrt{2}}{2} \frac{N_1}{N_2}\right).$$

В частности, при $N_1/N_2 = 0,1 \pm 0,14$ с точностью 10 % можно считать, что первая голограмма Γ_1 регистрирует только нормальную компоненту смещения w , а вторая Γ_2 — только боковую — u . Это условие выполнялось во всех экспериментах, поэтому грубую расшифровку картин полос можно провести с помощью формул

$$u \approx (\lambda/\sqrt{2}) N_2; \quad w \approx (\lambda/2) N_1. \quad (94)$$

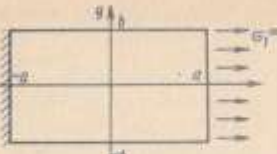


Рис. 62. Форма гладких образцов с размерами $a = 35 \text{ мм}$; $b = 20 \text{ мм}$

Если указанная точность равенства (94) недостаточна, то необходимо воспользоваться более точными выражениями (93), которые справедливы при любых значений отношения N_1/N_2 .

Образцы, исследованные по схеме рис. 61, б, изготовлены из медных и дюралевых пластин толщиной 0,5 и 0,7 мм соответственно. Размеры рабочего поля составляли $70 \times 40 \text{ мм}$ во всех случаях. Нагружение образцов осуществлялось так, что один из концов оставался неподвижным, а другой вытягивался до заданного уровня прямолинейного смещения.

Однородное растяжение прямоугольной пластины. Это простейший вид

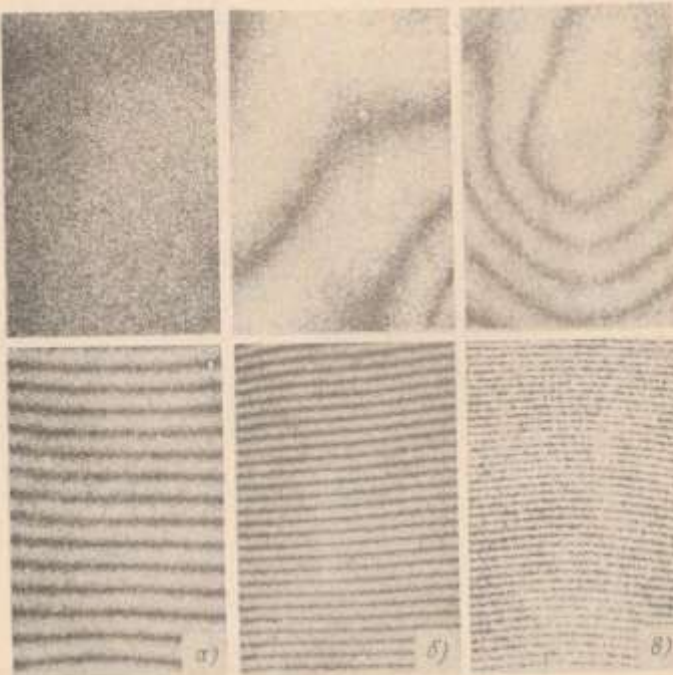


Рис. 63. Интерферограммы растяжения гладких медных пластин (верхний ряд восстановлен с голограммой Г1, нижний — с Г2), полученные для трех уровней нагружения: $a - u_0 = 10 \text{ мкм}$; $b - u_0 = 20 \text{ мкм}$; $v - u_0 = 30 \text{ мкм}$

плоского нагружения пластин, поэтому его удобно использовать для проверки интерферометра и обработки методики экспериментов. Компоненты смещений боковой поверхности первоначально плоской пластины имеют вид линейных функций:

$$u(x, y) = u(x) = \frac{u_0 x}{2a}; \quad [w] = -\frac{\nu u_0 u_0}{2(1-\nu)x}; \quad (95)$$

$$v(x, y) = v(y) = -\frac{u_0 u_0 y}{2a}, \quad u_0 = \frac{2a \sigma_1}{E};$$

где $2a$ — ширина образца (рис. 62); σ_1 — приложенные внешние напряжения; ν — коэффициент Пуассона. Если первоначальная форма пластины не была плоской, то распределение смещений может заметно исказиться вследствие вытяживания начальных погибов.

Вид интерференционных карт, полученных при нагружении до уровней $u_0 = 10, 20, 30 \text{ мкм}$, приведен на рис. 63 для медных образцов и на рис. 64 — для дюралевых. Как было сказано выше, интерференционные по-

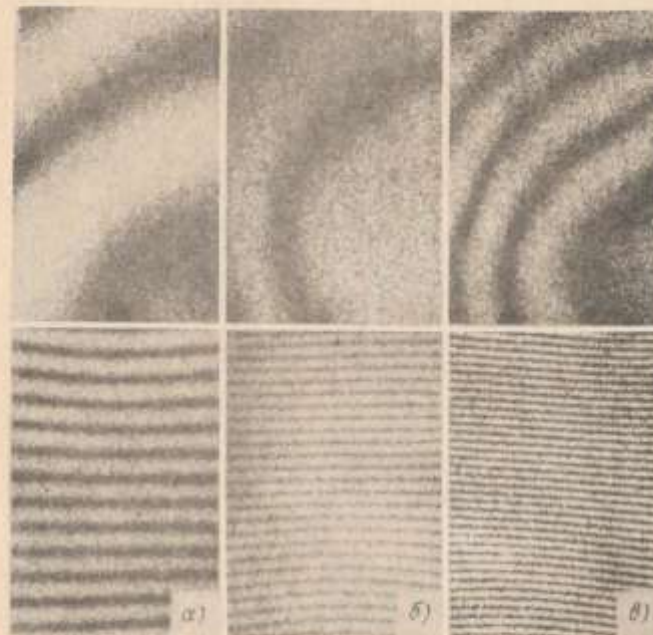


Рис. 64. Интерферограммы растяжения гладких дюралевых пластин (верхний ряд восстановлен с голограммой Г1, нижний — с Г2), полученные для трех уровней нагружения: $a - u_0 = 10 \text{ мкм}$; $b - u_0 = 20 \text{ мкм}$; $v - u_0 = 30 \text{ мкм}$

лосы, полученные при восстановлении с голограммы $\Gamma 1$ (см. рис. 61, б), представляют собой линии уровня нормальной компоненты смещения, которая вызвана изгибом образцов при вытягивании начальных погибов. Эти системы полос не несут полезной информации о плоском напряженном состоянии и записывались только для выбраковки слишком изогнутых образцов.

Интерференционные полосы, полученные при восстановлении с голограммы $\Gamma 2$, представляют собой линии уровня x -компоненты смещений. Они образуют систему эквидистантных прямых линий. Некоторое искривление полос в окрестности заделок вызвано влиянием ложим устройством нагружения. Из графиков смещения $u(x, y)$ на средней линии образцов, построенных (рис. 65, а, б) по расчетным формулам (95), и результатам экспериментов, рассчитанным по (93), видно, что расхождение результатов находится в пределах точности формул и не превышает 5 %.

Однородное растяжение прямоугольной пластины с круглым отверстием. Как известно, это типичная задача о концентрации напряжений около отверстий с гладким контуром. Если радиус отверстия R достаточно мал ($R/b \leq 0,2$) (рис. 66), то влиянием конечной ширины пластины можно пренебречь. В этом случае напряжения оценивают по известным формулам плоской задачи [48]:

$$\sigma_{rr} + \sigma_{\varphi\varphi} = \sigma_1^{\infty} \left(1 - \frac{2R^2}{r^2} \cos 2\varphi\right);$$

$$\sigma_{\varphi\varphi} - \sigma_{rr} + 2i\sigma_{r\varphi} = \sigma_1^{\infty} \left(\frac{R^2}{r^2} - \frac{e^{i2\varphi}}{r^2} e^{-i2\varphi} - \frac{3R^4}{r^4} e^{-i2\varphi}\right), \quad (96)$$

где r, φ — полярные координаты; σ_1^{∞} — внешнее напряжение. Деформации рассчитывают по закону Гука, в частности, на линии $x = 0$

$$\epsilon_{xx}(0, y) = k_e(y) \frac{\sigma_1^{\infty}}{E}; k_e(y) = 1 + \frac{R^2}{y^2} \frac{1+3\nu}{2} + \frac{R^4}{y^4} \frac{3(1+\nu)}{3}, \quad (97)$$

где k_e — коэффициент концентрации деформации ϵ_{xx} .

Видно, что при $y = R$ $k_e = 3$ вне зависимости от значений коэффициента Пуассона и модуля Юнга. Теоретическая зависимость $k_e(y)$ для $\nu = 0,3$ показана на рис. 67 непрерывной линией. При экспериментальных исследованиях удобно определять именно коэффициент концентрации деформаций, а не напряжения. Значения k_e рассчитывают по изменению шага полос с помощью формулы, следующей из выражений (93) и (97):

$$k_e(y) = \frac{t(0, b)}{t(0, y)} \left[\frac{\sqrt{2} - (\partial N_1 / \partial x)(0, y)}{\sqrt{2} - (\partial N_1 / \partial x)(0, b)} \right], \quad (98)$$

где $t(0, y)$ — шаг полос в середине образца ($x = 0$). Причем, множитель, заключенный в квадратные скобки, мало отличается от единицы.

Сравнивая рассчитанные по формуле (98) значения коэффициентов $k_e(y)$ с теоретическими (рис. 67), видим, что совпадение результатов наход-

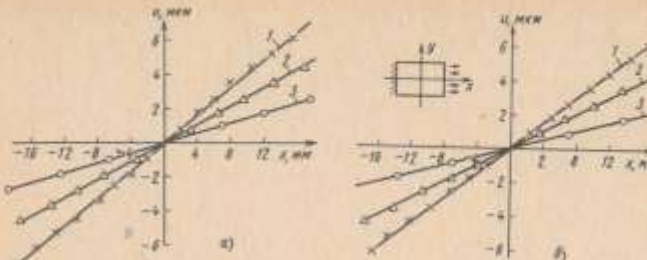


Рис. 65. Распределение смещений на средней линии образцов:

a — мелких; b — дверных; $1 - u_0 = 30$ мкм; $2 - u_0 = 20$ мкм; $3 - u_0 = 10$ мкм

Рис. 66. Форма образцов с центральным круглым отверстием:
 $a = 35$ мм; $b = 20$ мм; $R = 4$ мм

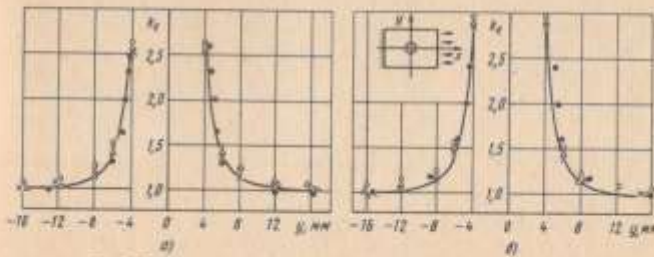
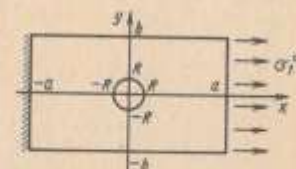


Рис. 67. Изменение коэффициента концентрации деформаций:
 a — для мелких образцов; b — для дверных образцов при трех уровнях нагрузки:
 $\circ - u_0 = 10$ мкм; $\triangle - u_0 = 20$ мкм; $\times - u_0 = 30$ мкм (по муральным полосам)

дается в пределах точности формул (97), (98) и погрешность не превышает 10 %.

При нагружении общее смещение заделок по образцу составило $u_0 = 10, 20, 30$ мкм. Эквивалентные внешние напряжения σ_1^{∞} оценивались по формулам (95). Принимая в качестве ширины пластинки $2(b-R)$ для верхней и $2b$ для нижней оценок, окончательно получим

$$\left. \begin{array}{l} \sigma_{1b} < \sigma_1^{\infty} < \sigma_{1H}; \\ \sigma_{1S} = \frac{E u_0}{2b} \\ \sigma_{1H} = \frac{6 \sigma_{1b}}{b - R} \end{array} \right\} \begin{array}{l} 13,5; 27,0; 40,5 \text{ МПа (меди)} \\ 9; 18; 27 \text{ МПа (дверь)} \end{array} \quad (99)$$

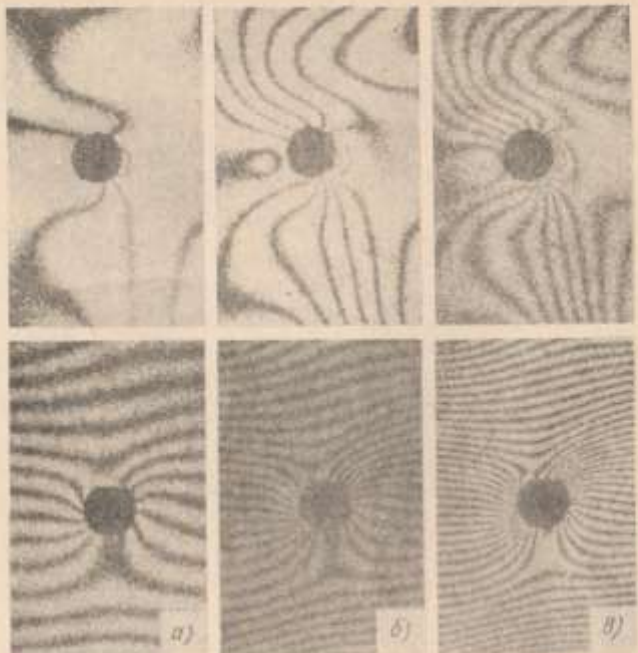


Рис. 68. Интерферограммы растяжения мелких пластин с центральным круглым отверстием (верхний ряд восстановлены с голографией GI , нижний — с GII), полученные для трех уровней нагрузки:
а — $u_0 = 10 \text{ мкм}$; б — $u_0 = 20 \text{ мкм}$; в — $u_0 = 30 \text{ мкм}$

Картинами интерференционных полос, восстановленных с голографиями GI и GII (см. рис. 61, б), показаны на рис. 68 для мелких и на рис. 69 для широких образцов. Изгиб этих образцов при нагрузке сильнее, чем гладких, вследствие локальной потери устойчивости плоской формы в окрестности отверстия при предварительном нагружении. Однако формулы (93) позволяют точно рассчитать смещения и их средней линии образца $x = 0$ (рис. 70). Разность смещений в образцах с отверстием и без него для одного и того же уровня нагрузки u_0 (рис. 71) представляет собой возмущение, вносимое концентратором, и может наблюдаться непосредственно. Для этого необходимо совместить две картины интерференционных полос, соответствующих образцам с отверстием и без него, при одинаковом уровне нагрузки. Полученная в результате система мурровых полос дает линии уровня различий смещений, записанных в исходных интерференционных

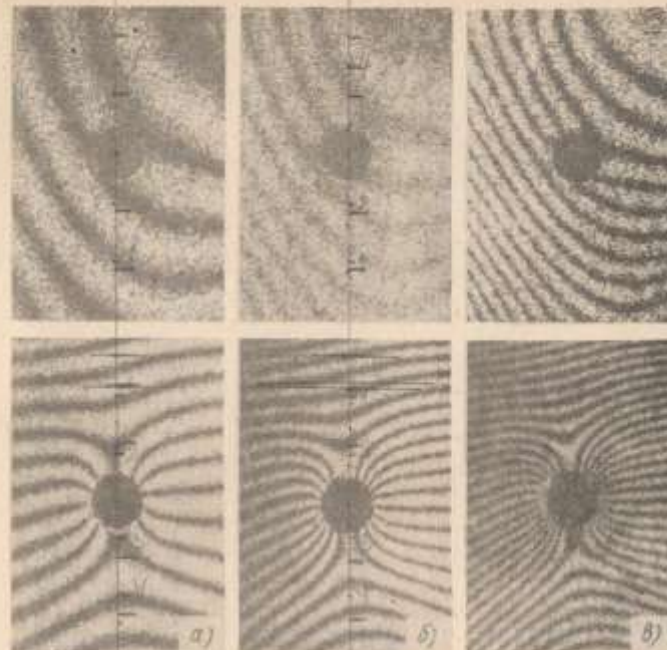


Рис. 69. Интерферограммы растяжения широких пластин с центральным круглым отверстием (верхний ряд восстановлены с голографией GI , нижний — с GII), полученные для трех уровней нагрузки:
а — $u_0 = 10 \text{ мкм}$; б — $u_0 = 20 \text{ мкм}$; в — $u_0 = 30 \text{ мкм}$

картинах. Например, на рис. 72, а показаны картины мурровых полос, образующихся при наложении интерференционных полос для гладких образцов (см. рис. 64) и образцов с круглым отверстием (см. рис. 69). Разность соответствующих смещений, восстановленная из мурровым картина, показана на рис. 71, а штриховой линией l' .

Деформация $\epsilon_{xx}(x, y)$ может наблюдаться и непосредственно. Для этого необходимо дважды наложить одну и ту же систему полос, представляющую собой линии уровня поля $u(x, y)$ с некоторым сдвигом по оси Ox . Образующиеся мурровые полосы являются линиями разных деформаций ϵ_{xx} . Например, на рис. 72, б показаны картины мурровых полос, полученные при наложении со сдвигом $x_0 = 4 \text{ мм}$ интерференционных полос, представленных на рис. 68 и 69. Рассчитанные по этим мурровым полосам значения коэффициентов концентрации k_x приведены на рис. 67 (заливные кружки).

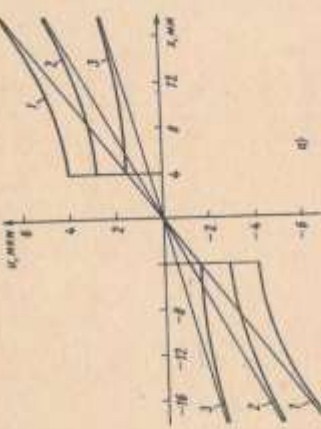


Рис. 70. Распределение полного смещения в образце с центральным круглым отверстием для трех уровней нагрузки ($J - J_0 = 30$ мкм; $2 - J_0 = 20$ мкм; $3 - J_0 = 10$ мкм): σ — в направлении σ_x ; δ — в направлении σ_y

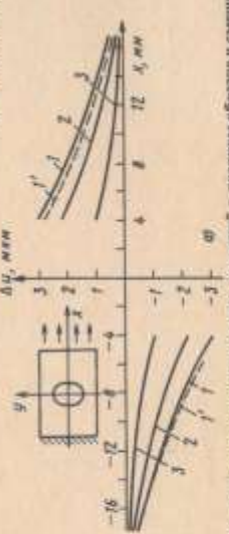


Рис. 71. Распределение равности симметрии в гильзах образцов и смещения в образце с центральным круглым отверстием ($J - J_0 = 30$ мкм; $2 - J_0 = 20$ мкм; $3 - J_0 = 10$ мкм): σ — в направлении σ_x ; δ — в направлении σ_y

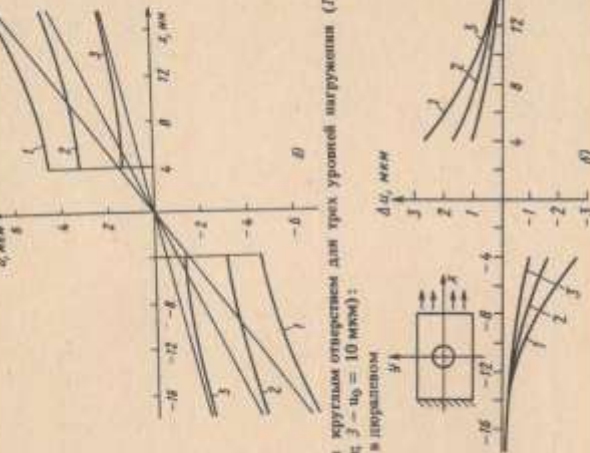


Рис. 72. Муар: а — интерферограммы растяжения дюралевых образцов с отверстием и без него; б — механического дифференцирования интерферограммы медного и дюралевого образцов (соответственно слева направо)

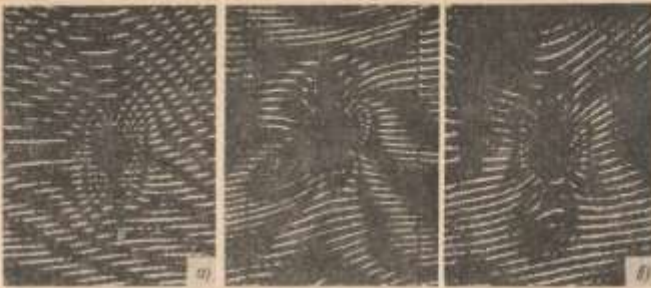
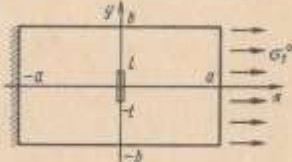


Рис. 73. Форма образца с центральным разрезом



Совпадение результатов удовлетворительное и находится в пределах формул (94).

Однородное растяжение пластины с центральным разрезом. Этот вид наложенного состояния является простейшим примером нагружения тел с трещинами (рис. 73). При исследовании напряжений и деформаций в таких задачах интерес представляют измерения полей смещений в окрестности разреза, формы раскрытия трещины, оценки для коэффициентов интенсивности и J -интеграла с учетом всех индивидуальных особенностей образцов. В рассматриваемом случае поля упругих напряжений и деформаций можно оценить по известному решению [48] для трещин в бесконечной пластине:

$$\sigma_{xx}(0, y) = \frac{l^2 \sigma_1^{\infty}}{\sqrt{y^2 - l^2}(2y + \sqrt{y^2 - l^2})} + \sigma_1^{\infty}; |y| > l, \quad (100)$$

где $2l$ — длина трещины; σ_1^{∞} — приложенные внешние напряжения (см. рис. 73). При этом трещина раскрывается в тонкий зазор. Смещения верхнего и нижнего берегов трещины

$$u(\pm l, y) = \pm \frac{2\sigma_1^{\infty}}{E} \sqrt{l^2 - y^2}, |y| \leq l. \quad (101)$$

Коэффициент интенсивности k_1 и J -интеграл имеют следующие значения:

$$k_1 = \sigma_1^{\infty} \sqrt{\pi l}, J = \frac{\pi l^2 \sigma_1^{\infty}}{E}. \quad (102)$$

Экспериментальное исследование этого вида нагружения проводилось на медных и дюралевых образцах размерами $80 \times 40 \times 0,5$ мм и $80 \times 40 \times$

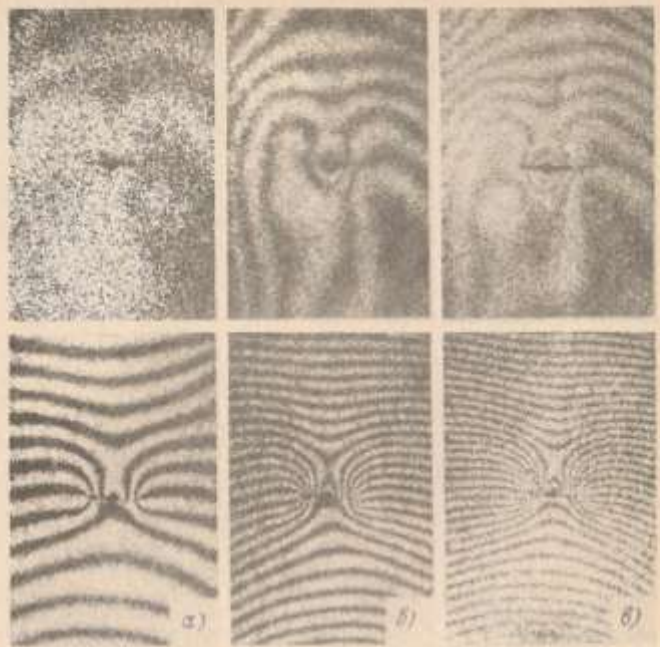


Рис. 74. Интерферограммы растяжения мордных образцов с центральным разрезом (верхний ряд восстановлен с голограммой GI , нижний — с $G2$), полученные для трех уровней нагружения:
 $a - u_0 = 10 \text{ мкм}; b - u_0 = 20 \text{ мкм}; c - u_0 = 30 \text{ мкм}$

$\times 0,8 \text{ мм}$ соответственно и длиной разреза $2L = 8 \text{ мм}$. Нагружение осуществлялось вытягиванием одного из концов образца. При этом общее смещение эндштоков составляло $u_0 = 10, 20, 30 \text{ мкм}$. Эквивалентные внешние напряжения σ_1^* оценивались по формуле (99).

При предварительном нагружении образцов для вытягивания начальных погибов возникала местная потеря устойчивости первоначальной плоской формы. Вследствие этого нормальная компонента смещения, вызванная изгибом, больше, чем при растяжении гладких образцов (рис. 74, 75).

По этим интерферограммам, как и в случае пластины с круглым отверстием, рассчитывались полные смещения за средней линии пластины (рис. 76, а, б) и разности смещений в гладких пластинах и смещений в пластинах с разрезом (рис. 77, а, б). Штриховыми линиями '1' на рис. 77 приведена зависимость разности смещений, полученная в результате рас-

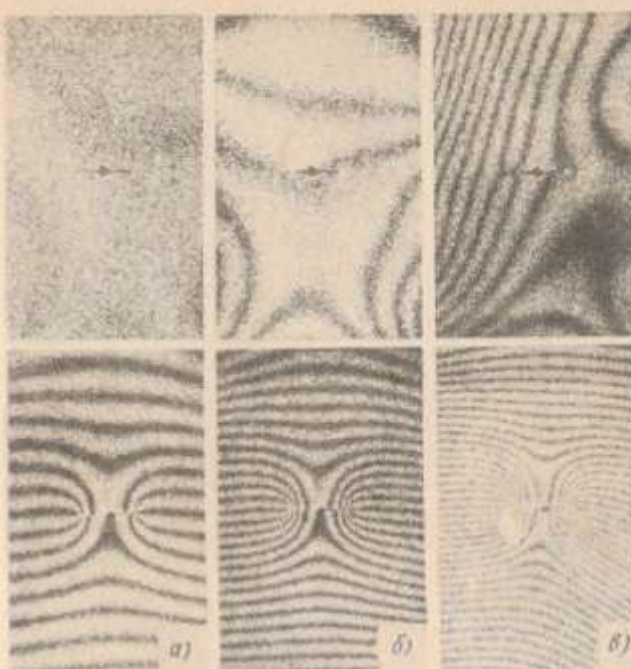


Рис. 75. Интерферограммы растяжения дюраевых образцов с центральным разрезом (верхний ряд восстановлен с голограммой GI , нижний — с $G2$), полученные для трех уровней нагружения:
 $a - u_0 = 10 \text{ мкм}; b - u_0 = 20 \text{ мкм}; c - u_0 = 30 \text{ мкм}$

шифровки муарограмм (рис. 78), образованных наложением интерферограмм нагружений гладкого образца и образца с разрезом. Видно, что совпадение результатов, полученных по интерференционным и муаровым картинам полос, находится в пределах точности формул (94). На рис. 79 различные значения показаны результаты обработки экспериментальных данных для формы раскрытия разрезов при нагружении. Для сглаживания непрерывной линии построены раскрытия в соответствии с расчетной формулой (101). Незначительное отличие раскрытия от эллиптического в окрестностях концов разреза вызвано пластичным течением в вершине. Для мордных, пластичных образцов это отличие больше, чем для более упругих дюраевых.

Коэффициент интенсивности напряжения k_1 можно оценить двумя способами: по длине разреза и уровне внешней нагрузки с помощью равенства

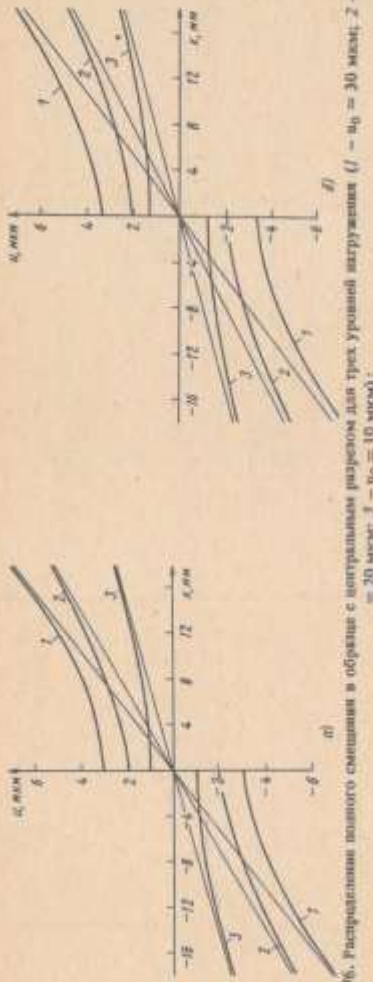


Рис. 76. Распределение нормального напряжения в образце с интегральным разрезом для трех уровней нагрузки ($U = u_0 = 30$ мкм; $2 - u_0 = 20$ мкм; $3 - u_0 = 10$ мкм):
 $\sigma = 0$ — неупр.; $\sigma = 10$ — упр.; $\sigma = 20$ — изогр.

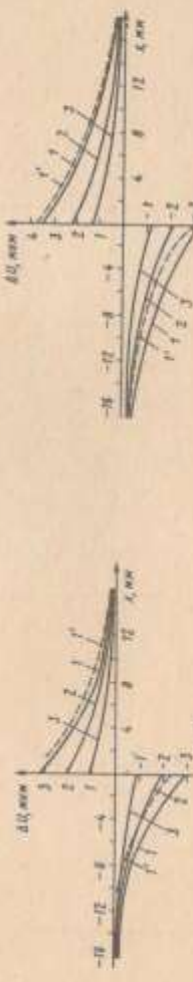


Рис. 77. Распределение разности статистической и интегральной об载и и сплошности в образце с интегральным разрезом для трех уровней нагрузки ($U = u_0 = 30$ мкм; $2 - u_0 = 20$ мкм; $3 - u_0 = 10$ мкм):
 $\sigma = 0$ — неупр.; $\sigma = 10$ — упр.; $\sigma = 20$ — изогр.

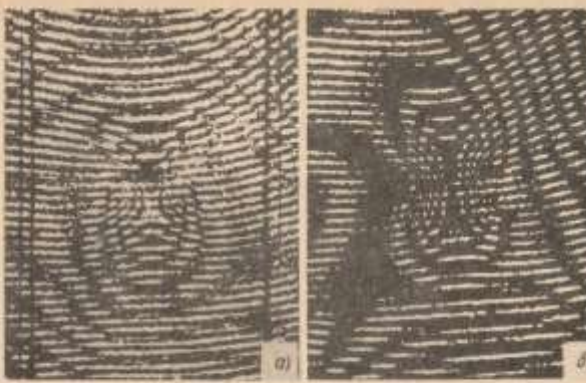


Рис. 78. Муар-интерферограммы растяжения образца с разрезом и без него для уровня нагружения $u_0 = 30$ мкм:
 a — медные образцы; b — диоралевые образцы

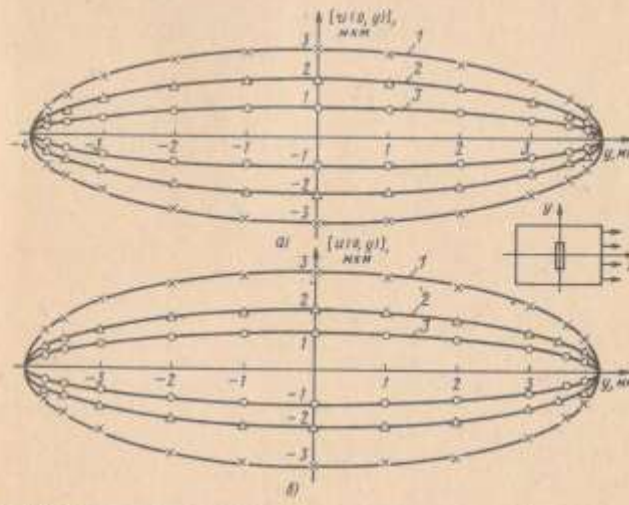


Рис. 79. Форма раскрытия разрезов для трех уровней нагрузки ($U = u_0 = 30$ мкм;
 $2 - u_0 = 20$ мкм; $3 - u_0 = 10$ мкм):
 a — медные образцы; b — диоралевые образцы

(102), а также по раскрытию разреза при нагружении в соответствии с формулой (101). Поскольку уровень внешних напряжений лежит между σ_{1H} и σ_{1H} (99), то первым способом получают верхнюю и нижнюю оценки коэффициента интенсивности, а истинное значение k_1 лучше определить вторым способом. Результаты расчетов по данным экспериментов приведены в табл. 6 (значения коэффициентов интенсивности указаны в МН/м^{3/2}).

Таблица 6

| Материал | $k_{1B} = \sigma_{1B} \sqrt{\pi l^3}$ | k_{1H} | $k_{1H} = \sigma_{1H} \sqrt{\pi l^3}$ |
|----------|---------------------------------------|----------|---------------------------------------|
| Медь | 1,57 | 1,68 | 1,99 |
| | 3,29 | 3,03 | 3,99 |
| | 4,78 | 5,32 | 5,98 |
| Дюраль | 1,06 | 1,30 | 1,33 |
| | 2,13 | 2,13 | 1,99 |
| | 3,29 | 3,43 | 2,99 |

Для медных образцов оценка коэффициента интенсивности по скачку смещений k_{1H} несколько больше сдвигнута в сторону верхней оценки k_{1B} , чем для дюралевых. Это вызвано более развитой зоной пластического течения в вершине разреза.

Сжатые по диаметру диск и кольцо. Для исследования этого вида нагруженного состояния образцы выполнялись из органического стекла ($r = 0,44 \pm 0,45$, $E = 2900 \pm 3500$ МН/м²). Если сосредоточенные силы равномерно распределены по толщине пластин с плотностью P (рис. 80), то смещения, деформации и напряжения можно оценить по известным решениям плоской задачи [48, 75]. При этом изгибные деформации не возникают.

Выбранная схема интерферометра (см. рис. 61, а) обеспечивала максимальную чувствительность к плоскостным компонентам вектора смещения, поскольку угол между направлениями наблюдения (или освещения) и нормалью к плоскости образца составлял 76°. Для определения смещений по картинам интерференционных полос (рис. 81, 82), восстановленных с голограмм $G1$ и $G2$, имеем уравнения:

$$r_k u(x, y) = \lambda N_k(x, y), k = 1, 2; N_k = 0, \pm 1, \pm 2, \dots \quad (103)$$

$$r_k = r_{k0} + r_{kH}, r_{kH} = r_{1,0} = i \cos 14^\circ + j \frac{r}{L} + k \sin 14^\circ,$$

$$r_{2H} = r_{2,0} = i(x/y) + j \cos 14^\circ + k \sin 14^\circ, \quad (104)$$

где r_{k0} и r_{kH} — орты направлений освещения и наблюдения для k -й интерферограммы; L — расстояние от центра образца до интерферограмм, которое в экспериментах составляло 0,8 м. Оценка сужения образца при нагружении, рассчитанная по формуле (95) для средней части диска ($x = 0$) будет

$$[w/l] \lambda \approx h w / (2 \lambda R), \quad (105)$$

Рис. 80. Сжатые по диаметру диск и круговое кольцо

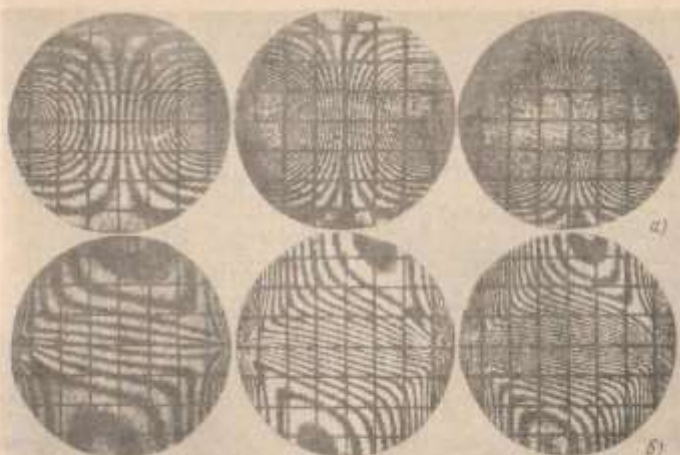
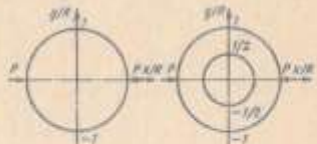


Рис. 81. Картинки интерференционных полос сжатого по диаметру диска при смещении, равном 15, 20, 50 мкм соответственно:
а — линии уровня поля $u(x, y)$; б — линии уровня $v(x, y)$

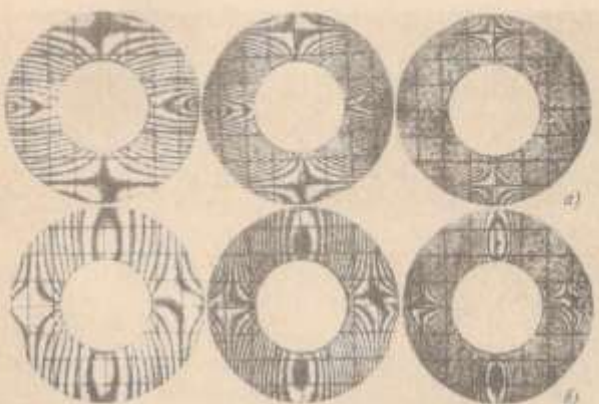


Рис. 82. Картинки интерференционных полос для сжатого по диаметру кругового кольца при смещении, равном 5, 15, 30 мкм соответственно:
а — линии уровня поля $u(x, y)$; б — линии уровня $v(x, y)$

где u_0 – взаимное смещение точек приложения нагрузки; $R = 37$ мм – радиус диска. Для менее жесткого кольца сужение будет меньше, чем для диска. Учитывая (104) и (105), уравнение (103) можно заменить следующими выражениями:

$$u = \frac{\lambda N_1}{2 \cos 14^\circ} = 0,265 N_1; \quad (106)$$

$$v = \frac{\lambda N_2}{2 \cos 14^\circ} = 0,265 N_2$$

при $\lambda = 0,5145$ мкм (длина волны аргонового лазера). Погрешность вычисления смещений в средней части образцов ($x, y < R/2$) не превышает $R/L = 0,05$.

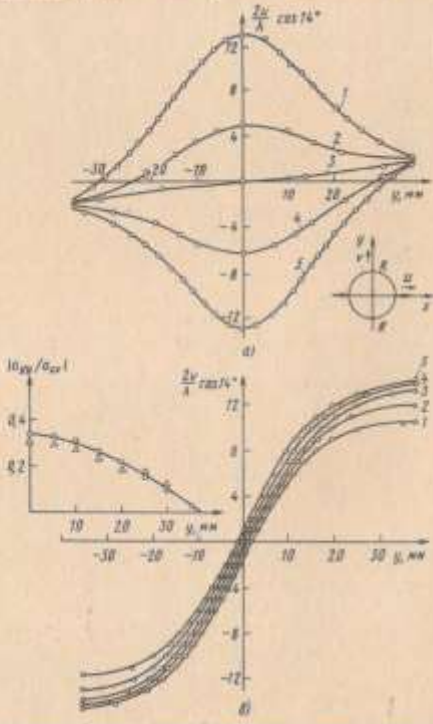


Рис. 83. Результаты расчета по интерферограммам диска, сжатого на 50 мкм сосредоточенными силами: (1 – $x = -10$ мм; 2 – $x = -5$ мм; 3 – $x = 0$; 4 – $x = 5$ мм; 5 – $x = 10$ мм);
а, б – нормализованные смещения u и v ; в – изменения отношения напряжений

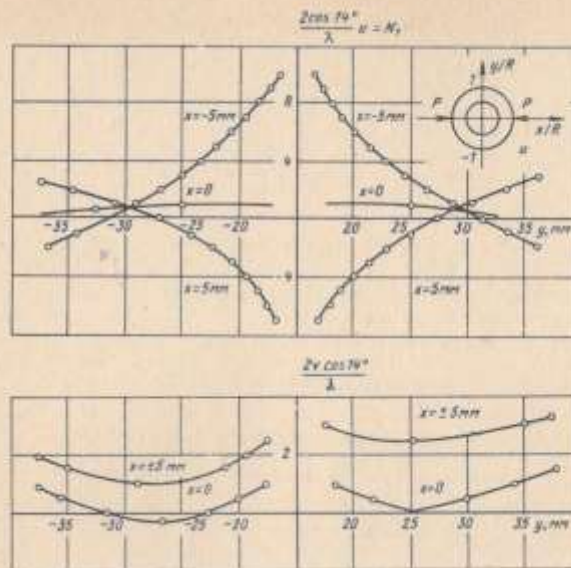


Рис. 84. Нормализованные смещения u и v в сжатом сосредоточенными силами кольце
(уровень нагружения $u_0 = 30$ мкм)

Нагружение осуществлялось сжатием между двумя плитами, смещение которых составляло $u_0 = 5, 15, 30, 50$ мкм. Некоторая асимметрия смещений диска вызвана его вращением вокруг точки приложения нагрузки, которое не удалось полностью устранить.

По кривым нормализованных смещений u и v для пяти сечений диска $x = 0, \pm 5, \pm 10$ мм (рис. 83, а, б) с помощью графического дифференцирования определяли деформации $\epsilon_{xx}(0, y)$ и $\epsilon_{yy}(0, y)$. Далее по ним подсчитывались упругие напряжения $\sigma_{xx}(0, y)$ и $\sigma_{yy}(0, y)$. Рассматривая график отношения этих напряжений $(\sigma_{xx}/\sigma_{yy})$, показанный на рис. 83, в, рассчитанный по точному решению [73] и данным эксперимента, видим, что расхождение результатов не превышает 5 %.

По графикам нормализованных смещений u и v (рис. 84) в трех сечениях кольца $x = 0, \pm 5$ мм при нагружении до уровня $u_0 = 30$ мкм подсчитывались деформации $\epsilon_{xx}(0, y)$ и $\epsilon_{yy}(0, y)$, а затем напряжение $\sigma_{xx}(0, y)$. Полученный таким образом график действующих напряжений $\sigma_{xx}(0, y)$ показан на рис. 85 непрерывной линией, а расчетная кривая [75] – штриховой. Сосредоточенная сила P , сжимающая кольцо, в экспериментах не измерялась. Это вызвало некоторую трудность при выборе масштаба рассчитанных по данным измерений u и v напряжений $\sigma_{xx}(0, y)$. Для предс-

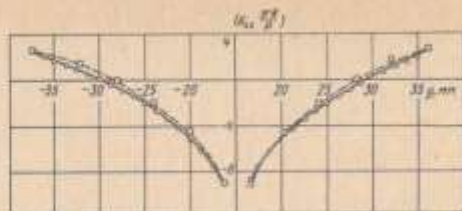


Рис. 85. Распределение напряжений $\sigma_{xx}(0, y)$ в склоне колеса

ленных этой трудности теоретическая и расчетная кривые действующих напряжений совмещались в одной точке $y/R = 0,5$. При этом расхождение этих краевых не превышало погрешности обработки данных измерений, состоящая 0,05 $\sigma_{xx}(0, R/2)$. Например, согласно точному решению $\sigma_{xx} = 0$ при $y/R = 0,8$, а по данным измерений при $y/R = 0,77$.

2. ИССЛЕДОВАНИЕ ДЕФОРМАЦИЙ ПЛАСТИН ПРИ ИЗГИБЕ

Особенности исследования поперечного изгиба

При изгибе пластин их состояние описывается одной скалярной функцией $w_0(x, y)$ — прогибом средней поверхности [74]. Но в экспериментах эту функцию невозможно измерять непосредственно, поскольку прямое измерение дает только значение смещения по боковой поверхности пластины. Если напряжения в исследуемом образце достаточно велики, чтобы вызвать заметное сужение $[w(x, y)]$, то прогиб $w_0(x, y)$ будет отличаться от нормальной компоненты смещения $w(x, y, \pm h/2)$ на боковых поверхностях. Это обстоятельство необходимо учитывать при исследовании изгиба образцов с концентраторами, поскольку в них распределение напряжений отличается большой неоднородностью и могут достигать значительных уровней. Для достаточно тонких пластин указанное обстоятельство можно не учитывать, исключая малые зоны очень больших концентраций напряжений, таких, как вершины трещин или окрестности угловых точек вырезов. В таких образцах прогиб с высокой степенью точности совпадает с нормальной компонентой смещения на боковой поверхности. Действительно, связь этих величин имеет следующий вид:

$$w(x, y, \pm h/2) = w_0(x', y') \pm h/2 \left(1 - \frac{1}{\sqrt{(1 + w_{0x}^2)(1 + w_{0y}^2)}}\right); \quad (107)$$

$$x' = x \pm \frac{hw_{0x}}{2\sqrt{(1 + w_{0x}^2)(1 + w_{0y}^2)}} = x \pm \frac{h}{2} w_{0x} + O(w_{0x}^2); \quad (108)$$

$$y' = y \pm \frac{hw_{0y}}{2\sqrt{(1 + w_{0x}^2)(1 + w_{0y}^2)}} = y \pm \frac{h}{2} w_{0y} + O(w_{0y}^2),$$

где $w_{0x} = \partial w_0 / \partial x$, $w_{0y} = \partial w_0 / \partial y$.

Рис. 86. Схема интерферометра для исследования поперечного изгиба пластины

Отсюда видно, что с точностью до малых второго порядка w_{0x} и w_{0y} можно не делать различий между $w(x, y, \pm h/2)$ и $w_0(x', y')$. Кроме того, если интересуются только напряжениями и деформациями, т.е. производными разных порядков от прогиба $w_0(x, y)$, то оказывается несущественными и различия в аргументах функций в выражении (107). Например, для Δx и $\Delta x'$ в соответствии с формулой (108) получаем

$$\Delta x' = \Delta x \left[1 \pm \frac{h}{2} \frac{\partial^2 w_0}{\partial x^2} + O(w_{0x}^2) + O(\Delta x)\right] \approx \Delta x_0. \quad (109)$$

Таким образом, для вычисления напряжений при изгибе достаточно тонких пластин можно заменить прогиб средней поверхности $w_0(x, y)$ нормальной компонентой смещения боковой поверхности пластины $w(x, y, \pm h/2)$. Учитывая это, будем опускать индекс 0 при изгибе $w_0(x, y)$, отождествляя его с $w(x, y, \pm h/2)$.

Экспериментальное исследование поперечного изгиба удобнее всего проводить методом голографической интерферометрии. В этом случае чувствительность интерферометра максимальна, а схема наиболее проста (рис. 86). При достаточно больших расстояниях между пластиной и голограммой Γ и малой кривизне освещающего пучка можно считать постоянными направления освещения и наблюдения по всей пластине. Тогда записанные картины интерференционных полос будут представлять собой линии уровня прогиба

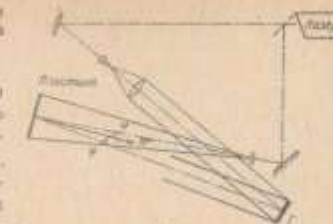
$$w(x, y) = \frac{x}{2 \cos \psi} N(x, y), \quad (110)$$

где N — порядок интерференционных полос; ψ — угол между направлением нормали \vec{n} и направлением наблюдения или освещения (см. рис. 86). Если угол ψ мал, то цена интерференционной полосы минимальна и равна $\lambda/2$.

В пропеллерных экспериментах расстояние от образца до голограммы и радиус кривизны освещавшего пучка имели порядок 10^3 мм. Образцы представляли собой прямоугольные пластины размером 120×100 мм и изготавливались из листов стали ($E = 2 \cdot 10^5$ МПа, $\nu = 0,35$) и органического стекла ($E = 2900 \pm 3500$ МПа, $\nu = 0,44$) толщиной 1 и 3 мм соответственно.

Результаты экспериментов

При проведении описываемых ниже экспериментов преследовались две цели. С одной стороны, получать наглядные иллюстрации некоторых общих закономерностей поперечного изгиба тонких пластин, а с другой — проде-



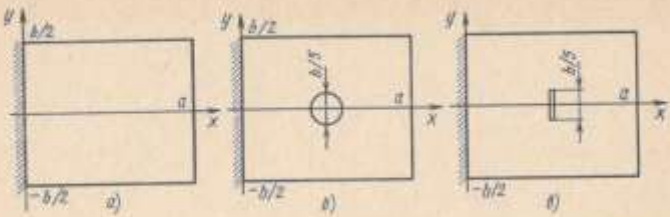


Рис. 87. Образцы для исследования изгиба консольных пластин ($a = 120$ мм, $b = 100$ мм):
а – сплошная пластина; б – пластина с отверстием; в – пластина с разрезом

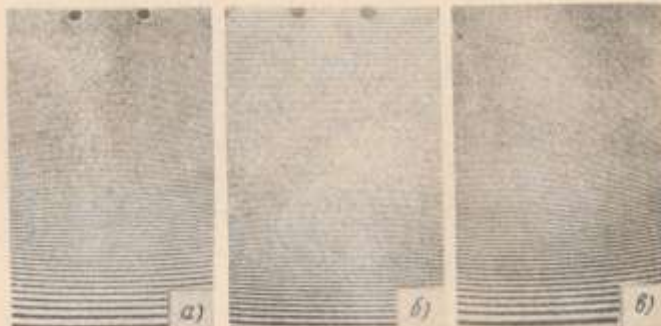


Рис. 88. Картинки интерференционных полос при изгибе гладких консольных пластин:
а – стальной образец без подкрепления;
б – стальной образец с ребром жесткости;
в – образец из органического стекла без подкрепления

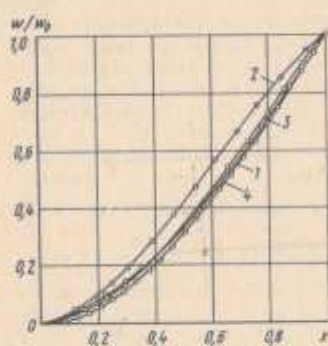


Рис. 89. Зависимости прогиба на средней линии образцов:
1 – рассчитанные по формуле (111); 2 – для стального образца; 3 – для стального образца с подкреплением; 4 – для образца из органического стекла

демонстрировать относительную легкость получения результатов методами голографической интерферометрии. Выбор в качестве объекта исследования консольных пластин определялся в основном простотой устройства нагружения.

Простейший вид нагружения консольных пластин – это изгиб прямоугольной сплошной пластины (рис. 87, а) сосредоточенной на свободном правом ($x = a$) краю нагрузкой. Распределение прогиба по полю образца можно оценить по известному уравнению изгиба [74], принимая в нем $w(x, y) = w(x)$.

Это соответствует работе пластины как балки. Функция $w(x)$ имеет вид

$$w(x) = \frac{3w_0}{2} \left(\frac{x^2}{a^2} - \frac{1}{3} \frac{x^3}{a^3} \right), \quad (111)$$

где w_0 – смещение правого свободного конца балки. В действительности изогнутая в x -направлении пластина будет изогнута и в y -направлении за счет коэффициента Пуассона, отражающего взаимосвязь деформаций в разных направлениях. В связи с этим она принимает форму седловидной поверхности и функция (111) описывает прогиб очень приближенно. На первый взгляд может показаться, что аппроксимация $w(x, y)$ функции (111) будет более точной, если зависимость прогиба от y исключить, подкрепляя пластину ребром жесткости на конце $x = a$. Тогда подкрепленный конец будет смещаться как жесткое целое: $w(a, y) = w_0$. Форма изогнутой поверхности пластины с ребром жесткости значительно слабее зависит от y , чем форма такой же пластины без подкрепления. Оценивая функция (111) аппроксимирует ее еще хуже.

Описанные особенности легко обнаруживаются и в экспериментах. На фотографиях типичных картин интерференционных полос, полученных при нагружении образцов с подкреплением и без него до уровня $w_0 = 25$ мкм (рис. 88), видно, что интерференционные полосы, представляющие собой линии уровня прогиба, изогнуты по краям пластины так же, как и должно быть для седловидной поверхности. Причем их изгиб больше для образца из органического стекла, отличающегося более высоким значением коэффициента Пуассона, и существенно меньше для стальной пластины, подкрепленной ребром жесткости. Рассматривая форму прогиба на средней линии $y = 0$ этих образцов (рис. 89), видим, что подкрепленный образец изгибается даже качественно иначе, чем образцы без подкрепления. Примерно в точке $x/a = 2/3$ отчетливо наблюдается перегиб кривой $w(x, 0)$. В этом месте пластины изгибающие моменты исчезают, а напряжения оказываются наименьшими. Подкрепляющее действие ребра жесткости, как будет видно далее, окажется еще более эффективным при изгибе образцов с концентраторами напряжений.

Детали поведения разных образцов относительно трудно проследить непосредственно по картинам интерференционных полос. Они становятся наглядными, если образовать разностный мурз, который дает количественную информацию о различиях сравниваемых картин полос. Для этого необходимо наложить друг на друга две системы интерференционных полос. Полученные при этом муаровые линии являются линиями уровня разности прогибов, отвечающих исходным интерференционным картинам (рис. 90). На

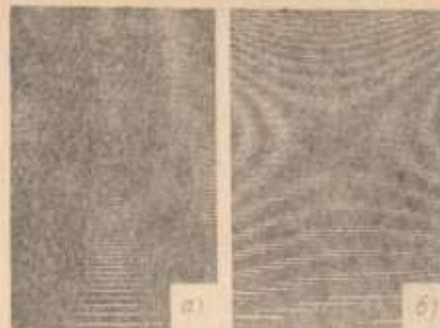


Рис. 90. Муар разности прогибов сплошных косоуальных пластин:
а – разность прогибов в стальном образце и образце из органического стекла; б – разность прогибов в сплошных образцах с подкреплением и без него

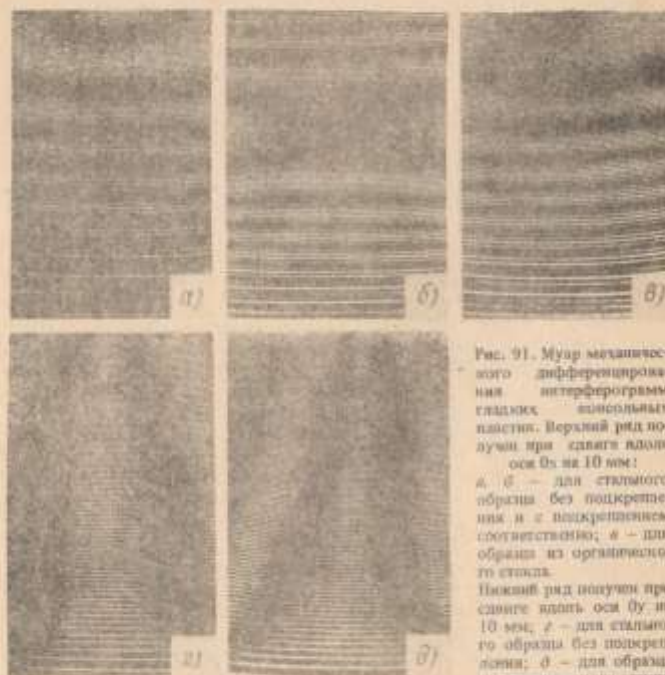


Рис. 91. Муар механического дифференцирования интерферограмм гладких косоуальных пластин. Верхний ряд получены при сдвиге плоскости Оy на 10 мм:
а, б – для стального образца без подкрепления и с подкреплением соответственно; в – для образца из органического стекла.
Нижний ряд получены при сдвиге плоскости Оy на 10 мм; г – для стального образца без подкрепления; д – для образца из органического стекла.

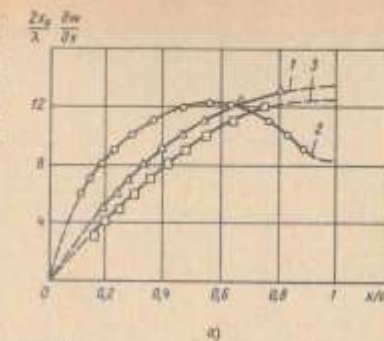


Рис. 92. Зависимости, построенные на средней линии сплошных косоуальных пластин (1 – стальной образец без подкрепления; 2 – образец с ребром жесткости; 3 – образец из органического стекла):
а – угол наклона касательных $\partial w/\partial x$; б – кривизны $\partial^2 w/\partial x^2$

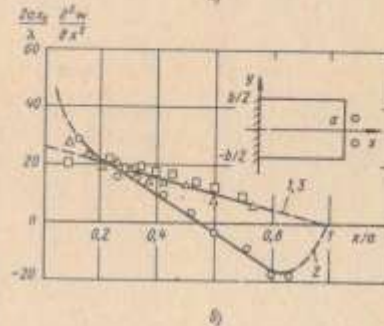
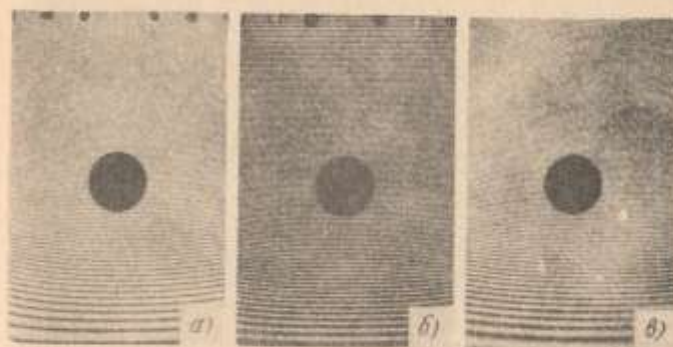


Рис. 93. Картинки интерференционных полос при изгибе косоуальных пластин с круглым отверстием:
а – стальной образец без подкрепления; б – стальной образец с ребром жесткости на конце х = а; в – образец из органического стекла



фотографиях видно, что изгиб в у-направлении образца из органического стекла сильнее, чем стального, с меньшим коэффициентом Пуассона ($\nu = 0,44$ и $0,35$ соответственно). А точка перегиба кривой $w(x, 0)$ пластины с ребром жесткости в действительности является гиперболической точкой функции $w(x, y)$.

Дифференциальный муар позволяет непосредственно наблюдать линии уровня частных производных прогиба. Этот вид муара получается при наложении двух идентичных интерференционных картин со сдвигом в выбранном направлении. Например, на рис. 91 приведена картина типичных муаровых полос, представляющих собой линии уровня частных производных $w(x, y)$ вдоль координатных осей: $\partial w / \partial x$ и $\partial w / \partial y$. На этих фотографиях также отчетливо прослеживаются все указанные выше особенности изгиба разных образцов. Последующее графическое дифференцирование кривых, построенных для $\partial w / \partial x$ на средней линии (рис. 92), дает возможность восстановить деформацию $\epsilon_{xx}(x, 0)$, а также оценить момент $M_{xx}(x, 0)$, пропорциональный ϵ_{xx} . На рис. 92, видно, что ребро жесткости действует как сосредоточенный на конце $x = a$ изгибающий момент. Именно с этим связано ухудшение аппроксимации функцией (111) поля прогибов $w(x, y)$ подкрепленной пластины.

Затем были исследованы образцы с центральным круглым отверстием (см. рис. 87, б). Причем, как и в предыдущем случае, было взято два стальных образца, с подкреплением и без него, и образец из органического стекла.

На картинах интерференционных полос, полученных при нагружении до уровня $w_0 = 25 \text{ мкм}$ (рис. 93), вновь легко прослеживаются и подкрепляющее ребра жесткости, и увеличение кривизны в у-направлении образца из органического стекла по сравнению со стальным. Эти эффекты еще заметнее на муаровых картинах (рис. 94 и 95). Разностный муар на рис. 94 позволяет сравнить прогибы в образцах с отверстием и без него. После прогибов пластины с отверстием всегда может быть представлено в виде суммы двух частей: $w_1(x, y)$ — прогиба пластины без отверстия, нагруженной так же, как и исходный образец, и $w_2(x, y)$ — возмущения, вносимого отверстием,

$$w(x, y) = w_1(x, y) + w_2(x, y). \quad (112)$$

Зная значение $w_2(x, y)$, можно оценивать степень концентрации напряжений около отверстия. Разностный муар (см. рис. 94) позволяет непосредственно наблюдать функцию $w_2(x, y)$ и дает ее количественную оценку. Показанный на рис. 94 муар получился наложением интерференционных полос для образцов без отверстия (см. рис. 88) и с отверстием (см. рис. 93), поэтому он определяет разность прогибов, отвечающих сравниваемым интерференционным картинам. Эти разности являются возмущением $w_2(x, y)$, вносимым отверстием. Видно, что в пластине с ребром жесткости не возникает концентрации напряжений, поскольку возмущение $w_2(x, y)$ практически одинаково по ширине и представляет собой в основном жесткий поворот средней части образца. Так что в этом случае отверстие не вызывает значительного перераспределения прогиба, хотя и делает пластину менее жесткой.



Рис. 94. Разностный муар интерференционных картин образцов с отверстием и без него:
а — стальные образцы без ребра жесткости; б — стальные образцы с подкреплением;
в — образцы из органического стекла.



Рис. 95. Муар механического дифференцирования интерферограмм консольных пластин с круглым отверстием. Верхний ряд получен при сдвиге ядровой оси Oy на 10 мм:
а, б — для стального образца без подкрепления и с подкреплением соответственно; в — для образца из органического стекла.
Нижний ряд получен при сдвиге ядровой оси Oy на 10 мм:
г — для стального образца без подкрепления; д — для образца из органического стекла.

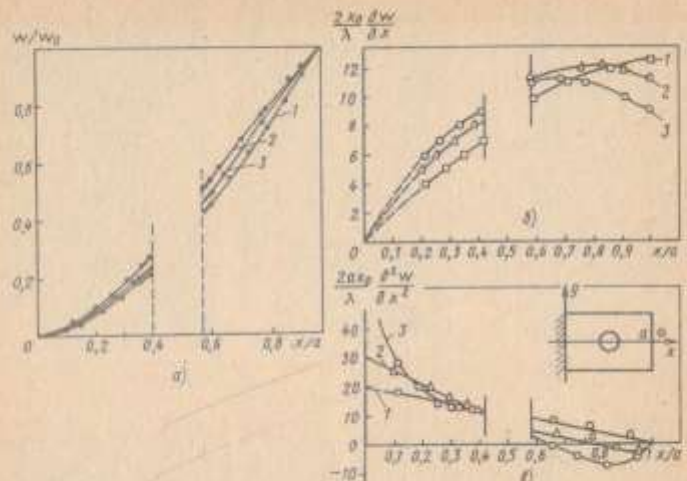


Рис. 96. Кривые распределения на средней линии образцов с центральным круглым отверстием (1 – образец из органического стекла; 2 – стальной образец без подкрепления; 3 – стальной образец с ребром жесткости); x – прогиб; b и c – их производные.

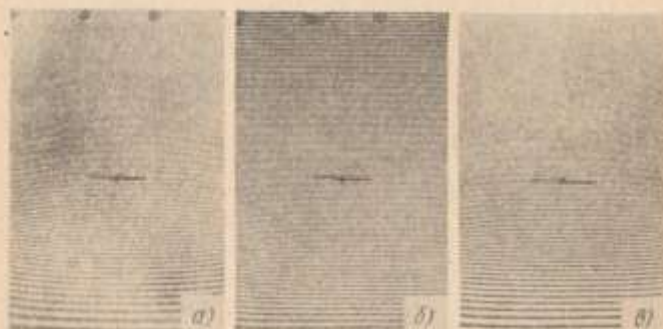


Рис. 97. Интерференционные картины для консольных пластин с центральным разрезом:
х – стальной образец без подкрепления; б – стальной образец с ребром жесткости из конца $x = \lambda$; в – образец из органического стекла

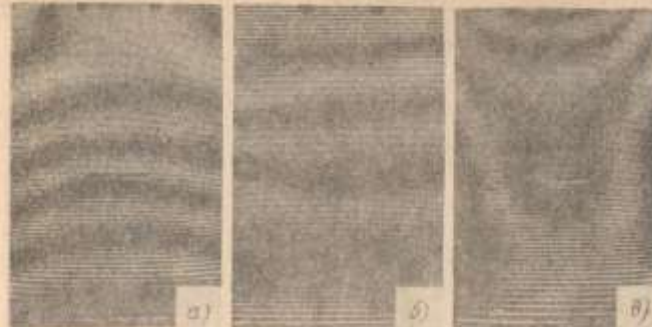


Рис. 98. Разностный муар прогибов в образцах с разрезом и без него ($w_0 = 25$ мкм):
а – стальной образец без подкрепления; б – стальной образец с ребром жесткости из конца $x = \lambda$; в – образец из органического стекла

Возмущения $w_2(x, y)$ в образцах без подкрепления также отличаются между собой, что позволяет проследить влияние изменения толщины и коэффициента Пуассона.

Дифференциальный муар на рис. 95 дает информацию о частных производных $\delta w/\delta x$ и $\delta w/\delta y$ поля прогиба. В свою очередь, изменение шага муаровых полос на этих картинах определяет кривизну $\delta^2 w/\delta x^2$, $\delta^2 w/\delta y^2$, $\delta^2 w/\delta x\delta y$, связанные с моментами напряжений по закону Гука. На рис. 95 очевидно видно, что ребро жесткости полностью снимает концентрацию деформаций (и моментов) около отверстия, в то время как в образцах без подкрепления коэффициент концентрации момента M_{xx} колебается от 1,3 для стальной пластины до 1,5 для пластины из органического стекла.

Распределения прогибов и их производных $\delta w/\delta x$ и $\delta w/\delta y$ на средней линии образцов (рис. 96) еще раз иллюстрируют подкрепляющее влияние ребра жесткости и отличия в работе стальной пластины из органического стекла.

Указанные особенности изгиба образцов с отверстием сохраняются в полной мере и для пластин с центральным разрезом (см. рис. 87, а). Как и ранее, были исследованы две стальные пластины, одна из которых имела ребро жесткости из свободном конце $x = \lambda$ и пластина из органического стекла без подкрепления.

На "чистых" интерференционных картинах (рис. 97), картинах разностного (рис. 98) и дифференциального (рис. 99) муара видно, что ребро жесткости вновь разгружает пластину, полностью снимая концентрацию напряжений около разреза. А в образце из органического стекла на берегах разреза наблюдается скачок смещений, значение которого меньше чем $\lambda/2$, и связи с чем его не удалось оценить количественно. Для наблюдения скачка был получен разностный муар (рис. 100) одной и той же интерференционной картины для образца из органического стекла с разворотом ее на 180° .



Рис. 99. Муар механического дифференцирования интерферограмм консольных пластин с центральным разрезом. Верхний ряд получен при сдвиге вдоль оси $0x$ на 10 мм:

a, б – для стального образца без подкрепления и с подкреплением соответственно; *в* – для образца из органического стекла.

Нижний ряд получен при сдвиге вдоль оси $0y$ на 10 мм:

г – для стального образца без подкрепления; *д* – для образца из органического стекла



Рис. 100. Муар разности прогибов $w(x, y)$ и $w(a - x, y)$ для пленки газового образца с центральным разрезом

вокруг центра трещины. Это позволило визуализировать скачок прогиба, так как сравнивались функции $w(x, y)$ и $w(a - x, y)$. Видно, что разрез охватывает замкнутая муаровая полосы, вызвать которую может только скачок прогиба.

Показанные на рис. 101 распределения прогибов и их производных по средней линии образцов с разрезами иллюстрируют различное поведение трех образцов.

Таким образом, представленные результаты экспериментов по изгибу

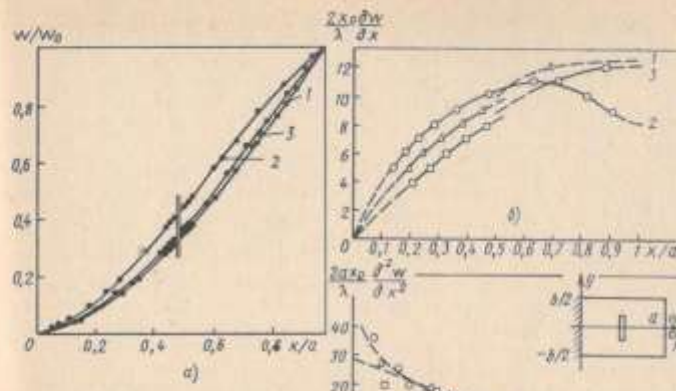


Рис. 101. Распределения на средней линии образцов с центральным разрезом:

а – прогибов; *б, в* – их производных;

1 – стальной образец без подкрепления; *2* – стальной образец с ребром жесткости;

3 – образец из органического стекла без подкрепления

консольных пластин показывают, что во всех случаях ребро жесткости на свободном конце $x = a$ разгружает среднюю часть образцов, снимая концентрацию напряжений из отверстиях. Эффекты концентрации усиливаются при увеличении толщины или коэффициента Пуассона. Все это относительно легко наблюдается при исследовании методами голографической интерферометрии, которые позволяют измерять поле прогиба одновременно и бесконтактно по всему образцу с интерферометрической точностью и высокой чувствительностью. Более того, методы голографической интерферометрии эффективнее именно при исследовании поперечного изгиба, и их применение в этой области весьма перспективно.

3. ИСПОЛЬЗОВАНИЕ ГОЛОГРАФИЧЕСКИХ МЕТОДОВ ДЛЯ НЕРАЗРУШАЮЩЕГО КОНТРОЛЯ

Суть голографического неразрушающего контроля состоит в том, что место локализации дефекта определяется по аномалиям картины интерференционных полос [20]. Например, если голограмма записывается методом двух экспозиций, то для обнаружения сквозной трещины длиной 1 мм в стальном листе к нему надо приложить растягивающие напряжения приблизительно нескольких десятков мегапаскалей. Типичный вид картин интерференционных полос такой же, как на рис. 74 и 75.

Внутренние дефекты также могут быть обнаружены, если они вызыва-



Рис. 102. Интерферограмма сферической оболочки при нагрузке внутренним давлением.



Рис. 103. Интерферограмма сферической оболочки при большем уровне нагружения по сравнению с интерферограммой, показанной на рис. 102.

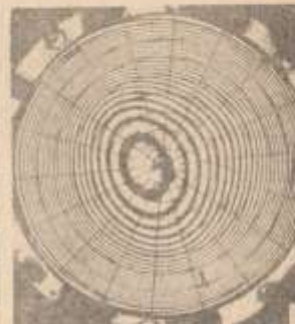
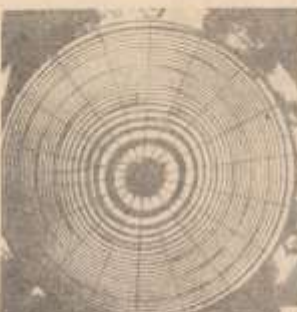


Рис. 104. Картинки интерференционных полос диска при изгибе:
а - отсутствует дефект; б - присутствует дефект; в - муровая картина при наложении первых двух картин.

ют достаточно сильное возмущение поля смещений (а значит, и интерференционной картины) из наблюдаемой поверхности образца. Рассмотрим, например, интерферограммы одинаковой сферической оболочки при разных уровнях нагружения внутренним давлением (рис. 102, 103). На внутренней поверхности сферы были нанесены два надреза и одно отверстие глубиной примерно на половину толщины оболочки. На рисунках видно, что дефекты четко проявляются в аномалиях картин интерференционных полос. Следует отметить, что важную роль при выявлении дефектов играет уровень нагрузки, причем большая нагрузка не всегда приводит к лучшему выявлению дефекта. Это, в частности, видно из сравнения рис. 102 и 103. Несмотря на меньшую нагрузку, аномалии полос вокруг дефектов на рис. 102 более существенны.

Следует иметь в виду, что возмущение поля перемещений, вызванное дефектом, существенно зависит от его ориентации по отношению к приложенной нагрузке и места расположения в исследуемом образце. Поэтому чаще дефекты проявляются лишь в искривлении и незначительном изменении шага полос. Это существенно затрудняет задачу их обнаружения и локализации непосредственно по интерференционным картинам. В таких случаях большего успеха можно добиться, наблюдая возмущение поля перемещений по муровой картине, что дает возможность надежно выявить дефект.

Рассмотрим теперь картину интерференционных полос (рис. 104) для круглого, защемленного по окружности диска при изгибе его равномерно распределенной нормальной нагрузкой (диаметр диска 200, толщина 4 мм, материал дюраль). Видно, что полосы представляют собой семейство концентрических круговых колец (рис. 104, а), значит, диск не имел никаких заметных дефектов. Затем на него были нанесены три надреза глубиной 0,7 и длиной 40, 10, 5 мм. Интерференционная картина, записанная при том же уровне нагружения, что и первая, показана на рис. 104, б. Здесь полосы уже не являются круговыми концентрическими колышами. Однако по этой картине можно лишь утверждать, что в диске есть какое-то дефекты, но нельзя указать места их расположения. Муровые полосы (рис. 104, в), полученные при наложении первых двух картин (рис. 104, а, б), окружают места локализации дефектов и дают тем самым возможность уверенно их обнаружить.

Другой пример решения качественной задачи — получение интерференционных полос, являющихся изобатами. Такие интерферограммы записывают с нормальным направлением. В этом случае изобаты по существу совпадают с изопахиями. Для проверки этого утверждения был поставлен специальный эксперимент по взаимодействию жесткого штампа в упругую пластину на жестком основании. Сужение пластины в этом эксперименте можно оценить по известным формулам плоской контактной задачи [48].

$$[w(x, y)] = -\frac{2h\nu Q}{\pi E} \frac{\partial}{\partial y} \ln \frac{2\rho}{z} = \frac{2h\nu Q}{\pi E} \ln \frac{1}{\sqrt{z^2 - 1}}; \quad (113)$$

где $\rho = \sqrt{zz'}$; $z' = z - \sqrt{z^2 - 1}$; $z = x + iy$.

Эта задача интересна тем, что здесь, кроме плавного изменения толщины пластины вдали от подошвы штампа, где изобаты приближаются к окруж-

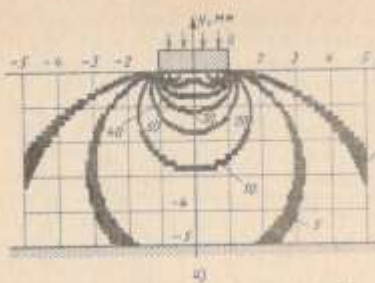


Рис. 105. Картинка интерференционных полос:
— полученный расчетом по формуле (113); 0 — в эксперименте.

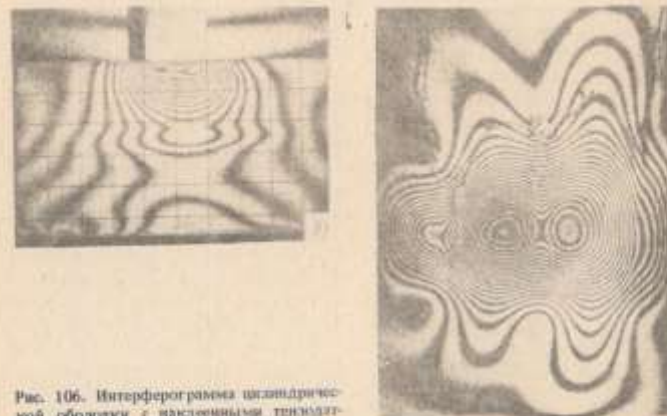


Рис. 106. Интерферограмма цилиндрической оболочки с наклеенными тензодатчиками.

постям, как и в задаче Фламана [48], есть и резкое изменение в окрестности штампа. Форма изобат, рассчитанных по формулам (113) для полубесконечной пластины, показана на рис. 105, а. Номера полос, указанные на рисунке, соответствуют некоторому произвольному масштабированию сужения, выбранному из удобства счета. В силу линейности задачи это не может изменить форму изобат. На рис. 105, б приведена голографическая интерферограмма, полученная методом двух экспозиций с нормальным направлением к плоскости объекта. Полосы представляют собой линии одинакового уровня нормальной компоненты смещения $w(x, y)$. Сравнение полос на рис. 105, а и б позволяет сделать вывод о возможности использования голографической интерферометрии для решения подобных задач.

Голографические методы, являясь высокочувствительными и бесконтактными, позволяют в ряде случаев оценивать применимость других методов исследования, например тензометрии. Тензодатчики, наклеиваемые

на объект, могут изменять поле деформаций. Их нагрев при прохождении тока вызывает дополнительные температурные деформации. Эти факторы приходится учитывать, особенно если исследуются напряженно-деформированные состояния тонких оболочек. Так, интерферограмма тонкой стальной цилиндрической оболочки (толщина 0,15 мм) с навстречными на ее поверхность тремя тензодатчиками (рис. 106) получена методом двух экспозиций: одна, когда датчики обесточены; вторая — при прохождении тока через тензоэлементы. Картина полос характеризует температурные деформации, вызванные локальным нагревом в местах крепления датчиков. Это вызывает искажения результатов тензометрирования.

Приведенные примеры иллюстрируют возможности решения качественных задач голографическими методами. Для получения количественной информации необходимы обработка и расшифровка интерферограмм, которые рассмотрены ниже.

4. ОБРАБОТКА ИНТЕРФЕРОГРАММ В ГОЛОГРАФИЧЕСКИХ ИЗМЕРИТЕЛЬНЫХ СИСТЕМАХ

В гл. 2 и 3 показано, что основные резервы дальнейшего повышения точности голографических измерений заключаются в снижении погрешности отсчета дробной доли полосы.

Возможны два пути снижения этой погрешности: за счет схемных решений и посредством обработки интерферограмм на ЭВМ.

Рекомендации по снижению уровня пространственных шумов в изображении схемным путем, которые могут быть даны на основании результатов, полученных в п. 4 гл. 2, сводятся в простейшем случае к приближению голограммы к исследуемому объекту, увеличению ее апертуры и диаметра сканирующей диафрагмы. Добраться требуемого результата таким путем удастся не всегда. Это связано с тем, что увеличение апертуры голограммы и ее приближение к объекту приводят к росту погрешности определения вектора смещения, а увеличение сканирующей диафрагмы ограничено наименьшим расстоянием между интерференционными полосами для обеспечения неискаженного ввода исследуемого изображения.

Другими словами, требования снижения погрешности отсчета дробных долей полос и погрешности определения компонент (или модуля) вектора смещения, обусловленной геометрией схемы интерферометра, являются противоречивыми, поэтому схемы интерферометра, учитывающие все требования, часто не дают возможности получить удовлетворительную погрешность определения векторов смещений или деформаций. В таком случае целесообразно работать со схемой, имеющей оптимальную геометрию, а уровень пространственных шумов снижать обработкой изображений на ЭВМ. С практической точки зрения это правильно еще и потому, что в изображении, введенном в память ЭВМ, кроме шумов, обусловленных шероховатостью исследуемого объекта и когерентными свойствами освещивающего источника, дающих основной вклад в погрешность, присутствуют шумы, обусловленные характеристиками регистрирующего голограмму материала (нелинейность записи, зернистость, усадка фотомультилайнеров и др.) и электрон-

ными целями устройства. Кроме того, изображение содержит низкочастотный шум, обусловленный как оптическими свойствами и геометрией поверхности исследуемого объекта, так и неравномерностью интенсивности в сечениях освещающих и опорных пучков и их возможными вариациями.

Для решения вопроса о выборе способа обработки бывает целесообразно оценить статистические характеристики шума в анализируемых интерферограммах. Рассмотрим этот процесс на примере анализа статистических характеристик поля яркости, часто называемого спектр-структурой восстановленного с голограммы изображения (рис. 107).

Образцом служила японская металлическая пластина с шероховатой поверхностью. Для ввода изображения было использовано электромеханическое устройство, а обработка данных велась с помощью комплекса на базе микроЭВМ "Электроника-60". Результаты расчета статистических характеристик поля яркости изображения приведены на рис. 108. Они выведены из ЭВМ на фотопленку с помощью устройства микрофильмирования "Карат". Вверху показан результат сканирования изображения в 512 точках вдоль выбранного направления (1,77 и 4,27 соответственно минимальное и максимальное значения). Апертура голограммы $a = 1,7 \text{ мм}$, а диаметр сканирующей диафрагмы $d = 50 \text{ мкм}$. Слева внизу приведена корреляционная функция, а справа — спектр мощности яркости изображения.

Сравнивая теоретические (п. 4 гл. 2) и экспериментальные результаты при определении средней яркости изображения (рис. 109), можно считать совпадение вполне удовлетворительным. На рис. 109 различными знаками показаны экспериментальные результаты, полученные для трех значений сканирующей диафрагмы d , а кривая соответствует теоретическим результатам. Рассматривая зависимость относительной дисперсии яркости от сканирующей диафрагмы и диаметра воссоздаваемого пучка (рис. 110), видим, что уровень шумов падает с увеличением как апертуры голограммы, так и сканирующей диафрагмы. Полученные результаты служат для принятия решения о целесообразности обработки изображений.

Анализ спектра мощности спектр-структуры, имеющейся помехой в интерферограмме, позволяет заключить, что для увеличения отношения сигнал/шум может быть весьма эффективной частотная фильтрация, так как спектр сигнала обычно уже спектра помехи. Рассмотрим результаты частотной фильтрации смеси синусоидального сигнала с "белым" шумом (рис. 111), реализованной с помощью быстрого преобразования Фурье (БПФ). Видно, что средний контраст интерференционной картины с ростом дисперсии шума, которая зависит от шероховатости поверхности σ_s , падает, но независимо от уровня шумов после фильтрации уверенно различаются не только экстремумы полос, но и их доли, так как характер сигнала позволил применить узкополосный фильтр.

Другая возможность увеличения отношения сигнал/шум заключается в цифровом интегрировании суммы постоянного сигнала и флюктуационной помехи. Известно, что осреднение в результатов измерения постоянной величины, выполненных с интервалом, превышающим интервал корреляции шума, снижает дисперсию среднего в n раз. Оценим требуемое число измерений n по голографической интерферограмме.



Рис. 107. Спектр-структура восстановленного с голограммы изображения

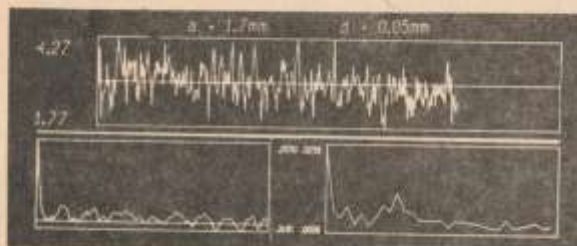


Рис. 108. Статистические характеристики поля яркости изображения



Рис. 109. Теоретические и экспериментальные результаты относительной средней яркости изображения без вноса от относительного разрешения оптической системы:
○ — при $d = 10 \mu\text{мкм}$; ▲ — при $d = 50 \mu\text{мкм}$; × — при $d = 100 \mu\text{мкм}$

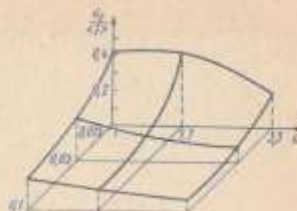


Рис. 110. Зависимость относительной дисперсии яркости от размера соптимизированной диафрагмы и диаметра восстановленного пучка

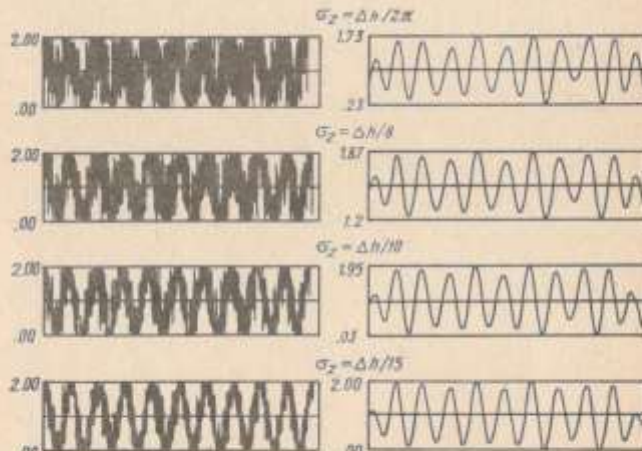


Рис. 111. Частотная фильтрация смеси синусоидального сигнала с "белым" шумом

Относительная дисперсия шума голограммического изображения, определяемая экспериментально, имеет значение $\sigma_1 = 0.15$ (см. рис. 108), что соответствует $V = 0.9$. Согласно рис. 20 погрешность ΔN , отнесенная к одной полосе, при этом составляет $\sim 15\%$.

Обеспечение относительной погрешности, равной не более 5 %, потребует контраста интерференционной картины $V = 0.95$, что соответствует относительной дисперсии яркости $\sigma_1^* = 0.025$. Для получения такого уменьшения погрешности нужно провести и измерений.

$$n = \left(\frac{\sigma_1}{\sigma_1^*}\right)^2 = \left(\frac{0.15}{0.025}\right)^2 = 36.$$

Рис. 112. Топограммы наклонной плоскости в усечном конусе

При проведении п различных измерений постоянного значения яркости необходим правильный выбор точек отсчета. Они должны лежать на линии равного смещения, и расстояние между ними должно превышать интервал корреляции шума. В общем случае это невозможно, поскольку смещение нам заранее неизвестно. Однако интервал корреляции обычно достаточно мал ($\lesssim 100 \mu\text{мкм}$), и длина отрезка, на котором уменьшается нужное число точек отсчета, невелика. Это дает возможность применить цифровое интегрирование на тех участках, где полосы можно считать прямыми линиями.

Рассмотрим особенности обработки интерферограмм на примере топограмм (рис. 112). Они выбраны потому, что среди всех интерферограмм имеют наибольший уровень пространственных шумов вследствие значительного, как правило, расстояния между объектом и голограммой и малого диаметра восстановленного пучка.

Действительные изображения восстанавливались пучком диаметром 5 мм и регистрировались на фотопленку. Сканирование осуществлялось апертурой размером 100 мкм.

Рассмотрим последовательную обработку одной строки изображения наклонной плоскости длиной 17 мм, с шагом 100 мкм, выводимую из ЭВМ СМ-4 с помощью устройства "Карат" (рис. 113). На рис. 113, *a* представлена необработанная строка изображения, проходящая перпендикулярно к интерференционным полосам. Рис. 113, *b* воспроизводит ту же строку, восстановленную по первым 50 (из 512) гармоникам разложения Фурье. видно, что фильтр выбран неправильно, так как сигнал из восстановленной реализации практически отсутствует. На рис. 113, *c* представлена та же строка восстановления по 70 гармоникам. В данном случае спектры сигнала и помех сильно перекрываются и в сигнале, восстановленном по 70 гармоникам, высок уровень шумов. На рис. 113, *d* приведен результат цифрового интегрирования по 30 параллельным строкам, отстоящим друг от друга на 0.2 мм, а на рис. 113, *e* — результат частотной фильтрации (оставлено вновь 70 первых гармоник), примененной к сигналу, показанному на рис. 113, *c*. На рис. 113, *f* видно, что комбинированное цифрового интегрирования и частотной фильтрации дает удовлетворительный результат. Основную роль в подавлении шумов в случае сильного перекрытия спектров сигнала и помехи играет цифровое интегрирование, что наглядно видно на рис. 114. Здесь одни кривые (рис. 114, *a*) вместе с исходным сигналом показывают



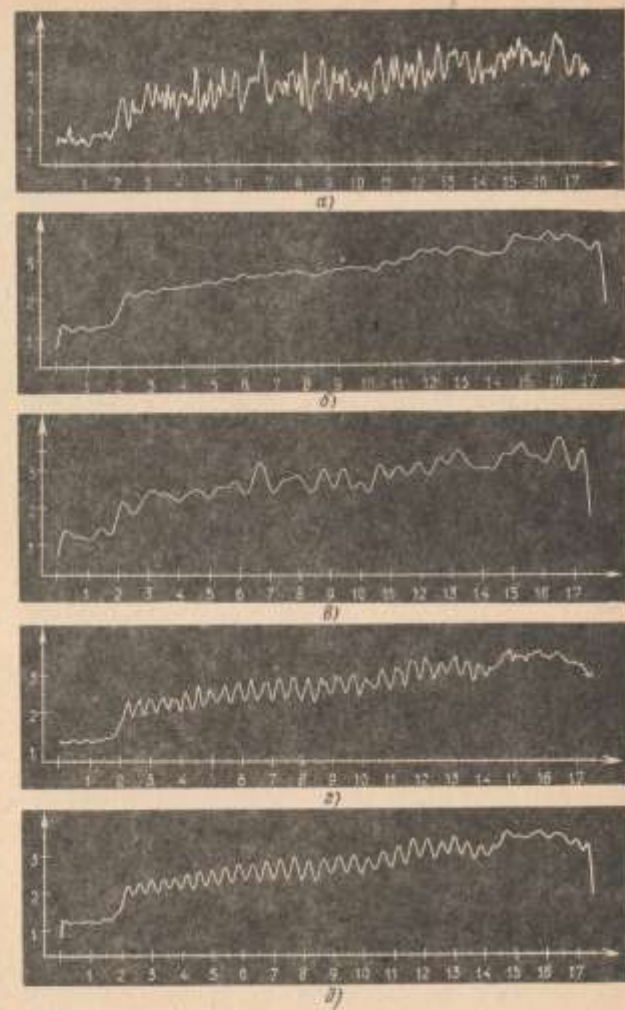


Рис. 113. Последовательная обработка указанной на топограмме строки в изображении наклонной плоскости

150

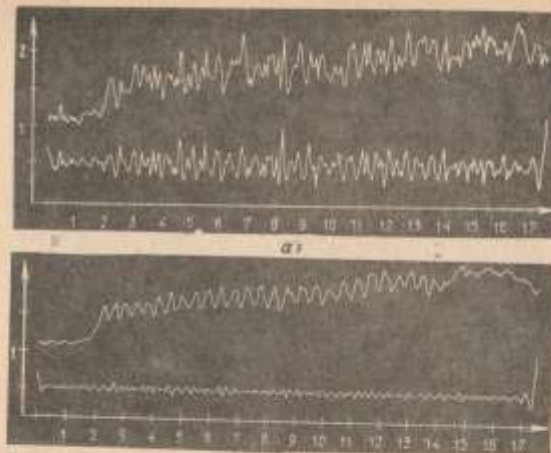


Рис. 114. Цифровое интегрирование сигнала: а – до обработки; б – после обработки

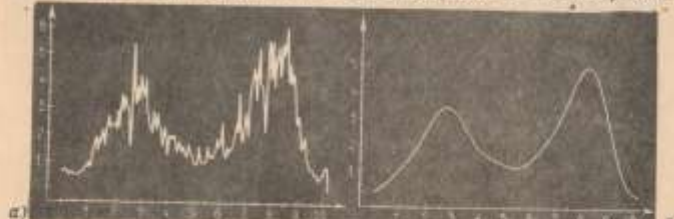


Рис. 115. Частотная фильтрация при практической непротекающей спектрах сигналов и помех



Рис. 116. Аппроксимация реального сигнала гармоническими функциями

151



Рис. 117. Интерферограммы плоской пластины при растяжении до обработки, после одномерной и двумерной Фурье-фильтрации соответственно

входящий в него шум (гармоники 71 – 512), а другие – (рис. 114, б) – усредненную картину и входящий в нее шум (гармоники 71 – 512). Среднее квадратическое значение шума уменьшилось в 6 раз.

Аналогичный результат для строки длиной 22 мм получен при сканировании топограммы конуса вдоль линии, перпендикулярной к полосам (см. рис. 112).

Для зашумленного сигнала, спектр которого практически не пересекается со спектром помех (рис. 115, а) частотная фильтрация сразу же дает удовлетворительный результат (рис. 115, б).

Практический интерес представляет также выделение середины интерференционных полос и аппроксимация изменения яркости между ними гармоническими функциями. Такая аппроксимация при решении многих задач экспериментальной механики является оправданной и существенно упрощает учет долей интерференционных полос при расшифровке (рис. 116). Как было отмечено в п. 2 гл. 2, этот способ может быть использован при непосредственном определении деформаций по интерферограмме.

Ложные экстремумы, которые могут появиться при высоком уровне шумов в изображении, исключает оператор с помощью графического дисплея "Дельта-М" со световым пером, входящего в состав ГИС на основе мини-ЭВМ СМ-4.

Двумерную частотную фильтрацию удобно проводить с использованием матричного процессора, описанного в п. 6 гл. 4. На рис. 117, а приведена фо-

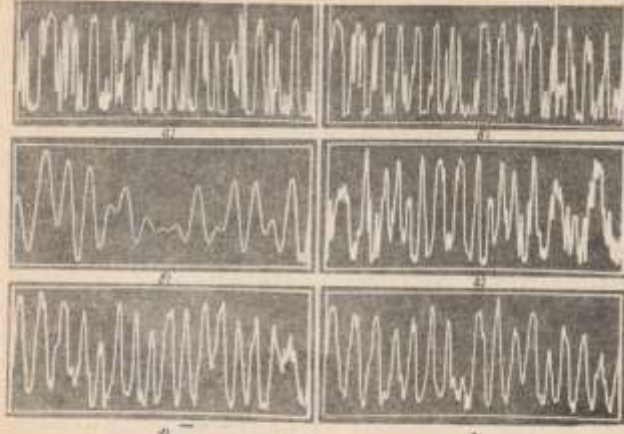


Рис. 118. Результаты одномерной и двумерной Фурье-фильтрации

тография исходной интерферограммы с экрана телевизионного дисплея. Интерферограмма получена при растяжении плоской металлической пластины размером 40 × 80 мм и толщиной 0,5 мм, в центре которой имелось отверстие диаметром 8 мм. На рис. 117, б приведена фотография этой же интерферограммы после построчной Фурье-фильтрации всего кадра, а на рис. 117, в – после двумерной фильтрации с помощью БПФ. Более наглядно результаты обработки видны на рис. 118. На рис. 118, а, б показаны функции яркости изображения вдоль строки и столбца, отмеченные на рис. 117, а, на рис. 118, в, г – функции яркости вдоль тех же строки и столбца после построчной Фурье-фильтрации кадра, а на рис. 118, д, е – аналогичные функции после двумерной фильтрации.

Таким образом, сравнительно простая обработка изображений на ЭВМ является весьма эффективным средством снижения погрешности отсчета пробных долей интерференционных полос без усложнения схемы голографического интерферометра. Это позволяет выбрать интерферометр изображений минимума методической погрешности, что в конечном счете обеспечивает высокую точность определения смещений, деформаций и параметров рельефа.

5. ОПРЕДЕЛЕНИЕ ПАРАМЕТРОВ РЕЛЬЕФА ПОВЕРХНОСТИ

Для получения топографических карт использовался метод двух волн, имеющий ряд преимуществ перед другими топографическими методами. Первая экспозиция осуществляется на одной длине волн лазера (на

пример, в краевовой линии $\lambda_1 = 476,243$ нм), а вторая на другой длине волн (например, в аргоновой линии $\lambda_2 = 476,486$ нм). Время экспозиции при использовании фотопластинок ВРЭ составляет 3–5 с. Восстановливаемые с полученных таким образом голограмм изображения представляют собой топографические карты объектов. Для указанных линий шаг сечений равен 0,47 мм.

Сравнение изображения топографических интерферограмм двух однотипных лопаток (рис. 119) нетрудно заметить, что у лопатки на рис. 119, *а* по сравнению с лопatkой на рис. 119, *б* сильно деформирован верхний правый угол и несколько выпрямлена средняя часть. Как уже говорилось, в ряде случаев такого сравнительного анализа оказывается достаточно для получения нужного результата. Например, по искривлению линий уровня может быть легко выявлен дефект рельефа, по числу линий можно судить о кривизне поверхности предмета и т.д.

Однако большинство задач требует количественной расшифровки топографических интерферограмм, т.е. вычисления по интерферограмме расстояния любой точки поверхности от некоторой фиксированной плоскости, что позволяет построить профиль поверхности вдоль любого направления.

Чтобы определить разность высот между двумя точками, необходимо знать число интерференционных полос N между ними. Тогда $|z_1 - z_2| = N\Delta h$. Существенно отметить, что N может быть как целым, так и дробным числом. Рассмотрим процесс расшифровки, учитывая только целое число полос. В этом случае задача заключается в выделении середины полос и построении профилей поверхности. Обработка и расшифровка интерферограмм осуществлялась с использованием комплекса на базе машины ЭВМ

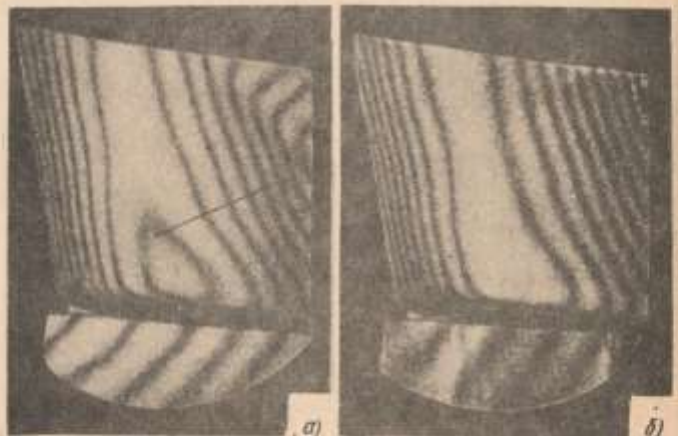


Рис. 119. Топографические интерферограммы двух однотипных лопаток газотурбинного двигателя



Рис. 120. Топографическая карта лопатки после обработки на ЭВМ

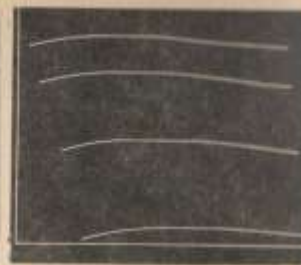


Рис. 121. Профили лопатки, построенные по ее топографической карте

СМ-4. Восстановленное с голограммы действительное изображение с помощью устройства ввода на основе дисектора выводится в ЭВМ. Размер кадра составляет $18 \times 18 \text{ mm}^2$, а число видимых точек изображения 2^{14} . На первой стадии обработки вычислялись координаты середин интерференционных полос. Алгоритм был достаточно простым и включал себя слаживание, отсечку по заданному уровню и определение экстремума. Топографическая карта лопатки после обработки (рис. 120), выведенная на фотопленку с помощью устройства микрофильмирования "Карат" образована линиями разного уровня, проходящими по серединам темных полос. На второй стадии, используя полученные координаты середин полос и известную цену полосы $\Delta h \approx 0,47 \text{ мм}$, ЭВМ строит профили поверхности лопатки вдоль задаваемых направлений (рис. 121). Профили лопатки представляют собой функции $z = f(x)$ при различных y , где x, y – координаты в плоскости лопатки, z – нормальная координата. Значения z для разных точек поверхности могут быть также представлены в виде таблиц. Конечно, между темными полосами могут быть построены другие линии, соединяющие точки одинаковой яркости, которые также являются линиями разного уровня. Это значит, что измерение рельефа может осуществляться с раздвоенной точностью, чем $\Delta h/2$.

Рассмотрим результаты обработки одной строки топографической интерферограммы лопатки газотурбинного двигателя (рис. 122). Из рис. 122, *а* видно, что на полезный сигнал наложен как высокочастотный, так и низкочастотный шум. Последний обусловлен неравномерностью освещения пучка и рассеивающими свойствами исследуемой лопатки.

Для уменьшения дисперсии шумов, как и ранее, были использованы цифровое интегрирование и частотная фильтрация сигнала. На рис. 122, *б* показан результат осреднения по 40 реализациям. Высокочастотный шум, оставшийся после осреднения, значительно меньше первоначального. На рис. 122, *в* показан сигнал на выходе фильтра низких частот, верхняя граничная частота которого равна 0,6 линий на 1 мм (30 гармоник в разложении Фурье). Сравнение рис. 122, *б* и рис. 122, *в* показывает, что при использовании частотной фильтрации в сигнале велика доля низкочастотных шумов.

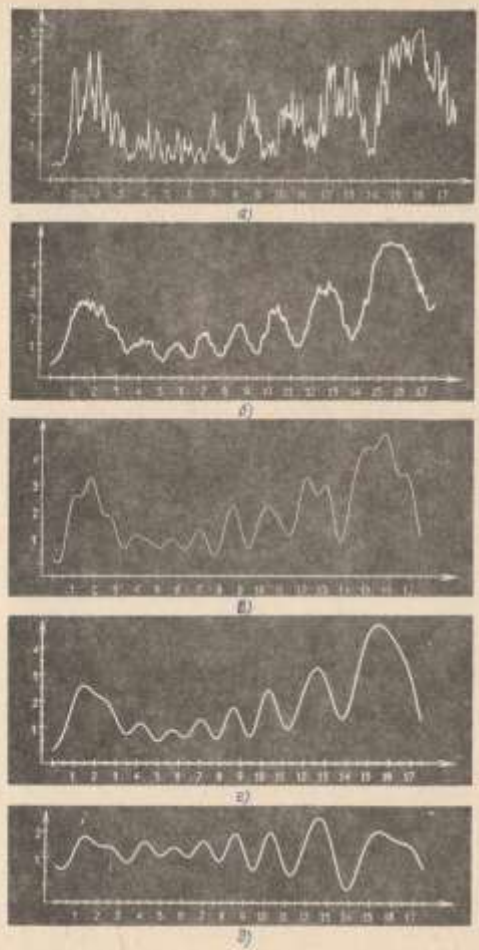


Рис. 122. Последовательная обработка указанной на топограмме лопатки строки

мой, а при цифровом интегрировании грубо устранить высокочастотный шум. На рис. 122, *а* приведен результат совместного действия частотной фильтрации и цифрового интегрирования. Как было отмечено, кроме спекуляции на погрешность измерения существенное влияние оказывает неравномерность яркости изображения исследуемой лопатки, зависящая от неравномерности освещавшего пучка, ее рельефа, качества поверхности и др. Эти причины вызывают появление низкочастотной помехи в спектре сигнала, которая также может быть отфильтрована. На рис. 122, *б* приведен сигнал за вычетом неравномерности яркости исследуемого изображения (первые пять гармоник разложения Фурье отсутствуют).

Используя обработанную таким образом зигзагограмму, можно построить профиль с большой степенью детализации, так как частота сечений увеличивается примерно на порядок.

Минимальные границы интенсивности, которые возможно отсчитать, определяют порог чувствительности метода. Исследование влияния шероховатости на характер рассеянного излучения, направленное на снижение порога чувствительности, позволило установить связь параметров шероховатости (дисперсии, интервал корреляции) как с контрастом топографических полос, так и с дисперсией яркости изображения [4, 5]. Определение шероховатости по контрасту топографических полос или по дисперсии изображения в окрестности яркой полосы представляет значительный практический интерес, так как позволяет в principio по одной топограмме определить и макрорельеф, и дисперсию шероховатости поверхности.

Теоретические исследования и эксперименты показали, что разрешение Δz , соответствующее максимуму дисперсии яркости, приблизительно равно интервалу корреляции высот неровностей исследуемой поверхности, а $\sigma_{z, \text{max}}/\Gamma$ практически линейно зависит от среднего квадратического отклонения шероховатости σ_z при малых его значениях, т.е. в области ненасыщенных спектральных структур [4, 92–94]. Таким образом анализ изображения слабошероховатого объекта, полученного в когерентном свете, позволяет определить дисперсию шероховатости и ее интервал корреляции.

Аналогично мы попытались по топографической топограмме оценить шероховатость поверхности. Объектами служили плоские шероховатые поверхности, которые вначале обследовались на профилометре, включенным в состав комплекса на базе микроЭВМ "Электроника-60". Были рассчитаны для трех образцов статистические характеристики шероховатости: среднее значение, корреляционная функция, спектр мощности (рис. 123), среднее квадратическое отклонение σ_z и интервал корреляции Γ (табл. 7).

Таблица 7

| Параметр | Образцы: | | |
|------------|----------|-------|-------|
| | 1 | 2 | 3 |
| σ_z | 0,58 | 0,650 | 0,186 |
| Γ | 120,0 | 90,0 | 50,0 |

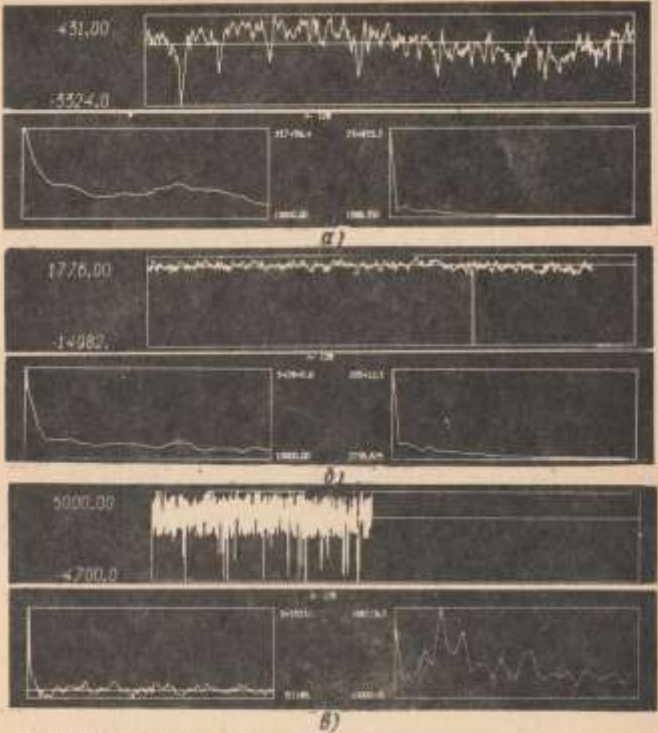


Рис. 123. Расчет статистических характеристик шероховатости для трех образцов

Затем были получены топограммы образцов. Восстановленные с них изображения сканировались вдоль ярких полос фотоприемником с диафрагмой 15 мкм, установленным в электромеханическом устройстве ввода. Диаметр восстанавливавшего пучка был выбран равным 10; 3,3; 1,7 и 1 мм, что соответствует линейному разрешению 10, 30, 60 и 100 мкм. В качестве примера на рис. 124 приведены статистические характеристики яркости только для образца 3.

Зависимость относительного среднего квадратического отклонения яркости от разрешения оптической системы (рис. 125, а) позволяет оценить интервалы корреляции высот неровностей, а зависимость на рис. 125, б – определить σ_s . Для образца 3 $r = 60$ мкм, для образца 2 $r = 80$ мкм, а для образца 1 $r > 100$ мкм. Это согласуется с профилометрическими измерениями

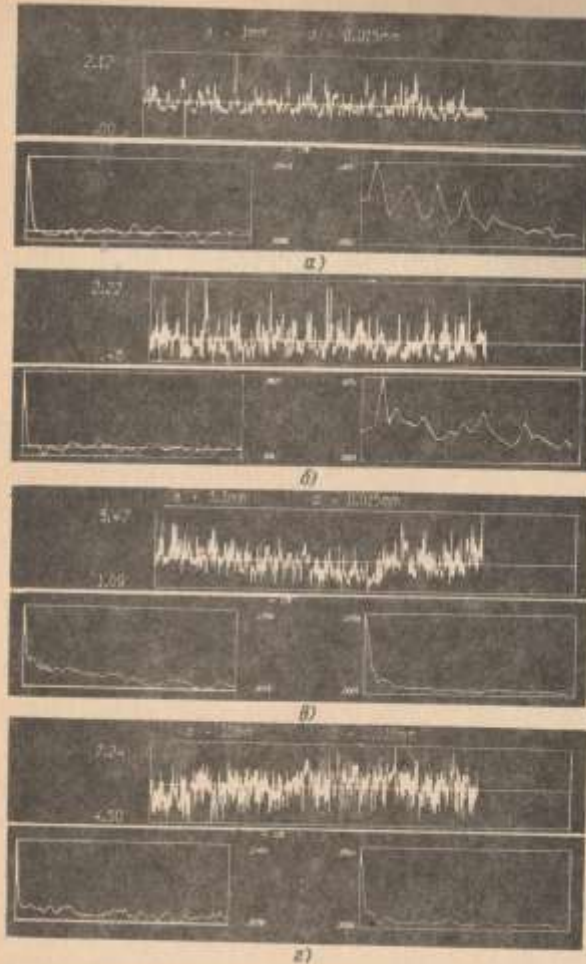


Рис. 124. Расчет статистических характеристик поля яркости изображения для образца 3 при различных значениях апертуры:
а – z = 1 мм; б – z = 1,7 мм; в – z = 3,3 мм; г – z = 10 мм

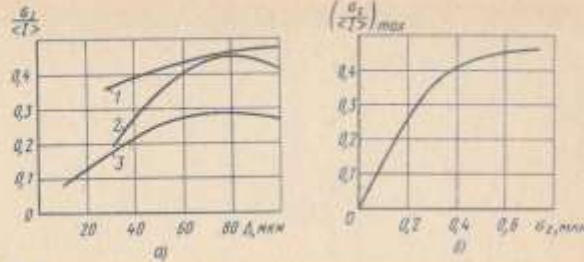


Рис. 125. Зависимость среднего квадратического отклонения яркости изображения от разрешающей способности оптической системы и связанные с ней зависимости максимального среднего квадратического отклонения яркости изображения от дисперсии шероховатости

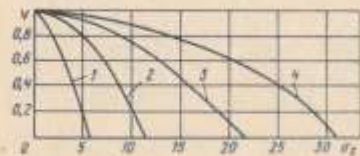


Рис. 126. Зависимость контраста интерференционных полос от дисперсии шероховатости исследуемой поверхности для различных Δh :
1 – $\Delta h = 30 \text{ мкм}$; 2 – $\Delta h = 64 \text{ мкм}$;
3 – $\Delta h = 130 \text{ мкм}$; 4 – $\Delta h = 200 \text{ мкм}$

ми. Образцы 1 и 2 имеют практически одинаковые σ_z , но разные t , что достаточно четко видно на рисунке. Таким образом, можно заключить, что параметры шероховатости σ_z и t слабо шероховатой поверхности могут быть определены по голограммическим топограммам, получаемым для анализа макрорельефа.

Другая интересная возможность определения σ_z заключается в измерении контраста топографических полос.

Связь контраста с дисперсией шероховатости (рис. 126) описывается выражением (см. п. 3 гл. 3):

$$\sigma_z \approx \frac{\Delta h}{2\pi} \sqrt{1 - V} \quad (114)$$

Метод опробовался на плоском образце с дисперсией шероховатости $\sigma_z^2 = 16 \text{ мкм}^2$. Были получены три топограммы этой поверхности с разным шагом $\Delta h = 470 \text{ мкм}, 64 \text{ мкм}$ и 30 мкм (рис. 127).

С помощью электромеханического устройства ввода в ЭВМ "Электроника-60" вводились с каждой топограммы для усреднения по 10 строк, стоящих друг от друга на 50 мкм. Шаг сканирования составил 20 мкм, а сканирующая диафрагма имела диаметр 30 мкм. После Фурье-фильтрации усредненного сигнала вычислялся контраст интерференционных полос. Результаты расчета контраста и соответствующие ему значения σ_z приведены в табл. 8. Из нее видно, что при использовании метода существенное значение имеет правильный выбор Δh .



Рис. 127. Топографические интерферограммы исследуемой поверхности, полученные с различным шагом:
а – $\Delta h = 470 \text{ мкм}$; б – $\Delta h = 64 \text{ мкм}$; в – $\Delta h = 30 \text{ мкм}$

Оценки сделанные на основании формулы определения σ_z , позволяют заключить, что диапазон шероховатостей, которые могут быть определены этим способом, составляет 1 – 100 мкм. Поскольку для удовлетворительных по точности измерений пригодны лишь средние участки кривых (см. рис. 126), этот диапазон уже и составляет примерно 2 – 30 мкм. Однако и в этом случае он охватывает значительную часть практически встречающихся шероховатостей.

Таким образом, получая топографическую карту исследуемого объекта, можно одновременно определять параметры макро- и микрорельефа.

6. ИССЛЕДОВАНИЕ ВИБРАЦИОННЫХ ХАРАКТЕРИСТИК ОБЪЕКТОВ

Задачи исследования собственных форм колебаний, резонансных частот, распределения амплитуд вибраций имеют первостепенную важность, особенно в двигателестроении. Нами эти задачи решались применительно к таким объектам, как лопатки и диски компрессоров газотурбинных двигателей [19, 36, 37].

Обычно для получения вибрационных характеристик используются два пьезодатчика, один из которых служит для возбуждения объекта, а второй датчик с шупом – для сканирования вибрирующей поверхности. Этот способ исследования является очень трудоемким, сопряжен с большими временными затратами и часто сопровождается ошибками.

Голограммические методы здесь настолько эффективны, что, несомненно, станут основными методами исследования. Они позволяют бесконтакт-

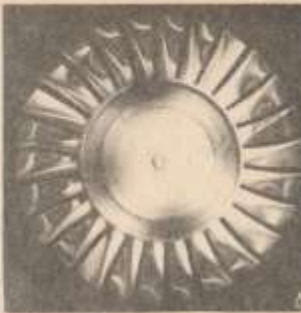
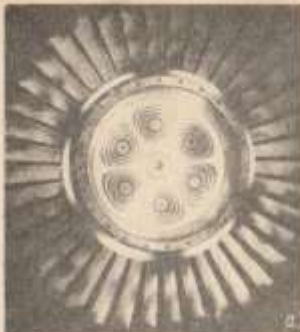


Рис. 128. Формы колебаний дисков с лопатками:
а – дисковая форма; б – лопаточная
форма; в – одновременный резонанс
диска и лопаток

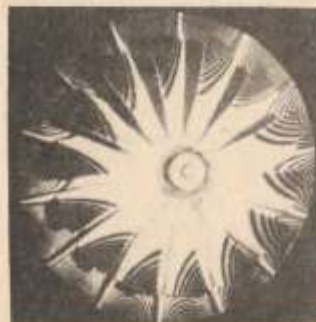
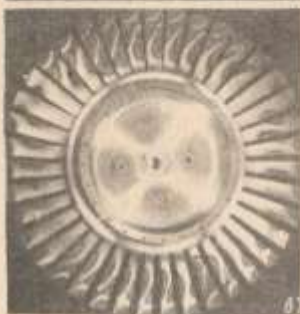


Рис. 129. Интерферограмма вибрирующего
литого диска с лопatkами

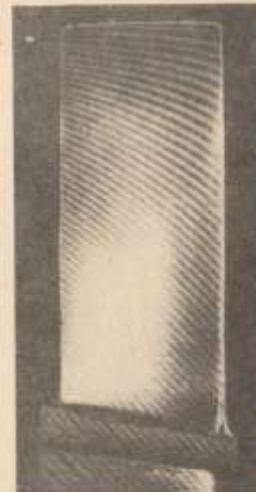


Рис. 130. Интерферограмма лопатки
после поворота

ным образом сразу по всему полю объекта получить картину узловых линий и определить, если это необходимо, амплитуды вибраций точек поверхности. Время эксперимента существенно сокращается. Оно практически не зависит от размеров объекта и равно времени перестройки генератора колебаний в заданном диапазоне частот.

Если известны резонансные частоты колебаний объекта, то картину узловых линий и распределение амплитуд (рис. 128, 129) удастся всего получить, используя метод усреднения (п. 1 гл. 2). Яркие полосы соответствуют узловым линиям.

Однако заранее резонансные частоты могут быть неизвестны. Кроме того, требуется подбор уровня возбуждения для получения ширины полос, удобной для обработки. В этом случае успешно может быть использован комбинированный метод, суть которого описана в п. 1 гл. 2.

Объект голографируется в невозбужденном состоянии, и обработка голограммы осуществляется на месте экспонирования в специальной кювете. Затем объект поворачивают на небольшой угол. Изображение, восстановленное с голограммы, интерферирует с волной, рассеянной реальным объектом после поворота, и на поверхности объекта появляются интерференционные полосы (рис. 130). На этом подготовительный этап заканчивается, и объект приводится в возбужденное состояние, например, с помощью вибростенда, питаемого от звукового генератора.

На резонансных частотах, когда устанавливаются стоячие волны, в местах пучностей интерференционные полосы исчезают и сохраняются только там, где проходят узловые линии. При наблюдении объекта сквозь голограмму видна картина узловых линий, составленная из отдельных штрихов интерференционных полос. Если лопатка возбуждается на нерезонансной частоте, полосы размыты полностью. Таким образом, получив одну голограмму, можно определить все резонансные частоты. Картину можно фиксировать фотоаппаратом или киносъемкой (рис. 131, а – в). Время получения всех форм колебаний, как было отмечено в начале параграфа, определяется в основном временем перестройки частоты и экспозицией.

Одновременно по ширине неразмытых участков полос можно контролировать уровень возбуждения, поскольку эти участки соответствуют точкам, амплитуда колебаний которых не превышает $0,1\lambda$ (п. 1 гл. 2). Определив резонансную частоту и уровень возбуждения, для более детального исследования распределения амплитуд вибраций можно получить голограмму методом усреднения на фотопластинке, устанавливаемой спаружи кюветы. На рис. 132 видно, что яркие узловые линии полностью совпадают с расположением штриховых линий на рис. 131. Интерферограммы, приведенные на рис. 132, получены на тех же резонансных частотах, что и интерферограммы, показанные на рис. 131.

Как следует из п. 2 гл. 2, для определения значений вибросмещений в исследуемых точках необходимо иметь три голограммы с трех различных направлений наблюдения (рис. 133). Первая интерферограмма (рис. 133, а) получена при совпадении биссектрисы угла между направлениями наблюдения и освещения с осью z системы координат, связанный с объектом (средняя плоскость лопатки – плоскость x, y). Вторая интерферограмма (рис. 133, б) получена при повороте лопатки на угол $\theta_1 = 20^\circ$ вокруг оси

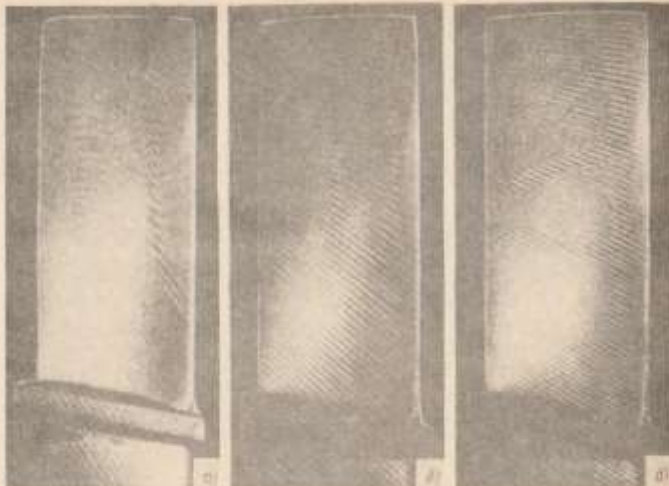


Рис. 131. Узловые линии для трех различных частот звуков

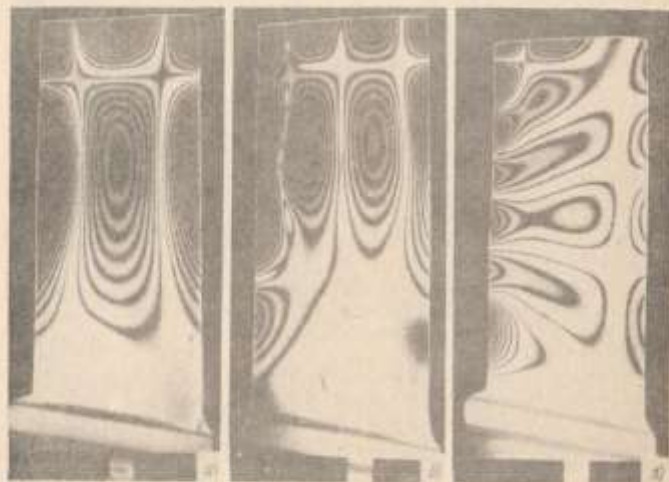


Рис. 132. Интерферограммы изображающей лопатки



Рис. 133. Интерферограммы изображающей лопатки №100 в момент вибрации, полученные с трех направлений: а) — фронтально; б) — сбоку; в) — сзади

у, а третья (рис. 133, в) — при повороте лопатки на угол $\delta = 15^\circ$ ($\delta_1 = 0$) вокруг оси x . Результаты расчета амплитуда вибрации лопатки из трех лопаток в микрометрах приведены в табл. 9 (а — амплитуда вибрации; u_1 — проекции вектора вибросмещения, определенные по краевой голографии).

Такая расшифровка по трем интерферограммам является трудоемкой. Для широкого класса так называемых конических объектов (при поперечных размерах значительно больше третьего), имеющих конусную форму вращения может быть существенно упрощено (табл. 9). Известно, что для этих объектов, к которым можно отнести обтекаемые лопатки, начальные ины компрессорных лопаток, направления вибрационной колебательной поверхности практически совпадают с направлением нормали к соответствующим точкам. Тогда, получив по интерферограмме с оптическим направлением нормали вибросмещения на биссектрису угла δ между углами δ_1 и δ_2

$$u_\delta = u \cos \delta \quad (115)$$

и зная угол δ между биссектрисой и нормалью, можно найти u .

Направление нормали в каждой точке излучения можно определить по голографической интерферограмме полученной методом излучения методом (п. 1 гл. 3). Пусть сечение объекта описывается полигоном, параллельными плоскости xy (рис. 134). Обозначим проекции единичного вектора нормали $n(n_x, n_y, n_z)$ при (δ_1, δ_2) в точке М на плоскость xy — расстояние между двумя линиями уровня волны n_{δ_1} и n_{δ_2} (рис. 134, а). На рисунке видно, что

$$n_z = \frac{\Delta h}{\sqrt{\Delta h^2 + \Delta h'^2}} \quad (116)$$

$$n_0 = \frac{\Delta h'}{\sqrt{\Delta h^2 + \Delta h'^2}} \quad 475$$

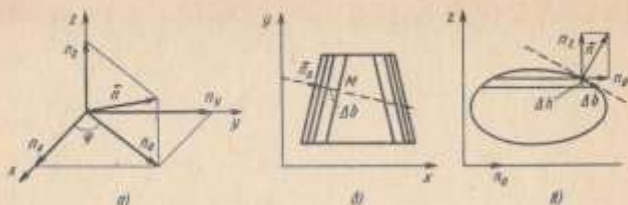


Рис. 134. Определение направления нормали по топографической интерферограмме



Рис. 135. Топографическая интерферограмма лопатки

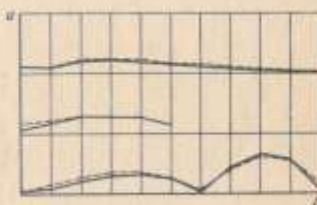


Рис. 136. Изменение амплитуды вибросмещений вдоль кромок лопатки

4.7.6

Из рис. 134, б следует, что

$$n_x = n_0 \cos \varphi = \frac{\Delta h \cos \varphi}{\sqrt{\Delta h^2 + \Delta b^2}}, \quad (117)$$

$$n_y = n_0 \sin \varphi = \frac{\Delta h \sin \varphi}{\sqrt{\Delta h^2 + \Delta b^2}}. \quad 4.11$$

Таким образом, зная Δh и измерив на топограмме Δb и φ , можно определить единичный вектор нормали к поверхности объекта в любой точке [23]:

$$\mathbf{n} = \left(\frac{\Delta h \cos \varphi}{\sqrt{\Delta h^2 + \Delta b^2}}, \frac{\Delta h \sin \varphi}{\sqrt{\Delta h^2 + \Delta b^2}}, \frac{\Delta b}{\sqrt{\Delta h^2 + \Delta b^2}} \right). \quad 4.12$$

Определив $\vec{n}_0 \vec{t}$, где $\vec{t}(r_x, r_y, r_z)$ — единичный вектор направления биссектрисы, имеем

$$\cos \beta = \frac{1}{\sqrt{\Delta h^2 + \Delta b^2}} (\Delta h r_x \cos \varphi + \Delta h r_y \sin \varphi + r_z \Delta b). \quad 4.13$$

Подставляя (119) в (115), находим амплитуду вибросмещения u .

4.13

166 С другой стороны, по интерферограмме, полученной методом съемки с одного направления, можно узнать, что это смещение на биссектрисе.

Таблица 9

| n_1 | n_2 | n_3 | a |
|-------|-------|-------|-------|
| .160 | .210 | .130 | .227 |
| .490 | .610 | .410 | .669 |
| .930 | 1.060 | .740 | 1.229 |
| 1.250 | 1.380 | 1.000 | 1.597 |
| 1.320 | 1.500 | 1.110 | 1.637 |
| .930 | 1.000 | .740 | 1.172 |
| .160 | .220 | .090 | .350 |
| 1.580 | 1.770 | 1.380 | 1.862 |
| 2.410 | 2.800 | 2.150 | 2.915 |
| 2.150 | 2.280 | 1.770 | 2.573 |
| .230 | .350 | .350 | .650 |
| .610 | .680 | .470 | .822 |
| 1.020 | 1.130 | .870 | 1.216 |
| 1.020 | 1.130 | .870 | 1.216 |
| .800 | .870 | .680 | .941 |
| .420 | .480 | .360 | .514 |
| .390 | .290 | .230 | .380 |
| .740 | .750 | .540 | 1.017 |
| .810 | .870 | .630 | 1.051 |
| .730 | .800 | .540 | 1.023 |
| .540 | .620 | .420 | .738 |
| .420 | .470 | .300 | .649 |
| .270 | .300 | .170 | .462 |
| .160 | .200 | .100 | .297 |
| .090 | .080 | .050 | .169 |
| .000 | .000 | .000 | .000 |

Таблица 10

| n_1 | $\cos \beta$ | a |
|-------|--------------|-------|
| .160 | .983 | .163 |
| .490 | .991 | .495 |
| .930 | .993 | .936 |
| 1.250 | .992 | 1.254 |
| 1.320 | .998 | 1.322 |
| .930 | .999 | .931 |
| .160 | 1.000 | .160 |
| 1.580 | 1.000 | 1.581 |
| 2.410 | 1.000 | 2.411 |
| 2.150 | 1.000 | 2.151 |
| .230 | .995 | .231 |
| .610 | .996 | .613 |
| 1.020 | .997 | 1.023 |
| 1.020 | .996 | 1.024 |
| .800 | .988 | .810 |
| .420 | .974 | .431 |
| .300 | .974 | .308 |
| .740 | .968 | .764 |
| .810 | .955 | .848 |
| .730 | .955 | .765 |
| .540 | .949 | .569 |
| .420 | .941 | .446 |
| .270 | .932 | .290 |
| .160 | .906 | .177 |
| .090 | .906 | .099 |
| .000 | .731 | .000 |

Из (4.13) $\cos \beta = \frac{1}{\sqrt{\Delta h^2 + \Delta b^2}} \cdot \cos \varphi$ (4.14) и следование 11.

167

Вставка на обратную стр.

На рис. 135 показана топографическая карта той же самой лопатки, что и на рис. 133, полученная с направлением, совпадающим с осью z , методом двух линий волны. Шаг сечений $\Delta b = 0.47$ мм. В табл. 10 приведены результаты расчета синф и амплитуды вибросмещений в микрометрах. Значения проекции u_1 взяты из табл. 9. Рассмотрим изменения амплитуд вибросмещения вдоль кромок лопатки (рис. 136), полученные с использованием поворота объекта (штриховые линии) и с использованием топографической интерферограммы (сплошные линии). Нижние кривые относятся к левой кромке, средние — к торцу, а верхние — к правой кромке. На рисунке видно, что измерение амплитуд вибросмещений вдоль кромок лопатки компрессора, основанное на использовании обоих методов, дает практически совпадающие результаты. Поэтому упрощенный метод расшифровки может быть рекомендован при исследовании "тонких" объектов.

ЗАКЛЮЧЕНИЕ

Несколько автору удалось выполнить поставленную задачу — рассмотреть как единую целую голографические измерительные системы, находящиеся на стыке различных областей науки и техники, — судить теперь читателям этой книги. В заключении хочется сделать несколько замечаний.

Возможности голографической интерферометрии далеко не исчерпываются лишь теми, что изложены здесь. Голография, особенно ее наиболее важная в практическом отношении часть — голографическая интерферометрия, — молодая отрасль науки. Несмотря на большое число работ, методы голографической интерферометрии еще детально не отработаны, не выявлены все их возможности и в решении задач экспериментальной механики. В этом смысле необходимо объединение усилий для совместной работы специалистов в области голографии и в области механики. Важно расширять работы по методическому обеспечению голографических измерительных систем, направив их на создание инженерных методик измерения механических величин в определенных условиях с заданной точностью. Разработка таких методик должна базироваться на комплексном подходе, т.е. свойства объекта, измеряемые параметры и возможности выбранного метода должны рассматриваться не по отдельности, а как единый комплекс. Такое совместное рассмотрение приведет не только к более эффективному применению этих методов, но и к выявлению новых областей их использования.

Особенно хочется выделить необходимость углубления исследований в области неразрушающего контроля, так как здесь, благодаря бесконтактности, высокой чувствительности и возможности одновременного получения информации сразу о поле точек объекта, методы голографической интерферометрии должны сыграть чрезвычайно важную роль.

Для дальнейшего развития и совершенствования голографических измерительных систем существенное значение имеет разработка метрологического обеспечения, которое необходимо для обоснования достоверности получаемой информации, правильного применения тех или иных методов, рациональной организации голографического эксперимента. Необходим более полный анализ методических погрешностей всех методов голографической

интерферометрии, их проявления в конкретных условиях измерения, разработка аппаратных и программных методов их снижения.

Одним из центральных является вопрос автоматизации измерений и расширения голографических интерферометрии в новых производственных промышленных испытаниях и в научно-исследовательской деятельности, так как без решения этого вопроса невозможно широкое внедрение голографических методов в научные исследования и производство.

Решение перечисленных задач будет способствовать тому, что голографические методы станут одними из основных в ближайшие годы научных работников и инженеров.

СПИСОК ЛИТЕРАТУРЫ

1. Александров Е. Б., Бонч-Бруевич А. М. Изменение расположения деформаций тепла с помощью голографической техники. — Изв. АН СССР, Сер. физ., 1970, № 1, с. 102.
2. Автоматизированный комплекс обработки изображений // В. Кузов, Ю. И. Золотухин, В. А. Ильин и др. — Альтометрия. 1980, № 1, с. 11—15.
3. Автоматический микродифрактометр для измерения амплитуды и фазы фотодифракционных изображений // В. Ф. Горенюк, М. Н. Гравин, В. Н. Курочкин и др. — Члены докладов VI Всесоюзной конференции по изучению физики оптической излучения на основе применения ЭВМ. Новосибирск: НАН СССР, 1980, с. 147.
4. Анализ метрологических характеристик голографического интерферометрического измерителя для измерения параметров вибрации // Т. В. Абрамова, А. В. Логинов, А. Г. Козачок и др. — Наукн. вестн. Удмурт. гос. ун-та, 1980, № 2, с. 23—27.
5. Анализ пространственных шумов изображений спектральных объектов в инкрементном свете // В. Ф. Ким, А. Г. Козачок, А. В. Логинов, В. И. Панченко. — Кн.: Голографические измерительные системы. Вып. 1. Новосибирск: Изд-во НГУ, 1980, с. 2—28.
6. Анализ схем регистрации двухкоординатных изображений // В. Ф. Ким, А. Г. Козачок, А. В. Логинов. — Кн.: Голографические измерительные системы. Вып. 2. Новосибирск: Изд-во НГУ, 1980, с. 11—34.
7. Балашов Е. П., Пузанков Д. В. Методы определения параметров изображений методами голографической интерферометрии. — Изв. АН СССР, Сер. физ., 1981, № 1, с. 144—147.
8. Богомолов А. С., Власов И. Г., Григорьев Е. Г. Определение параметров изображений методами голографической интерферометрии. — Изв. АН СССР, Сер. физ., 1981, № 1, с. 148—151.
9. Борынич Л. А., Герасимов С. И., Федоров В. А. Некоторые вопросы методов в расшифровке голографических изображений // Вестн. Уральской науч.-исследовательской группы по определению компонент темпов деформации. Краснодар: 1985, № 1, с. 17—24.
10. Бутусов М. М., Белгиревский Е. А. Голографическое изображение оптических явлений в преобразователях. Л.: ДЛТИ, 1974, с. 11—12.
11. Вестн. Ч. Голографическая интерферометрия. Вып. 1 из цикла Изд. 1981—1991 г.
12. Власов И. Г., Пронин В. Н., Федоров В. А. Некоторые методы измерения амплитуды и фазы волны в голографии // Вестн. Уральской науч.-исследовательской группы по определению компонент темпов деформации. Краснодар: 1985, № 1, с. 144—147.
13. Власов И. Г., Смирнова С. Н., Пронин В. Н. Влияние параметров изображения вектора деформации в голографии // Изв. Уральской науч.-исследовательской группы по определению компонент темпов деформации. Краснодар: 1985, № 1, с. 1104—1106.
14. Власов И. Г., Штынько А. Е. Определение параметров изображения волны интерференционных полос. — ЖТФ, 1976, т. 10, № 1, с. 102—105.
15. Гершберг А. Е. Переходные голографические процессы в оптической фотографии. — М.: Энергия, Ленинград: 1973, 296 с.
16. Гинзбург В. М., Станислав В. М. Голографический контролер. Н. Йошкар-Ола: 1981, 296 с.

17. Голографическая измерительная система для решения задач экспериментальной механики / С. Т. Де, А. Г. Козачок, А. В. Логинов, Ю. Н. Солодков. – В кн.: Материалы 2-го Всесоюзного симпозиума "Оптическое приборостроение и голография". Кн. 2. Львов: 1976, с. 15–16.
18. Голографическая система для получения, обработки и расшифровки интерферограмм / С. Т. Де, А. Г. Козачок, А. В. Логинов, Ю. Н. Солодков. – Квантовая электроника, 1977, т. 4, № 1, с. 103–107.
19. Голографические методы исследований форм колебаний сложных объектов / А. М. Васильев, Л. Д. Гик, Л. П. Гурьев и др. – В кн.: Материалы Всесоюзной конференции "Автоматизация научных исследований на основе применения ЭВМ". – Новосибирск: ИАЗ СО АН ССР, 1972, с. 76–80.
20. Голографические разрушающие исследования: Пер. с англ. / Под ред. Р. К. Эрфа; Под ред. В. А. Каравея. М.: Машиностроение, 1979, 448 с.
21. Голографический интерферометр с минимальной погрешностью измерения смещений и деформаций / С. Т. Де, А. Г. Козачок, А. В. Логинов, Ю. Н. Солодков. – В кн.: Голографические измерительные системы. Вып. 2. Новосибирск: ИЭТИ, 1978, с. 20–50.
22. Голография – методы и аппаратура / Под. ред. В. М. Гинзбург и Б. М. Степанова. М.: Сов. радио, 1974, 376 с.
23. Гришин М. П., Курбенов Ш. М., Маркелов В. П. Автоматический ввод и обработка фотографических изображений на ЭВМ. М.: Энергия, 1976, 152 с.
24. Гуревич С. Б. Физические процессы в передающих телевизионных трубках. М.: Физматлит, 1958, 400 с.
25. Гурьев Л. П., Кунов В. М., Нечев В. Г. Устройство ввода голографических интерферограмм в ЭВМ. – В кн.: Голографические измерительные системы. Вып. 1. Новосибирск: ИЭТИ, 1976, с. 93–99.
26. Гурьев Л. П., Нечев В. Г. Об использовании диссекторов и ПЭС-матриц в устройствах ввода изображений в ЭВМ. – В кн.: Голографические измерительные системы. Вып. 2. Новосибирск: ИЭТИ, 1978, с. 107–114.
27. Гурьев Л. П., Нечев В. Г. Устройство восстановления полутонаовых изображений на перфолентах. – В кн.: Голографические измерительные системы. Вып. 3. Новосибирск: ИЭТИ, 1980, с. 85–92.
28. Де С. Т., Козачок А. Г., Логинов А. В. Получение контуров рельефа методом двухдиапазоновой голографической интерферометрии. – В кн.: Материалы Всесоюзного семинара "Оптическая голография и ее применение". Л.: ЛДНТИ, 1974, с. 12–15.
29. Де Велис Д., Рейнольдс Д. Голография: Пер. с англ. / Под ред. И. А. Никольского. М.: Всесоюздат, 1970, 248 с.
30. Дирилис А., Парис В. Анализ деформаций с использованием муара: Пер. с англ. / Под ред. Б. Н. Ушакова. М.: Мир, 1974, 360 с.
31. Золотарев В. Ф. Безвакуумные аналоги телевизионных трубок. М.: Энергия, 1972, 217 с.
32. Измерение деформаций и напряжений методами голографической интерферометрии / А. Г. Козачок, Г. Я. Кезерашвили, Ю. А. Ракущин, Ю. Н. Солодков. – В кн.: Голографические измерительные системы. Вып. 1. Новосибирск: ИЭТИ, 1976, с. 38–75.
33. Измерительная система для исследования статистических характеристик яркости изображений / С. Т. Де, А. Г. Козачок, Н. А. Логинова, В. В. Натальченко. – В кн.: Голографические измерительные системы. Вып. 3. Новосибирск: ИЭТИ, 1980, с. 37–50.
34. Измерительно-вычислительная система для исследования напряженно-деформированного состояния объектов / В. И. Гужва, А. И. Дружинин, А. Г. Козачок, А. В. Логинов. – Автометрия, 1982, № 4, с. 102–103.
35. Ильинская Г. А., Казак В. Л., Нагибина И. М. Исследование формы поверхности макрообъектов при использовании методов голографической интерферометрии. – В кн.: Оптическая голография и ее применение. Л.: ЛДНТИ, 1974, с. 3–5.
36. Использование двухдиапазоновой интерферометрии при исследовании деформаций и вибраций объектов / С. Т. Де, А. Г. Козачок, А. В. Логинов, Ю. Н. Солодков. – Проблемы прочности, 1976, № 5, с. 109–111.

37. Исследование вибрационных характеристик объектов методом двухдиапазоновой интерферометрии / С. Т. Де, А. Г. Козачок, А. В. Логинов, Ю. Н. Солодков. – В кн.: Материалы Всесоюзного семинара "Оптическая голография и ее применение". Л.: ЛДНТИ, 1974.
38. Исследование деформаций и вибраций методом голографической интерферометрии / А. М. Васильев, Л. Д. Гик, А. Г. Козачок и др. – Автометрия, 1971, № 1, с. 57–63.
39. Исследование деформаций оболочек методом голографической интерферометрии / А. М. Васильев, Л. Д. Гик, А. Г. Козачок и др. – В кн.: Материалы Всесоюзной конференции "Автоматизация научных исследований на основе применения ЭВМ". Новосибирск: ИАЗ СО АН ССР, 1970, с. 38–39.
40. Каинельсон Б. В., Кадугин А. М., Паринов А. С. Электровакуумные электронные и вакуумные приборы (правочник). М.: Энергия, 1976, 920 с.
41. Козачок А. Г. Вопросы автоматизации прочностных исследований на основе метода когерентной оптики и голографии. – Автометрия, 1982, № 4, с. 45–51.
42. Козачок А. Г. Проблемы обработки информации в голографических измерительно-вычислительных комплексах. – В кн.: Материалы Всесоюзной конференции по измерительным информационным системам. Львов: 1981, с. 213–215.
43. Козачок А. Г. Проблемы построения голографических измерительных систем. – В кн.: Материалы Всесоюзной конференции "НИС–75". Кипинев: 1975, с. 46–51.
44. Коллер Р., Бернкард К., Лин Л. Оптическая голография: Пер. с англ., М.: Мир, 1973, 688 с.
45. Кудрин А. Б., Полупин П. И., Чачин Н. А. Голография и деформация металлов. М.: Металлургия, 1982, 151 с.
46. Павлов В. С. Островский Ю. И. Интерференционно-голографические методы анализа вибраций. – ЖТФ, 1974, т. 14, № 7, с. 1345–1372.
47. Покальная система для обработки голографических изображений на базе микроЭВМ "Электроника–60" / С. Т. Де, А. И. Дружинин, А. Г. Козачок и др. – В кн.: Материалы VI Всесоюзной конференции "Автоматизация научных исследований на основе применения ЭВМ". Новосибирск: ИАЗ СО АН ССР, 1981, с. 125–126.
48. Лурье А. И. Теория упругости. М.: Наука, 1970, 940 с.
49. Малеев Н. М., Павлов А. И. Стабилизация мощности вакуумного газового ОКТ. – В кн.: Голографические измерительные системы. Вып. 2. Новосибирск: ИЭТИ, 1978, с. 100–106.
50. Малые ЭВМ и их применение / Под ред. Б. Н. Наумова. М.: Статистика, 1980, 231 с.
51. Матричный процессор в системе восстановления изображений из цифровых голографий, выполненный в стационаре КАМАК / Б. А. Брейтман, И. И. Бродский, И. И. Коршев и др. – В кн.: Тезисы докладов VI Всесоюзной конференции по автоматизации научных исследований на основе применения ЭВМ. Новосибирск: ИАЗ СО АН ССР, 1981, с. 136–137.
52. Методы количественной оценки напряжений и смещений по голографическим интерферограммам / А. С. Богомолов, Е. С. Романов, В. Г. Слезин, С. А. Суханов – В кн.: Голографические методы и аппаратура, применяемые в физических исследованиях. М.: ВНИИФИ, 1974, с. 67–70.
53. Модули телевизионного дисплея в стационаре КАМАК / Н. А. Примачук, О. В. Прохорен, Л. Ф. Томашевская, В. С. Якушев. – Автометрия, 1980, № 4, с. 3–10.
54. Натальченко В. В. Автоматическое устройство экспонирования голограмм. – В кн.: Голографические измерительные системы. Вып. 2. Новосибирск: ИЭТИ, 1976, с. 115–122.
55. Нестерянин Ю. Е., Пушин Б. М. О системе автоматической обработки изображений. – Автометрия, 1977, № 3, с. 6–12.
56. Носов Ю. Р., Шилин В. А. Полупроводниковые приборы с зарядовой связью. М.: Сов. радио, 1976, 144 с.
57. Оптическая голография – практические применения / Под ред. В. М. Гинзбург, Б. М. Степанова. М.: Сов. радио, 1978, 240 с.
58. Островский Ю. И., Бутусов М. М., Островская Г. В. Голографическая интерферометрия. М.: Наука, 1977, 336 с.

59. Островский Ю. И. Голография и ее применение. Л.: Наука, 1973, 180 с.
60. Пресс Ф. П. Формирователи видеоизображения на приборах с зарядовой связью. М.: Радио и связь, 1981. 136 с.
61. Предикционная система ввода-вывода изображений для ЭВМ / С. Т. Васыков, Л. В. Выдрик, А. Н. Касперович и др. – Автометрия, 1977, № 2, с. 86–93.
62. Применение голографической интерферометрии для изучения процесса упругого и пластического деформирования / А.И. Целиков, Б. А. Морозов, О. Г. Левин, В. С. Аристов. – Проблемы прочности, 1976, № 6, с. 106–110.
63. Применение методов голографической интерферометрии для решения задач экспериментальной механики / С. Т. Де, А. Г. Козаков, Г. Я. Кезерашвили и др. – В кн.: Геометрические методы исследования деформаций и напряжений. Ч. 2. Челябинск: ЧПИ, 1975, с. 126–129.
64. Ракушин Ю. А., Соловьев Ю. Н. Методы расшифровки голографических интерферограмм. – В кн.: Голографические измерительные системы. Вып. 1. Новосибирск: ИЭТИ, 1976, с. 41–57.
65. Роуз А. Зрение человека и электронное зрение: Пер. с англ. / Под ред. В. С. Бавилова. М.: Мир, 1977. 216 с.
66. Секки К., Томикэс М. Приборы с переносом заряда: Пер. с англ. / Под ред. В. В. Постников. Р. А. Суриса. М.: Мир, 1978. 328 с.
67. Селезнев В. Г. О точности определения перемещений и напряжений с помощью голографической интерферометрии. – В кн.: Современные проблемы прикладной голографии. М.: МИРЭА, 1974, с. 83–90.
68. Сканирующие устройства на ЭЛТ высокого разрешения / С. Т. Васыков, Г. М. Мамонтов, А. К. Петашников, С. Е. Ткач; Под ред. С. Т. Васыкова. Новосибирск: Наука, 1978, 137 с.
69. Современное состояние и перспективы развития измерительных информационных систем / М. П. Цианко, Т. М. Альян, И. Ф. Клистирик и др. – Измерение, контроль, автоматизация. 1981, вып. 5, с. 66–71.
70. Соловьев Ю. Н. Голографический интерферометр как измерительный прибор. – Автометрия, 1973, № 5, с. 64–68.
71. Сороко Л. М. Основы голографии и когерентной оптики. М.: Наука, 1971. 616 с.
72. Средства ввода ЭВМ и отображения графической информации. (Сборник научных трудов). Новосибирск: ИАЗ СО АН СССР, 1974. 144 с.
73. Сухарев И. П., Ушаков Б. И. Исследование деформаций и напряжений методом мурзовых полос. М.: Машиностроение, 1969. 208 с.
74. Тимошенко С. П. Вайко-Критец-С. Пластинки и оболочки: Пер. с англ. / Под ред. Г. С. Шакера. М.: Физматлит, 1963. 625 с.
75. Тимошенко С. П. Прочность и колебания элементов конструкций. М.: Наука, 1975. 704 с.
76. Универсальная измерительно-вычислительная система для обработки голографических изображений / Л. П. Гурьев, В. И. Гужов, С. Т. Де и др. – В кн.: Материалы VI Всесоюзной конференции «Автоматизация научных исследований на основе применения ЭВМ». Новосибирск: ИАЗ СО АН СССР, 1981, с. 122–123.
77. Устройство для хранения и отображения цифрованных изображений / З. Г. Михальцов, Р. А. Шаклеров, Б. В. Компаников и др. – Исследование Земли из космоса, 1981, № 3, с. 115–117.
78. Франсон М. Голография: Пер. с франц. / Под ред. Ю. И. Островского. М.: Мир, 1972. 248 с.
79. Чечик Н. О., Файнштейн С. М., Лифшиц Т. М. Электронные умножители. М.: Гостехиздат, 1957. 576 с.
80. Штанько А. Е. Расшифровка интерферограмм диффузно отражающих объектов на основе пространственной фильтрации. – В кн.: Голографические методы и аппаратура, применяемые в физических исследованиях. М.: ВНИИОФИ, 1974, с. 71–74.
81. Ярославский Л. П. Устройства ввода-вывода изображений для цифровых вычислительных машин. М.: Энергия, 1968. 88 с.
82. Абрамов Н. Practical interpretation of holographic interferograms. – Optik, 1973, v. 37, N 3, p. 337–346.

83. Абрамов Н. Sandwich holograms: A new direction in holography computation. – Appl. Opt., 1974, v. 13, N 9.
84. Abramson N. Sandwich hologram interferometry. – Appl. Opt., 1976, 15(11), p. 200.
85. Belland V. F., Sosa A. Measurement of three-dimensional displacement by a double exposure hologram. – Appl. Opt., 1974, v. 13, N 11, p. 1381–1384.
86. Bijl D., Jones R. A new theory for the quantitative interpretation of holographic interference patterns resulting from static surface displacements. – Optica Acta, 1974, v. 21, N 2, p. 105–118.
87. Boone P. M., De Backer L. C. Determination of three-dimensional displacement movements from one double-exposure hologram. – Optica Acta, 1974, v. 21, N 2, p. 63–81.
88. Ohir S. K., Sikora J. P. An improved method for determining the strain displacement field from a holographic interferogram. – Opt. Eng., 1974, 13, N 3, p. 333–337.
89. Dubat M., Schumann W. On direct measurement of strain and rotation by holographic interferometry using the line of constant intensity. – Optica Acta, 1975, v. 22, N 10, p. 807–819.
90. Ek L., Biederman K. Analysis of a system for holographic interferometry with a continuously scanning reconstruction beam. – Opt. Eng., 1975, v. 14, N 2, p. 333–334.
91. Evans A. E. Measurement of in-plane surface motion by holographic interferometry. – J. Phys., 1968, E1, N 7, p. 731–734.
92. Fujii H., Asakura T. Roughness measurement of total surface using laser speckle. – JOSA, 1977, v. 7, N 9, p. 1171–1176.
93. Fujii H., Asakura T., Shindo Y. Measurement of surface profile properties by using image speckle contrast. – JOSA, 1978, v. 68, N 12, p. 1117–1121.
94. Fujii H., Uozumi J., Asakura T. A noncontacting optical study of laser speckle patterns with relation to object surface profile. – JOSA, 1978, v. 68, N 12, p. 1113–1116.
95. Gans J. M. Holographic measurement of surface motion by laser diffraction. – Opt. Tech., 1969, v. 1, N 3, p. 247–250.
96. Haines K. A., Hildebrand B. P. Multiple-wavelength photopolymer holography applied to contour generation. – JOSA, 1971, v. 61, N 2, p. 113–119.
97. Hansch B. D., Murphy C. G. Noncontacting measurement of surface from a single view. – Appl. Opt., 1974, v. 13, N 3, p. 630–639.
98. Hefflinger L. O., Waerker B. F. Noncontacting measurement of surface motion. – Appl. Phys. Lett., 1969, v. 15, N 1, p. 18–20.
99. Hildebrand B. P., Haines K. A. Noncontacting measurement using the wavefront reconstruction technique. – Appl. Opt., 1974, v. 13, N 3, p. 630–639.
100. Holographic generation of contour map of surface elevation curves by immersion method / Shitake N., Tsunoi T., Imai T., Ito S., Nakai A. Appl. Phys., 1968, v. 7, N 8, p. 904–909.
101. Jones R. An experimental verification of a new method for the interpretation of holographic interference patterns resulting from static surface displacement. – Optica Acta, 1974, v. 21, N 4, p. 257–266.
102. Köpf U. Fringe order determination and phase mapping from interference in holographic displacement measurement. – Optics and Laser Technology, 1971, v. 3, N 3, p. 111–113.
103. Landry M. J., Was C. M. Automatic data reduction of multiple holographic interferograms. – Appl. Opt., 1973, v. 12, N 10, p. 1139–1141.
104. Matsumoto T., Iwats K., Nagai K. Measurement of displacement in a cylindrical shell by holographic interferometry. – Appl. Opt., 1974, v. 13, N 12, p. 1039–1044.
105. Matsumoto T., Iwats K., Nagai K. Measuring complex six-dimensional displacements in holographic interferometry. – Appl. Opt., 1975, v. 14, N 3, p. 941–947.
106. Powell R. L., Stetton K. A noncontacting optical system of three-dimensional objects by wavefront reconstruction. – Optica Acta, 1971, v. 18, N 1, p. 217–224.
107. Przyputniewicz R. J., Buckley D. W. A comparison of two methods of displacement measurement, an experimental comparison. – Appl. Opt., 1972, v. 11, N 12, p. 1715–1724.
108. Przyputniewicz R., Stetton K. Holographic strain analysis: extension of image-vector method to include perspective. – Appl. Opt., 1973, v. 12, N 3, p. 301–318.
109. Ribbens W. B. Surface roughness measurement by the multiple holographic interferometry. – Appl. Opt., 1974, v. 13, N 3, p. 1983.

110. Schmidt W., Ferchner A. Holographic generation of depth contours using a flash-lamp-pumped dye laser. — Opt. Commun., 1971, v. 3, N 5, p. 363.
111. Schmidt W., Vogel A., Preusser D. Holographic contour mapping using a dye laser. — Appl. Physica, 1973, v. 1, N 2, p. 103–109.
112. Sciammarelli C. A., Gilbert J. A. Strain analysis of a disk subjected to diametral compression by means of holographic interferometry. — Appl. Opt., 1973, v. 12, N 8, p. 1951–1956.
113. Shibayama K., Uchiyama H. Measurement of three-dimensional displacements by hologram interferometry. — Appl. Opt., 1971, v. 10, N 9, p. 2150–2154.
114. Soffid J. E. Holographic interferometry applied to measurements of small static displacements of diffusely reflecting surfaces. — Appl. Opt., 1969, v. 8, N 8, p. 1587–1595.
115. Stetson K. A. A rigorous treatment of the hologram interferometry. — Optik, 1969, v. 29, N 4, p. 386–400.
116. Stetson K. Homogeneous deformations: determination by fringe vectors in hologram interferometry. — Appl. Opt., 1975, v. 14, N 9, p. 2256–2259.
117. Tomin R., Biss D. A. General theory of time-averaged holography for the study of three-dimensional vibrations at a single frequency. — JOSA, 1978, v. 68, N 7, p. 924–931.
118. Varner J. R. Simplified multiple-frequency holographic contouring. — Appl. Opt., 1971, v. 10, N 1, p. 212–213.
119. Vest C. M. Comment on: holographic interferometry applied to measurements of small static displacements of diffusely reflecting surfaces. — Appl. Opt., 1973, v. 12, N 3, p. 612–613.
120. Vicram C. S. Detection of direction of motion and zero order fringes: identification in holographic displacement measurement. — Pramana a Journal of Physics, 1978, v. 10, N 2, p. 221–226.
121. Zelenka J. S., Varner J. R. A new method for generating depth contours holographically. — Appl. Opt., 1968, v. 7, N 10, p. 2107–2110.
122. Zelenka J. S., Varner J. R. Multiple-Index holographic contouring. — Appl. Opt., 1969, v. 8, N 7, p. 1431–1434.

ОГЛАВЛЕНИЕ

| | |
|--|-----|
| Предисловие | 3 |
| <i>Глава 1. Измерение механических величин и голографические методы</i> | 5 |
| 1. Механические величины и требования к методам их измерения | 5 |
| 2. Основы голографического эксперимента | 11 |
| <i>Глава 2. Голографические интерферометры для измерения смещений и деформаций</i> | 22 |
| 1. Методы получения голографических интерферограмм | 22 |
| 2. Методы расшифровки голографических интерферограмм | 27 |
| 3. Метрологические характеристики голографических интерферометров | 39 |
| 4. Влияние неточности отсчета интерференционных полос | 49 |
| <i>Глава 3. Голографические интерферометры для определения параметров рельефа</i> | 52 |
| 1. Методы получения топографических интерферограмм | 52 |
| 2. Метрологические погрешности голографических интерферометров | 64 |
| 3. Влияние шумов на метрологические характеристики топографических интерферометров | 74 |
| <i>Глава 4. Аппаратное обеспечение голографических измерительных систем</i> | 82 |
| 1. Лазеры для голографии | 82 |
| 2. Голографические установки | 86 |
| 3. Устройства вывода голографических интерферограмм в ЭВМ | 89 |
| 4. ЭВМ и периферийное оборудование | 100 |
| 5. Устройства вывода из ЭВМ результатов обработки и расшифровки | 103 |
| 6. Примеры построения голографических измерительных систем | 106 |
| <i>Глава 5. Решение некоторых задач экспериментальной механики голографическими методами</i> | 111 |
| 1. Исследование деформаций плоских образцов при растяжении | 111 |
| 2. Исследование деформаций пластика при изгибе | 119 |
| 3. Использование голографических методов для неразрушающего контроля | 121 |
| 4. Обработка интерферограмм в голографических измерительных системах | 123 |
| 5. Определение параметров рельефа поверхности | 127 |
| 6. Исследование вибрационных характеристик объектов | 131 |
| Заключение | 139 |
| Список литературы | 149 |

Аркадий Григорьевич КОЗАЧОК
ГОЛОГРАФИЧЕСКИЕ МЕТОДЫ ИССЛЕДОВАНИЯ
В ЭКСПЕРИМЕНТАЛЬНОЙ МЕХАНИКЕ

Редактор А. В. Лавочкин
Художественный редактор С. С. Воденич
Обложка художника Г. Г. Клименко
Технический редактор Г. Г. Соколова
Корректор Л. Н. Гурина

ИБ № 3580

Сшиты в набор 9.96.83
Формат 60 x 96/16
Редактор Уд. листа: 11.0
Тираж 2113 экз.

Подписано в печать 12.06.84
Бумага офсетная № 2
Усл.лр.-отв. 11.25
Заказ 1983

Т-12443
Гарнитура Пресс Роман
Уч.-издл. 1333
Цена 2 руб.

Офисы Третьего Красного Знамени издательства "Машгострой"
107076, Москва, Б-76, Сурамский пер., 4

Московская типография № 9 Союзлитографии
при Государственном комитете СССР
по делам издательства, полиграфии и книжной торговли,
Москва, Белинского ул., 40

2 руб.



МАШИНОСТРОЕНИЕ